

ABC Cardiol

Journal of Brazilian Society of Cardiology

Sociedade Brasileira de Cardiologia ISSN-0066-782X Volume 111, Nº 3, Suplemento 3, Setembro 2018

TEMAS LIVRES APRESENTADOS NO



CONECTANDO A EVOLUÇÃO DO CONHECIMENTO À PRÁTICA CLÍNICA **Diretor Científico**

Dalton Bertolim Précoma

Editor-Chefe

Carlos Eduardo Rochitte

Coeditor Internacional

Ioão Lima

Editores Associados

Cardiologia Clínica

Gláucia Maria Moraes de Oliveira Cardiologia Cirúrgica

Tirone David

Cardiologia Intervencionista

Pedro A. Lemos

Cardiologia Pediátrica/ Congênitas

Ieda Biscegli Jatene

Arritmias/Marca-passo

Mauricio Scanavacca

Métodos Diagnósticos Não-Invasivos

REVISTA DA SOCIEDADE BRASILEIRA DE CARDIOLOGIA - Publicada desde 1948

João Luiz Cavalcante

Pesquisa Básica ou Experimental

Marina Politi Okoshi

Epidemiologia/Estatística

Marcio Sommer Bittencourt

Hipertensão Arterial

Paulo Cesar B. V. Jardim

Ergometria, Exercício e Reabilitação Cardíaca

Ricardo Stein

Primeiro Editor (1948-1953)

† Jairo Ramos

Conselho Editorial

Brasil

Aguinaldo Figueiredo de Freitas Junior – Universidade Federal de Goiás (UFG), Goiânia GO – Brasil

Alfredo José Mansur – Faculdade de Medicina da Universidade de São Paulo (FMUSP), São Paulo, SP – Brasil

Aloir Queiroz de Araújo Sobrinho – Instituto de Cardiologia do Espírito Santo, Vitória, ES – Brasil

Amanda Guerra de Moraes Rego Sousa – Instituto Dante Pazzanese de Cardiología/Fundação Adib Jatene (IDPC/FAJ), São Paulo, SP – Brasil

Ana Clara Tude Rodrigues – Hospital das Clinicas da Universidade de São Paulo (HCFMUSP), São Paulo, SP – Brasil

André Labrunie – Hospital do Coração de Londrina (HCL), Londrina, PR – Brasil

Andrei Carvalho Sposito – Universidade Estadual de Campinas (UNICAMP), Campinas, SP – Brasil

Angelo Amato Vincenzo de Paola – Universidade Federal de São Paulo (UNIFESP), São Paulo, SP – Brasil

Antonio Augusto Barbosa Lopes – Instituto do Coração Incor Hc Fmusp (INCOR), São Paulo, SP – Brasil

Antonio Carlos de Camargo Carvalho – Universidade Federal de São Paulo (UNIFESP), São Paulo, SP – Brasil

Antônio Carlos Palandri Chagas – Universidade de São Paulo (USP), São Paulo, SP – Brasil Antonio Carlos Pereira Barretto – Universidade de São Paulo (USP), São Paulo, SP –

Brasil

Antonio Cláudio Lucas da Nóbrega – Universidade Federal Fluminense (UFF), Rio de Janeiro, RJ – Brasil

Antonio de Padua Mansur – Faculdade de Medicina da Universidade de São Paulo (FMUSP), São Paulo, SP – Brasil

Ari Timerman (SP) – Instituto Dante Pazzanese de Cardiologia (IDPC), São Paulo, SP – Brasil

Armênio Costa Guimarães – Liga Bahiana de Hipertensão e Aterosclerose, Salvador, BA – Brasil

Ayrton Pires Brandão – Universidade do Estado do Rio de Janeiro (UERJ), Rio de Janeiro, RJ – Brasil

Beatriz Matsubara – Universidade Estadual Paulista Júlio de Mesquita Filho (UNESP), São Paulo, SP – Brasil

Brivaldo Markman Filho – Universidade Federal de Pernambuco (UFPE), Recife, PE – Brasil

Bruno Caramelli – Universidade de São Paulo (USP), São Paulo, SP – Brasil

Carisi A. Polanczyk – Universidade Federal do Rio Grande do Sul (UFRGS), Porto Alegre, RS – Brasil

Carlos Eduardo Rochitte – Instituto do Coração do Hospital das Clínicas da Faculdade de Medicina (INCOR HCFMUSP), São Paulo, SP – Brasil

Carlos Eduardo Suaide Silva – Universidade de São Paulo (USP), São Paulo, SP – Brasil

Carlos Vicente Serrano Júnior – Instituto do Coração (InCor HCFMUSP), São Paulo, SP – Brasil

Celso Amodeo – Instituto Dante Pazzanese de Cardiologia/Fundação Adib Jatene (IDPC/FAI), São Paulo, SP – Brasil

Charles Mady – Universidade de São Paulo (USP), São Paulo, SP – Brasil

Claudio Gil Soares de Araujo – Universidade Federal do Rio de Janeiro (UFRJ), Rio de Janeiro, RI – Brasil

Cláudio Tinoco Mesquita – Universidade Federal Fluminense (UFF), Rio de Janeiro, RI – Brasil

Cleonice Carvalho C. Mota – Universidade Federal de Minas Gerais (UFMG), Belo Horizonte, MG – Brasil

Clerio Francisco de Azevedo Filho – Universidade do Estado do Rio de Janeiro (UERJ), Rio de Janeiro, RJ – Brasil

Dalton Bertolim Précoma – Pontifícia Universidade Católica do Paraná (PUC/PR), Curitiba, PR – Brasil

Dário C. Sobral Filho – Universidade de Pernambuco (UPE), Recife, PE – Brasil

Décio Mion Junior – Hospital das Clínicas da Faculdade de Medicina da Universidade de São Paulo (HCFMUSP), São Paulo, SP – Brasil

Denilson Campos de Albuquerque – Universidade do Estado do Rio de Janeiro (UERJ), Rio de Janeiro, RI – Brasil

Djair Brindeiro Filho – Universidade Federal de Pernambuco (UFPE), Recife, PE – Brasil Domingo M. Braile – Universidade Estadual de Campinas (UNICAMP), São Paulo, SP

Edmar Atik – Hospital Sírio Libanês (HSL), São Paulo, SP – Brasil

Emilio Hideyuki Moriguchi – Universidade Federal do Rio Grande do Sul (UFRGS) Porto Alegre, RS – Brasil

Enio Buffolo – Universidade Federal de São Paulo (UNIFESP), São Paulo, SP – Brasil

Eulógio E. Martinez Filho – Instituto do Coração (InCor), São Paulo, SP – Brasil

Evandro Tinoco Mesquita — Universidade Federal Fluminense (UFF), Rio de Janeiro, RJ — Brasil

Expedito E. Ribeiro da Silva – Universidade de São Paulo (USP), São Paulo, SP – Brasil Fábio Vilas Boas Pinto – Secretaria Estadual da Saúde da Bahia (SESAB), Salvador, BA – Brasil

Fernando Bacal – Universidade de São Paulo (USP), São Paulo, SP – Brasil

Flávio D. Fuchs – Universidade Federal do Rio Grande do Sul (UFRGS), Porto Alegre, RS – Brasil

Francisco Antonio Helfenstein Fonseca – Universidade Federal de São Paulo (UNIFESP), São Paulo, SP – Brasil

Gilson Soares Feitosa – Escola Bahiana de Medicina e Saúde Pública (EBMSP), Salvador, BA – Brasil

Glaucia Maria M. de Oliveira – Universidade Federal do Rio de Janeiro (UFRJ), Rio de Janeiro, RJ – Brasil

Hans Fernando R. Dohmann, AMIL – ASSIST. MEDICA INTERNACIONAL LTDA., Rio

de Janeiro, RJ - Brasil

Humberto Villacorta Junior – Universidade Federal Fluminense (UFF), Rio de Janeiro, RI – Brasil

Ines Lessa – Universidade Federal da Bahia (UFBA), Salvador, BA – Brasil

Iran Castro – Instituto de Cardiologia do Rio Grande do Sul (IC/FUC), Porto Alegre, RS – Brasil

Jarbas Jakson Dinkhuysen – Instituto Dante Pazzanese de Cardiologia/Fundação Adib Jatene (IDPC/FAJ), São Paulo, SP – Brasil

João Pimenta – Instituto de Assistência Médica ao Servidor Público Estadual (IAMSPE), São Paulo, SP – Brasil

Jorge Ilha Guimarães – Fundação Universitária de Cardiologia (IC FUC), Porto Alegre, RS – Brasil

José Antonio Franchini Ramires – Instituto do Coração Incor Hc Fmusp (INCOR), São Paulo, SP – Brasil

José Augusto Soares Barreto Filho – Universidade Federal de Sergipe, Aracaju, SE – Brasil

José Carlos Nicolau – Instituto do Coração (InCor), São Paulo, SP – Brasil

José Lázaro de Andrade – Hospital Sírio Libanês, São Paulo, SP – Brasil

José Péricles Esteves – Hospital Português, Salvador, BA – Brasil

Leonardo A. M. Zornoff – Faculdade de Medicina de Botucatu Universidade Estadual Paulista Júlio de Mesquita Filho (UNESP), Botucatu, SP – Brasil

Leopoldo Soares Piegas – Instituto Dante Pazzanese de Cardiologia/Fundação Adib Jatene (IDPC/FAJ) São Paulo, SP – Brasil

Lucia Campos Pellanda – Fundação Universidade Federal de Ciências da Saúde de Porto Alegre (UFCSPA), Porto Alegre, RS – Brasil

Luís Eduardo Paim Rohde – Universidade Federal do Rio Grande do Sul (UFRGS), Porto Alegre, RS – Brasil

Luís Cláudio Lemos Correia – Escola Bahiana de Medicina e Saúde Pública (EBMSP), Salvador, BA – Brasil

Luiz A. Machado César – Fundação Universidade Regional de Blumenau (FURB), Blumenau, SC – Brasil

Luiz Alberto Piva e Mattos – Instituto Dante Pazzanese de Cardiologia (IDPC), São Paulo, SP – Brasil

Marcia Melo Barbosa - Hospital Socor, Belo Horizonte, MG - Brasil

Marcus Vinícius Bolívar Malachias – Faculdade Ciências Médicas MG (FCMMG), Belo Horizonte, MG – Brasil

Maria da Consolação V. Moreira – Universidade Federal de Minas Gerais (UFMG), Belo Horizonte, MG – Brasil

Mario S. S. de Azeredo Coutinho – Universidade Federal de Santa Catarina (UFSC), Florianópilis, SC – Brasil

Maurício Ibrahim Scanavacca – Universidade de São Paulo (USP), São Paulo, SP – Brasil

Max Grinberg – Instituto do Coração do Hcfmusp (INCOR), São Paulo, SP – Brasil

Michel Batlouni – Instituto Dante Pazzanese de Cardiologia (IDPC), São Paulo, SP – Brasil

Murilo Foppa – Hospital de Clínicas de Porto Alegre (HCPA), Porto Alegre, RS – Brasil Nadine O. Clausell – Universidade Federal do Rio Grande do Sul (UFRGS), Porto Alegre, RS – Brasil

Orlando Campos Filho – Universidade Federal de São Paulo (UNIFESP), São Paulo, SP – Brasil

Otávio Rizzi Coelho – Universidade Estadual de Campinas (UNICAMP), Campinas, SP – Brasil

Otoni Moreira Gomes – Universidade Federal de Minas Gerais (UFMG), Belo Horizonte, MG – Brasil

Paulo Andrade Lotufo – Universidade de São Paulo (USP), São Paulo, SP – Brasil

Paulo Cesar B. V. Jardim – Universidade Federal de Goiás (UFG), Brasília, DF – Brasil

Paulo J. F. Tucci – Universidade Federal de São Paulo (UNIFESP), São Paulo, SP – Brasil

Paulo R. A. Caramori – Pontifícia Universidade Católica do Rio Grande do Sul (PUCRS), Porto Alegre, RS – Brasil

Paulo Roberto B. Évora – Universidade de São Paulo (USP), São Paulo, SP – Brasil Paulo Roberto S. Brofman – Instituto Carlos Chagas (FIOCRUZ/PR), Curitiba, PR – Brasil Pedro A. Lemos – Hospital das Clínicas da Faculdade de Medicina da USP (HCFMUSP), São Paulo, SP – Brasil

Protásio Lemos da Luz – Instituto do Coração do Hcfmusp (INCOR), São Paulo, SP – Brasil

Reinaldo B. Bestetti – Universidade de Ribeirão Preto (UNAERP), Ribeirão Preto, SP – Brasil

Renato A. K. Kalil – Instituto de Cardiologia do Rio Grande do Sul (IC/FUC), Porto Alegre, RS – Brasil

Ricardo Stein – Universidade Federal do Rio Grande do Sul (UFRS), Porto Alegre, RS – Brasil

Salvador Rassi – Faculdade de Medicina da Universidade Federal de Goiás (FM/GO), Goiânia GO – Brasil

Sandra da Silva Mattos – Real Hospital Português de Beneficência em Pernambuco, Recife, PE – Brasil

Sandra Fuchs – Universidade Federal do Rio Grande do Sul (UFRGS), Porto Alegre, RS – Brasil

Sergio Timerman – Hospital das Clínicas da Faculdade de Medicina da USP (INCOR HC FMUSP), São Paulo, SP – Brasil

Silvio Henrique Barberato – Cardioeco Centro de Diagnóstico Cardiovascular (CARDIOECO), Curitiba, PR – Brasil

Tales de Carvalho – Universidade do Estado de Santa Catarina (UDESC), Florianópolis, SC – Brasil

Vera D. Aiello – Instituto do Coração do Hospital das Clínicas da (FMUSP, INCOR), São Paulo, SP – Brasil

Walter José Gomes – Universidade Federal de São Paulo (UNIFESP), São Paulo, SP – Brasil

Weimar K. S. B. de Souza – Faculdade de Medicina da Universidade Federal de Goiás (FMUFG), Goiânia, GO – Brasil

William Azem Chalela – Instituto do Coração (INCOR HCFMUSP), São Paulo, SP – Brasil

Wilson Mathias Junior – Instituto do Coração (InCor) do Hospital das Clínicas da Faculdade de Medicina da Universidade de São Paulo (HCFMUSP), São Paulo, SP – Brasil

Exterior

Adelino F. Leite-Moreira – Universidade do Porto, Porto – Portugal

Alan Maisel - Long Island University, Nova York - Estados Unidos

Aldo P. Maggioni – ANMCO Research Center, Florença – Itália

Ana Isabel Venâncio Oliveira Galrinho – Hospital Santa Marta, Lisboa – Portugal

Ana Maria Ferreira Neves Abreu – Hospital Santa Marta, Lisboa – Portugal

Ana Teresa Timóteo – Hospital Santa Marta, Lisboa – Portugal

Cândida Fonseca - Universidade Nova de Lisboa, Lisboa - Portugal

Fausto Pinto – U niversidade de Lisboa, Lisboa – Portugal

Hugo Grancelli – Instituto de Cardiología del Hospital Español de Buenos Aires – Argentina

James de Lemos – Parkland Memorial Hospital, Texas – Estados Unidos

João A. Lima, Johns – Johns Hopkins Hospital, Baltimore – Estados Unidos

John G. F. Cleland – Imperial College London, Londres – Inglaterra

Jorge Ferreira – Hospital de Santa Cruz, Carnaxide – Portugal

Manuel de Jesus Antunes - Centro Hospitalar de Coimbra, Coimbra - Portugal

Marco Alves da Costa – Centro Hospitalar de Coimbra, Coimbra – Portugal

Maria João Soares Vidigal Teixeira Ferreira – Universidade de Coimbra, Coimbra – Portugal

Maria Pilar Tornos - Hospital Quirónsalud Barcelona, Barcelona - Espanha

Nuno Bettencourt - Universidade do Porto, Porto - Portugal

Pedro Brugada – Universiteit Brussel, Brussels – Bélgica

Peter A. McCullough – Baylor Heart and Vascular Institute, Texas – Estados Unidos

Peter Libby - Brigham and Women's Hospital, Boston - Estados Unidos

Piero Anversa – University of Parma, Parma – Itália

Roberto José Palma dos Reis – Hospital Polido Valente, Lisboa – Portugal

Sociedade Brasileira de Cardiologia

Presidente Diretor de Promoção de Saúde Cardiovascular -SBC/NNE - Maria Alayde Mendonca da Silva Oscar Pereira Dutra Fernando Augusto Alves da Costa SBC/PA - Moacyr Magno Palmeira Vice-Presidente José Wanderley Neto **Editor-Chefe dos Arquivos Brasileiros** SBC/PB - Fátima Elizabeth Fonseca de Oliveira de Cardiologia **Diretor Científico** Carlos Eduardo Rochitte Negri Dalton Bertolim Précoma Editor-Chefe do International Journal of Diretor Financeiro SBC/PE - Audes Diógenes de Magalhães Feitosa **Cardiovascular Sciences** Denilson Campos de Albuquerque Claudio Tinoco Mesquita SBC/PI – Luiza Magna de Sá Cardoso Jung Batista **Diretor Administrativo** Presidentes das Soc. Estaduais e Regionais Wolney de Andrade Martins SBC/AL - Edvaldo Ferreira Xavier Iúnior SBC/PR - Ioão Vicente Vitola Diretor de Relações Governamentais SBC/AM - João Marcos Bemfica Barbosa Ferreira José Carlos Quinaglia e Silva SBC/RN - Sebastião Vieira de Freitas Filho SBC/BA - Emerson Costa Porto Diretor de Tecnologia da Informação SBC/SC - Wálmore Pereira de Sigueira Junior Miguel Antônio Moretti SBC/CE - Maria Tereza Sá Leitão Ramos Borges Diretor de Comunicação SBC/DF - Ederaldo Brandão Leite SBC/SE - Sheyla Cristina Tonheiro Ferro da Silva Romeu Sergio Meneghelo SBC/ES - Fatima Cristina Monteiro Pedroti Diretor de Pesquisa SBC/TO - Wallace André Pedro da Silva Fernando Bacal SBC/GO - Gilson Cassem Ramos SOCERGS - Daniel Souto Silveira

SBC/MA - Aldryn Nunes Castro

SBC/MT - Roberto Candia

SBC/MG - Carlos Eduardo de Souza Miranda

SBC/MS - Christiano Henrique Souza Pereira

Diretor de Departamentos Especializados Audes Diógenes de Magalhães Feitosa

Diretor de Relação com Estaduais e Regionais

Weimar Kunz Sebba Barroso de Souza

Diretor de Qualidade Assistencial

Evandro Tinoco Mesquita

Presidentes dos Departamentos Especializados e Grupos de Estudos

SOCERJ – Andréa Araujo Brandão

SOCERON - Fernanda Dettmann

SOCESP – José Francisco Kerr Saraiva

SBC/DA - Maria Cristina de Oliveira Izar SBC/DIC - Marcelo Luiz Campos Vieira DCC/GECETI - Luiz Bezerra Neto SBC/DCC - João Luiz Fernandes Petriz SBCCV - Rui Manuel de Sousa S. Antunes DCC/GECO - Roberto Kalil Filho de Almeida SBC/DCC/CP - Andressa Mussi Soares SOBRAC - Jose Carlos Moura Jorge DEIC/GEICPED - Estela Azeka SBC/DCM - Marildes Luiza de Castro SBHCI – Viviana de Mello Guzzo Lemke SBC/DECAGE - Elizabeth da Rosa Duarte DCC/GEMCA - Roberto Esporcatte DCC/GAPO - Pedro Silvio Farsky SBC/DFIC - Salvador Rassi **DEIC/GEMIC** – Fabio Fernandes DERC/GECESP - Antonio Carlos Avanza Jr SBC/DERC - Tales de Carvalho DCC/GERTC – Juliano de Lara Fernandes **DERC/GECN** – Rafael Willain Lopes SBC/DFCVR - Antoinette Oliveira Blackman SBC/DHA - Rui Manuel dos Santos Povoa DERC/GERCPM - Mauricio Milani **DEIC/GETAC** – Silvia Moreira Ayub Ferreira

Arquivos Brasileiros de Cardiologia

Volume 11, No 3, Suplemento 3, Setembro 2018

Indexação: ISI (Thomson Scientific), Cumulated Index Medicus (NLM), SCOPUS, MEDLINE, EMBASE, LILACS, SciELO, PubMed



Av. Marechal Câmara, 160 - 3º andar - Sala 330 20020-907 • Centro • Rio de Janeiro, RJ • Brasil Tel.: (21) 3478-2700 E-mail: arquivos@cardiol.br

www.arquivosonline.com.br SciELO: www.scielo.br

Departamento Comercial

Telefone: (11) 3411-5500 e-mail: comercialsp@cardiol.br

Produção Editorial

SBC - Tecnologia da Informação e Comunicação Núcleo Interno de Publicações **Produção Gráfica e Diagramação** SBC - Tecnologia da Informação e Comunicação Núcleo Interno de Design

Os anúncios veiculados nesta edição são de exclusiva responsabilidade dos anunciantes, assim como os conceitos emitidos em artigos assinados são de exclusiva responsabilidade de seus autores, não refletindo necessariamente a opinião da SBC.

Material de distribuição exclusiva à classe médica. Os Arquivos Brasileiros de Cardiologia não se responsabilizam pelo acesso indevido a seu conteúdo e que contrarie a determinação em atendimento à Resolução da Diretoria Colegiada (RDC) nº 96/08 da Agência Nacional de Vigilância Sanitária (Anvisa), que atualiza o regulamento técnico sobre Propaganda, Publicidade, Promoção e informação de Medicamentos. Segundo o artigo 27 da insígnia, "a propaganda ou publicidade de medicamentos de venda sob prescrição deve ser restrita, única e exclusivamente, aos profissionais de saúde habilitados a prescrever ou dispensar tais produtos (...)".

Garantindo o acesso universal, o conteúdo científico do periódico continua disponível para acesso gratuito e integral a todos os interessados no endereço: www.arquivosonline.com.br.





Filiada à Associação Médica Brasileira

APOIO





Ministério da **Educação**

Ministério da Ciência e Tecnologia





Sociedade Mineira de Cardiologia

PRESIDENTE Carlos Eduardo de Souza Miranda

VICE-PRESIDENTE Antônio Fernandino de Castro Bahia Neto

DIRETOR CIENTÍFICO José Carlos da Costa Zanon

DIRETOR ADMINISTRATIVO Epotamenides Maria Good God

DIRETOR FINANCEIRO Henrique Patrus Mundim Pena

DIRETOR DE QUALIDADE ASSISTENCIAL Ricardo Wang

DIRETOR DE COMUNICAÇÕES Alessandro Bao Travizani

DIRETOR FUNCOR SBC/MG Ariane Vieira Scarlatelli Macedo

COMISSÕES ESPECIAIS DA DIRETORIA DA SMC | SBC-MG

ASSESSOR DE RELAÇÕES
INSTITUCIONAIS
Eduardo Dias Chula

ASSESSOR DE RELAÇÕES COM AS REGIONAIS Carlos Henrique Garcez Carvalho

ASSESSORA DE TECNOLOGIA DA INFORMAÇÃO

Tânia Félix Lorenzato Fonseca Peixoto

ASSESSOR DE PESQUISA Estevão Lanna Figueiredo

COMITÊS

ARRITMIA

André Assis Lopes do Carmo

ASSUNTOS DO INTERIOR Noasses Neiva Diamantino

ATEROSCLEROSE Fernando Carvalho Neuenschwander

CARDIOGERIATRIA Pedro Rousseff

CARDIOLOGIA DA MULHER Cláudia Maria Vilas Freire

CARDIOLOGIA PEDIÁTRICA Marly de Oliveira

DIRETORIA DA SMC | SBC-MG

BIÊNIO 2018-2019

CARDIO-ONCOLOGIA Patricia Tavares Felipe

CIÊNCIAS BÁSICAS Rosália Morais Torres

CIRURGIA CARDÍACA Mauricio de Castro Gomes

CORONARIOPATIAS Bárbara Campos Abreu Marino

ERGOMETRIA E REABILITAÇÃO Maria Clara Noman de Alencar

HEMODINÂMICA Maurício Cavalieri Machado

HIPERTENSÃO ARTERIAL Evandro Guimarães de Souza

IMAGEM CARDIOVASCULAR Bráulio Muzzi Ribeiro de Oliveira

MEDICINA TRÁFEGO Heloisa Borges de Figueiredo

MIOCARDIOPATIAS Fabio Morato de Castilho

REANIMAÇÃO CARDIOPULMONAR Thiago da Rocha Rodrigues

TERAPIA INTENSIVA Lucas Espindola Borges

VALVOPATIAS Jose Fernando Portugal Horta

GRUPOS DE ESTUDO

CARDIOLOGIA DO ESPORTE Marconi Gomes da Silva Lennon Leonardo de Oliveira

......

CARDIOLOGIA NUCLEAR Ivana Sena do Nascimento Leonardo Neuenschwander Magalhães

ELETROCARDIOGRAFIA Kellen Cristina Ferreira Vitorino Daniel Soares Sousa

REABILITAÇÃO Luiz Guilherme Passaglia Bruno Rezende Passos

COMISSÕES

DEFESA E ÉTICA MÉDICA José Maria Peixoto Maria da Consolação Vieira Moreira Francisco Rezende Silveira PREVENÇÃO Eustáquio Guerino Kleisson Antonio Pontes Maia

CONSELHO FISCAL

Titulares
Frank Nunes
José Maria Peixoto
Sérgio Lages Murta
Suplentes
Marco Antônio Cotta Peralva
Sônia Francisca de Souza
Ricardo Reinaldo Bergo

.....

SÓCIOS DELEGADOS ESTADUAIS Alessandro Bao Travizani Almir Fernando Loureiro Fontes Ariane Vieira Scarlatelli Macedo Carlos Henrique Garcez de Carvalho Eduardo Dias Chula Epotamenides Maria Good God Estêvão Lanna Figueiredo Eustáquio Guerino Frank Nunes Henrique Patrus Mundim Pena Jose Carlos da Costa Zanon Leonardo Neuenschwander Magalhães Leonor de Oliveira Diniz Luiz Antônio Avelar Marcos Antônio Marino Odilon Gariglio Alvarenga de Freitas Ricardo Wang Sérgio Lages Murta Thiago da Rocha Rodrigues

PRESIDENTES DAS REGIONAIS

CAMPO DAS VERTENTES Leonor de Oliveira Diniz CENTRO-OESTE Eduardo Dias Chula

LESTE

Marco Antônio Cotta Peralva

LESTE-NORDESTE Admilson de Oliveira Terra

NORTE

Evânio Rodrigues Cordeiro

SUL

Frederico Toledo Campo Dall'Orto

TRIÂNGULO Rodrigo Penha de Almeida

PRESIDENTE 28º CONGRESSO SOC. MINEIRA DE CARDIOLOGIA

Marcos Antônio Marino





28º CONGRESSO DA SOCIEDADE MINEIRA DE CARDIOLOGIA

Prezado(a) Colega,

Seja bem-vindo ao 28º Congresso da Sociedade Mineira de Cardiologia!

A SMC por meio de sua Diretoria, Comitês e Grupos de Estudos deseja que esse seja um congresso memorável.

Você poderá comprovar que a comissão executiva trabalhou na elaboração de uma ampla programação científica, que abrange todas as áreas relacionadas à prática cardiológica diária. Através de mesas redondas, colóquios, conferências, simpósios, sessões de perguntas e de casos clínicos, o congresso tem como objetivo maior conectar a evolução do conhecimento à prática clínica.

O crescente número de congressistas e de temas livres enviados comprovam a importância e a credibilidade do nosso congresso. Ele tem se destacado como aquele que diminui a distância entre as diretrizes e sua aplicação no dia-a-dia do cardiologista mineiro.

Além da programação científica, ocorrerão atividades sociais para motivar o encontro dos colegas em ambiente agradável e informal.

Ótimo Congresso a todos!



Carlos Eduardo de Souza Miranda Presidente da SMC | SBC/MG





José Carlos da Costa Zanon Diretor Científico da SMC | SBC/MG

TEMAS LIVRES APRESENTADOS NO



9 A 11 AGOSTO | OURO MINAS BELO HORIZONTE

CONECTANDO A EVOLUÇÃO DO CONHECIMENTO À PRÁTICA CLÍNICA



TRABALHOS PREMIADOS

28º CONGRESSO DA SOCIEDADE MINEIRA DE CARDIOLOGIA

PRÊMIO	TÍTULO/AUTORES
JOVEM PESQUISADOR Categoria Oral	MEDIADORES INFLAMATÓRIOS EM PACIENTES COM FIBRILAÇÃO ATRIAL EM USO DE ANTICOAGULANTES ORAIS ESTÊVÃO LANNA FIGUEIREDO, GABRIELA LOPES MARTINS, RITA CAROLINA FIGUEIREDO DUARTE, ÉRICA LEANDRO MARCIANO VIEIRA, NATÁLIA PESSOA ROCHA, MARIA DAS GRAÇAS CARVALHO, RODRIGO PINHEIRO LANNA, CLÁUDIA NATÁLIA FERREIRA, HELTON JOSÉ DOS REIS
JOVEM PESQUISADOR Categoria Poster	CUSTO TOTAL E PERFIL EPIDEMIOLÓGICO HOSPITALAR DE INTERNAÇÕES POR INFARTO AGUDO DO MIOCÁRDIO EM MG: COMPORTAMENTO NOS ÚLTIMOS 10 ANOS LORENA ROCHA DIAS MACHADO, FERNANDA RODRIGUES FROES VICTORIA, FERNANDO AUGUSTO DE OLIVEIRA, CAMILLE VILLEFORT SILVA CHAVES, YASMIN DOS SANTOS BITTENCOURT, TATIANA CUNHA DE MORAES, CAMILA ZANON DE CASTRO, GABRIEL GUANDALINI, MARCELO MENDES ROCHA
JOVEM PESQUISADOR Categoria Relato de Caso	MIOCARDIOPATIA NÃO COMPACTADA COM EVOLUÇÃO PARA INSUFICIÊNCIA CARDÍACA: RELATO DE CASO LUCAS DE BARROS ANASTÁCIO, GABRIELA XAVIER REZENDE, JÉSSICA KARINNE VIEIRA, DANIELLE APARECIDA OLIVEIRA, RENAN ATÍLIO SANTOS MARQUIORI, MARIA DA GLÓRIA CRUVINEL HORTA
PÔSTER INICIAÇÃO CIENTÍFICA 1º lugar	VALOR PROGNÓSTICO DA EFICIÊNCIA VENTILATÓRIA EM PACIENTES COM MIOCARDIOPATIA DILATADA DE ETIOLOGIA CHAGÁSICA E IDIOPÁTICA FERNANDA RODRIGUES DE ALMEIDA, MARIA CLARA NOMAN DE ALENCAR, SUEMARA FERNANDES DA SILVA MARTINS, RAUL SILVA SIMÕES DE CAMARGO, OMAR RIBEIRO SANTOS-JUNIOR, MARIA CECÍLIA LANDIM NASSIF, THIAGO LOREDO E SILVA, RODRIGO MATOS PINTO COELHO, MANOEL OTÁVIO DA COSTA ROCHA, MARIA DO CARMO PEREIRA NUNES
PÔSTER INICIAÇÃO CIENTÍFICA 2º lugar	IMPACTO DA REGURGITAÇÃO MITRAL MODERADA NOS DESFECHOS CLÍNICOS ADVERSOS APÓS VALVOPLASTIA MITRAL PERCUTÂNEA LUCAS CAMPOS BARBOSA E SILVA,FLÁVIO AUGUSTO PAES DE OLIVEIRA,VICTOR TEATINI RIBEIRO,FERNANDA MOREIRA E LEITE,TATIANA COSTA DIAMANTINO,LUCAS QUEIROZ FERNANDES CAMPOS,CLÁUDIO ARAÚJO SALGADO RIBEIRO,THIAGO PASCELE DE OLIVEIRA BATISTA,FREDERICO VARGAS BOTINHA MACEDO,MARIA DO CARMO PEREIRA NUNES
PÔSTER INICIAÇÃO CIENTÍFICA 3º lugar	ANÁLISE DA EVOLUÇÃO DE VALORES DE COLESTEROL TOTAL, COLESTEROL-HDL E GLICEMIA DE JEJUM COMO FATORES DE RISCO CARDIOVASCULAR ENTRE FUNCIONÁRIOS DE UMA EMPRESA NO MUNICÍPIO DE ITAÚNA-MG IARA MORAIS CUNHA, CAROLINE MENDONÇA ARRUDA, GABRIELA SANTOS PESSOA ISIDORO, GABRIEL ALBUQUERQUE MESQUITA, DANIEL FILIPE DA SILVA, MARIA TEREZA MOURA PEREIRA, JÚLIA DINIZ MARRA VIEIRA, GIOVANNA LUIZA MEDINA FERREIRA, BÁRBARA MARIA ASSI RABELO, CLARA MACHADO RODRIGUES
PÔSTER MÉDICO PESQUISADOR 1º lugar	ACOMETIMENTO CARDÍACO EM PACIENTES COM FEBRE AMARELA NA EPIDEMIA DE 2018 NO BRASIL: DADOS DO ESTUDO PROVAR+ GABRIELA MIANA DE MATTOS PAIXÃO, BRUNO DALA VEDOVA GOMES BEATO, KACIANE KRAUSS BRUNO OLIVEIRA, BRENO DE FILIPPO REZENDE, JOÃO PEDRO PEIXOTO RIOS, LEONARDO SOARES PEREIRA, MOACIR RODRIGUES DE LIMA JÚNIOR, MARIA DO CARMO PEREIRA NUNES, ANTONIO LUIZ PINHO RIBEIRO, BRUNO RAMOS NASCIMENTO
PÔSTER MÉDICO PESQUISADOR 2º lugar	FECHAMENTO PERCUTÂNEO DE CIA OSTIUM SECUNDUM (CIA OS) COM PRÓTESE AMPLATZER EM CRIANÇAS MENOR QUE 20 KG. EDMUNDO CLARINDO OLIVEIRA, MARCO ANTÔNIO GONÇALVES DE MOURA, JOSÉ AUGUSTO DE ALMEIDA BARBOSA, TAMARA KATINA

TRABALHOS PREMIADOS





PRÊMIO	TÍTULO/AUTORES
PÔSTER - MÉDICO PESQUISADOR 3º lugar	TAQUICARDIOMIOPATIA: PERFIL CLÍNICO, TRATAMENTO E EVOLUÇÃO DE UMA SÉRIE DE CASOS. ROSE MARY FERREIRA LISBOA DA SILVA, ISABELLA CAPOBIANGO RODRIGUES, MARIANA ALVES GOMES, RAÍSSA ALVES PINTO MOURA
PÔSTER PROFISSIONAL NÃO-MÉDICO 1º lugar	ANÁLISE DO PERFIL SOCIODEMOGRÁFICO E CLÍNICO DOS RECEPTORES DE TRANSPLANTE CARDÍACO EM UM HOSPITAL BRASILEIRO WÁGNER DO NASCIMENTO CARVALHO, KARLA CORDEIRO GONCALVES, ANNA LETICIA MIRANDA, GUSTAVO DOS SANTOS ALVES MARIA, DIEGO DA SILVA NEVES, SALETE MARIA DE FÁTIMA SILQUEIRA, MARIA DA CONSOLAÇÃO VIEIRA MOREIRA
PÔSTER PROFISSIONAL NÃO-MÉDICO 2º lugar	PERFIL DOS DOADORES EFETIVOS DE TRANSPLANTE CARDÍACO EM UM HOSPITAL BRASILEIRO WÁGNER DO NASCIMENTO CARVALHO, ANNA LETICIA MIRANDA, KARLA CORDEIRO GONCALVES, GUSTAVO DOS SANTOS ALVES MARIA, SALETE MARIA DE FÁTIMA SILQUEIRA, MARIA DA CONSOLAÇÃO VIEIRA MOREIRA
PÔSTER PROFISSIONAL NÃO-MÉDICO 3º lugar	EFEITOS DE UM PROGRAMA DE REABILITAÇÃO CARDIOVASCULAR FASE II EM PACIENTES PÓS INTERNAÇÃO PATRIC EMERSON OLIVEIRA GONÇALVES, KELY SILVEIRA REIS, RITA DE CASSIA MALAGOLI, DANIELLE APARECIDA GOMES PEREIRA
PÔSTER RESIDENTE 1º lugar	CAPACITAÇÃO CONTINUADA PARA MÉDICOS E EQUIPE DE ENFERMAGEM PARA O ATENDIMENTO DE PARADA CARDIORRESPIRATÓRIA EM HOSPITAL DE BELO HORIZONTE MARCELLA MARIA SOARES MELLO, LUISA FREIRE PEDERNEIRAS BARBOSA, RENAN DETOFFOL BRAGANÇA, CAMILLA RAYANE DE PAULA, RAFAEL COLARES, IZABELLA SOARES MELLO
PÔSTER RESIDENTE 2º lugar	ANÁLISE DOS CASOS E EVOLUÇÃO INTRA-HOSPITALAR DOS PACIENTES SUBMETIDOS ABLAÇÃO ALCOÓLICA NA MIOCARDIOPATIA HIPERTRÓFICA OBSTRUTIVA EM UM SERVIÇO TERCIÁRIO MARIA DO CARMO RABELO ALVIM RODRIGUES, KÊNNYA GONÇALVES CAPANEMA,VINÍCIUS RIBEIRO SILVA, HUMBERTO RODRIGUES PARREIRA, THALES LOPES GOMES PINTO FERREIRA, FERNANDA OLIVEIRA LOPES, WALTER RABELO, MARCOS ANTONIO MARINO, ROBERTO LUIZ MARINO, BARBARA CAMPOS ABREU MARINO
PÔSTER RESIDENTE 3º lugar	CUSTO TOTAL E PERFIL EPIDEMIOLÓGICO HOSPITALAR DE INTERNAÇÕES POR INFARTO AGUDO DO MIOCÁRDIO EM MG: COMPORTAMENTO NOS ÚLTIMOS 10 ANOS LORENA ROCHA DIAS MACHADO, FERNANDA RODRIGUES FROES VICTORIA, FERNANDO AUGUSTO DE OLIVEIRA, CAMILLE VILLEFORT SILVA CHAVES, YASMIN DOS SANTOS BITTENCOURT, TATIA NA CUNHA DE MORAES, CAMILA ZANON DE CASTRO, GABRIEL GUANDALINI, MARCELO MENDES ROCHA
RELATO DE CASO Iniciação Científica 1º lugar	NEFROPATIA POR IGA: UM DIAGNÓSTICO POR VEZES DIFÍCIL - UM CASO DE HIPERTENSÃO SECUNDÁRIA LETÍCIA LEÃO DE PAULA, MARCUS VINÍCIUS DE PAULA DA SILVA, LÍVIA LEÃO GOMES, LÍSIA SOARES SILVA, LETYCIA RIBEIRO ROCHA, SUELEN DA COSTA SILVA
RELATO DE CASO Iniciação Científica 2º lugar	DISCORDÂNCIA ENTRE PERFUSÃO E INERVAÇÃO SIMPÁTICA NA PREDIÇÃO DE RISCO ARRITMOGÊNICO LÍVIA SILVA DE PAULA FARIA, DOUGLAS SANTOS MOELLER, MARIA MARTA MAGGIOTTO SABRA, FERNANDA SALOMÃO COSTA, JADER CUNHA DE AZEVEDO, CLÁUDIO TINOCO
RELATO DE CASO Iniciação Científica 3º lugar	TAQUICARDIA DE QRS LARGO: DA PROPEDÊUTICA AO TRATAMENTO LAÍSE OLIVEIRA RESENDE,OLÍVIA MARIA TRINDADE,GUSTAVO GONTIJO LISBOA,NELSON BORGES NETO, AYESKA VIVIAN MICHELINI STAPASOLLA,DANIEL SOARES SOUSA



TRABALHOS PREMIADOS

28º CONGRESSO DA SOCIEDADE MINEIRA DE CARDIOLOGIA

PRÊMIO	TÍTULO/AUTORES
RELATO DE CASO Iniciação Científica 1º lugar	DIVERTÍCULO DE KOMMERELL ADRIANA COSTA DIAMANTINO SOARES,HERTZ CARDOSO LACERDA,LUNA SANTOS RABELO,GUSTAVO MONTEIRO SOARES, NOASSES NEIVA DIAMANTINO, TATIANA COSTA DIAMANTINO
RELATO DE CASO Iniciação Científica 2º lugar	INFARTO AGUDO DO MIOCÁRDIO EM JOVEM USUÁRIO DE ANABOLIZANTE RARISSA QUEIROZ FERREIRA FERRAZ, SÁVIA QUEIROZ FERREIRA, LUARA GIDRÃO DE QUEIROZ
RELATO DE CASO Iniciação Científica 3º lugar	EXCRESCÊNCIA DE LAMBL NA VALVA PULMONAR: ACOMPANHAMENTO ECOCARDIOGRÁFICO DE UM CASO RARÍSSIMO GLAUCO FRANCO SANTANA, MARIANA ALVES MOTA, IGOR HENRIQUE RODRIGUES ZEFERINO, LAURA DE CASTRO SIMÃO, LORRANE LARA RODRIGUES DE SOUZA, PRISCILA ÁGAPE PACHECO PEREIRA
PÔSTER RESIDENTE 1º lugar	SÍNDROME DE ERDHEIM-CHESTER: RELATO DE CASO VICTOR PIMENTEL DE MATOS, LORENA SILVA FONSECA, BRUNO DALA VEDOVA GOMES BEATO, GUSTAVO ALVES DE OLIVEIRA, CAROLINA SOUZA GALVÃO
PÔSTER RESIDENTE 2º lugar	DISSECÇÃO ESPONTÂNEA DE CORONÁRIAS: ABORDAGEM DIAGNÓSTICA E TERAPÊUTICA EM UMA SÉRIE DE CASOS. DÉBORA BERTOLIN DUARTE, YORGHOS LAGE MICHALAROS ,CLAUDIA LOURES DE ASSIS ,CAMILA ABRAHÃO CARAM LISBOA, LUIS AUGUSTO ALVARENGA ANDRADE, CLARICE MOURA MATA MACHADO
PÔSTER RESIDENTE 3º lugar	ESTENOSE GRAVE DE PRÓTESE MECÂNICA AÓRTICA POR TROMBOS SIMULANDO DISFUNÇÃO ESTRUTURAL EDITH MARCIA VALADARES SILVA, LAÍS TOLEDO DE VASCONCELOS, RAFAELLA SIMÕES MOREIRA, RAFAEL PORTO, PEDRO HENRIQUE RAMOS CAVEANHA, EPOTAMENIDES MARIA GOOD GOD
TEMA LIVRE Categoria Oral 1º lugar	MEDIADORES INFLAMATÓRIOS EM PACIENTES COM FIBRILAÇÃO ATRIAL EM USO DE ANTICOAGULANTES ORAIS ESTÊVÃO LANNA FIGUEIREDO, GABRIELA LOPES MARTINS, RITA CAROLINA FIGUEIREDO DUARTE, ÉRICA LEANDRO MARCIANO VIEIRA, NATÁLIA PESSOA ROCHA, MARIA DAS GRAÇAS CARVALHO, RODRIGO PINHEIRO LANNA, CLÁUDIA NATÁLIA FERREIRA, HELTON JOSÉ DOS REIS
TEMA LIVRE Categoria Oral 2º lugar	INTEGRAÇÃO DO RASTREAMENTO ECOCARDIOGRÁFICO COM INTERPRETAÇÃO POR TELEMEDICINA NA ATENÇÃO PRIMÁRIA: DADOS DO ESTUDO PROVAR+ BRUNO RAMOS NASCIMENTO, MARIA DO CARMO PEREIRA NUNES, KACIANE KRAUSS BRUNO OLIVEIRA, MÁRCIA DE MELO BARBOSA, JOÃO PEDRO PEIXOTO RIOS, ISABELLA MOURA TEIXEIRA, LETÍCIA MARIA MOREIRA RABELO, KARLLA CARDINALI ANTUNES LAURIANO, ANTONIO LUIZ PINHO RIBEIRO, CRAIG SABLE
TEMA LIVRE Categoria Oral 3º lugar	OCORRÊNCIA DE SANGRAMENTO EM COORTE DE PACIENTES COM FA ADEQUADAMENTE ANTICOAGULADOSRAFAELLA SIMÕES RAFAELLA SIMÕES MOREIRA, EDITH MARCIA VALADARES SILVA, LAIS TOLEDO DE VASCONCELOS, RAFAEL PORTO, EPOTAMENIDES MARIA GOOD GOD, PEDRO HENRIQUE RAMOS CAVEANHA, PAULO HENRIQUE SANTIAGO, MATEUS NEVES ROMERO

APRESENTAÇÃO ORAL

RESUMO DE TEMAS LIVRES | 28º CONGRESSO DA SOCIEDADE MINEIRA DE CARDIOLOGIA



TIO1

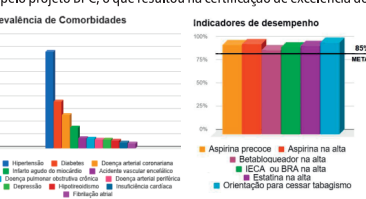
ADESÃO ÀS DIRETRIZES ASSISTENCIAIS DE SÍNDROME CORONARIANA AGUDA: UM PROGRAMA DE BOAS PRÁTICAS CLÍNICAS EM CARDIOLOGIA

SEMABUKURO, GZ: SILVA: GCP: PASSAGIL GR: CUNHA, CT: TEODORA, GB: NOGUEIRA, MR: FERREIRA, LOR; BRANT, LCC; PASSAGLIA, LG.

HOSPITAL DAS CLÍNICAS DA UFMO

No Brasil, abaixa adesão às diretrizes assistenciais é uma das razões para a alta mortalidade por síndrome coronariana aguda (SCA), a despeito dos avanços no manejo desta condição. Assim, Sociedade Brasileira de Cardiologia (SBC) em parceria com a American Heart Association e com apoio do Ministério da Saúde elaborou o Projeto Boas Práticas Clínica sem Cardiologia (BPC), cujo objetivo é avaliar as taxas de adesão às diretrizes da SBC para três condições dínicas em instituições do Sistema Único de Saúde antes e após o projeto. Objetivos: Apresentação e avaliação da adesão ao sindicadores de desempenho para o manejo da SCA no Hospital das Clínicas/UFMG (HC/UFMG) após o projeto BPC. Método: Trata-se de estudo longitudinal, prospectivo, não controlado adaptado do programa Get with the Guidelines da AHA e do Programa de Melhoria de Qualidade Assistencial do Hospital do Coração. Nele, avaliamos os resultados referentes ao braço de SCA após a implementação do projeto BPC. Nesta análise, foram avaliados os resultados do HC/UFMG de maio de 2016 a dezembro de 2017. As variáveis analisadas foram: idade, sexo, comorbidades e adesão aos indicadores de desempenho. O sindicadores de desempenho analisados foram: AAS precoce e na alta hospitalar, medicamentos prescritos na alta hospitalar (AAS, beta bloqueador, estatina, IECA e outros, conforme indicação) e orientação para cessação do tabagismo. O desfecho primário do estudo consistiu na avaliação dos indicadores de desempenho comum a meta mínima estipulada de 85% de adesão global às recomendações das Diretrizes da SBC. Resultados: Foram incluídos 353 pacientes. Aida de média foi 60±12anos e 69% eram homens. A prevalência das principais comorbidades e a análise dos indicadores de desempenho são apresenta das nos gráficos a seguir. Predomínio do sexo masculino, idade ≥50anos e alta prevalência de comorbidades mostram características dos pacientes com SCA já conhecidas pelos dados epidemiológicos extensamente publicados na literatura. Os valores dos indicadores de desempenho sinalizam um a boa adesão às diretrizes assistenciais da SBC no hospital, em todas as variáveis analisadas. Conclusão: A adesão às diretrizes atende às metas propostas pelo projeto BPC, o que resultou na certificação de excelência do hospital neste braço do estudo Prevalência de Comorbidades

BPC. A certificação faz parte da estratégia de consolidação dos bons resultados obtidos e da sua manutenção a longo prazo, bem como no projeto de ampliação e disseminação das boas práticas clínicas em Cardiologia nos outros setores desse hospital.



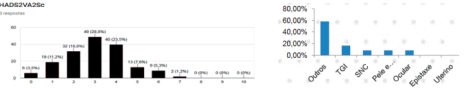
TLO₂

OCORRÊNCIA DE SANGRAMENTO EM COORTE DE PACIENTES COM FA ADEQUADAMENTE ANTICOAGUI ADOS

RAFAELLA SIMÕES MOREIRA; EDITH M. V. SILVA; LAIS TOLEDO DE VASCONCELOS, RAFAEL PORTO; PEDRO H. R. CAVEANHA; PAULO SANTIAGO; MATEUS NEVES ROMERO; EPOTAMENIDES M GOOD GOD

HOSPITAL SOCOR

A fibrilação atrial (FA) é a arritmia sustentada mais comum na prática dínica, responsável por 33% das Antoniagodatia (N. e a antima socientada nias contante de proceso de acidente vascular cerebral (AVC) e cerca de 2 vezes no risco de acidente vascular cerebral (AVC) e cerca de 2 vezes na mortalidade geral. A anticoagulação é um dos pilares do tratamento, reduzindo a ocorrência de eventos tromboembólicos, mas esta relacionada ao aumento na taxa de sangramentos. Objetivos: Avaliar a ocorrência de sangramentos em pacientes com FA adequadamente anticoagulados em uma coorte de pacientes em acompanhamento ambulatorial. Método: Foram coletados dados de prontuários de pacientes portadores de FA, em acompanhamento ambulatorial pelo menos trimestral, entre Janeiro de 2017 a Abril de 2018. A coleta foi realizada por meio de um questionário desenvolvido para esta pesquisa e foram avaliados o risco de eventos tromboembólicos e a ocorrência de sangramento, dentre outras variáveis. Foi feita a análise da prevalência de sangramento nesta amostra, conforme dados encontrados. Resultados: A amostra incluiu 170 nacientes, sendo 59.6% mulheres. A maioria dos nacientes tinha >65 anos (71.7%). O risco de eventos tromboembólicos foi analisado pelo Escore CHADS2VA2Sc e o risco de sangramento pelo Escore HAS-BLED. Outras variáveis foram: história de sangramento, gravidade e local do sangramento. A maioria dos pacientes apresentava pontuação ≥2 no CHADS2VA2Sc (66,4%) e a maior porcentagem (88,9%) apresentava HAS-BLED ≤2. Dos sangramentos relatados 2,5% foram maiores e 3,8% menores. O local mais comum de sangramento foi o trato gastrointestinal (16,7%).



A FA tem alta prevalência e incidência crescente. Os eventos tromboembólicos são prevenidos com anticoagulação adequada. Existem evidências de que anticoagulação diminui cerca de 2/3 a ocorrência desses eventos, o que torna tal estratégia essencial na FA não valvar. O maior risco da anticoagulação é a ocorrência de sangramentos, e a consideração desse risco faz com que um percentual inadmissível de pacientes fique sem proteção. Nesta coorte, observou-se um baixo percentual de sangramento, em sua maioria menor, predominando no TGL Não foi observado fenômeno tromboembólico na amostra dentro do período de seguimento. Conclusões: O alto risco de eventos embólicos, em especial o AVC, justifica a anticoagulação na FA, utilizando o CHADS2VASc como escore de risco. O risco de sangramento é relativamente baixo, como observado na nossa amostra, e demonstra que não se deve deixar de observar que o benefício da anticoagulação supera em muito o eventual risco de sangramento. Re

lagalhier LP Figueiredo MIO, Limra n., um. De et al. ESC Guide Ines for the management of attialfibrillation developed in sab. et al. ESC Guide Ines for the management of attialfibrillation developed in ISCS, Limiteral 7.2016; 37, 2893–2962; 4) January CT, Wanni S, Alpert IS, Cal Secretive Summary: a Report of the American College of Cardiolog

TLO3

FIBRILAÇÃO ATRIAL E INSUFICIÊNCIA CARDÍACA: UMA ABORDAGEM OTIMIZADA MELHORA O

RAFAEL PORTO SILVA; EDITH MARCIA VALADARES SILVA; EPOTAMENIDES MARIA GOODGOD; LAIS TOLEDO DE VASCONCELOS; RAFAELLA SIMÕES MOREIRA

HOSPITAL SOCOR

A fibrilação Atrial (FA) é uma arritmia comum nos pacientes portadores de insuficiência cardíaca (IC), com uma prevalência que varia de 10%, nos pacientes em classe funcional I da New York Heart Association (NYHA), até 50%, nos pacientes em classe IV. Cerca de 1/3 dos pacientes com FA poderão desenvolver Iceoutros 1/3 dos pacientes com IC desenvolverão FA, o que piora em muito o prognóstico da IC. A concomitância da FA piora o prognóstico da IC, quer seja aquela com fração de ejeção (FE) preservada ou na IC com FE ejeção reduzida, com aumento da morbimortalidade. Nos últimos anos tem crescido a preocupação com a manutenção / retorno do ritmo sinusal como forma de prevenir a piora da função ventricular. Objetivos: Procurou-se analisar a evolução da IC no contexto da FA e se a presença da FA poderia estar relacionada com a piora da IC ou da disfunção ventricular, bem como se a presença da FA trouxe diferenças importantes na abordagem da IC. Métodos: O estudo procurou fazer uma análise dos dados de um acoorte de 170 pacientes portadores de FA em acompanhamento ambulatorial regular, com visitas no mínimo trimestrais. Os dados foram coletados no período de janeiro de 2017 a abril de 2018, contendo as principais características clínicas e comorbidades nessa coorte. Resultados: Os 170 pacientes foram analisados, considerando os principais fatores de risco possivelmente relacionados à presença da FA. O Gráfico1 mostra que cerca de 2/3 dos pacientes com FA tinham fração de ejeção (FE) preservada (>50%). Do total da amostra, 53 pacientes (32,4%) tinham o diagnóstico clínico de IC (Gráfico2). Desse grupo 2 6 apresentavam FE reduzida, 15 indivíduos com FE intermediária e o restante (n:12) tinha FE preservada. Todos os pacientes estavam anticoagulados (maioria com os novos anticoagulantes) e a maioria, como eram admitidos como FA permanente, não usavam drogas antiarriftmicas. Discussão: O aforisma de que "FA piora IC e IC piora FA" e reconhecido há anos. A perda da contribuição atrial para o débito cardíaco certamente pode piorar a disfunção do VE e todo esforço deve ser feito para o retorno do RS (sempre que indicado) ou para o controle da Fc, associados à anticoagulação. A abordagem da FA é a mesma, quer haja IC associada ou não, mas a presença da disfunção ventricular limita o uso de alguns fármacos, notadamente os antiarrítmicos. Na presente amostra, o tratamento otimizado da IC, associado à anticoagulação e ao controle da Fc, com ou sopre

dominante de betabloqueadores (§bloq), e com um uso muito limitado de digital e amiodarona permitiu conduir que não houve piora significativa de desfechos, diretamente atribuiveis à FA. Conclusão: 1) O tratamento otimizado da IC associado à abordagem sistemática dos fatores de risco cardiovasculares modificáveis, associados ao aparecimento da FA é fundamental para a diminuição da morbimortlalidade na IC com FA; 2) A anticoagulação, o controle adequado da Fc pelo uso dos βbloq esteve relacionada com a boa evolução clínica, permitindo a conclusão de que uma abordagem sistematizada pode melhorar o prognóstico desse subgrupo de pacientes. Referências Bibliográficas: 2016 ESC Guidelines forthe manage atrial fibrillation developed in collaboration with EACTS; Tratado de Doenças Cardiovas Braunwald, 10 edição, capítulo 38 - Fibrilação Atrial: Achados Clínicos, Mecanismos e Tratamento



TLO₄

MEDIADORES INFLAMATÓRIOS EM PACIENTES COM FIBRILAÇÃO ATRIAL EM USO DE

GABRIELA LOPES MARTINS1, RITA CAROLINA FIGUEIREDO DUARTE1, ÉRICA LEANDRO MARCIANO VIEIRA1, NATÁLIA PESSOA ROCHAZ, ESTÊVÃO LANNA FIGUEIREDO3, MARIA DAS GRAÇAS CARVALHO1, RODRIGO PINHEIRO LANNA4, CLÁUDIA NATÁLIA FERREIRA1, HELTON JOSÉ DOS REIS1

(1)UNIVERSIDADE FEDERAL DE MINAS GERAIS: (2) UNIVERSITY OF TEXAS HEALTH SCIENCE CENTER AT HOUSTON; (3)HOSPITAL LIFECENTER, BELO HORIZONTE, MINAS GERAIS; (4) HOSPITAL SEMPER, BELO HORIZONTE, MINAS GERAIS

A fibrilação atrial (FA) é a arritmia mais comum na prática clínica, e está associada ao elevado risco de acidente vascular encefálico e embolia sistêmica. Por este motivo, indivíduos com esta arritmia, e que e possuem outros fatores de risco de desenvolver esses eventos, fazem terapia com anticoagulantes orais (ACO)1. No entanto, as abordagens para o tratamento da FA e suas complicações, especialmente a trombogênese, apresentam limitações. Além disso, a fisiopatologia da doença ainda não está bem elucidada. Evidências sugerem que a inflamação pode desempenhar um papel na patogênese da FA e sua manutenção, bem como na trombose relacionada a esta condição2. Objetivos: Considerando o envolvimento da resposta inflamatória na fisiopatologia da FA, o presente estudo teve como objetivo avaliar marcadores inflamatórios em indivíduos com fibrilação atrial, em tratamento com os anticoagulantes orais varfarina ou rivaroxabana. Método: Realizou-se a quantificação dos marcadores inflamatórios pela técnica de Cytometric Bead Array (CBA) em amostras de plasma de 71 pacientes com fibrilação atrial não-valvar, dos quais 42 estavam em uso de varfarina e 29 de rivaroxabana, além dos 56 individuos do grupo controle. As análises estatísticas foram realizadas no programa SPSS, versão 25.0, utilizando-se os testes one-way ANOVA ou Kruskal-Wallis (para dados normais e não normais, respectivamente) e p<0.05 foi considerado significativo. Resultados: Em pacientes em uso de varfarina, comparados com aqueles em uso de rivaroxabana, foram detectados níveis plasmáticos significativamente elevados de II-2 (3,49 pg/dL \pm 0,51 vs. 2,11 pg/dL \pm 0,34, p <0,001), II-4 (3,45 pg/dL \pm 0,72 vs. 2.03 pa/dL \pm 0.35. p < 0.001) e II-10 (3,51 pg/dL \pm 1,77 vs. 1,85 pg/dL \pm 0,50, p < 0,001, Figura 1).

0.3 ba/dl. ± 0.35. b < 0.0011 e Il.+10 (3,51 pg/dl. ± 1,77 vs. 1,85 pg/dl. ± 0,50, p < 0,001, Figura 1).

Encontrous-se, ainda, em pacientes em uso de varfarina, em comparação ao grupo controle, concentrações significativamente aumentadas de TNF (4,87 pg/dl. ± 5,13 vs. 1,35 pg/dl. ± 0,69, p < 0,001) e IFN-F (3,50 pg/dl. ± 1,55 vs. 1,15 pg/dl. ± 0,023, p < 0,001, Figura 2).

Figura 1, Niveis plasmiticos das citocinas inflamatórias IL-2 (A), Il-4 (8) e Il-10 (X, comparando os grupos controle (n = 56), varfarina (n = 42) e invaroabana (n = 29). Abreviatura: IL e interlectiona. Figura 2. Niveis plasmiticos das citocinas inflamatórias IR-4 (e) (R). Comparando os grupos controle (n = 56), varfarina (n = 42) e invaroabana (n = 29). Abreviatura: IL e interlectiona. O fator de coagulação Xa demonstrou um papel n ativação da resposta inflamatória em estudos prévios3. Uma vez que a rivaroxabana (n = 20). Abreviatura: IL e interlectiona.

é um inibidor direto do fator Xa, é possível sugerir que o seu mecanismo de ação pode explicar o motivo pelo qual níveis mais baixos de marcadores inflamatórios foram observados em pacientes em tratamento com este medicamento, em relação à varfarina. Conclusão: Face ao exposto, foi possível verificar que a rivaroxabana apresentou potencial efeito anti-inflamatório, e este resultado fornece novas perspectivas nivaruxauaria apresentou potencial efeito anti-inflamatório, e este resultado fornece novas perspectivas para o tratamento com anticoagulantes orais diretos em pacientes com fibrilação atrial, aeterebas Biologáficas INAGALHÁSE, I. P. HOUERBOD, M. D. C. KINTAR, E. D. SAAD, E. R. KUNTENER, R. F. LETERBR, R. A. Il Divertes Basislacias febrilação Atrial, Article Bas Cardiol, V. 106, A. 4 supl. 2, p. 1-22, 2016. 2 HU, Y.C. CHEN, Y. J. (N. Y.), CHEN, S. A. Inflammation and the pathogenesis of atrial fibrilation. Nal Rec Cardiol, V. 12, A. p. 230-43, A prol. 2013. B BUXOVISAS, A. ZACHÁRBÁS, L. WEINERT, S. SADP F. INATMANIN, C. HUTH, C., OETTE, A. Gaugulation facto Xa induces an inflammatory signalling by activation of protesse-activated receptors in human atrial tissue. Eur J Pharmacol, v. 718, n. 1-3, p. 14-123, 2019.



RESUMO DE TEMAS LIVRES | 28º CONGRESSO DA SOCIEDADE MINEIRA DE CARDIOLOGIA

TIO5

OCLUSÃO PERCUTÂNEO DAS E CIA OSTIO SECUNDO (CIA OS) E FORAME OVAL PERMEÁVEL (FOP): EXPERIÊNCIA COM 1394 CASOS

EDMUNDO CLARINDO OLIVEIRA, MARCO ANTÔNIO G. MOURA , JOSÉ AUGUSTO DE ALMEIDA, TAMARA KATINA

FELÍCIO ROCHO, HC-UFMG, MATER DEI, SOCORE VILA DA SERRA, BELO HORIZONTE MG, BRASIL.

O fechamento percutâneo de CIAOS e de FOP tem sido realizado com sucesso e com baixa morbimortalidade, sendo considerado o método de escolha atualmente. Objetivos: Apresentar experiência do serviço em 1394 casos. Método: Entre Janeiro de2000 e Abril de 2018, 1394 Pts. foram submetidas a fechamento percutâneo de CIAOS ou FOP. Indicações: Repercussão hemodinâmica pela presença sintomas ou por aumento das câmaras cardíacas direita ao ecocardiograma nos casos de CIA, e quadro sugestivo de embolia paradoxal associado a comprovação de grande Shunt da direita para esquerda com teste de microbolhas espontaneamente ou após manobra de Valsava. O procedimento foi guiado por ECOTT, TE ou intracardíaco. Análises estastíticas: As variáveis quantitativas foram descritas através de média ±Dp e as qualitativas através das frequências absoluta e porcentagem. Foram ilustrados os dados através dos gráficos: histograma, de pontos e de setores. O software utilizado foi o SPSS versão 20.0. Resultado: procedimentos foram realizados com sucesso em 1392 (99,8%) dos casos, 2 pts. foram enviados para cirurgia (0,2%). Peso = 4,5a92 (m=36) kg; idade 3 meses a 78 anos (m=41); 58% feminino. Normalização do tamanho cardíaco ou diminuição significativa ocorreu em todos. Nos pacientes com FOP não ocorreram recidivas de embolia paradoxal. Arritmia SV transitóriaem 30(2,1%), cefaleiaem 135(9,7%). Ausênciade Shunt residual em 97,5% e Shunt residual discreto em 2,5%. Embolização da prótese em 5 (0.3%) sendo retirada durante o procedimento em 3 casos necessário cirurgia em dois pacientes. Procedimento foi guiado por ECOTE=1148 (82,3%); ECOIC 218(15,7%) e ECOTT 28 (2,0%); fechamento FOP 409 (29,3%); CIA 985 (70,6%); tamanho das próteses em mm <20=352 (36,0%), 21 a 30=456 (46,0% e>30177 (18,0%). Discussão/Condusão: O fechamento percutâneo do CIAOS e do FOP está indicado quando há repercussão hemodinâmica nos casos de CIA e de evidências de embolia paradoxal na ausência de outras causas mais importantes em pacientes com FOP. Os procedimentos foram realizados com sucesso em todos pacientes sem mortalidade e sem complicações maiores, constituindo em método de escolha em nossa opinião

TIO6

SEGUIMENTO TARDIO DE PACIENTES COM CARDIOPATIA REUMÁTICA LATENTE NO BRASIL: DADOS DO ESTUDO PROVAR

BÁRBARA M. F. BECHTLUFT, BRUNO R. NASCIMENTO, CLARA L. FRAGA, MÁRCIA M. BARBOSA, SUSANA D. P. REIS, ZILDA MARIA A. MEIRA, BRENO D. F. REZENDE, GABRIELA Z.L. RUIZ, ANTONIO L. P. RIBEIRO, MARIA CARMO P NUNES

HOSPITAL DAS CLÍNICAS DA UNIVERSIDADE FEDERAL DE MINAS GERAIS, BELO HORIZONTE, MG, BRASIL.

O rastreamento ecocardiográfico surgiu como uma ferramenta importante para se estimar a prevalência de Cardiopatia Reumática (CR) nas comunidades, e os critérios foram padronizados em 2012 pela World Heart Federation. Ainda busca-se avaliar o prognóstico tardio de pacientes com CR latente. Objetivos: Avaliar a evolução em 12 meses de crianças e adolescentes (5 -18 anos) com diagnóstico de CR diográficos portáteis para o rastreamentoecocardiográfico de CR. Nesse estudo são apresentados dados de 12 meses de seguimento de pacientes com CR subclínica diagnosticados pelo programa. Progressão de CR foi definida como piora da categoria diagnóstica, surgimento ou piora de regurgitação e/ou estenose valvar ao ecocardiograma convencional (GE Vivid IQ) ou morte. Resultados: Foram reavaliados 89 pacientes com tempo de seguimento de 21,5±5,5 meses, sendo 77 (86%) com CR borderline e 12 (14%) CR definitiva. A idade média foi de 16,7±2,8 anos, sendo 59 (66%) do sexo feminino. Apenas 2 pacientes, no grupo definitivo, estavam em uso de Penicilina, e 29 (33%) apresentavam algum sintoma, sendo os mais frequentes dispneia (13,5%) e palpitações (12,4%). Dentre os pacientes com CR borderline, 13 (16,9%) progrediram para CR definitiva, 27 (35,1%) permaneceram estáveis, 33 (42,9%) regrediram para normal e 4 (5,2%) foram reclassificados em outras cardiopatias. Dentre aqueles com CR definitiva, 6 (50%) permaneceram na categoria, enquanto 2 (16,7%) regrediram para borderline, 3 (25%) regrediram para normal e 1 foi reclassificado como outra cardiopatia. Dentre os pacientes com CR borderline que progrediram, 11 (84,6%) tinham apenas regurgitação mitral como diagnóstico inicial. Os preditores independentes de progressão da CR foram: espessamento do folheto mitral anterior (HR: 8,7, Ic95% 2,7 - 27,3), comprimento do jato de regurgitação mitral (HR: 1,1, IC95% 1,1 - 1,2) e espessamento focal da valva aórtica (HR: 36,6, IC95% 3,4 - 394,4). Seguimento tardio de pacientes com Cardiopatia Reumática Jatente no Brasil: dados do estudo PROVAR. Conclusões: A CR latente é um diagnóstico heterogêneo e com evolução variável. Pacientes com CR definitiva têm elevada probabilidade de permanecer nesta categoria, e os índices de progressão da CR borderline não são desprezíveis. É necessária uma avaliação a longo prazo dos critérios clínicos e ecocardiográficos relacionados aprognósticos desfavoráveis.

TLO7

COMPARAÇÃO ENTRE DIFERENTES ESTRATÉGIAS DE PROCESSO EDUCATIVO SOBRE CARDIOPATIA REUMÁTICA EM ESCOLAS PÚBLICAS: ESTUDO RANDOMIZADO POR CLUSTER

KACIANE K. B. OLIVEIRA, BRUNO R. NASCIMENTO, GABRIELA Z. L. RUIZ, LARA CASTRO, KARILA C. A. LAURIANO, LETÍCIA MARIA M. RABELO, ISABELLA M. TEIXEIRA, TAINÁ V. LOURENÇO, MARIA CARMO P. NUINES, ANTONIO L. P. RIBEITA.

HOSPITAL DAS CLÍNICAS DA UNIVERSIDADE FEDERAL DE MINAS GERAIS, BELO HORIZONTE, MG, BRASIL.

A Cardiopatia Reumática (CR) ainda é uma importante causa de morbimortalidade no Brasil. A falta de conhecimento da população sobre a doença limita a eficácia dos programas de prevenção. Método: Avaliar a eficácia da transmissão de conhecimento resultante de processo educativo sobre CR em escolas públicas, comparando resultados de método tradicional com slides e método interativo com uso de tablets. Resultados: Um total de 1.316 alunos consecutivos foram randomizados (22,8% < 13 anos, 26.2% de 13 a 16 anos e 51% > 16 anos), sendo 51.7% do sexo feminino. Antes da intervenção, o conhecimento geral sobre CR foi universalmente baixo (pontuação média G1 34,0% x G2 32,3%, p=0,23). Uma melhora significante, porém similar, de 71% foi observada em ambos os grupos no Posteste imediato (Pré x Pós: p<0,001): G1 57,5% x G2 56,2%, p=0,69. No Posteste de 3 meses foi observada uma significativa piora de 20% e as notas finais foram novamente similares: G1 44,8% x G2 45,7%, p=0,87. As taxas de retenção, em relação aos Pos-testes, foram 77,9% e 81,3%, respectivamente (p=0,79). Crianças nas series mais avançadas tiveram pontuações mais altas de forma geral em todos os testes, com uma correlação positiva com idade (p<0.001). Meninas também tiveram melhores desempenhos gerais (feminino: G1 54,7%, G2 55,6% x masculino: G1 35,9%, G2 32,5%, p<0,001). Não houve associação entre a escolaridade dos pais e o desempenho nos 3 testes. Conclusões: Processo educativo sobre CR em escolas resultou em modestos ganhos em conhecimento, com baixa retenção ao longo do tempo. A nova tecnologia de educação baseada em tablets obteve resultados similares quando comparada ao método tradicional com slides. Mais estudos são necessários para determinar se o aumento do conhecimento leva a mudanças comportamentais que poderiam reduzir a carga de CR.

TLO8

CARDIOVERSOR - DESFIBRILADOR IMPLANTÁVEL NA CARDIOPASA CHAGÁSICA: REVISÃO SISTEMÁTICA E METANÁLISE DOS ESTUDOS OBSERVACIONAIS

ANDRE A.L. CARMO1, MARCOS R. DE SOUSA1. JUAN F. AGUDELO2, ERIC BOERSMA3, MANOEL O. C. ROCHA 1, ANTONIO L. P. RIBEIRO1, CARLOS A. MORILLO4,5

1 HOSPITAL DAS CLÍNICAS E FACULDADE DE MEDICINA, UNIVERSIDADE FEDERAL DE MINAS GERAIS, BRAZIL; A ZRRYTHIMA & ELECTROPHYSIOLOGY SERVICE, HOSPITAL SAN VICENTE DE PAUL, MEDELLIN, COLOMBIA; 3. DEPARTMENT OF CARDIOLOGY, ERASMUS MC, ROTTERDAM, THE NETHERLANDS; 4. DEPARTMENT OF CARDIAC SCIENCES, LIBIN CARDIOVASCULAR INSTITUTE, UNIVERSITY OF CALGARY, CALGARY, ALBERTA, CANDAQ; 5. POPULATION HEALTH RESEARCH INSTITUTE, HAMILTON HEALTH SCIENCES, MCMASTER UNIVERSITY, HAMILTON, ONTARIO, CANADA

Em pacientes portadores de cardiopatia chagásica (CMCh), a morte súbita é a principal causa de morte, correspondendo a aproximadamente 2/3 de todos os óbitos. O desfibrilador-cardioversor implantável (CII) é uma terapia bem estabelecida para prevenção de morte súbita em pacientes com cardiopatia estrutural, porém existem opiniões divergentes quanto à sua eficácia e segurança em pacientes com CMCh. Objetivos: Realizar uma revisão sistemática e metanadise para avaliar a eficácia do CDI na prevenção secundária de morte súbita em pacientes com CMCh, comparando o desfecho mortalidade nos pacientes tratados com CDI versus pacientes tratados com antiarrítmicos. Método: Cinco bancos de dados foram pesquisados sistematicamente quanto a estudos que avaliaram mortalidade em pacientes com CMCh et aquicardia ventricular sustentada (TV) tratados com CDI ou amiodarona. Os resultados foram agrupados através do método de efeitos aleatórios. Resultados: Não houve nenhum estudo dínico aleatorizado que comparasse a eficácia do CDI versus terapia medicamentosa em pacientes com CMCh. Seis estudos observacionais foram induídos para amálise qualitativa e quantitativa. O desfeho mortalidade na população CDI foi 9,7 por 100 pacientes-ano de seguimento (95% IC 5,7-13,7) e 9,6 por 100 pacientes-ano na população CDI foi 9,7 por 100 pacientes-ano de seguimento (95% IC 5,7-13,7) e 9,6 por 100 pacientes-ano na população tratada com amiodarona (95% IC 6,7-12,4) (p=0,95). Meta-regressão foi realizada para determinar heterogeneidade e não demonstrou qualquer associação com fração de ejeção do ventrículo esquerdo (p=0,32), idade (p=0,44), uso de betabloqueador (p=0,33) ou inibidores de aenzima conversora da angiotensina (p=0,096). Conclusão: As evidências extraídas de pequenos estudos observacionais sugerem que o implante de CDI para profilaxia secundária de morte súbita (TV ou morte súbita abortada) não está associado a diminiuição da mortalidade em pacientes com CMCh. Referências Biblogrása: 11,1ete.1 et al. CliniciuseUnies of electrophysiologi

APRESENTAÇÃO ORAL





TLO9

ADESÃO ÀS DIRETRIZES ASSISTENCIAIS DE INSUFICIÊNCIA CARDÍACA: UM PROGRAMA DE BOAS PRÁTICAS CLÍNICAS EM CARDIOLOGIA

PASSAGLIGR, SIMÕES MF, SEMABUKUROGZ, SILVA GCP, CUNHA CT, TEODORA GB, NOGUEIRA MR, FERREIRA LOR, BRANT LCC, PASSAGLIA LG

HOSPITAL DAS CLÍNICAS DA LIEMG

No Brasil, a baixa adesão às diretrizes assistenciais é uma das razões para a alta mortalidade por insuficiência cardíaca (IC). Assim, a Sociedade Brasileirade Cardiologia (SBC) em parceria com a American Heart Association e com apoio do Ministério da Saúde elaborou o Projeto Boas Práticas Clínicas em Cardiologia (BPC), cujo objetivo é avaliar as taxas de adesão às diretrizes da SBC em instituições do Sistema Único de Saúde (SUS) antes e após o projeto. Método: Trata-se de estudo longitudinal no qual avaliamos os resultados referentes à IC após a implementação do projeto BPC. Nesta análise, avaliam-se os resultados do de maio de 2016 a dezembro de 2017. Os indicadores de desempenho analisados foram: medida da função do ventrículo esquerdo, medicamentos prescritos (betabloqueador, IECA e outros, conforme indicação), e agendamento de consulta de retorno. O desfecho primário do estudo consistiu na avaliação dos indicadores de desempenho comum a meta mínima estipulada de 85% de adesão global às recomendações das diretrizes da SBC. Resultados: Foram incluídos 95 pacientes. A idade média foi 59±13 anos, 54% eram homens e 90% apresentavam IC prévia. As principais com orbidades foram fibrilação/flutre tratial (47%), hipertensão arterial (46%), doença de Chagas (34%), diabetes (28%), doença renal crônica (27%), infarto agudo do miocárdio (21%), doença aterial coronariana crônica e hipotireoidismo (17%), refletindo a complexidade dos pacientes. A análise dos indicadores de desempenho mostra Beta-Bloqueador na alta (89,4%), IECA ou BRA na alta (88,5%), avaliação da FEVE na internação (96,9%), Espironolactona em FEVE <35% na alta (90,2%), agendamento de consulta de retorno (97,4%). Discussão e Conclusão: A características clínicas dos pacientes com predomínio do sexo masculino, idade ≥50anos e alta prevalência de comorbidades refletem o perfil e a complexidade dos pacientes internados por IC. A alta taxa de IC prévia, suas complicações, como FA/Futte, e as múltiplas comorbidades fedesachado ha descân às diretrizes assiste

TI10

O VALOR PROGNÓSTICO DO BLOQUEIO DE RAMO ESQUERDO EM UMA COORTE ELETRÔNICA DA ATENÇÃO PRIMÁRIA À SAÚDE

CANAZART JA, PAIXÃO GMM, OLIVEIRA DM, GOMES PR, SILVA E SILVA LG, PIFANOM, NASCIMENTO J, CARDOSO GF, RIBEIRO MH, RIBEIRO ALP.

UNIVERSIDADE FEDERAL DE MINAS GERAIS

A telessaúde é um recurso importante para a melhora da assistência à saúde na atenção primária. O uso da eletrocardiografia digital nesse contexto fornece ados diagnósticos clínicos e epidemiológicos de grande importância para a saúde pública, uma vez que conseguem determinar o valor prognóstico de alterações eletrocardiográficas. Objetivos: O presente estudo tem como objetivo estimar o risco de mortalidade geral em pacientes com diagnóstico de bloqueio de ramo esquerdo (BRE) em uma ampla coorte eletrônica. Método: Trata-se de um estudo observacional retrospectivo. Foram avaliados pacientes maiores de 16 anos que realizaram eletrocardiograma (ECG) digital pela Rede de Teleassistência de Minas Gerais entre os anos de 2013 a 2016. O paraemento probabilistico entre os ECG se o sistema de informação de mortalidade de Minas Gerais entre os anos de 2013 a 2016. O paraemento probabilistico entre os ECG se o sistema de informação de mortalidade de Minas Gerais foi realizado. Os dados dínicos foram auto-relatados e os ECGs foram laudados por cardiologistas treinados, além de interpretados pelos softwares automáticos de Glasgowe Minnesota. Utilizou-se a cregressão de Cox ajustada pela idade e sexo para avaliar a relação entre alterações do ECG e a mortalidade, Resultados: Foi utilizado um banco de dados com 1,542,508 ECGs. Destes, foram incluídos 1.075.531 pacientes após exclusão de exames inválidos e repetidos. A idade média dos pacientes e em análise multivariada apresentaram risco aumentado de mortalidade por todas as causas foi de 2,9%. As alterações compatíveis com BRE foram encontradas em 1,14% dos pacientes e em análise multivariada apresentaram risco aumentado de mortalidade eletrocardiográficos de maior mortalidade per todas as causas foi de 2,3% as alterações compatíveis com BRE foram encontradas em 1,14% dos pacientes e em análise multivariada apresentaram risco aumentado de mortalidade eletrográfico de mortalidade eletrocardiográficos. Rei al lumpoving patient acces to specialized health care: the Telehabil N

TI11

RESPOSTA DE PRESSÃO SISTÓLICA EM ARTÉRIA PULMONAR AO EXERCÍCIO EM PACIENTES COM ESTENOSEMITRAL

ESTENDSEMITMAD DE CASTRO FARIA, MD¹; HENRIQUE SILVEIRA COSTA, PHD¹; JUDY HUNG, MD³; ANDRÉ GORLE DE MIRANDA CHAVES¹; FLÁVIO AUGUSTO PAES DE OLIVEIRA¹; JOSE LIUIZ PADILHA DA SILVA, PHD¹; WILLIAM ANTONIO M. ESTEVES, MD, PHD²; TIMOTHY C TAN MD, PHD¹; ROBERT A LEVINE, MD, PHD²; SUEMARA FERNANDES DA SILVA MARTINS¹; MARIA CARMO PEREIRA NUNES, MD, PHD¹

(1) UNIVERSIDADE FEDERAL DE MINAS GERAIS; (2) HARVARD MEDICAL SCHOOL; (3) UNIVERSIDADE FEDERAL DO PARANÁ; (4) UNIVERSITY OF WESTERN SYDNEY

O comportamento da pressão arterial pulmonar é considerado o parâmetro mais importante avaliado durante o ecocardiograma de esforço para guiar decisões clínicas em pacientes com estenose mitralo (EM), especialmente diante das discrepâncias entre sintomas e gravidade da estenose. Entretanto, aumento importante da pressão arterial pulmonar pode ocorrer em pacientes assintomáticos e com área valvar maior que 1,5 cm². Dessa forma, o significado da hipertensão pulmonar durante o esforço como preditor de eventos adversos na EM precios as er melhor estabelecido. Objetivo: Este estudo tem como objetivo determinar o impacto do aumento da pressão sistólica de artéria pulmonar (PSAP) no pico do exercício, nos desfechos clínicos em pacientes com EM isolada. Além disso, objetivamos definir um ponto de corte para PSAP esforço-induzida que possa predizer prognóstico nesta população, Método: Cento e trinta pacientes com EM, 94% mulheres, idade 45 ± 11 anos, 28 em fibrilação atrial, foram submetidos ao cocardiograma de repouso e de esforço. Ao ecocardiograma de repouso, várias variáveis foram obtidas, induindo a complacência atrioventricular (Cn). O ecocardiograma de esforço físico foi realizado utilizando-se uma cido-maca (bicideta adaptada à maca), realizado na posição supina, com protocolo de rampa e limitado por sintomas. Resultados: O exercício foi interrompido por dispneia (61,5%) ou fadiga muscular (30,8%), com duração de 7,54 ± 3,03 minutos e carga de esforço atingida de 64,8 ± 20,2 Watts. A PSAP aumentou de 38,3 ± 13,4 mmlg em repouso para 65,8 ± 20,7 mmlg no pico de exercício, principalmente nos pacientes com baixa C n. Durante o seguimento, mediana de 17 meses (variou de 1 a 45 meses), 51 pacientes apresentaram eventos adversos. Após análise multivariada pelo modelo de Cox, a PSAP no pico de esforço foi preditor independente de eventos. Cn, classe funcional de New York Heart Association (NYHA) e interação entre área valvar mitral (AVM) e Cn também foram associados a eventos dínicos adversos. Conclusão: Em pacientes c

Tl12

ANÁLISE DO PERFIL DOS PACIENTES COM SÍNDROME CORONARINA AGUDA ATENDIDOS EM HOSPITAL PRIVADO

Elena Domingues de Simoni Silveira, Brissa Danielle Barbosa, Bruno Samuel José Luiz de Araújo, SanderLuiz Gomes Pimentel, Claudia Saad Valadares Jaime, Gustavo Micenade Araújo, Ricardo Wang, Fernando Carvalho Neueschwander

HOSPITAL VERA CRUZ , BELO HORIZONTE

A doença cardiovascular, principalmente as síndromes coronarianas agudas são um das principais causas de mortalidade no Brasil. Dados epidemiológicos nacionais são muito escassos, com alguns registros, e o maior dele realizado pela Sociedade Brasileira de Cardiologia, que é o Registro ACCEPT. Mas a maioria desses pacientes são oriundos de registros da rede pública, e existem poucos registros do perfil do paciente coberto pela rede suplementar. Objetivo deste registro é comparar o perfil dos pacientes com síndrome coronariana aguda atendidos no Hospital IVera Cruz de Belo Horizonte (HVC), com o perfil dos pacientes no registro ACCEPT. O HVC é um hospital privado, com atendimento exclusivo de pacientes com cobertura da saúde suplementar. Métodos: Em Janeiro de 2018 foi implantado o sistema de coleta de dados de todos os pacientes internados no HVC, com a intenção de monitorizar a qualidade assistencial. Os dados clinoso foram coletados e inseridos no banco de Dados RedCap(VanderbiltUniversity®). Os dados coletados foram comparados com os achados do Registro ACCEPT. Para dados categóricos foram apresentados em porcentagem, e comparados utilizando o teste de exato de Fisher; para dados contínuos foram apresentados com os achados do Registro ACCEPT. Accept a dados categóricos foram apresentados en vertos de deseños de deseños de comparados utilizando o teste de exato de Fisher; para dados contínuos foram apresentados como media e desvio-padrão, e comparados utilizandos o teste "t" destudent. Valores de p<0,005 foram considerado estatisticamente significante. Resultados: Foram coletados 47 pacientes para o registro no período de Janeiro até Maio de 2018. O dados epidemiológicos estão listados abaixo na tabela. *Na nossa amostra, 83% foram admitidos com SCA sem supra do segmento ST versus 66% no Registro ACCEPT (p=0,01). *43% dos pacientes supra mados dos futucional, e o restante (23%) foram submetidos a estudo invasivo. *75% dos pacientes submetidos a coronariografia necessitaram de revascularização coronariana. Cond

de risco foram iguais nos dois registros. Referências Bibliográficas: 1. Piva e Matos, et al. Desfechos dínicos aos 30 dias do Registro Brasileiro de Síndromes Coronarianas Agudas (ACCEPT). ArqBras Cardiol. 2013;100(1):6-13.

	Registro HVC	Registro Accept	Valor de p
Sexo Masculino	56%	68%	0,13
Idade	65,9 <u>+</u> 2	64 <u>+</u> 12	< 0,001
Hipertensão Arterial	76%	78%	0,78
Diabetes Mellitus	33%	30,8%	0,63
Dislipidemia	47%	56%	0,23
Tabagismo	27%	22%	0,37



RESUMO DE TEMAS LIVRES | 28º CONGRESSO DA SOCIEDADE MINEIRA DE CARDIOLOGIA

TL13

INTEGRAÇÃO DO RASTREAMENTO ECOCARDIOGRÁFICO COM INTERPRETAÇÃO POR TELEMEDICINA NA ATENÇÃO PRIMÁRIA: DADOS DO ESTUDO PROVAR+

BRUNO R. NASCIMENTO, MARIA CARMO P. NUNES, KACIANE K. B. OLIVEIRA, MÁRCIA M. BARBOSA, JOÃO PEDRO P. RIOS, ISABELLA M. TEIXEIRA, LETÍCIA MARIA M. PABELO, KARLLA K. A. LAURIANO, ANTONIO L. P. RIBEIRO, CRAIG SABLE

HOSPITAL DAS CLÍNICAS DA UNIVERSIDADE FEDERAL DE MINAS GERAIS, BELO HORIZONTE, MG, BRASIL, CHILDREN'S NATIONAL HEALTH SYSTEM, WASHINGTON, DC, EUA.

Doenças cardíacas (DC) são responsáveis por elevada morbidade e mortalidade no Brasil. Populações de baixa renda frequentemente sofrem com atrasos no diagnóstico, e o rastreamen destas doencas na atenção primária pode contribuir para melhora na assistência. Objetivos: Avaliar a factibilidade da integração do rastreamento ecocardiográfico com interpretação remota na Atenção Primária já estabelecida no Brasil, e avaliar a prevalência de DC em regiões de baixa renda. Método: Em 10 meses, 20 profissionais de saúde (médicos, enfermeiras e técnicos) em 16 centros de saúde foram treinados em protocolos simplificados de eco, utilizando equipamentos ultra portáteis. Agentes de saúde foram treinados para prover educação em visitas domiciliares. Três grupos de rastreamento (RT), incluindo pacientes consentidos com idade de 17-20, 35-40 e 60-65 anos, e pacientes referenciados (RF) para ecocardiografia por indicações clínicas foram submetidos ao protocolo simplificado. Os estudos foram interpretados remotamente no Brasil e nos EUA por telemedicina. DC significativa foi definida como doença valvar e hipertrofia/disfunção ventricular esquerda (VE) moderadas a graves, derrame pericardico, cardiopatia segmentar e cardiopatia congênita. Grupos RT e RF foram comparados com o teste exato de Fisher. Resultados: De janeiro a dezembro de 2017, 3.500 pacientes foram educados, e 1.004 foram submetidos ao ecocardiograma; 299 (29,8%) no grupo RT. Todos os exames tiveram qualidade adequada para interpretação. A idade média foi de 51 ± 18 anos, 63,9% sexo feminino; 51,7% tinham hipertensão e 16,9% diabetes. Os sintomas mais frequentes foram dor torácica (24,4%), dispneia (19,3%) e palpitações (16,1%); 57,3% eram assintomáticos. DC significativa foi encontrada em 354 (35,3%) dos pacientes (RT 23,4% x RF 40,3%, p<0,001). A prevalência foi maior em pacientes do grupo RT >60 anos (29,2%) comparados a 35-40 (14,9%) e <20 (16,5%), p=0,012. Comparando os grupos RT e RF, disfunção de VE moderada/grave foi observada em 4,1% x 8,1%, p=0,03, regurgitação mitral moderada/grave em 8,9% x 20,3%, p<0,001 e estenose aórtica moderada/grave em 5,4% x 4,3%, p=0,51. Conclusão: A integração da ecocardiografia de rastreamento na Atenção Primária parece ser factível no Brasil, como estratégia para provisão de cuidados cardiovasculares em áreas de baixa renda. A considerável prevalência de DC observada sugere que esta ferramenta pode melhorar o diagnóstico precoce e a priorização de encaminhamentos

TL15

REGISTRO DE UMA POPULAÇÃO DE PACIENTES COM INSUFICIÊNCIA CARDÍACA SUBMETIDA À TERAPIA DE RESSINCRONIZAÇÃO CARDÍACA – ANÁLISE DAS RESPOSTAS FUNCIONAL CLÍNICA E FOCCARDIGORÁFICA

CYBELLE NUNES LEÃO; TALITA SANTOS DA SILVEIRA BETTONI; BÁRBARA VIDIGAL DOS SANTOS; CAMILA ABRAHÃO CARAM LISBOA; GUILLERMO VIGIL VERASTEGUI; CARLOS ROBERTO DE BRITO; JOSEPH FABIANO DOS SANTOS; YORGHOS MICHALAROS;

HOSPITAL GOVERNADOR ISRAEL PINHEIRO – IPSEMG.

Até um terço dos pacientes com insuficiência cardíaca (IC) pode apresentar distúrbios na condução intraventrícular e a larga mentodo QRS, principalmente o bloqueio de ramo esquerdo (BRI), o que produc dissincronismo na contração cardíaca, agravando ainda mais a disfunção ventrícular. A terapia de ressincronização cardíaca (TRC) por meio do marca passo biventricular (Mpbiv) tem se mostrado eficiente na redução da morbi-mortalidade desses pacientes. Objetivo: Avaliar a eficácia da TRC quanto a melhora clínica medida pela dasse funcional NYHA e remodelamento reverso, em pacientes com padrão de BRE, duração do QRS maior que 130ms, já com terapia medicamentos a otimizada para IC, submetidos a esta modalidade terapêutica em um hospital geral da rede estadual. Métodos: Registro de amostra de 79 pacientes da clínica de IC, submetidos a implante de MpBiv para TRC entre os anos de 2003 a 2018. A obtenção das informações foi realizada com consentimento informado e os dados foram coletados através de consulta aos prontuários e com entrevista direta. Na avaliação pré TRC e pós TRC foi definida a classe funcional NYHA e realizado ecocardiograma para analise de parâmetros funcionais. Os dados foram analisados com auxílio do programa SPSS. Resultados: Na amostra avaliada 45% dos pacientes eram mulheres. Foram observadas três etiologias principais para IC: miocardiopatia dilatada em 40%, isquêmica em 16% e hippertensiva em 8%. No momento da coleta de dados, 38% dos pacientes da amostra, haviam morrido e não foram incluídos na análise transversal, Quando comparados os parâmetros atuais após a TRC com os registros antes do implante do Mpbiv, houve melhora significativa os diâmetros sistólico e diastólico do ventrículo esquerdo (p <0,002 e 0,007, respectivamente). Não houve redução significativa no diâmetro do átrio esquerdo (p <0,002 e 0,007, respectivamente). Não houve redução significativa no diâmetro só os pacientes submetidos ao implante de Mpbiv. Tem sido relatado que cerca de um terço dos pacientes submetidos ao implante de

TL14

CINTILOGRAFIA DE TRÂNSITO ESOFÁGICO NAS FORMAS CRÔNICA INDETERMINADA E CARDÍACA DILATADA DA DOENÇA DE CHAGAS: ASSOCIAÇÃO ENTRE DISFUNÇÃO AUTONÔMICA DO ESÔFAGO E MORBIDADE CARDÍACA

DUMONT, SM; MARINO, VSP; PACHECO, JMS; FREITAS, SS; NASCIMENTO, BR; NUNES, MCP; ROCHA, MOC FACULDADE DE MEDICINA E HOSPITAL DAS CLÍNICAS DA UFMG

A doença de Chagas (DC) pode acometer coração ou trato digestivo e sua patogênese não está completamente esclarecida, sendo a disfunção autonômica (DA) possível fator patogenético. Desenhou-se este estudo para avaliara DA no esófago em pacientes com diferentes formas de DC e controles não chagásicos (Nch), utilizando a cintilografia de trânsito esofágico (CTE). Objetivos: Avaliar a dismotilidade esofágica, marcador indireto de DA, empregando a CTE, em pacientes com DC e diversos graus de comprome-timento cardíaco e Nch. Dentre os pacientes com cardiomiopatia, verificar associação entre a motilidade esofagiana e grau de disfunção ventricular, expressa pela FEVE e o Ved. Método: Trata-se de estudotrans-versal. Pacientes recrutados do ambulatório de referência em DC (Orestes Diniz) do Hospital das Clínicas du JVFMG, classificados em forma crônica indeterminada I (FCI) e cardíaca dilatota y CCCCS). Pacientes com outras doenças cardíacas, gastrointestinaise/ ou sistêmicas e condições que poderiam interferir nos resultados da CTE foram excluídos. ACTE foi realizada após jejum de 4 horas, administração oral de 99m Crestanhocoloidal (1mC) fulludo em 10ml de água 3. As variáveis cintugráficas, tempo de trânsitoeso-fágico (TTE) e percentagem de esvaziamento esofágico (% EE), foram obtidas a partir de regiões de

interesse (ROIs) desenhadas no esófago (FIGURA1). Um consentimento informado por escrito foi obtido de todos os pacientes e o Comitê de Ética em Pesquisa aprovou o protocolo. Figuat Curar atriadad endadora varios tempor em valuntios usadoral. Figuado emense el OTI en calego a Util carra a filosofado endadora varios entre en confegendo endadora de como en confegendo endadora de como en confegendo endadora en como el OTI en calego a Util carra a filosofado endadora en confegendo endadora en confegendo endadora en como en confegendo en como en confegendo en como en confegendo en como en confegendo en como en como

î i

bandiom entada precos to retinsipa. Foram analisados 95 indivíduos: 20 Nch, 33FCl e 42CCC5 (TABELA1). Observou-se uma diferença nos valores de TTE e % E e por grupo (p < 0,001). O TTE foi menor para o grupo Nch (8,0s), seguido pelo FCl (16,5s) e CCC5 (60,0s). O valor de % EE foi maior paraoNCh (92,3%), seguido poelo FCl (86,7%) e CCC5 (56,9%), conforme as figuras 2 e 3. No grupo CCC5, TTE e %EE apresentaram correlação significativa com os valores de FEVE (r=-0,398 p=0,015) e (r=0,475 p=0,003), respectivamente (FIGURAS 4 e 5). ADC é uma doença tropical "negligenciada". Compreende duas fases: aguda inicial, seguida pela crônica (indeterminada, cardíaca ou digestiva); 4. AFCl têm excelente prognóstico e aCCC5 apresenta alta morbimortalidade; 5. A patogênese da CCC5 indui, entre outros, mecanismos neurogênicos e diferentes graus de disfunção parassimpática e/ou simpática predispõe a

arritmias ventriculares. Na formadigestiva, a desnervação parassimpática está bem estabelecida e pode ser estudada pela CTE. Observou-se associação entre a disfunção sistólicado VE e a prevalência e magnitude das alterações funcionais do esôfago, sendo interpretado como evidência indireta de concomitância de distúrbios gastro intestinais e cardíacos. Ainda, quanto maior o comprometimento da função autonômica do esófago, mais grave a disfunção cardíaca. Indirectuais Baleopulátos: Valudade do concoito de Cardiacos.

esőfago, mais grave a disfunção Cardíaca. Referencias Belogolíficas: Nutladas do correcto de forma indeterminato de deorga de Chapas. Renta da Sociedade Beasileas de Medicianhopical, v18,646-64,1985.CSM037-8862. 2000.M. Ao., 1986.DIO, A. L'IRSEA M. M. Clinical Imagenerior de clorenci Chapas com propulsty from Islando. 3, en 44-63-1/2003,3 all/SSEL, C.O. e. al. Residenciados transis exessivies excereing test for ecophagei dyshurchion. Castroentero, you, 80. n. 5 p. 1, 18,27-24/May 951. ISSEAD 1-555 Service 100-556.5 y from 100-5

RESUMO DE TEMAS LIVRES | 28º CONGRESSO DA SOCIEDADE MINEIRA DE CARDIOLOGIA



FP 001

ASPECTOS ECOCARDIOGRÁFICOS NA DOENCA DE KAWASAKI: RELATO DE CASO.

OLIVEIRA A PULIMA E AUSTAPASOLI A A VIMUCHILI A EDUMARTINS PIMUNETO NIR HOSPITAL SÃO JOÃO DE DEUS - DIVINÓPOLIS / MG.

A doenca de Kawasaki (DK) foi primeiramente introduzida na literatura médica em 1967 por Tomisaki Kawasaki, que a denominou inicialmente de síndrome do linfonodo mucocutâneo¹. Dada à natureza variável dos sinais e por não ter exame específico, seu diagnóstico é dínico. Específicamente, trata-se de uma vasculite aguda e multissistêmica que compromete vasos de pequeno e médio calibre². Se não tratadas, 15%-25% das crianças com DK desenvolvem sequelas coronárias, que variam em gravidade desde artéria coronariana assintomática até aneurisma coronário gigante que leva à trombose, infarto do miocárdio e morte súbita³. Essas alterações são responsáveis por cerca de 2% da mortalidade pela doença⁴. Relato de Caso: Criança de 2 anos e 7 meses, sexo masculino, com quadro inicial febril persisten te associado a exantema difuso, citado como "pele em aspecto de lixa". Recebeu antibióticos pensandose em escarlatina, porém mesmo com antibioticoterapia mantinha quadro febril surgindo edema e hipere mia em região labial, evoluindo com ressecamento importante e descamação da mucosa. Logo após iniciou hiperemia em região conjuntival com edema bipalpebral. Exames laboratoriais mostravam hematimetria e plaquetas 3 normais, Leucocitose de 11.620mm sem bastões e aumento de eosinófilos em 29%. Velocidade de hemossedimentação e proteína c reativa aumentados. Realizado ecocardiograma que mostrou coronária direita aneurismática com diâmetro de 3,40 mm e coronária esquerda de 2,83mm sem outras alterações no exame (Fig 1). Iniciado ácido acetisalicílico na dose de 80mg/kg/dia e a imuno-globulina 2g/kg no oitavo dia da doença. Recebeu alta após melhora clínica. Discussão: A Doença de



Kawasaki, inicialmente descrita no Japão, é uma vasculite sistêmica pro-aterosclerótica, que acomete frequentemente crianças menores de cinco anos, sendo a principal causa de doença cardíaca adquirida nessa faixa etária principalmente pela formação de aneurismas coronarianos. Neste cenário em que as artérias coronárias são difusamente acometidas, são observadas alterações inflamatórias na camada média com edema e necrose de células musculares. Com a evolução do processo

inflamatório, ocorre destruição das lâminas elásticas interna e externa, ocorrendo a formação dos aneurismas1. Caso essas alterações não sejam reconhecidas e instituído terapêutica adequada, esse dano cardiovascular difuso não diagnosticado na fase aguda, poderá manifestar-se tardiamente como infarto agudo do miocárdio em pacientes jovens⁴. O ecocardiograma deve ser realizado logo que haja suspeita de DK, sendo essencial na confirmação dos casos incompletos⁵. O lúmen arterial é considerado anormal quando > 3mm em crianças com menos de 5 anos de idade, > 4 mm em crianças com ≥ 5 anos, lúmen 1,5 vezes maior que o lúmen do segmento adjacente e 6 quando lúmen é claramente irregular. O uso da imunoglobulina, de acordo com a literatura, existe boa resposta na involução do aneurisma caso a imunoglobulina seja administrada ate o décimo dia da doença[‡]. Administração desta nos dez primeiros dias da doença, leva a redução do comprometimento da artéria coronária para 3-8% e da 4 mortalidade para 0,2% . Conclusão: A descrição das alterações cardiovasculares na literatura é escassa, visto a baixa frequência na indicação ecocardiográfica, o qual é de suma importância para o diagnóstico de aneurisma coronário e do próprio segmento da doença. Quanto à terapêutica, é impres-cindível sua instituição dentro da janela descrita, colaborando assim para minimizar as complicações da dOen(G., Referencies Bibliográficas: 1-Castro PA, Urbano LMR, Costa IMC, Doença de Kawasaki, An Basa Demando 1,2009,844(4) 317-91, 1-2 Ameidas et al. Fed.
dia deserça de Kawasaki em crianças excaminhadas para dois serviços de reumandojas pediátrica do Rio de Janeiro, Brasil, Rev Bas Reumando 2010;50(5):529-38
1-38 habita Biblior de Ma-Neer at 1.6 Estudo prospectivo das complicaces do Denega de Kawasaki anáde de 115 coss. Rev Assox Media 50(3):117,57(3):279-38
1-38 habita Biblior de Ma-Neer at 1.6 Estudo prospectivo das complicaces do Denega de Kawasaki anáde de 15 coss. Rev Assox Media 50(3):117,57(3):279-38
1-4 Angala Esposito Fernonato et al. Doença de Kawasaki esperiência clinica em hospital univencidario, Rev Paul Mediatr 2010;28(2):148-54, 5- Rangel, M.P. Doença de Kawasaki Dagolorio e Segulamento, Centro Rospitalar de Vonta.

Por Alexando Dagolorio e Segulamento, Centro Rospitalar de Vonta Mestado - Universidad de Vonta, 2009, 6-8, 2003.

Por Alexando Dagolorio e Segulamento, Centro Rospitalar de Vonta Mestado - Universidad de Vonta, 2009, 6-8, 2003.

EP003

RESPOSTA DE PRESSÃO SISTÓLICA EM ARTÉRIA PULMONAR AO EXERCÍCIO EM PACIENTES COM

SANNY CRISTINA DE CASTRO FARIA, MD¹; HENRIQUE SILVEIRA COSTA, PHD¹; JUDY HUNG, MD³; ANDRÉ GORLE DE MIRANDA CHAVES¹; FLÁVIO AUGUSTO PAES DE OLIVEIRA¹; JOSE LUIZ PADILHA DA SILVA, PHD²; WILLIAM ANTONIO M. ESTEVES, MD, PHD²; TIMOTHY C TAN MD, PHD¹; ROBERT A LEVINE, MD, PHD²; SUEMARA FERNANDES DA SILVA MARTINS¹; MARIA CARMO PEREIRA NUNES, MD, PHD¹

(1) LINIVERSIDADE FEDERAL DE MINAS GERAIS; (2) HARVARD MEDICAL SCHOOL; (3) UNIVERSIDADE FEDERAL DO PARANÁ; (4) UNIVERSITY OF WESTERN SYDNEY

O comportamento da pressão arterial pulmonar é considerado o parâmetro mais importante avaliado durante o ecocardiograma de esforço para guiar decisões clínicas em pacientes com estenose mitral (EM), especialmente diante das discrepâncias entre sintomas e gravidade da estenose. Entretanto, (EW), especialmient utaine das susceparicas entre sintorinas e gravidade de assentose. Entretario, aumento importante da pressão arterial pulmonar pode ocorrer em pacientes assintomáticos e com área valvar maior que 1,5 cm². Dessa forma, o significado da hipertensão pulmonar durante o esforço como preditor de eventos adversos na EM precisa ser melhor estabelecido. Objetivo: Este estudo tem como objetivo determinar o impacto do aumento da pressão sistólica de arteria pulmonar (PSAP) no pico do objetivo determina o mipacto do admento da pressa sistuita de afriera parinoriar (1544) no proci de exercício, nos desfechos clínicos em pacientes com EM isolada. Além disso, objetivamos definir um ponto de corte para PSAP esforço-induzida que possa predizer prognóstico nesta população. Método: Cento e trinta pacientes com EM, 94% mulheres, idade 45 ± 11 anos, 28 em fibrilação atrial, foram submetidos ao ecocardiograma de repouso e de esforço. Ao ecocardiograma de repouso, várias variáveis foram obtidas, induindo a complacência atrioventricular (Cn). O ecocardiograma de esforço físico foi realizado utilizando-se uma ciclo-maca (bicideta adaptada à maca), realizado na posição supina, com protocolo de tulicaliudo-se unia culvo-finata (ofuciera diopiada en intera), featizado no postgas supina, com protocolo de rampa e limitado por sintomas. Resultados: O exercício fo interrompido por dispineia (61,75%) ou fadiga muscular (30,8%), com duração de 7,54 ± 3,03 minutos e carga de esforço atingida de 64,8 ± 20,2 Watts. A PSAP aumentou de 38,3 ± 13,4 mmHg em repouso para 65,8 ± 20,7 mmHg no pico do exercício, principalmente nos pacientes com baixa Cn. Durante o seguimento, mediana de 17 meses (variou de 1 a 45 meses), 51 pacientes apresentaram eventos adversos. Após análise multivariada pelo modelo de Cox, a PSAP no pico de esforço foi preditor independente de eventos. Cn, classe funcional de New York Heart Association (NYHA) e interação entre área valvar mitral (AVM) e Cn também foram associados a eventos dínicos adversos. Conclusão: Em pacientes com EM, a resposta da pressão em artéria pulmonar ao exercício é determinada por uma combinação de fatores, incluindo gradiente em valva mitral durante o exercício, Cn, volume de átrio esquerdo e função ventricular direita. O pico da valva mitral durante o exercício, Cn, volume de átrio esquerdo e função ventricular direita. O pico da pressão em artéria pulmonar é um preditor importante de desfecho clínico; além de incrementar valor prognóstico adicional ao parâmetros padrões de repouso, incluindo área valvar. Referências Bibliográficas: 1) Brochet E, Detaint D, Fondard O, Tazi-Mezalek A, Messika-Zeitoun D, Jung B, Vahanian A. Early hemodynamic changes versus peak values: What is more useful to predict ocurrence of épispena during stress echocardiography in patients with asympromatic intrial stensor) Journal of the American Society of Echocardiography. 2011;24:392398 2) Lancellotti P. Pellikkia PB, Budts W, Chaudhry FA, Donal E, Dulgher IR, Edverden E, Gashi M, Bally Kane CK, Kreeger J, Metrets L, Pilosard P Ranca E, Ryan I, Stustu JM, Waspa G, Messer J, Metret SL, Pilosard P Ranca E, Ryan I, Stustu JM, Waspa G, Meser J, Metret SL, Pilosard P Ranca E, Ryan I, Stustu JM, Waspa G, Meser J, Metret SL, Pilosard P Ranca E, Ryan I, Stustu JM, Waspa G, Kreeger J, Metrets L, Pilosard P Ranca E, Ryan I, Stustu JM, Waspa G, Waspa C, Hotera C, Pilosard P Ranca E, Ryan I, Stustu JM, Waspa G, Waspa C, Hotera C, Pilosard P Ranca E, Ryan I, Stustu JM, Waspa G, Waspa C, Hotera C, Pilosard P Ranca E, Ryan I, Stustu JM, Waspa G, Waspa C, Waspa american college 2014;148:e1-e13

FP002

DISSECÇÃO CORONARIANA ESPONTÂNEA COMO CAUSA DE INFARTO AGUDO DO MIOCÁRDIO

ELUAN ALBUQUERQUE DE LIMA; CAMILA OTONI NEVES; BRUNA ALVES MELO DE SOUZA; MARINA ROSSI DE OLIVEIRA; CAMILLA ALVES MURATORI; MARCUS VINICIUS DE PAULA DA SILVA

HOSPITAL SANTA CASA DE BELO HORIZONTE

A dissecção coronariana espontânea (DCE) é uma condição rara, que ocorre em 0,1 a 0,4% dos pacientes submetidos à cineangiocoronariografia, que acomete principalmente mulheres, entre a quarta e quinta década de vida^{**}. Sua etilogia é pouco conhecida, mas alguns fatores podem estar envolvidos, tais como: gravidez e puerpério, doenças do colágeno, uso de cocaína, hipertensão grave, tabagismo, anticoncepcional oral, exercício extenuante e vaso espasmo.[†] O quadro dínico varia de acordo com a extensão e localização da Jesão.[†] A artéria descendente anterior é o vaso mais acometido, e em 20% ocorre dissecção em múltiplos vasos5. Em relação ao manejo, a revascularização cirúrgica ou percutânea do leito coronário acometido é adotada em muitos casos. Por sua vez, nas apresentações com estabilidades clínica e hemodinâmica, associadas à perviedade dos vasos acometidos, node-se adotar uma estratégia conservadora. É Discussão: Paciente VAP, 43 anos, hipertensa, tabagista, com passado de trombose venosa profunda, pericardite, em uso irregular de suas medicações anti-hipertensivas. No dia 02/07/2016, evoluiu com quadro de IAM, evidenciado pela história dínica de dor torácica, em aperto, contínua, major que 20 minutos, de forte intensidade, com irradiação para região cervical e dorso. Ao cominda, maior que zo limitos, vici enteritaria maiore, com inaciago para region cervica e coiso. Ao exame físico encontrava-se em regular estado geral, em Killip I, aparelho respiratório e cardiovascular sem alterações. Eletrocardiograma (ECG), demonstrando onda T negativa nas derivações DI, AVL, V5, V6, DII, DIII e AVF e troponina positiva. No dia 07/07/2016, realizou Cineangiocoronariografia (CATE) que mostrou dominância de coronária esquerda, ausência de obstruções coronarianas, com ramo VP da artéria Circunflexa de pequeno calibre, com lesão segmentar extensa em terço médio, sugestiva de dissecção espontânea, sem vasoespasmo (Figura 1). Artéria coronária direita (CD) hipoplásica; ventriculografia com hipocinesia infero-latero-apical moderada. Em 07/07/2016, realizou Ecocardiograma transtorácico que revelou fração de ejeção preservada (60%), ventrículo esquerdo com acinesia das porções médio apical da parede infero-lateral, hipocinesia leve da porção apical da parede lateral e basal da parede infero-lateral, requrgitação mitral e tricúspide discretas. Devido à estabilidade clínica da paciente, optou-se pelo tratamento dínico, recebendo alta hospitalar, assintomática, no dia 15/07/2016, com receita médica de AAS, Clopidogrel, medicações de uso habitual e agendamento de retorno para manter seguimento ambulatorial.

Referèncias Bibliográficas: 1) AlkmimMB, Figueira RM, Marcolino MS, Cardoso CS, Abreu MP et al. Improving patient access to specialized health care: the Telehealth Network of Minas Gerais, Brazil, Bulletin of the World Health Organization, 2012; 90(5):473–378. 2) DenaxaSC, George J. Hernett, Shah Ab, Gisha D et al. Data resource profile: Cardiousosauls disease research using linked begoles studies and electronic health records (CALIBER), Int Epidemiol. 2012; 41(6):1625–1638. 3) Palhanes DMR Marcolino MS, Santos TMM, da Silva ILP. Gomes PR, et al. Normal limits of the electrocardiogram derived from a large database of Brazilian primary care patients. SMR Cardiouscapic Disoders, 2017; 17(1):152. 4) Vande EndeMSV, Slandt E, sneidert, van der HastiR RienstadM. Population-based values and abnormalities of the electrocardiogram in the general Durch population: The Lifetines Schoot Study, Ginz Gradio 2017; 40(1):656–872. 5, Snieck, et al. Fully automatic detection of strict left bundle branch block. J electracardio? 2018. DOI https://doi.org/10.1016/j.jelectrocard.2018.06,013

EP004

PERICARDITE AGUDA COMO MANIFESTAÇÃO INICIAL DE SÍNDROME AÓRTICA AGUDA (SAA): UM

LETÍCIA HORTA GUIMARÃES; LEONARDO ARRUDA MORAES RASO; GUILHERME FERRAZ MESSINA DE PADUA ANDRADE: LAILA RIBEIRO SANTA BARBARA: CYNTHIA LETICIA FERREIRA: CAMILA DAIBERT

COMPLEXO HOSPITALAR SÃO FRANCISCO DE ASSIS

SAA indui um espectro de doenças aórticas ameaçadoras à vida, como úlcera aórtica penetrante, hema toma periaórtico, hematoma aórtico intramural e dissecção aórtica aguda, sendo esta a mais comum. O mecanismo de morte mais frequente ocorre pela ruptura do vaso para dentro do pericárdio levando a tamponamento cardíaco. Podem anifestar-se, apesar de raro, como pericardite aguda, já que o lento extravasamento de sangue para o espaço pericárdico provoca inflamação da serosa. Quando a pericardi te ocorre existe uma "janela terapêutica" até a ocorrência de uma hemorragia aórtica fatal, o que possibilita o diagnóstico correto e a terapêutica apropriada. Descrição de caso: Homem, 35 anos, portador de valva aórtica bicúspide e passado de correção de coarctação de aorta aos 19anos ,apresentou-se na urgência com dor torácica pleurítica aguda, sudorese e hipotensão. Boa reposta à volume e analgesia. Exames laboratoriais com leucocitose e PCR elevada ,troponina negativa e D-dímero normal. ECG com supra de ST difuso e supra de Prema VR. USG à beira do leito com derrame pericárdico leve, sem sinais de dissecção aórtica. Suspeita de pericardite aguda, iniciado AAS e colchicina. ECOTT mostrou valva aórtica bicúspide com regurgitação moderada e aorta com dilataçãoa neurismática de sua raiz(54mm) e porção ascendente, sem sinais de SAA, e leve derrame pericárdico. Função sistólica do VE preservada. ECOTE confirmou dilatação aneurismática da aorta ascendente (70mm), também sem sinais de SAA. TC de tórax corroborou achados ecocardiográficos (aorta ascendente com diâmetros transverso e antero-posterior de 70mm). Conduta Adotada: Decidido, juntamente com equipe da CCV, por troca valvar aórtica com implante de tubo aórtico valvula do após resolução do quadro agudo de pericardite. No entanto, o paci-ente intercorreu com novos episódios de dor torácica, mal-estar, sudorese e hipotensão. Nota do que da hematimétrica e aumento do derrame pericárdico em ECOTT seriado (Figuras 1 e 2). Nova TC de tórax sem sinais evidentes de SAA (Figura3). Programado cirurgia de urgência, mas paciente apresentou PCR

em AESP, evoluindo para óbito. Diagnóstico retrospectivo sugere ser a peri-cardite aguda uma manifestação da SAA. Conclu-são: Em relação ao caso descrito, o paciente apre







sentava fatores de risco bem conhecidos para dissecção aórtica. Toda a propedêutica complementar foi realizada, mas a dissecção não se mostrou de forma evidente. Apesar de raro, a SAA pode manifestar-si inicialmente com sinais clínicos e eletrocardiográficos de pericardite aguda. O diagnóstico é dificultado pela dor torácica pleurítica ser a manifestação mais comum da pericardite viral e pela dissecção ser um evento pouco comum, principalmente em jovens. Referências Bibliográficas: 1, 2014 ESC Guide lines on the diagnosis and treatment of aortic diseases. 2 Soyer H. B M / Case Rep 2016. A Oate pencianditis: agresenting namifestation of aortic diseasetion. 3. Princeal M. Jouinet D. Pichette V. Vallet M. Acase of na aortic diseascionna Young adult are fisshed for the Internative of this "great management". Int. Edoe Med. 2011; 4889-93. 4. Bains S. R. Kedia A. Roddan C. A. Pericarditis as initial manifestation of proximal aortic dissection in young patients. Am J E merg Med 2008; 26: 379. e. 3-5.



RESUMO DE TEMAS LIVRES | 28º CONGRESSO DA SOCIEDADE MINEIRA DE CARDIOLOGIA

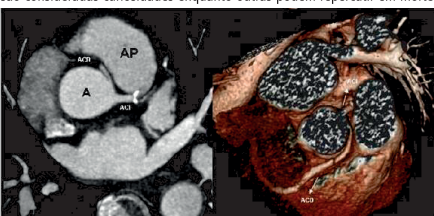
EP 005

CORONÁRIA ΑΝÔΜΑΙ Α-RELATO DE CASO

LIVIA ROQUET EMARINHO; LARISSA COLARES DO AMARAL FONSECA; ROSSANA DALL'ORTO ELIAS, FABRICIO MACHADO GUERRA, PEDRO HENRIQUE VENDRAMINI, GUSTAVO LESTTER

As anomalias congênitas de coronária são uma forma rara de malformação que afeta aproximadamente 1% da população. O paciente pode permanecer assintomático por muitos anos, porém a apresentação varia até morte súbita, arritmias graves e infarto agudo do miocárdio. Origem anômala de coronária direita é bem menos frequente que a origem da coronária esquerda do seio direito. Objetivos: Descrição de caso clínico de um paciente do Biocor Instituto o qual foi diagnosticado com coronária anômala e posteriormente submetido à angioplastia percutânea. Método: Descrição de caso clínico retrospectivo com revisão de literatura detalhada. Resultados: Paciente J.C.F., masculino, 58 anos, dislipidêmico. Uso regular de Sinvastatina. Paciente assintomático, durante avaliação de rotina com Cardiologista assistente, realizou Teste Ergométrico que evidenciou alteração isquêmica esforço induzido (infra ST descendente de 3mm e supra ST 1mm em AVR). Ainda em investigação realizou ECO de estresse que mostrou isquemia em parede inferior. Submetido então à Angio TC de coronárias que mostrou trajeto maligno da Coronária Direita que tinha origem anômala. Por fim, encaminhado à Cineangiocoronariografia eletiva que mostrou artérias coronárias isentas de lesões significativas, óstio de Coronária Direita de origem anômala em seio coronariano esquerdo, próximo ao óstio do TCE, percorrendo um trajeto maligno entre a Aorta e artéria Pulmonar, notando-se dara estenose da mesma a cada sístole. Optado por realização de angioplastia uma vez que o mesmo não seria passível de reparo cirúrgico. Submetido à angioplastia coronariana eletiva com implante de stent farmacológico Sirolimusdo óstio ao terço proximal da Coronária Direita. Conclusão: A origem anômala da coronária é um grupo de malformação congênita rara e de apresentação anatômica, clínica e fisiopatológica variável. Algumas formas são consideradas curiosidades enquanto outras podem repercutir em morte

súbita. O diagnóstico clínico é um desafio de vido grande parte desses pacientes apresentareme assintomáticos por longos períodos. Os atuais estudos mostram que em pacientes submetidos à avaliação para atividades físicas de lazer ou competição, o ECG e teste de exercício têm



pouca probabilidade de evidenciar isquemia e os sintomas tais como dor torácica ou síncope, nessa população, devem ser investigados apropriadamente para exclusão dessas anomalias. Referências Bibliográficas: Congenital coronary anomalies. In. Garson 1990. p. 167-1666; Coronary Artery Anomalies in Adults-All Coll Cardiol 1998

FP006

RELATO DE CASO: MÚLTIPLAS MICROFÍSTULAS CORONÁRIO-CÂMARA

CAMILA DAIRERT DIONÍSIO: STEFÂNIA BRUNO COSTA VALENTE: CAMILA CECILIA DE OLIVEIRA CORBELLI: CYNTHIA LETICIA FERREIRA: LETICIA HORTA GUIMARÃES: JULIANA RODRIGUES SOARES DE

COMPLEXO HOSPITALAR SÃO FRANCISCO DE ASSIS

As comunicações entre as artérias coronárias e as câmaras cardíacas são raras e ocorrem, na maioria do casos, devido a alterações no desenvolvimento embriológico normal. Inicialmente o miocárdio fetal, pouco desenvolvido é nutrido por meio de sinusóides que se comunicam com as cavidades cardíacas. A medida que o miocárdio se torna mais compacto, os sinusóides desaparecem dando origem a uma rede de veias, artérias e capilares. A persistência desses sinusóides pode levar a formação das fistulas coronário - câmaras. Outras causas menos comuns são: traumas e procedimentos cardíacos invasivos Descrição do Caso: Paciente 56 anos, sexo feminino, encaminhada ao ambulatório de cardiologia devido a dois episódios de síncope. Ausência de alterações ao exame físico. O eletrocardiograma (ECG) apresentava a presença de supradesnivelamento do segmento ST em AvR e infradesnivelamento do segmento ST, com inversão profunda da onda T de V3 a V6. O ecocardiograma transtoracico (ECO TT) demonstrou ausência de alterações segmentares, com fração de ejeção preservada. A cineangiocoronariografia evidenciou múltiplas fístulas das coronárias direita e esquerda para o ventrículo esquerdo (VE), resultando em opacificação do VE pelo contraste. Paciente com história pregressa de tratamento para neoplasia em mama direita em 2016, com realização de quimioterapia radioterapia e setorectomia a direita. Sem evidências atuais de atividade da doença após termino do tratamento. Hipótese Diagnóstica: Múltiplas microfistulas coronário - câmara. Conduta Adotada: Durante a internação paciente não apresentou novos episódios de sincope. Negava angina, dispneia ou qualquer outro sintoma associado. Solicitado ambulatorialmente cintilografia de perfusão miocárdica, devido as alterações no ECG, sugestivas de isquemia e holter, para investigação da queixa da síncope como avaliação de possível arritmia associada ao quadro descrito. Conclusão: Descrevemos um caso raro de múltiplas microfistulas entre ambas as coronárias para o ventrículo esquerdo, em paciente com alterações isquêmicas ao ECG e síncopes. A apresentação clinica desses pacientes depende da significância hemodinâmica de cada fistula. Embora a maioria dos pacientes seja assintomático, alguns podem apresentar: insuficiência cardíaca, arritmias, isquemia, dentre outros. O manejo desses pacientes permanece controverso, por não haver conhecimento da história natural da doença. É sugerido como terapia medicamentosa o uso de betabloqueadores, ainda sem comprovação clinica de sucesso. Além disso, até o momento não há descrição de tratamento percutâneo ou cirúrgico eficaz para a oclusão dessas inúmeras microfistulas, tornando o prognóstico dos pacientes incerto.





IOS pacientes incerto.

Referencia Bibliográficas: 1 - STERLR, Ulrich; GIANNITSI, Evangelos; SHEIKIZADEH, Abdolhamid, Myocardial ischemia in generalized coronary artery-left ventricular incriositalue. Internacional Journal of Cardiology, Germany, p. 47-52, 9 eu. 1997, 2 - CARTON), Demonic ot at. Multiple Coronary Artery Ventricie Micritistulae and Spongy Miocardium: The Eager Awarded Link?, Circulation, Dallas, p. 318-44, 7 jul., 2004, 3 KHOUERY Georges et al. Presistent Thebesian Vessels involving the Right and Left Ventricles Leading to Coronary Steal Phenomal Ischemia. Congenit Heart Disease, New York, p. 61-64, set. 2014.

EP 007

ACIDENTE VASCULAR ENCEFÁLICO POR EMBOLIA SÉPTICA EM PACIENTE COM ENDOCARDITE BACTERIANA

PEDRO MELGACO MARTINS: ELUAN ALBUOUEROUE DE LIMA: ANDERSON PEREIRA DE OLIVEIRA: OTAVIANO JOSE GRECO RODRIGUES; NELSON BORGES NETO; AYESKA VIVIAN MICHELINI STAPASOLLA. HOSPITAL SÃO JOÃO DE DEUS - DIVINÓPOLIS/MG

A endocardite bacteriana (EB) é uma infeção das estruturas intracardíacas, resultante da proliferação de microrganismos no endotélio cardíaco, mais comumente em valvas cardíacas, podendo ocorrer em demais estruturas intracardíacas. A lesão típica no local da infeção é a vegetação – massa de plaquetas, fibrina, microrganismos e células inflamatórias. Os microrganismos variam conforme a porta de entrada seja a via oral, a pele ou as vias aéreas e os fatores de risco incluem história de procedimentos invasivos, uso de drogas injetadas e doença cardíaca estrutural. As principais manifestações são a febre, lesões nas estruturas intracardíacas e embolização de fragmentos de vegetações. Nos Acidentes vasculares cerebrais (AVC) cardioembólicos existe migração de material das cavidades cardíacas. Sendo a infeção nas valvas esquerdas locais mais comuns de EB, as vegetações valvares originam frequentemente múltiplos êmbolos sépticos, que migram para a circulação e causam a oclusão das artérias cerebrais, afetando principalmente a artéria cerebral média e seus ramos. Resultados: EAP, 69 anos, sexo feminino, aposentada, previamente hígida. Admitida com quadro súbito de afasia e hemiparesia a direita, acompanhados de febre de origem indeterminada, astenia e perda de peso. Ao exame físico apresentava além das alterações neurológicas, discreto sopro diastólico decrescente em foco aórtico. Relato de procedimento odontológico há seis meses. Constatado por ressonância magnética (RNM), AVC em território de artéria cerebral média esquerda. Durante a investigação, constatou-se vegetação em valva aórtica, sugerindo endocardite. Exames complementares: Ecocardiograma transesofágico: Ventrículo esquerdo (VE) dilatado e com disfunção sistólica global importante em repouso. Comunicação interventricular (CIV) do tipo perimembranoso com fluxo E/D. Regurgitação valvar aórtica importante com perfuração do folheto coronariano esquerdo com vegetação séssil aderida. RNM: Área de insulto isquêmico de evolução aguda fronto-insular à esquerda, envolvendo a área de Broca. Focos isquêmicos agudos em corpo do núcio caudado e no centro semioval à direita. Hemocultura: Streptococos sp, não resistente a antibióticos. Hipótese Diagnóstica: AVC isquêmico por embolia séptica secundária a endocardite bacteriana. Conduta Adotada: Antibióticos de amplo espectro, após hemocultura optado por descalonar antibioticoterapia. Posteriormente troca valvar por prótese biológica. Conclusão: Embora a incidência de endocardite bacteriana possa ser considerada pouco relevante, esta apresenta alta taxa de morbidade e complicações, como o AVC. Assim, se compreende a importância da ecocardiografia, na





última década? revista hupe uerj.br. Ângelo A Salgado, Cristiane C. Lamas Márcio N. Bóia.

EP008

CARDIOMIOPATIA HIPERTRÓFICA SEPTAL ASSIMÉTRICA EM LACTENTE COM EVOLUÇÃO PARA MORTE SÚRITA

ELUAN ALBUQUERQUE DE LIMA; ANDERSON PEREIRA DE OLIVEIRA; RALDNER BORGES E RÉGES EDUARDO DIAS CHULA; NELSON BORGES NETO; AYESKA VIVIAN MICHELINI STAPASOLLA; PEDRO MELGACO MARTINS

HOSPITAL SÃO JOÃO DE DEUS - DIVINÓPOLIS/MG

A Cardiomiopatia Hipertrófica (CMH) é a doenca cardíaca de origem genética mais comum 1, com A catulominpiata in inperiodica (virin) e a uderiga catulata de origeni genetica mais cominii , cum prevalência 1:500 nascidos vivos, caracterizada pela presença de hipertrofia ventricular, geralmente do ventrículo esquerdo (VE), o qual se encontra com função sistólica preservada, com relaxamento diminuído, na ausência de condições associadas que possam produzir tal alteração 3³. A CMH é considerada uma doença benigna, com apresentação clínica que pode variar de pacientes assintomáticos até formas mais graves, com evolução para morte súbita (MS) 4. A forma septal assimétrica é a mais frequente. (86%) (23). O tratamento baseia-se no aconselhamento familiar, tratamento farmacológico com beta-bloqueador, principalmente nos pacientes com a forma obstrutiva. Nos casos refratários faz-se utilização de técnicas invasivas como a miomectomia septal ou alcoolização septal². Resultados: RLB, 6 meses de idade, com história de morte súbita na família, em consulta com pediatra, foi evidenciado no exame clínico a presença de sopro sistólico em borda esternal esquerda e taquipneia. Realizou radiografia de tórax que evidenciou aumento discreto da área cardíaca e eletrocardiograma que mostrava sinais de hipertrofia ventricular esquerda. Devido às alterações iniciais, foi solicitado um ecocardiograma. Realizou ecocardiograma que evidenciou VE com suas paredes hipertrofiadas em grau importante, parede septal com espessura de 26mm e parede posterior de 19mm; na análise pelo doppler contínuo observava-se uma velocidade máxima aumentada estimada em 508 cm/s, e aumento importante dos gradientes máximo e médio (103/ 51,6mmHg), configurando uma obstrução dinâmica na via de saída do VE, além de regurgitação mitral leve devido a tracionamento dos músculos papilares (Figuras 1, 2 e 3). Após o diagnóstico de CMH, o lactente foi encaminhado para hospital em Belo Horizonte, onde iniciaram betabloqueador e foi avaliado por equipe de cirurgia cardíaca. Após discussão clínica e tendo em vista a complexidade do caso, foi proposto a realização ctrutgia catructa. Appos discussad unima e tentou en insta a complexadued uo asso, in proposo a relazizado de tratamento cirúrgico (miomectomia septal), porém após 3 meses do diagnóstico, o lactente evoluiu com morte súbita em seu domicilio. Discussão: A CMH constitui ainda um tema de grande interesse por permanecer como a causa principal de morte súbita em adolescentes e adultos jovens³. Entre os marcadores de alto risco para ocorrência de MS, enfatiza-se a ocorrência de um evento fatal já ocorrido ou abortado, presença de taquicardia ventricular sustentada, história familiar de MS, espessura de parede maior ou igual a 30 mm, síncope inexplicada, TVNS ao Holter, resposta pressórica anormal no teste ergométrico e realce tardio significativo na RM. De todos estes marcadores a história familiar de MS parece ser o de major relevância", particularmente quando ocorre em vários membros de uma família e em idade precoce, ainda que esta situação seja incomum". Conclusão: A CMH é uma doença benigna, em que os pacientes na sua grande maioria são assintomáticos, todavia ainda é considerada a principal causa de morte súbita em adolescentes e adultos jovens. Devido a essa variabilidade de apresentações, naqueles pacientes com história familiar de morte súbita, faz-se necessário a investigação com métodos de imagem (ecocardio-





história familiar de morte súbita, faz-se necessário a investigação com métodos de imagem (ecocardiograma, ressonancia) para diagnóstico precoce e decisão da melhor estratégia terapellutia. Referencia
Bibliográficos: 1, Maron BI. Hypertrophic cardiomyopathy a systematic review. JAMA. 2002;287:1308-320. 2, Tosa D. Ayarmentral hypertrophy of the
heart in young adults. Brient 1, 1982;201-83. 3 Bitenourie al Morte súbita no
heart in young adults. Brient 1, 1982;201-83. 3 Bitenourie al Morte súbita no
lami BM, Franciande S. Mady C. Benjan outcome in a long-term follow-up
patients with hypertrophic cardiomyopathy in Brazil. Am Heart 1, 2005;194:1099105. 5, Dimitrow OPF et al. Suddent death in hypertrophic cardiomyopathy in Brazil
105. 5, Dimitrow OPF et al. Sudden dead-95. A Morra OB, Ispon IC, Robert WS. Cavage Db. Epsarke's
voyanghar mila leve severdas a stroomeneo dos microsta pupiese. Epsar 3: "Malignant' hypertrophic cardiomyopathy identification of a subgrapu of familie
voyanghar mila leve severdas a stroomeneo dos microsta pupiese. Epsar 3: "Malignant' hypertrophic cardiomyopathy identification of a subgrapu of familie
voyanghar mila leve severdas a stroomeneo dos microsta pupiese. Epsar 3: "Malignant' hypertrophic cardiomyopathy identification of a subgrapu of familie
voyanghar mila leve severdas a stroomeneo dos microsta pupiese. Epsar 3: "Malignant' hypertrophic cardiomyopathy identification of a subgrapu of familie
voyanghar mila leve severdas a stroomeneo dos microsta pupiese. Epsar 3: "Malignant' hypertrophic cardiomyopathy identification of a subgrapu of familie
voyanghar mila leve severdas a stroomeneo dos microsta pupiese." Epsar 3: "Malignant' hypertrophic cardiomyopathy identification of a subgrapu of familie
voyanghar mila leve severdas a stroomeneo dos microsta pupiese." Epsar 3: "Malignant' hypertrophic cardiomyopathy identification of a subgrapu of familie
voyanghar mila leve severdas a stroomeneo dos microsta pupiese." Epsar 3: "Malignant' hypertrophic cardiomyopathy identification of a sub

RESUMO DE TEMAS LIVRES | 28º CONGRESSO DA SOCIEDADE MINEIRA DE CARDIOLOGIA



EP 009

CARDIOTOXICIDADE POR QUIMIOTERÁPICO EM PACIENTE PORTADOR DE DOENÇA

LIVIA BONELA DE OLIVEIRA, BRUNO ALENCAR FONSECA, DANILO CASTRO PIRES DE ALMEIDA, JOÃO DE SOUZA CUNHA, CARLOS EDUARDO ORNELAS, HENRIQUE MUNDIM PENA HOSPITAL MATER DEL BH-MG.

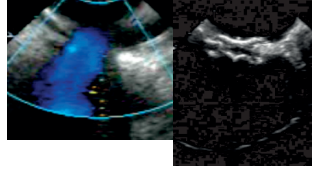
O tratamento quimioterápico (QT) pode ter como efeito colateral principal a cardiotoxicidade, mantendo-se clinicamente relevante na prática clínica, pondendo ocorrer, dentre outros, o desenvolvimento de insuficiência cardíaca, síndrome isquêmica aguda, arritmia e tromboembolismo venoso. Não bastante isso, doença cardiovascualar e câncer compartilham vários fatores de risco, tais como obesidade, sedentarismo, etilismo ou tabagismo, e a incidêmncia aumenta com o avanço da idade. Objetivos: Trazer dados de mundo real que possam ser comparados com resultados de desféchos clínicos apresenta-dos na literatura médica (Cardio Oncologia). Método: Trata-se de um relato de caso de extrema relevância dínica, uma vez que cada vez mais nos deparamos com efeitos adversos de quimioterápicos em pacientes com complicações cardiovasculares graves. Resultados: Paciente de 76 anos, portador de carcinomatose mucinosa peritoneal em tratamento quimioterápico em primeira linha com oxaliplatina e bevacizumabe, hipertensão arterial sistêmica. diabetes mellitus e história de aneurisma de aorta abdominal infra-renal. Ao final do ciclo de quimioterapia, apresentou quadro de dispnéia e neutropenia. Internado, evoluiu com piora do padrão respiratórios, com elevação de BNP e troponina. Intubado, realizalou ecocardiograma que evidenciou disfunção ventricular severa (Fe 30%), ventriculo esquerdo dilatado e insuficiência mitral moderada. Optado por realização de cateterismo cardíaco, que mostrou doença multivascular grave, com lesões graves acometendo segmentos das artérias descendente anterior, diagonal e coronária direita, além de oclusão da circunflexa. Optado por iniecão em segmento da aorta abdominal, que constatou aneurisma gigante em porção infra-renal. Paciente de mandou uso de inotrópicos, aminas e antibioticoterapia empírica. Esse caso foi levado à discussão em reuniões do Hear Team e da Oncologia. Optado por suspensão temporária da quimioterapia e estabilização do quadro cardiológico, para depois definir qual o próximo passo. Evoluiu com saída da ventilação mecânica e otimização do tratamento clínico da insuficiência cardíaca. Porém, infelizmente acabou por vir a falecer poucas semanas depois. Bevacizumabe é um quimioterápico da classe dos anticorpos monoclonais, que possui incidência de disfunção ventricular de 1.6 a 4% dos casos. Entre os fatores de risco associados a incidência de cardiotoxicidade são: uso concomitante de outros drogas quimioterápicas, radio terapia concomitante, insuficiência cardíaca pré-existente, doença arterial cardiovascular e hipertrofia do ventriculo esquerdo, cardiomiopatia isquêmica crônica. Outros fatores de risco cardiovascular, estilo de vida e demográficos são: extremos de idade, história familiar para doença arterial coronariana precoce, hiperten são arterial sistêmica, diabettes mellitus, hipercolesterolemia, tabagbismo, obesidade, sedentarismo e alcoolismo. Conclusão: A rdiotoxicidade é um evento adverso bem documentado na literatura e não deve ser menos prezado. Além disso, esse caso exemplifica bem a importância de ter uma equipe multidisciplinar, principalmente em pacientes com fatores de risco múltiplos, uma vez que identificar, entender e conduzir de forma correta esses efeitos cardiovascular adversos são essenciais para o sucesso do tratamento oncológico. Referência Bibliográficas: 1)2016 ESC Position Paperon cancer treatments and cardiovascular toxicity developed under for cancer treatments and cardiovascular toxicity of the European Society of Cardiology (ESC). EHJ2016;37:2768-2801.

FP010

FECHAMENTO PERCUTÂNEO DE CIA APÓS TRATAMENTO DE INSUFICIÊNCIA MITRAL COM MITRACILIR RELATO DE CASO

EDMUNDO CLARINDO OLIVEIRA, MATEUS NEVES ROMERO, JAMIL ABDALLA SAAD, EDUARDO BELISÁRIO FALCHETTO, EDUARDO KEI MARQUESINI WASHIZU, ARI MANDIL HOSPITAL FELÍCIO ROCHO

A comunicação interatrial (CIA) criada pela atriosseptostomia para o implante do MitraClip é geralmente bem tolerada. Entretanto, alguns pacientes apresentam repercussão aguda nas câmaras direitas com piora hemodinâmica. Nestes casos, o fechamento da CIA deve ser considerado. Relato de Caso: Pacientede 82 anos, sexo feminino, portadora de insuficiência mitral (IM) grave secundária aprolapso da valva mitral e de alto risco para a cirurgia convencional, foi submetida a implante de dois MitraClip após discussão com equipe clínica/cirúrgica. Procedimento realizado via punção de veia femoral com introdução de bainha longa (18F=6mm) após a realização de atriosseptostomia. Obtido bom resultado com gradiente AE/PD2VE=3mmHg e melhora da IM de grave para leve. No 2º dia pos-operatório, evoluiu com cansaço desproporcional à IM. Ecocardiograma (ECO) mostrou CIA de 8mm com importante shuntE/D. Ápós adequação do tratamento clínico não houve resposta satisfatória e foi indicado o fechamento percutâneo da CIA. Procedimento realizado 8 dias após implante dos MitraClip sob leve sedação e guiado por ECOtransesofágico. Inicialmente foi feito teste de oclusão da CIA com balão e avaliado diâmetro da CIA=15mm. Após verificar que não havia aumento das pressões em câmaras direitas e esquerdas, foi implantada uma prótese OCCLUTECH18 sem intercorrências, com tempo de fluoroscopia 6,8 minutos. Paciente evoluiu com melhora progressiva do quadro e recebeu alta no 26º DPO. Atualmente em domicilio CF I(NYHA). Discussão: CIA após implante de MitraClip é comum, geralmente não interfere na hemodinâmica e pode ter benefício por impedir aumento da pressão do átrio esquerdo. Entretanto, em alguns pacientes, o aumento agudo do fluxo pulmonar causa desequilíbrio hemodinâmico pela sobre carga de VD ou por permitir fluxo bidirecional ao nível da CIA, principalmente quando há insuficiência tricúspide associada com consequente queda da saturação sistêmica de oxigênio. Nesses casos o fechamento da CIA é recomendado e durante o procedimento percutâneo é possível fazer o teste de oclusão com balão e reavaliar as pressões nas cavidades direitas e esquerda se pressão na artéria pulmonar antes da liberação da prótese. No caso apresentado houve melhora hemodinâmica, o que permitiu a redução de drogas e a alta hospitalar. Conclusão: Em pacientes sem a resposta esperada após o implante bem sucedido de MitraClip, a avaliação da repercussão da CIA criada e a indicação para fechamento devem ser consideradas, sendo o método percutâneo o de escolha. Referi latrogenic Atrial Septal Defect After Mitra Clip Therapy Am J Cardiol. JACC Cardiovascular Interventions; Volume8,1 s rolume8,I ssue9, August 2015 artJ, 2017 Feb; 25(2): 137-142





EP011

IMPORTÂNCIA DO ESTUDO DAS CORONÁRIAS EM LACTENTES COM CARDIOMIOPATIA DILATADA SOUZA GG, SILVA LM, MONTEZE NM, SANTOS NDA, CASTILHO SRT, GUIMARÃES AFM HOSPITAL DAS CLINICAS - UEMG

Lactente de três meses, encaminhado com cardiomegalia e sinais clínicos de IC (cansaço, sudorese principalmente às mamadas, choro estridente) desde o primeiro mês de vida. Não havia relato de infecções prévias ou outras intercorrências. Ao exame clínico, apresentava-se pálido, taquipnéico, sudorético, episódios de choro intenso com acalmia, ritmo cardiaco em 3 tempos, pulsos periféricos simétricos e finos, figado a 4 cm do bordo costal direito. Eletrocardiografía (ECG): sinais de sofrimento miocárdico - ondas T negativas em DI, DII, aVL, V4-V6; onda Q com amplitude entre 10-20 mm em DI, aVL, V4-V6-(Figura 1). Exame ecocardiográfico (ECQ): aumento importante de ventrículo esquerdo (VE), com fração de ejeção de 26%; hipocinesia difusa de suas paredes; dilatação de artéria coronária direita, sem visibilização adequada da origem da coronária esquerda (Figura 2). Aventada a hipótese de OACEAP, confirmada por cateterismo (Figura 3), sendo a criança submetida a correção cirúrgica.







a 1 Fig

Discussão: A cardiomiopatia dilatada é uma das principais causas de IC na infância. Apresenta diversas etiologias (hereditária, infecciosa, estrutural, neuromuscular, medicamentosa e idiopática), sendo a miocardite a mais importante. Em lactentes, é importante afastar causas curáveis, como anomalia coronarianas e do arco aórtico. No diagnóstico de OACEAP, o ECG é fundamental ao evidenciar alterações isquêmicas. Em casos que o ECO não for conclusivo, pode ser necessário estudo hemodinâmico. Conclusão: O adequado estudo das coronárias mostra-se especialmente relevante nos lactentes com cardiomiopatia dilatada, pois a OACEAP, quando diagnosticada e tratada em tempo adequado, pode evoluir com melhora total ou parcial da disfunção ventricular. Referências Biologáficas: 1. Horovitz ESN, Nesralla, O, San Anna JRM, Origem anómala de artéria coronária, In: Croti UA, Mattos SS, Pinto Jr. VC.Aleilo VD, Moreira VM. Cardiologia e cirurgia cardiovascular pediátrica. 24 ed. Spalus Goaco 2012, E. 1697-110.

EP012

ORIGEM ANÔMALA DA ARTÉRIA PULMONAR DIREITA NA AORTA ASCENDENTE

JULIANA COSTA, MARLY DE OLIVEIRA, TEREZA L M MASCI, MARIA DA GLÓRIA C HORTA, IZABEL C L SOUTO, CLAUDIO A O ANDRADE SANTA CASA DE FELO HORIZONTE

A origem da artéria pulmonar direita na aorta ascendente (hemitruncus) é uma anomalia rara e freqüentemente fatal quando não há correção cirúrgica precoce. Pode estar associada a outras anomalias cardicaas como Tetralogiado Fallot, canal arteria patente e coartação da aorta. O hemitruncus é responsável por um grande shunt sistêmico-pulmonar, causando a hipertensão pulmonar. A doença pulmonar hipertensiva e a disfunção ventricular direita são consideradas fatores de risco para morbimortalidade pré e pós-operatória. Discussão de Caso: Lactente, dois meses de idade, masculino, no segundo dia de vida submetido à triagem neonatal para rastreamento de cardiopatia (teste do coraçãozinho), o qual mostrou-se alterado. Foi realizado ecocardiograma (ECO) que evidenciou aumento de átrio direito, hipertofia do ventrículo direito, regurgitação tricúspide de grau leve a moderado e pressão sistólica da artériapulmonar (PSAP) de85mmHg. Recebeu alta hospitalar em bom estado geral após o terceiro dia de vida. Aos dois meses evoluiu com dispnéia, dificuldade de sucção, sudorese e na reavaliação médica evidenciada hepatomegalia, sopro sistólico ejetivo em foco aórtico 3+/6+, raico de tórax com cardiomegalia e sinais de hiper fluxopulmonar. Paciente encaminhado ao CTI pediátrico hemodinamicamente instável, com necessidade de intubação orotraqueal. Solicitado novo ECO que evidenciou aumento importante de câmaras direitas associado à hipertrofia e disfunção do ventrículo direito, regurgitação tricúspide em grau importante com PSAP 110mmHg e origem anômala da artéria pulmonar direita na aorta ascendente (FIGURA1). Hipótese Diagnóstica: Hemitruncus. Conduta: Realizado estudo hemodinâmio que evidenciou ramo pulmonar direito originando-se da aorta ascendente, o qual perfundia todo o pulmão direito que encontrava-se vicariante; e o ramo pulmonares esquerdo em sua posição anatômica, perfundindo todo o pulmão esquerdo, hipoplásico; canal arteria lpatente e hipertensão arteria lpulmonar (Aorta: 55/23-40mmHg). Ramo esquerdo da artéria pulmonar







Condusão: O diagnóstico precoce do hemitruncus é essencial para que a cirurgia seja uma opção ao tratamento. A ecocardiografia é uma ferramenta eficaz e amplamente utiliza da para detectar esta malformação, devendo ser suspeitada em todos os pacientes com sinais de insuficiência cardiáca congestiva e hipertensão pulmonar. Referencias Bibliográficas: 1. Kido I e tal. Stagod repair of hemitruncus without provabelic material. Adian Cardiovascular & Thoracic Annals. June 2016. 2. Wenjing B, e tal. Anomalous origin of one pulmonar yartery from the as cerding anta (Hemitruncus) in a premature litham: A Gase Reportand Uterature Review. Journal of Clinical Ultrasound. Wolfa, June 2014. 3. Meeta N, e tal. Early repair of hemitruncus Excellence and nalte ear comes. The Journal of Thoracic and Cardiovascular surgery, Vol 33, nf., May 2007.



RESUMO DE TEMAS LIVRES | 28º CONGRESSO DA SOCIEDADE MINEIRA DE CARDIOLOGIA

FP013

ANFURISMA DISSECANTE DE AORTA ARDOMINAL: RELATO DE CASO

RIBEIRO, N C; FERREIRA, F C; MOURA, R R; MARTINS, M D; MARTINS, A L M; FARAJ, M.

HOSPITAL IBIAPABA - CEBAMS

A dissecção aórtica apresenta baixa incidência porém seu desfecho pode ser catastrófico. Está associada a hipertensão arterial não tratada, sendo uma emergência cardiovascular com elevada morbidade e mortalidade. Eme como característica a súbita separação da camada média do vaso, com infiltração sanguínea no espaço virtual entre a íntima e a adventícia, determinando uma falsa luz e a formação de hematoma. Discussão do Caso: LC.M., masculino, 59 anos, acompanhado no ambulatório de cardiologia apresentou-se com queixa de dor torácica lacerante e irradiada para o dorso. Relata evolução de três meses e piora há sete dias, tornando-se constante. Apresentou um exame de Ultrassonografia Duplex Scan de artérias renais evidenciando "flap" de disseçção aórtica em região abdominal, sendo então encaminhado com prioridade ao pronto socorro municipal. Sabidamente hipertenso, obeso e portador de dislipidemia. Durante o exame não foi identificado alteração motora ou sinais de instabilidade hemodinâmica. A ausculta cardiopulmonar sem alterações dignas de nota; eletrocardiograma sem alterações e enzimas cardíacas dentro da normalidade. A radiografia de tórax evidenciou alargamento domediastino. Angiotomografiatóraco - abdominal demonstra aneurisma sacular em crosta de aorta, disseçção da aorta descendente (tipo B), aneurisma de artéria esplênica e artéria ilíaca comum direita. Após diagnóstico e discussão com equipe cardiovascular, foi encaminhado ao centro cirúrgico para realização de procedimento porém não resistiu evoluindo a ôtito. Exames.









Condusão: O quadro clínico e o exame físico são pouco específicos e o diagnóstico pode ser de difícil realização. A principal manifestação ocorre pela dor torácica, súbita e intensa, irradiando-se para o dorso. A confirmação diagnóstica ocorre na presença do "flap" de ruptura da camada íntima/média. O aprimoramento dos exames favorecem a precoce intervenção terapêutica, destacando-se a angiotomográfia computadotizada, o ECO transesofágico e ressonância nuclear magnética. O tratamento cirúrgico das

dissecções é condicionado à presença de complicações, formação de pseudoaneurisma, ou progressão da dissecção. Referência Bibliográfica: Pucch- Leão P. Molnar I. J. Dievisa I. R. Cerri G. G. Prevaletica de aneurismas da aorta abdominal – um programa de detectação em São Palus. De Palus Del del J. Ogo. 172 (4): 1138-1638-1839 Earres F. S. Pontes G. M. Tajos MSAS, e del. Rastramento da aorta abdominal na população da cidade del Viória (ES). I Vass floss. 2005; 41(1): 95-55; Becker M. Boranigio Te Faccini F. Pa-valiação da aneurisma da aorta abdominal na remarka discontina da aorta abdominal na remarka da aorta abdominal na vas floss. 2002; 11(1): 15-21; Chiemenhorn M. J. Oldellaje A. J. Jhawart A. Cotteell P. Pomposelli F. Landon B. E. Endovascularvs. open repair of abdominal aortica neurysms in the Medicare population. N Engl J Med. 2008; 35(3): 646-74.

FP014

ENDOCARDITE INFECCIOSA, UM DIAGNÓSTICO QUE EXIGE ALTA SUSPEIÇÃO - UM RELATO DE CASO

JULIANO MOREIRA REIS FILHO; BRUNO BEATO; ANDREZZA MENDES; RAFAEL COUTINHO; ANDRE RAUSCH

HOSPITAL FELÍCIO ROCHO

O diagnóstico da endocardite em valvas protéticas pode ser muito difícil, e a visualização das imagens por ecocardiografia pode ser desafiadora. a grande morbidade e mortalidade dos quadros torna mais important o reconhecimento precoce da doença, dos agentes etiológicos e da instituição da terapia adequada. O diagnóstico da endocardite é baseado em achados clínicos, microbiológicos e ecocardiográficos. Os Critérios de Duke apresentam sensibilidade superior a 80% sendo utilizados naqueles casos em que exista suspeição clínica. Os principais fatores de risco são os pacientes portadores de valvopatia/troca valvar, endocardite prévia, dispositivos intracardíacos, doença estrutural cardíaca e uso de medicações ou drogas endovenosas. Relato de Caso: paciente a.c.d.s, 71 anos, sexo feminino, portadora de fibrilação atrial permanente e valvopatia reumática mitral com troca valvar na infância e retroca em 2016 (devida endocardite infecciosa) por prótese biológica, deu entrada em pronto atendimento devido a dispnéia progressiva (NYHA III) associada a hiporexia, febre vespertina diária (acima de 38c) e perda ponderal de 15kg nos ultimos 3 meses. Havia feito uso empírico de amoxicilina + clavulanato sem melhora efetiva do quadro, ao exame clínico apresentava-se hipocorada, além de uma redução do murmúrio em base direita e sopro sistólico em foco mitral similar ao já descrito de internações anteriores. Solicitado exames: -hemoculturas seriadas sem crescimento bacteriano -vhs, pcr e mucoproteinas elevadas -anemia normocítica e normocrômica com hg de 8,0, ferritina elevada, ferro normal -ecocardiograma transesofágico inicial com prótese normofuncionante e sem evidências de vegetações ou massas. -tc torax e tc abdome sem evidências de alterações infecciosas em atividade. devida manutencao de critérios infecciosos optado por repetir ecocardiograma transesofágico após 15 dias que demonstrou: imagem arredondada de media densidade aderida a base do anel mitral em sua face atrial lateralmente, medindo 6mm de aspecto compatível com vegetação. Iniciada antibioticoterapia com vancomicina + ceftriaxone. Discussão: Aproximadamente 20% dos pacientes com endocardite apresentam dispositivos intracardíacos/ prótese , esta população representa um grupo especial por possuir um fator predisponente comum, diferente perfil microbiológico e maior mortalidade. O uso dos tradicionais critérios de duke nesses pacientes tem limitações, especialmente pela dificuldade da interpretação de lesões pelo ecocardiograma. Devido as limitações do exame, o uso do PET/CT poderia nos ter auxiliado no diagnostico, visualizando alterações inflamatórias mais precocemente, alguns estudos mostraram aumento significativo na sensibilidade e acurácia dos resultados com uso deste método, porém uma melhor validação ainda e necessária. A identificação etiológica também tem papel central tanto para determinar o quadro quanto para orientar o tratamento. porém em aproximadamente 10% dos casos não se identifica o microorganismo, especialmente se uso recente de antibióticos ou se o agente for um microorganismo de difícil isolamento como germes atípicos. Nesses casos testes sorológicos podiam aumentar a possibilidade de identificação dos patógenos. no caso apresentado a





identificação dos patogenos. no caso apresentado a paciente ficou com diagnóstico de possível endocardite pelos Criterio de Duke, com 1 criterio maior e 2 menores. o uso prévio de antibióticos pode ter mascarados os sintomas, negativa do as culturas e retardado o reconhecimento da doença, entretanto o caso ilustra bem a dificuldade e a exigência de alta suspeita clínica para o reconhecimento final do quadro.

EP 015

FÍSTULA CONGÊNITA ENTRE O TRONCO DA ARTÉRIA CORONÁRIA ESQUERDA E O SEIO CORONÁRIO

JULIANA COSTA, MARLY DE OLIVEIRA, TEREZA L M MASCI, MARIA DA GLÓRIA C HORTA, ROBERTO M LOPES, CLAUDIO A O ANDRADE

SANTA CASA DE BELO HORIZONTE

Fístula congênita das artérias coronárias é uma anomalia rara e representa a conexão entre a artéria coronária e uma das câmaras cardiacas ou outras estruturas vasculares. A incidência é de 0,002% na população geral e de 0,4% de todas as malformações cardiacas, sendo que apenas 7% desses casos drenam para o seio coronário. Pode estar associada a sobre carga de volume para as câmaras direitas e complicações como arritmia, isquemia miocárdica e morte súbita. Descrição do Caso: Paciente sexo feminino, três anos, parto por cesariana, prematura (trinta e quatro semanas), com história de parada cardiorrespiratória com duração de oito minutos após o parto. Evoluiu com desenvolvimento neuropsicomotor normal. Encaminhada para internação hospitalar com quadro de bronco espasmo acompanhado de dessaturação. O exame físico revelou sopro contínuo em borda esternal esquerda 3+/6+. Apresentava diagnóstico ecocardiográfico prévio de comunicação interatrial do tipo seio coronário e persistência da veia cava superior esquerda, sendo acompanhada ambulatorialmente. Realizado novo estudo ecocardiográfico, em serviço atual, que evidenciou artéria coronária esquerda dilatada, medindo 7,2mm, comum trajeto fistuloso e drenagem para o seio coronário o qual apresentava-se com dilatação aneurismática (Figuras 1 e 2). Funções ventriculares direita e esquerda preservadas. Hipótese Diagnóstica: Fístula de coronária esquerda para o seio coronário.







Conduta: Realizado estudo hemodinâmico que confirmou os achados ecocardiográficos (Figura 3). Paciente foi submetida a oclusão por via percutânea da fístula coronariana com vascular plug II de oito mm. O procedimento foi realizado sem intercorrências e até o relato deste caso a paciente evoluía sem complicações. Conclusão: Em criançasas sintomáticas, com fístulas de pequeno calibre e sem repercussão hemodinâmica, a conduta pode ser expectante. A odusão espontânea, ainda que erara, pode correr. As fístulas coronárias de maior fluxo e calibre devem ser oduídas precocemente, uma vez que podem estar associadas à progressão para insuficiência cardíaca e isquemia miocárdica pelo fenômeno de roubo coronariano. Reterências Bibliográficas: 1. Brow L M, e tal. A Pastical Guide to Redatric Coronary Antery/Insignia with Echocardiography, Journal of the American Society of Echocardiography Mortz, 2003.

EP016

IMPORTÂNCIA DA ECOCARDIOGRAFIA FETAL NAS CARDIOPATIAS CONGÊNITAS: TETRALOGIA DE FALLOT.

OLIVEIRA, A. P; LIMA, E. A; RÈGES, R. B; MARTINS, P. M; STAPASOLLA, A. V. M; MADRUGA, R. N. HOSPITAL SÃO JOÃO DE DEUS - DIVINÓPOLIS / MG.

As cardiopatias congênitas são de etiologia multifatorial e a maioria ocorre em gestações sem fator de risco, constituindo o rastreamento ultrassonográfico a melhor forma de detecção destas malformações antes do nascimento. Dentre estas, a tetralogia de Fallot (TOF) é a mais comumente diagnóstica pelo ecocardiograma fetal¹²⁶. Aproximadamente metade das malformações é complexa e necessita de tratamento intervencionista após o nascimento, apresentando na sua história natural, mortalidade de 20 a 40% no periodo neonatal³⁴⁵. Descrição do Caso: Gestante de 31 anos, G2P1AO, assintomática, encaminhada pelo obstetra ambulatorialmente para realização de ecocardiograma pré-natal de gravidez gemelar, devido alteração no ultrassom obstétrico realizado na 26º semana, descrito como frequência cardíaca abaixo do esperado para o feto sem outras alterações durante o pré-natal. Propedefucia o ecocardiograma fetal foi realizado com 28 semanas de gestação. Durante o exame a paciente foi monitorizada não evidenciando alteração de pressão arterial, oximetria ou eletrocardiográfica, roam evidenciados, situs solitus, ventrículo direito hipertrófico com comunicação interventricular subaórtica, acompanhada de aorta ascendente cavalgando septo trabecular. O fluxo pelo Doppler não evidenciou trubulência no nível da valva pulmonar, nem estreitamento da via de saída do ventrículo direito fíquara 1).

Figura 1. Ecocardiograma fetal. A - Corte apical cinro clamatas. Imagem mostrando comunicação interventicular, 8 - Corte apical cinro clamasas mostrando fluxo em color Doppler do VD para AO. VE: ventrículo esquerdo. VD: ventrículor desidendo. VD: ventrículor esquerdo. VD: ventrículor esquerdo. VD: ventrículor esquerdo. Forte: Sigmacárdio. Hospital São João de Deus - Divinópolis. Hilpótese Diagnóstica: Tetralogia de Fallot em gravidez gemelar acometendo um dos fetos. Conduta: A paciente foi orientada repetir o exame com quatro semanas e acompanhar a gestação em pré-natal de alto risco.



Condusão: O rastreamento das cardiopatias fetais pelo ecocardiograma fetal utilizando, pelo menos três cortes, tornou-se muito sensível para o diagnóstico das cardiopatias congênitas. No diagnóstico anatômico da tetralogia de Fallot, entre outros, a presença de CIV subaórtica, cavalgamento da aorta, septo infundibular com desvio ântero-superior e ainda obstrução da via de saída do ventrículo direito são as alterações que caracterizam a doença e facilmente vistas neste exame. Para tanto, a avaliação fetal da função cardicac a e seu reconhecimento precoce podem inferia necessidade neonatal de correção cirúrgica ou mesmo de terapêutica intraútero estabelecendo o estatus hemodinâmico. O rastreamento das cardiopatias fetais pelo ecocardiograma fetal utilizando, pelo menos três cortes, tornou-se muito sensível para o diagnóstico das cardiopatias congênitas. No diagnóstico anatômico da tetralogia de Fallot, entre outros, a presença de CIV subaórtica, cavalgamento da aorta, septo infundibular com desvio ântero-superior e ainda obstrução da via de saída do ventrículo direito são as alterações que caracterizam a doença e facilmente vistas neste exame. Para tanto, a avaliação feta da função cardícac e seu reconhecimento precoce podem inferir a necessidade neonatal de correção cirúrgica ou mesmo de terapêutica intraútero estabelecendo o estatus hemodinâmico. Reielencias Biologiáficas: 1-Alti. E; Tetalogia de Falloto Neonató, Apris acradiol Volume (68,0° 6), 1997; 2-dranolis SMM, Mende McQualis K, Mashado J, Couate G, Messel SM, Couate MC, Cavalis K, Mashado J, Couate G, Messel SM, Cavalis C, Mashado J

RESUMO DE TEMAS LIVRES | 28º CONGRESSO DA SOCIEDADE MINEIRA DE CARDIOLOGIA



FP017

MIXOMA ATRIAL ESCUERDO TRATADO CIRURGICAMENTE: RELATO DE CASO

LAÍS ANDRADE REZENDE, NATÁLIA CHAGAS TEIXEIRA, TAMARA TAVARES LEÃO, JEMIMA SANT'ANNA JAOUELINE RODRIGUES SIMÃO

HOSPITAL VERA CRUZ

O mixoma é o tipo mais comum de tumor cardíaco primário. Caracteriza-se porproliferação celular anormal das células mesenguimais multipotenciais subendocárdicas. Cerca de 88% ocorrem no átrio esquerdo e 65% ocorrem em mulheres. A maioria dos pacientes se apresenta com, pelo menos, um dos sinais da tríade clássica: obstrução cardíaca, manifestação embólica e sintomas sistêmicos. Tem sido relatado queo mixoma pode embolizar, praticamente, para qualquer órgão ou tecido, daí a importância no diagnóstico e tratamento. Objetivo e Método: Este trabalho visa relatar um caso de mixoma de átrio esquerdo em paciente do sexó feminino. 67 anos, tratado cirurgicamente. Utilizou-se revisão de literatura em meio eletrônico, pesquisa bibliográfica com a utilização de livro texto. Descrição de Caso: Paciente de 67 anos, sexo feminino, previamente hígida, com relato de dispneia progressiva durante realização de atividade física. Procurou atendimento ambulatorial com cardiologista, sendo realizado Ecocardiograma Transtorácico. O exame evidenciou mixoma em átrio esquerdo, sendo posteriormente confirmado por Ressonância cardíaca. Foi indicado tratamento cirúrgico. Resultado: A paciente foi submetida a cirurgia cardíaca para exérese da lesão tumor alem átrio esquerdo. A lesão era de aspecto mucoide pediculado. Não houve intercorrências, apresentou sangramento habitual e recebeu alta no sexto dia de internação. A remoção cirúrgica geralmente é curativa. A taxa de recidiva do tumor é baixa, e a sobrevida após a cirurgia é elevada. Conclusão: Apesar de benigno, este tumor pode levar à evolução desfavorável. Sabe-se que suas manifestações clínicas podem ser variadas de acordo com a topografia e o acometimento cardíaco. O diagnóstico precoce e sua remoção cirúrgica previnem complicações .Deve-se atentar para esse diagnóstico como possível causa de manifestações sistêmicas



inespecíficas. Faz necessário incluir esta entidade nosológica no diagnóstico diferencial de doenças que apresentem-se como as síndromes de tromboembolia cerebra le insuficiência cardiaca. Referências Bibliognificas: R MOTIA, COLEN RIHO, A. COLEN, S. VIBRA, R. ALVES, BORGES, C. ARAÚJO Mixomado ário equendro relato de assas, Rev Baso (ir adriousacvol. 12 A. Sabraulo, 1997; FERBEIRA, M. C. F.; POTT, H. Ir. Mixoma Cardiaco; Patologia Correlação Clinica emal terial de Resecção Circingica, Any Mod v23 a.5, Potto 2009; ABAIUS, B. Tumores primários do conção, In.; BONOW, R. O. et al Braumvald, tradad de denerças cardiovasculares, 9, ed. Río de Janeiro: Elseviet 2013, cap. 74, p. 1677-1689.

FP018

PERSISTÊNCIA DE VEIA CAVA SUPERIOR ESQUERDA EM PACIENTE SUBMETIDO A IMPLANTE DE

SAULO AUGUSTO SILVA MANTOVANI. CÁSSIO MENEZES NOGUEIRA, KASSIO AKIO TANAKA ALEXANDRE SOUTELO SOUTO DA SILVA, LUIZ CLÁUDIO MOREIRA LIMA

HOSPITAL MADRE TERESA - BELO HORIZONTE

A Persistência da Veia Cava Superior Esquerda (PVCSE), apesar de rara, é a anomalia congênita venosa do tórax mais frequente, sendo encontrada em 0,3 a 0,5% da população qeral. A PVCSE é normalmente assintomática e, portanto, sua presença é notada geralmente como achado incidental durante procedimento de implante de dispositivos cardíacos, o que pode gerar dificuldades técnicas 2 Em 90% dos casos, a veia cava superior esquerda desemboca no átrio direito pelo seio coronariano e em 10% no átrio esquerdo³. Descrição do Caso, Hipótese Diagnóstica e Conduta Adotada: Paciente, sexo masculino, 77 anos, previamente hipertenso, diabético, dislipidêmico, portador de insuficiência cardíaca congestiva e doença renal crônica em hemodiálise com fístula arteriovenosa em membro superior direito, foi encaminhado ao nosso servico devido a episódios de vertigem, sudorese e síncope com 3 meses de evolução. Em investigação, Holter de 24h evidenciou doença do nó sinusal, sendo internado no dia 08/05/2018 para implante de marcapasso definitivo. À admissão encontrava-se em bom estado geral, lúcido e orientado, hipocorado, hidratado, acianótico e anictérico. Ritmo cardíaco irregular (fibrilação atrial com frequência ventricular controlada), bulhas normofonéticas e sem sopros. Sons respiratórios normais. Abdome flácido, com ruídos hidroaéreos presentes, sem massas ou viceromegalias palpàveis. Membros inferiores sem edemas e panturrilhas livres. No mesmo dia, admitido no bloco cirúrgico, e pela presença de fístula arteriovenosa em membro superior direito optado por implante de marcapasso à esquerda (VVI). Realizado dissecção de veia cefálica esquerda, e após passagem de eletrodo, notava-se que o eletrodo encontrava-se a esquerda da silhueta cardíaca. Realizada angiografia (figuras 1 e 2) que revelou PVCSE com drenagem em seio coronariano direito. Passado novamente eletrodo, direcionado ao ventrículo direito, seguido de implante de gerador em bolsa infradavicular esquerda. (figura 3) No pós-operatório paciente evoluiu sem intercorrências, recebendo alta no dia seguinte (09/05/2018). Conclusão: O aumento do número de implantes de dispositivos intracardíacos elevou o número de casos detectados de PVCSE4. Portanto, o conhecimento dessa variação e de sua anatomia faz-se importante no implante desses dispositivos uma vez que pode levar a dificuldades na execução desse procedimento. Refereências Bibliogi







coronary sinus dilatation. Semi Dial. 2013 4) Ratliff HL Yousufuddin M, Lieving WF Watson BE, Malas A, Rosencranc G, McCowan RJ. Persistent let

EP019

DESAFIO TERAPÊUTICO: ANGIOEMBOLIZAÇÃO DE ARTÉRIA MESENTÉRICA APÓS ACIDENTE

GEOVANNI GABRIEL ALMEIDA BRITO¹, MARIANE JAMALRIBEIRO¹, SAULO AUGUSTO SILVA MANTOVANI¹, CLAUDIO PEREIRA DA SILVA JUNIOR¹, MARCOS ANTONIO MARINO¹, BARBARA CAMPOS ARRELI MARINO 1 2

(1) HOSPITAL MADRE TERESA -BELO HORIZONTE (2) FACULDADEDEMEDICINA - PUC-BETIM

O trauma abdominal contuso é responsável pela maioria das lesões abdominais atendidas nas O radulta abudinilar contos e responsaver per inarioria nesos abudinilas acientidas nas emergências hospitalares, e apresenta alta morbidade e mortalidade substanciais. A maioria dos casos está relacionada à colisão de veículos motorizados e a lesão intra-abdominal representa aproximadamente 13% dos casos. Relato de Caso: Paciente 38 anos, sexo masculino, previamente higido, vítima de acidente automobilistico, colisão frontal carro-carro, admitido na unidade hospitalar de OuroPreto. Realizado tomografia (TC) de abdome que evidenciou líquido livre em cavidade abdominal, sugerindo componente hemorrágico associado. Encaminhado à nossa unidade hospitalar; admitido hipotenso, taquicárdico, hipocorado, com sinais de choque hemorrágico e com dor abdominal intensa. Avaliado pela equipe de cirurgia geralrealizado TC de abdome com contraste que mostrou: coleção heterogênea de 335cm³ e extravasamento do contraste para o interior da coleção relacionado ao ramo vascular da artéria mesentérica inferior. Paciente encaminhado para o serviço de hemodinâmica para realização de arteriografia. Observado sangramento ativo na arteriografia em mesentérica inferior e realizada embolização da mesma. Encaminhado para unidade de terapia intensiva, manteve estável, porém com quadro de dor abdominal. Realizada TC de controle que evidenciou lesão sub capsula relaceração esplênica, sem novos sinais de hemorragia abdominal. Equipe de cirurgia geral optou por esplenectomia e autoimplante esplênico com 20 fragmentos de 1,5x1,5 fixado no epiplón. Paciente evoluiu bem no pós-operatórios em necessidade de aminas, estável hemodinamicamente. Discussão: Após um trauma a hipotensão, na maioria das vezes, resulta de hemorragia de um órgão abdominal sólido ou lesão vascularintra-abdominal. Os estudos radiológicos podem fornecer informações importantes, e a TC tornou-se o principal método para identificar lesão intra-abdominal, noentanto, é um teste insensível para lesões mesentéricas. A arteriografia com angioembolização, passar ser segura quando os pacientes são bem selecionados, através de dados clínicos e de imagem com evidência de hematoma retroperitoneal e extravasamento de contraste ativo. Conclusão: Em alguns casos, a angiografia pode ser uma estratégia cirúrgica que abdica da reparação das Jesões em favor do controle da hemorragia e estabilização imediata do traumatizado, para reparação orgânica definitiva num





da hemorragia e estabilização imediata do traumatizado, para reparação orgânica definitiva num Segundo tempo. Referencias Bibliográficas: 1) Lima SO, Cabral FLD, Pinto Neto AF, Mesquila FNB, Feltosa MFG, Santana NR. Avaliação epidemiológica das vitimas de trauma abdominal submetidas ao tratamento circigrio. Rev Col Basis Cir, 2012;39 (1920-32) Reshoru J. Had a 2007; 25:713 3) Rosta JL, Cason B, Simmons J, et al. Im a 2007; 25:713 3) Rosta JL, Cason B, Simmons J, et al. Im a 2007; 25:713 3) Rosta JL, Cason B, Simmons J, et al. Im a 2007; 25:713 3) Rosta JL, Cason B, Simmons J, et al. Im a 2007; 25:713 3) Rosta JL, Cason B, Simmons J, et al. Im a 2007; 25:713 3) Rosta JL, Cason B, Simmons J, et al. Im a 2007; 25:713 3) Rosta JL, Cason B, Simmons J, et al. Im a 2007; 25:713 3) Rosta JL, Cason B, Simmons J, et al. Im a 2007; 25:713 3) Rosta JL, Cason B, Simmons J, et al. Im a 2007; 25:713 3) Rosta JL, Cason B, Simmons J, et al. Im a 2007; 25:713 3) Rosta JL, Cason B, Simmons J, et al. Im a 2007; 25:713 3) Rosta JL, Cason B, Simmons J, et al. Im a 2007; 25:713 3) Rosta JL, Cason B, Simmons J, et al. Im a 2007; 25:713 3) Rosta JL, Cason B, Simmons J, et al. Im a 2007; 25:713 4) Rosta JL, Cason B, Simmons J, et al. Im a 2007; 25:713 4) Rosta JL, Cason B, Simmons J, et al. Im a 2007; 25:713 4) Rosta JL, Cason B, Simmons J, et al. Im a 2007; 25:713 4) Rosta JL, Cason B, Simmons J, et al. Im a 2007; 25:713 4) Rosta JL, Cason B, Simmons J, et al. Im a 2007; 25:713 4) Rosta JL, Cason B, Simmons J, et al. Im a 2007; 25:713 4) Rosta JL, Cason B, Simmons J, et al. Im a 2007; 25:713 4) Rosta JL, Cason B, Simmons J, et al. Im a 2007; 25:713 4) Rosta JL, Cason B, Simmons J, et al. Im a 2007; 25:713 4) Rosta JL, Cason B, Simmons J, et al. Im a 2007; 25:713 4) Rosta JL, Cason B, Simmons J, et al. Im a 2007; 25:713 4) Rosta JL, Cason B, Simmons J, et al. Im a 2007; 25:713 4) Rosta JL, Cason B, Simmons J, et al. Im a 2007; 25:713 4) Rosta JL, Cason B, Simmons J, et al. Im a 2007; 25:713 4) Rosta JL, Cason B, Simmons J, et al. Im a 2

EP020

HIPERALDOSTERONISMO PRIMÁRIO: UM RELATO DE CASO - HIPERTENSÃO ARTERIAL RESISTENTE SECUNDÁRIA A HIPERALDOSTERONISMO PRIMÁRIO COMPLICADA COMINFARTO AGUDO DO MIOCÁRDIO

CRUZ, B. I. V. M.; RIBEIRO, I. G.; CHAVES, J. A. C.; CARVALHO, L. N.; GOD, E. M. G.

INSTITUIÇÃO: HOSPITAL SOCOR.

INSTITUIÇÃO: HOSPITAL SOCOR.

A prevalência de Hipertensão Arterial Sistémica (HAS) secundária é estimada em 3-5%¹. O hiperaldosteronismo primário (HAP) é causado por produção excessiva, inadequada e autônoma de aldosterona. A prevalência em hipertensos é de 3-22%¹. Deve ser suspeitado em casos de HAS de difícil controle associada a hipocalemia e/ou nódulo adrenal, entretanto somente uma minoria dos pacientes manifestará hipocalemia (9-37%²). Estes pacientes apresentam uma maior morbimortalidade cardiovascular que hipertensos primários, comparados por idade e sexo, com o mesmo nível de eleva-ção da PA. Quando unilateral, a adrenalectomia resulta em cura em cercade 30-60%² dos pacientes. Descrição de Caso: EJAR, 55 anos, sexo masculino, casado, branco, natural de Bocaiuva e procedente de BH, Analista de sistemas. Sabidamente HAS desde 2013, com controli nelficaz da PA, mesmo em uso regular de Colmesartana 40mg/dia, Anlediopino 5mg/dia, Nebivolol 5mg/dia, Clonidina 0,2mg/12/12h, Hificalzaina 50mg/dis, Indapamida 1,5mg/dia, Além disso, diabético em uso de insulina, obeso Grau letabagista (3danos/maço). Encaminhado ao PS, em março de 2018, devido a queixa de cefaleia e elevação dos níveis pressióros (PAJ30/130mmHq, não casão). Na admissão, foi identificação do distúrbio em internação na coneção de hipocalemia e ajuste das medicações. Avallado na entermaria, encontrava-se assintomático e apresentava-se ao exame físico em bom estado geral, normocorado, hidratado, afebril, eupreico, com peso de 1015-58(s), (IMC32, PKg/m2), F. Ce 2 725pme PA del BOI/210mmHq em ambosos membros superiores, sem confirmaram HAP Foi optado por iniciar tratamento clínico com Espironolactona 50mg/dia e referenciado para confirmaram HAP. Foi optado por iniciar tratamento clinico com Espirionolactona Súmigidia e reterenciado para tratamento cirrigicio. Recebeu ata em uso de Ciondina 0,15mg BID, Hidrodorotaciada Súmgidia, Losartan Sómg 12/12h, Hidralazina Sómg 8/8h, Nebivolol 5mg/dia, Cloreto de potássio 2400mg/dia. Durante o preparo pré-operatório ambulatorial, o paciente evoluiu com quadro de dor torácica tipica e ECG evidenciando Infanto agudo do miocárdio com supra-ST. Encaminhado à cineangiocoronariografia de urgência que mostrou: Da Oculdia distal, amno Diagonal com obstrução crítica, ME e DP oduídas com colateral e VE com moderada hipocinesia anterior. Foi realizada angioplastia com balão em DA distal e implante de senti famacológico em ramo diagonal. Considerando a necessidade da terapia anti-plaquetária dupla e o novo quadro hemodinâmico instalado, a cirurgia foi postergada e o tratamento dirico otimizado. Conclusão: O HAP por adenoma adrenal é causa de hipertensão secundária,pouco lembrada frente ao paciente com hipertensão, retardando o diagnóstico e implicando em exposição a eventos cardiovasculares graves, com redução do Ahnoc de cura da hipertensão anterial sistêmica, acheriavas bibliográficas: 1.79 Diretiz Basisien de Hipertensão. Anterial Sociedade bradeira de cardiologia. 2016. 2. Fander IV et al. The management of primary aldosteronism: ase detection, Diagnosis and Parallelos de Cardiologia. 2016. 2. Fander IV et al. The management of primary aldosteronism: ase detection, Diagnosis and Parallelos de Cardiologia. 2016. 2. Fander IV et al. The management of primary aldosteronism: ase detection, Diagnosis and Parallelos de Cardiologia. 2016. 2. Fander IV et al. The management of primary aldosteronism: ase detection, Diagnosis and principal de cardiologia. 2016. 2. Fander IV et al. The management of primary aldosteronism: ase detection, Diagnosis and principal de cardiologia. 2016. 2. Fander IV et al. The management of primary aldosteronism: ase detection, Diagnosis and principal detection. Primary aldosteronism ase detection. Principal de cardiologia. 2016. 2. Fander IV et al. The management of primary aldosteronism. See deservices principal de cardiologia. 2016. 2. Fander IV et al. The management of primary aldosteronism. See deservices principal de cardiologia. 2016. 2. Fander IV et al. The management of primary aldosteronism. See deservices principal de cardiologia. 2016. 2. Fander IV et al. The management of primary aldosteronism. See deservices principal de cardiologia. 2016. 2. Fander IV et al. The management of primary aldosteronism. See deservices principal de cardiologia. 2016. 2. Fander IV et al. The management of primary aldosteronism. See deservices



Aldosterona	Atividade de Renina
32,4	<0,07
47,4	< 0,07
71,6	< 0,07
37	< 0,07
37,2	0,1
83,2	0,2
	32,4 47,4 71,6 37 37,2



RESUMO DE TEMAS LIVRES | 28º CONGRESSO DA SOCIEDADE MINEIRA DE CARDIOLOGIA

FP 021

INFARTO AGUDO DO MIOCÁRDIO COM SUPRA ST E ACIDENTE VASCULAR CEREBRAL ISQUÊMICO EM PACIENTE PORTADOR DE FIBRILAÇÃO ATRIAL E NEOPLASIA DE CÓLON: MÚLTIPLOS DIAGNÓSTICOS E VÁRIOS DILEMAS TERAPÊUTICOS: RELATO DE CASO

PINTO, LIMA; OLIVEIRA, ACBS. OLIVEIRA, LB. ORNELAS, CE. BARBOSA, MPT. PENA, HPM

A concomitância de síndrome coronariana aguda e fibrilação atrial (FA) é frequente, em aproximadamente 21% dos casos. Recentes Ensaios Clínicos (23.445 trouxeram a possibilidade de se utilizar a Terapia Dupla (antitrombótico associada a apenas um antiagregante plaquetário), com vantagem em relação à menor risco de sangramento, mas sem significância estatística quanto ao benefício relativo a trombose de sten reinfarto e prevenção de Acidente Vascular Cerebral Isquêmico (AVC-1) quando comparado a Terapia Tripla (dupla antiagregação plaquetária + Varfarina). As Diretrizes restringem-se às orientações grau de evidência C*: pacientes com IAMCSST e FA e alto risco de sangramento devem ser tratados com terapia tripla no primeiro mês, seguindo de terapia dupla do 2º ao 12º mês. Objetivo: Apresentamos um caso dínico complexo, onde houve concomitância de vários eventos clínicos: IAMCSST e FA, associados a AVC-1 agudo e Neoplasia de Cólon (com proposta cirúrgica já definida), e vários dilemas terapêuticos: 1) Qual a melhor combinação de anticoagulante oral e antiplaquetários no IAM e FA? 2) Como manejar a anticoagulação pós AVCI agudo ? 3) Como ajustar antitrombóticos e quando realizar a cirurgia para tratamento do câncer, em paciente pós-IAM e stent? Relato de Caso: Paciente, sexo masculino, 66 anos, portador de Hipertensão Arterial, Tabagismo, FA e Adenocarcinoma de Cólon. Havia interrompido o uso de Rivaroxabana em função da programação cirúrgica de quadro neoplásico. Atendido no prontoatendimento com dor torácica tipo A. ECG (figura 1) mostrava ritmo de FA e supra-ST em parede inferior.

Exame clínico: afasia





sem outro déficit neuro lógico, PA140x80mmHg. C 87 bpm. Tratado com Ácido Acetilsalisílico AAS), Ticagrelor e angioplastia primária com implante de stent

convencional em artéria CD (figura 2). Tratamento sequencial: Ticagrelor + Rivaroxabana 15 mg iniciado após 3 dias de angioplastia. Evolução dínica: Killip I. Melhora do déficit neurológico. ECOTT: Acinesia parede inferior, FEVE: 59%, Ressonância de encéfalo (figura 3): pequenos infartos recentes, multifocais, e infarto isquêmico mais extenso frontal inferior esquerdo. Submetido, 1 mês após o IAM, a ressecção de grande lesão tumoral em cólon. O Ticagrelor foi trocado para AAS e o anticoagulante oral foi suspenso 48 horas antes. Procedimento cirúrgico sem complicações, com posterior retorno à dupla anticoagulação. Conclusão: A prática clínica nos expõe a dilemas terapêuticos muitas vezes não contemplados pelos ensaios clínicos, nem daramente orientados pelas Diretrizes. Neste caso, a sobreposição de eventos clínicos exigiu análise crítica da literatura e compreensão da particularidade do indivíduo, na busca do CHINICOS EXIGIJU ANAISE CTRICA OB INTERTUTA E COMPREENSAO DA particularidade do Individuo, na busca do melhor plano terapêutico possível. Reterencias Bibliográficas: 1. Dewilde VIII, et al. Use of depidogrel with or without aspini in patient taking oral anticoagulant therapy and undergoing percutaneous coronary intervention: an oper-label, randomised, controlled trial. Lames 2013;38:1107–1115, 2. Fieder KA, et al. Duration of triple therapy in patients requiring oral anticoagulation after drug-eluting stent implantation the INFARTRIET EITA. Jam Coll Cardiol (1955;56:1619–162); Gisbon CM, Mehane, Roder C, Halperin I, Verheugt PW, Wildgoose P, et al. Preventior of bleeding in patients with atrial fibrillation undergoing PCI. N Engl J Med 2016;375:2423–2434.

EP 023

CARDIOMIOPATIA HIPERTRÓFICA E ABLAÇÃO ALCOÓLICA

LIVIA ROQUETE MARINHO; REYNEER COELHO; MARCIO JÚNIOR; LARISSA COLARES; DYOGO VILELLA

A Cardiomiopatia Hipertrófica é a mais comum das doenças cardiovasculares genéticas, sendo causa frequente de morte súbita em jovens, incluindo atletas. Caracteriza-se pela presenca de um ventrículo esquerdo espessado porém não dilatado, na ausência de outras condições sistêmicas capazes de produzir hipertrofia ventricular esquerda. Dentre os sintomas, tem-se síncope e présíncope, explicados por arritmia ou obstrução da via de saída. Das possibilidades de tratamento não farmacológico, têm-se c tratamento percutâneo com alcoolização. Objetivo: Expor caso clínico real de paciente com cardiomiopatia hipertrófica sintomática com melhora após tratamento com alcoolização. Método: Relato retrospectivo de caso clínico paciente com cardiomiopatia obstrutiva sintomática tratada com ablação alcoólica e acompanhamento ambulatorial assintomática. Resultado: Paciente E.N.A.F, 43 anos, com queixas de síncope de repetição ao esforço físico durante anos, vários episódios até então diagnosticada como sincopes vagais. Sem outras queixas História pregressa e história familiar: nada digno de nota. Diagnóstico secundário de hipotireoidismo laboratorial. Exame físico: Sopro Sistólico ++ em via de saída de VE. ECG: Sugere Sobrecarga ventricular esquerda (vide foto).Em Março de 2012, paciente encaminhada ao serviço de ecocardiografia que mostrava miocardiopatiahipertrófica com obstrução dinâmica e gradiente de pico de 113mmHg. Após diagnóstico, paciente intercorreu com três episódios de síncope em duas semanas. Optado então por encaminhá-la ao tratamento percutâneo com alcoolização. Procedimento com sucesso, sem intercorrências. Gradiente reduzido a 16mmHg ao repouso e 29mmHg após valsava. Em retorno ambulatorial após duas semanas do procedimento, iniciado betabloqueado (selozok50mg 1 vez ao dia). Em acompanhamento dínico regular, 5 anos após tratamento percutêno, paciente encontra-se sem novos episódios sincopal, sendo mantidos dados ecocardiográficos. Conclusão: As terapêuticas invasivassã oa alternativa para os pacientes que mantém queixas na cardiomiopatia hipertrófica apesar do tratamento farmacológico. Dentre esses tratamentos invasivos, temos a ablação alcoólica que visa a provocação de necrose miocárdica circunscrita ao septo basal atrávesda injeção intracoronarianade álcool. O objetivo é a diminuição da espessura do septo e, consequentemente, diminuição do gradiente subáortico. Através de 3 diferentes fases : diminuição do consequentemente, aliminuição do gradiente subaotrico. Atraves e a dinerentes fases: ciminuição o gradiente pelo stunning do miocárdio; edema da região necrosada (5 a 10 dias de duração) e, finalmente a fase de remodelamento que se estabelece por volta do 3º mês. Dentre os critérios clínicos para submissão ao tratamento percutâneo, tem-se: pacientes refratários ao tratamento clínicos; idade maior a 30 anos; classe NYHA III ou IV, síncope induzida por exercício ou hipotensão ao esforço; gradiente em repouso > 30mmHg, movimento anterior sistólico e insuficiência mitral discreta a moderada. O álcool produz toxicidade direta que leva necrose de coagulação tanto do miocárdio quanto mocardia. So accos produz concadade unites que ten recorse coagunação atmos do infocation quanto da artéria septal e dos ramos atingidos, evita ainda, o desenvolvimento de colaterais no território miocárdico irrigado pelo ramo septal, permitindo a diminuição tardia da espessura do septo. Reference Bibliográficas: 9º ed Braunwald tratado de doenças candiovasculares -AHA 2011Guideline -Meta analyse sof septal reduction the rapies for Bibliográficas: -9º ed Braunwald tratado de do obstructivehy pertrofic cardiomtopathy, 2013

FP022

PERICARDITE TUBERCULOSA - RELATO DE CASO

ALUBER SOUSA MENDES MOTA; ANA LUIZA SOBREIRA SENA; MARINA RESENDE BARATA; KAROLINA FREIRE KOSAC: JUNIA MATA TAVARES PEREIRA DO NASCIMENTO: DÉBORA CRISTOFORIDIS TEIXEIRA SANTA CASA DE MISERICORDIA DE BELO HORIZONTE

A tuberculose (TB) pericárdica é uma importante manifestação de tuberculose extra-pulmonar, com incidência em aproximadamente 1 a 2% dos casos. A infecção pericárdica por Mycobacterium tuberculosis pode ocorrei por meio da extensão da infecção pulmonar ou árvore traqueobrônquica, linfonodos adjacentes, esterno ou disseminação miliar. Em muitos pacientes, a pericardite tuberculosa representa doença de reativação, e o foco principal da infecção pode ser inaparente. Os pacientes apresentam clínica típica de pericardite ou tamponamento cardíaco. O diagnóstico é estabelecido por meio da detecção de bacilos da TBC em esfregaços ou cultura de líquido pericárdico e / ou pela detecção de bacilos da TBC ou granuloma capsular no exame ou cutura de liquido pericardico e y ou peia detecção de bacilos da 15C. Ou granuloma capsular no exame histológico do pericárdio. A abordagem da terapia para o tratamento da pericardite tuberculosa é geralmeta a mesma que a da TB pulmonar. Relato de Caso: G.C.E., 66 anos, masculino, história prévia de hipotireoidismo e HAS, apresentava quadro de 15 dias de evolução de tosse seca e dispneia. Realizou tratamento para pneumonia comunitária, sem melhora. Apresentava aumento de área cardíaca e deranse. pleural a esquerda ao RX de tórax e derrame pericárdico difuso, moderado a importante, sem restrição diastólica (swimming heart) ao ecocardiograma. Foi admitido na enfermaria de cardiologia para extensão propedêutica. Paciente não apresentou febre, perda ponderal, dor torácica ou outros sintomas sistêmicos no período. Encontrava-se estável e sem sinais clínicos de tamponamento cardíaco. Após 3 dias evoluiu com hipotensão, turgência jugular e abafamento de bulhas, caracterizando a tríade de Beck. Realizou ecocardiograma de urgência evidenciando colabamento diastólico de AD e VD, além de diminuição da onda E mitral em mais de 50% com a inspiração. Realizada pericardiocentese (500ml) e toracocentese (1000ml) com coleta de material para análise. Paciente evoluiu bem no pós-operatório, sem recidiva do derrame pericárdico. A análise do líquido mostrou um BAAR negativo e ADA de 72. Biópsia de pericárdio com granulomas sugestivos de TB, confirmando o diagnóstico. Foi então iniciado tratamento dínico com esquema RHZE padrão e atualmente paciente encontra-se em acompanhamento ambulatorial, sem recidiva do derrame pericárdico até o presente momento. Conclusão: Diante da alta prevalência de tuberculose no Brasil, esta deve sempre ser uma das principais hipóteses diagnósticas frente a um paciente com derrame pericárdico, seja na vigência de pericardite aguda ou não. O tratamento possui altas taxas de cura, devendo sempre ser Institution assim que o diagnóstico for estabelecido, para diminiuir o risco de complicações graves. Referências Bibliognáficos - Trautner BW, Davoudre RO (2001) Tudor (1992) Despois de la proprieta de la p

FP024

HIPERALDOSTERONISMO PRIMÁRIO - RELATO DE CASO

SIQUEIRA, BRUNA PINTO E; CARDOSO, BRUNNO BARBALHO; MENDES, ANDREZZA DE OLIVEIRA; COUTINHO, RAFAEL MEIRA; GUSMÃO, JOÃO BATISTA

HOSPITAL FELÍCIO ROCHO

A hipertensão arterial sistêmica secundária tem prevalência de 3% a 5% das causas de hipertensão arterial, sendo que o hiperaldosteronismo primário apresenta uma incidência variável de 0,05 a 2% em hipertensos com quadro característico de hipocalemia, produção aumenta da dealdosterona, redução ou supressão da renina, relação aldosterona/renina elevada e alcalose metabólica. As causas mais comuns de hiperal dosteronismo primário são adenomas produtores de aldosterona e hiperplasia adrenal bilateral, mas pode também ser causado por carcinoma adrenal e tumores extra-adrenais produtores dealdosterona. O adenoma produtor de aldosterona (aldosteronoma) foi descrito pela primeira vez por Conn em 1954. Hoje é a causa mais importante de hiperal dos teronismo e representa uma das poucas causas curáveis de hipertensão arterial de origem secundária. Estes tumores são normalmente pequenos (menos de 2 cm de diâmetro), benignos, têm cor amarelada em sua cápsula com difierentes tipos celulares adrenais visíveis à microscopia. Os pacientes podem se apresentar de forma as sintomática ou oligossintomática, com sintomas decorrentes do próprio quadro hipertensivo ou das complicações geradas pela hipocalemia (poliúria, noctúria, câimbras musculares, fraqueza muscular excessiva, parestesias, tetania e até parallsias musculares). Caracteriza-se por hipertensão arterial, hipocalemia, excreção urinária excessiva de potássio e alcalose metabólica. Objetivo: Descrever um caso de hipertensão arterial sistêmica secundária a hiperaldosteronismo primário secundário a Descrever um caso de hipertensão arterial sistêmica secundária a hiperaldosteronismo primário secundário a adenoma produtor de aldosterona em uma paciente jovem com diagnóstico recente de hipertensão e hipocalemia. Rever seu diagnóstico, tratamento e recomendações baseadas em evidências. Descrição do Caso: L.N.F.S, 26 anos, sexo feminino, diagnóstico de hipertensão há 2 anos, sexo minvestigação prévia de hipertensão secundária, sem outras comorbidades. Uso regular de hidroclorotiazida e anlodipina, mas mantendo níveis pressóricose levados (PAS > 180mmhg). Há 2 meses vinha apresentando quadro de náuseas, malestar geral, vómitos, polimialgia, poliatratogla, rigidez musculares poradicamente e episódios de resis hipertensiva acompanhado de dispneia, palpitações, sudorese e cefaleia. Procurouo PA em 19/04/18 devido piora dos sintomas com dispneia e cefaleia occipital além de hipocalemia importante (K:2,2) e hipertensão (PA180x1 20mmHg). Internada para extensão de propedéturia onde fo ivisto exame de aldosterona elevada (119-VR1, 8 a 23), atividade plasmática da renina normal e RM de abdome com a denomaem suprarenal escuerda (2,2x2x1,8cm) (filogural) sem or suprarenal escuerda (2,2x1x1 esquerda (2,2x2x1,8cm) (figura1), sendo realizado adrenalectomia esquerda videolaparoscópica (figura2) em 03/05/18, com anatomo patológico com características de adenoma cortical. Paciente evoluiu bem no PO, com bom controle pressórico e iônico com normalização dos níveis séricos de potássio após a cirurgia Paciente recebe alta hospitalar em 06/05 com normalização da aldosterona (3,5) e do potássio (3,7), com prescrição de losartana 50mgMID. Conclusão: O hiperal-dosteronismo primário é o termo genérico de uma série de desordens associadas como excesso crônico de aldosterona. A causa mais comum é uma denoma solitário produtor dealdosterona, uma das poucas causas curáveis de hipertensão arterial, que leva normalização de níveis pressóricos e iônicos em pacientes com diagnóstico de hipertensão arterial secundária. Em relação ao tratamento, em pacientes com doença unilateral a adrenalectomia laparoscópica é a abordagem preferida. Já os pacientes com hiperaldosteronismo idiopático bilateral, a terapia medicamentosa com os antagonistas dos receptores de mineralocorricoides é o tratamento de escolha. Referências Bibliograficas: Hipertensia anterial sistemica secundaria, V) Direttrezes Brasileiras de Hipertensia o 1981VI, Rev Bras Hipertens vol. 17(11). Sponivel em http:// departamentos.cardiol.br/dinhavelsut-17-11 reago/pat ("AcRETT, 1, F. Et al. Hiperadosteronismo primário- 15, 2010. Disponivel em http:// departamentos.cardiol.br/dinhavelsut-17-11 reago/pat ("AcRETT, 1, F. Et al. Hiperadosteronismo primário- 100 primário novas perspectivas. Revista portuguesa de receivamen primário novas perspectivas. Revista portuguesa de reflecimiento primário novas perspectivas. Providados de reflecimiento primário novas perspectivas. Provido secundária. Em relação ao tratamento, em pacientes com doença unilateral a adrenalectomia Japaroscópica é

RESUMO DE TEMAS LIVRES | 28º CONGRESSO DA SOCIEDADE MINEIRA DE CARDIOLOGIA



EP 025

AVC ISQUÊMICO SECUNDÁRIO A ÊMBOLO SÉPTICO ORIGINÁRIO DE ENDOCARDITE DE VÁLVIII A MITRAI

KAROLINE FREIRE KOSAC; DÉBORA CRISTOFORIDIS TEIXEIRA; JÚNIA MATA TAVARES PEREIRA DO NASCIMENTO; MARINA REZENDE BARATA; ANA LUIZA SOBREIRA SENA.

SANTA CASA DE MISERICÓRDIA DE BELO HORIZONTE.

A endocardite refere-se à infecção da superficie endocárdica, e costuma acometer ao menos uma das valvas cardiacas. Há inúmeros fatores de risco para o desenvolvimento da doença como a própria infecção previamente, valva protética, doença valva, cardiopatia congênita e outros fatores não cardíacos como o uso de droga intravenosa, cateter intravenoso, imunossupressão, ou procedimento dentário e/ou cirujerico. As manifestações da endocardite são variáveis, em geral no quadro agudo alterações típicas da doença se desenvolvem precocemente. A febre é o sintoma mais comum, acometendo mais de 90% dos pacientes, às vezes associado a calafrio, anorexia e perda de peso. Há uma variedade de complicações da endocardite devido à embolização séptica, tais alterações podem estar presentes no inicio da doença ou podem se desenvolver subsequentemente. Complicações neurológicas como AVE de origem embólica, hemorragia intracerebral e abscesso podem acometeraté mais de 40% dos pacientes. Descrição de Caso: E.M.M.S., 25 anos, submetido a correção decomunicação interatrial com utilização de enxerto depericárdio bovino em fevereiro de 2018. Após procedimento, evoluíu com quadro de dispneia progressiva e insuficiência respiratória, sendo necessário intubação orotraqueal. Transferido para CTI, devido instabilidade dinica, onde evoluíu com choque catirdiogênico. Observada a formação de derrame pleural moderado em hemitórax esquerdo. Foi submetido ao processo de toracocentese para investigação da etiologia. Exames da análise do líquido pleural evidenciaram essudato. Foi aventada hipótese de componente séptico associado de tiologia pulmonar. Após estabilização extubação, evoluíu com hemiplegia em dimidio direito. Hipóteses diagnósticas: AVC isquémico secundário a êmbolo séptico originário de endocardite em válvula mittral? Condutas adotadas: Realizado ecocardiograma transtorácico que sugeriu endocardite em válvula mittral? Condutas adotadas: Realizado ecocardiograma transtorácico que sugeriu endocardite em válvula mittral? Condutas adotad







FP027

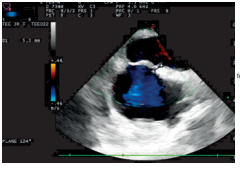
FECHAMENTO PERCUTÂNEO DE FORAME OVAL PATENTE EM PACIENTE JOVEM COM AVCI

BORGES NETO, N., MADRUGA, R. N. SILVA C. A. B., ROCHA E. S

HOSPITAL SÃO JOÃO DE DEUS

O forame oval patente (PFO) é uma alteração congênita que frequentemente persiste no adulto, tendo prevalência de 25% a 30%. Durante o desenvolvimento fetal essa condição é fundamental para que o sanque oxigenado cheque as câmaras esquerdas, sendo fisiológico, seu fechamento espontâneo, em algumas horas após o nascimento. A maioria dos portadores dessa condição são assintomáticos porém, uma minoria pode apresentar uma variedade de manifestações clínicas, sendo o mais importante, o AVC criptogênico, principalmente detectado em paciente com menos de 55 anos Descrição do Caso: A PFO serve como um caminho para o trânsito arterial de êmbolos (embolia paradoxal) via desvio da direita para esquerda, em situações onde a pressão do átrio direito excede a do átrio esquerdo. O AVC criptogênico representa de 20% a 40% de todos os AVCs isquêmicos quando descartada etiologias vasculares. O ECO Trastorácico com a técnica de microbolhas auxilia a definicão da etiologia do AVC, por evidenciar o shunt para as câmaras esquerdas. O tratamento da condição descrita, pode ser medicamentoso, com uso de antiagregantes plaquetários e anticoagulação oral ou, pela via percutânea. Os estudos demostraram melhores desfechos com a última técnica em vários estudos randomizados, onde é realizado o fechamento do forame oval patente com inserção de um dispositivo de correção quiado pelo ECO Intracardíaco ou pelo ECO transesofágico. O benefício potencial do fechamento é determinado com base em fatores individuais, pré-clínicos e características do FOP. Caso Clínico: Paciente R R S 38 anos, HAS, 02 episódios de AVCi Corticais, compatíveis com AVC de etiologia isquêmica, com o intervalo de 45 dias, no ano de 2015. Descartada outras etiologias de AVCi, pesquisa de trombofilia Negativa, HOPE SCORE: 08 RNM: Áreas de hipersinal em T2 e Flais comprometendo a região cortical do lobo parietal direito e do giro subcentral esquerdo, sem efeito expansivo ou atrófico, associado a áreas de necrose cortical laminar, podendo corresponder a etiologias isquêmicas em estágio subagudo. Doppler Venoso de MMiis: Sem sinais de TVP ECOTE com microbolhas: Após compressão do hipocôndrio D, simulando uma manobra de Valsalva, revelou a passagem de múltiplas microbolhas do AD para o AE pelo FOP. Tratamento: Fechamento percutâneo de FOP, com endoprótese, realizado com sucesso. Conclusão: Paciente no ano de 2018 com sequelas neurológica mínimas, após o tratamento adequado de AVCi de repetição em paciente jovem, não recorreu novo evento isquêmico. Referências Bibliográficas: AGARWAL, S. et al. Meta-analysis of trans

Hecuteur Involve Vertical Squernitin Herapy for patent foramen ovale in previnterventions, v, 5, n, 7, 2012, - 88AUNIVAD, E., ZIPES, D.P., ET AL - 88AUNIVAD, E., ZIPES, D.P., ET AL - 88AUNIVAD, E., ZIPES, D.P., ET AL - 88AUNIVAD, E., Cardiovascular Medicine, 9th ed, Suanders Elsevier, 2011 - CAPUTI, L. et al. Residual Shurt after Patent Foramen Ovale Suntra Medican Foramen Ovale Survey, Journal of Stroke and Cerebrovascular Diseases, p. 1-3, 2013, - CAPUTI, L. et al. Inhain patent foramen ovale survey, IAOSJ: Early results. Perspectives in Medicine, v. 1, p. 25-40, 2012.





EP 028

PERICARDITE CONSTRITIVA - DO DIAGNÓSTICO AO TRATAMENTO

STAPASOLLA, A. V. M; OLIVEIRA, A. P; MARTINS, P. M; LIMA, E. A; NETO, N. B; RÈGES, R. B HOSPITAL SÃO JOÃO DE DEUS - DIVINÓPOLIS / MG

O pericárdio é um saco fibrótico avascular que reveste o coração, composto pelos folhetos visceral e parietal, entre meados por uma pequena quantidade de líquido seroso. Por ser inelástico, o pericárdio limita dilatações cardíacas agudas porém pode-se adaptar a longo prazo. A Pericardite Constritiva (PC) representa o estágio final de um processo inflamatório que envolve o pericárdio, onde ocorre uma fibrose, muitas vezes com calcificação e adesão de seus folhetos e restrição ao enchimento das câmaras cardíacas. Sua etiologia, em 60% dos casos, não é elucidada. Causas mais comuns induem as idiopáticas e pós cirurgia cardíaca, outras são doenças reumatológicas, infecciosas, pós radiação outra umas. Tem como diagnóstico diferencial cardiomiopatia restritiva e hepatopatia crônica[4]. Seu tratamento definitivo é a pericardiectomia. Descrição de Caso: J.L.B., 70 anos, masculino, obeso, portador de FA crônica e cardiopatia, encaminhado com quadro de "insuficiência cardíaca com fração de ejeção preservada", descompensado hemodinamicamente e com confusão mental secundária abaixo débito cardíaco. Internações fregüentes devido a quadro de descompensação cardíaca. Em acompanhamento ambulatorial com cardiologista, foi verificado, ao exame físico, "knock" pericárdico, hepatomegalia ingurgitamento jugular e edema de membros inferiores. Diagnóstico de PC comprovado pela ressonância magnética cardiaca e ecocardiograma transtorácico. Propedêutico: Radiografia de tórac mespessamento e calcificação pericárdica e cefalização de trama pulmonar (figura1). Ecocardiograma mostrou pericardite constritiva associada a hipertensão pulmonar, além de endomiocardio fibrose em ventrículo direito (VD) e função sistólica biventricular preservada, feve 57%. Ressonância Magnética com espessamento pericárdico com sinais de constrição (figura2). Hipótese Diagnóstica: Pericardite Constritiva associada a Endomiocardiofibrose com ICFEP do VE. Conduta: Optado por intervenção da cirurgia cardiovascular. Identificado pericárdio grosseiramente espessado, calcificado e fortemente aderido às câmaras direitas. Submetido a pericardiectomia, porém devido a endomiocardiofibrose intercorreu com lesão do VD corrigida com rafia cardíaca. Com evolução dramática, paciente apresentou derrame pleural com necessidade de toracocenteses, além de mediastinite com nova abordagem cirúrgica além de encarceramento pulmonar sendo submetido a decorticação pulmonar. Internação prolongada em Unidade de Terapia Intensiva, paciente evoluiu com melhora clínica lenta e gradual. Conclusão: A pericardite constritiva tem como conseqüência fisiopatológica uma intensa restrição ao enchimento de todas as câmaras cardíacas, redução do volume sistólico e conseqüente baixo débito cardíaco. Por se tratar de uma afecção incomum ainda é pouco considerada como diagnóstico diferencial inicial nos quadros de insuficiência cardíaca e arritmias. O tratamento inclui medicamentos para insufficiência cardiaca, entretanto o definitivo é cirúrgico com a pericardiectomia, Refereia abbiogidica-1, tulia insufficiência cardiaca, entretanto o definitivo é cirúrgico com a pericardiectomia, Refereia abbiogidica-1, tulia W. C. Freeman G. I. Pericardia disease, Circulation. 2006; 113 (12):162-23-2, 2, ciutti C. S. Constrictive pericardiista 19-month-old child. Ang Bass Cardiol. 2000; 74 (15):54-4. 3-Koharti S. Say A Babil V. K. Ontonic constrictive pericardiisti; perdingiase, Indan Heart. 1, 2003; 55 (4):309-54. Milanda W R. Oh IX. Constrictive Pericardiists. A Practical Clinical Approach, Trop Cardiovasc Ds. 2017 Jan-Feb; 39 (4):593-39-5. Staunwald, E. Zippe, D. P., et Al-Bannawald's Heart Disease. A Post Dock Gardiovascula Medicine. 1) Orbet, Saunders beloving 2014.

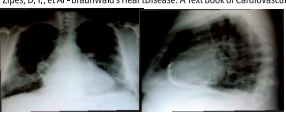


Fig1:RX tórax mostrando pericárdio calcificado.

> Fig2: RM cardíaca com espessamento pericárdico na parede lateral do VE.

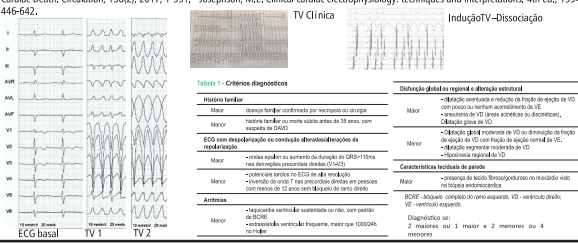


EP029

TAQUICARDIA DE QRS LARGO: DA PROPEDÊUTICA AO TRATAMENTO

RESENDE, L.O., TRINDADE, O.M., LISBOA, G.G., BORGES NETO, N., STAPASOLLA, A.V.M., SOUSA, D.S. UNIVERSIDADE FEDERAL DE SÃO JOÃO DEL-REI (UFSJ)/ HOSPITAL SÃO JOÃO DE DEUS

A displasia arritmogênica de ventrículo direito (DAVD) é uma das principais causas de morte súbita em indivíduos jovens. Consiste em uma cardiopatia genética, caracterizada por substituição do miocárdio ventrícular por tecido fibrogorduroso, propiciando substato anatômico para arritmias ventriculares malignas (taquicardia ventriculare propiciando substato anatômico para arritmias ventriculares malignas (taquicardia ventriculare fibrilação ventricular). Descrição do Caso: J.R.S., 48 anos, presença de palpitações taquicárdicas com episódios de pré-síncope associados. Histórico familiar de morte súbita: 3 irmãos com 20, 23 e 40 anos. Na última crise procurou o pronto atendimento com sinais de instabilidade hemodinâmica (palpitações, pré-síncope, sudorese fria e hipotensão arterial). ECG: taquicardia de QRS largo, com frequência cardiaca maior que 220 bpm (padrão BRE com eixo inferior), sugestiva de taquicardia ventricular (IV) pelos critérios de Brugada. Melhora do quadro após reversão da arritmia. ECG basal: RS + PR 120 ms (sem onda delta), BDAS, R > S de V1 a V6, inversão onda T em precordiais direitas. Sorologia negativa para Doença de Chagas. Coronariografia e ecocardiograma sem alterações significativas. ECG de alta resolução com presença de potenciais tardios. RNM cardiaca: demonstrou discinesia e acinesia subtriscupidea, ausência de substituição fibrogordurosa VD e realce tardio mesocárdico inferobasal e ínfero medial do ventrículo esquerdo. Estudo eletrofisiológico invasivo induziu 2 diferentes morfologias de TV monomóficas sustentadas, com sinais de instabilidade hemodinâmica. Não induzidas taquicardias supraventriculares. Definiu-se pela presença de critérios maiores e menores o diagnóstico de DAVD. Implantado cardiodesfibrilador interno para prevenção secundária de morte súbita. Após o implante, o paciente encontra-se bem, sem recorrência de arritmias. Condusão: As taquicardias de QRS largo consistem em um desafio diagnóstico (eletrocardiográfico e etiológico). Resealta-se a importância da extrinias ven





RESUMO DE TEMAS LIVRES | 28º CONGRESSO DA SOCIEDADE MINEIRA DE CARDIOLOGIA

FP 030

TROMBOSE DE STENT COM TRIPLA TERAPIA - RELATO DE CASO

Mendes, Andrezza de Oliveira: Baptista, Osmar D'Alexandria Pita: Dumont, Pedro Nilo Magalhães: Morais, Leandro Teixeira; Pereira, Talita de Araújo; Fonseca, Marcelo Guimarães da HOSPITAL FELÍCIO ROCHO

A trombose de stent (TS) é uma complicação temível dada sua alta mortalidade. Contemporaneamente, a dupla antiagregação plaquetária (DAPT), a terapia antitrombina e os stents farmacológicos têm excelentes resultados a curto e médio prazo. O principal preditor independente de TS é a descontinuação da DAPT. Contudo, o estudo PARIS registrou 74% dos eventos isquêmicos, incluindo TS, em vigência de DAPT, muitos dos quais provavelmente relacionados à variabilidade interindividual do dopidogrel'. Objetivos: Descrever caso de trombose de stent relacionado à tripla terapia com clopidogrel. Rever seu manejo e recomendações baseadas em evidências. Descrição do Caso: Homem, 73 anos, hipertenso, diabético e ex-tabagista. Angioplastia com stent farmacológico no segmento proximal da artéria circunflexa em 24/04 (figura 1 e 2), inicialmente DAPT com AAS e ticagrelor. Contudo intercorreu com circuntlexa em 24/04 (tigura 1 e 2), inicialmente DAPI com AAS e ticagrefor. Contudo intercorreu com fibrilação atrial (FA) persistente, portanto substituído ticagrefor por clopidogref, realizado bolus com 600 mg. Alta domiciliar em 01/05 com terapia tripla (AAS 100 mg, dopidogref 75 mg, rivaroxabana 15 mg). Retorna em 02/05 com dor torácica típica e dispneia, admitido em FA com alta resposta ventricular associada ao infradesinivalmento de 5T em parede inferosseptal. Alcançado controle de frequência com esmolol, acompanhado por melhora do infradesinivalmento de 5T e relativa dos sintomas. Curva de troponina positiva (t0 0.13; t8 32). Coronariografia demonstrou trombose de stent proximal da artéria circunflexa e VE com acinesia lateral (figura 2). Considerando tempo decorrido, submetido à RM com estresse, constatando-se viabilidade miocárdica. Durante internação, TT com AAS, ticagrelor e enoxaparina terapêutica; nova angioplastia (figura 3); e TT de alta com essa AAS, ticagrelor e varfarina.



guras: 1. Antes da angioplastia primária 2. Resultado da prin

Condusão: Comparativamente ao clopidogrel, prasugrel e ticagrelor foram desenvolvidos alcançando maior potência, menor variabilidade de resposta, reduzindo significativamente o desfecho isquêmico primário de 12 meses, incluindo TS. Até 10% dos pacientes submetidos à intervenção coronariana percutânea apresentam indicação de anticoagulação terapêutica. Hoje não se recomenda o uso de ticagrelor ou prasugrel na tripla terapia (TT) com AAS e anticoagulação oral^{2,2}. Frente aos subgrupos resistentes ao clopidogrel, bem como aqueles com elevado potencial pró-trombótico que mais se beneficiam do prasugrel/ticagrelor quanto à sobrevivência cardiovascular, a TT com tais medicamentos não é permitida com as evidências atuais, requerendo estudos robustos para definir a condução destes GOSS, References Bibliograficas: 1 (Verticutas a duals), requesteriou estudios industos para destinin a Confue de GOSS, References Bibliograficas: 1 (MeRADO, Juan et al. 18 exterious), sent Thembooss, and Bleeding Complications, burnal of The American College of Cardiology, v.71, n. 15, p.1676-1695, ab. 720 (188.e. Bevier BV, Do II. 0,1016/j.jac.,2018.02.02.2; VALGMRGL, Marco et al. 2017 ESC focused update on dual analysished tetherapy in company artery disease eveloped in caliboration with EACTS. European Heart Journal, y.3, p. 18, p.132-63. 26 ap. 2017. Oxford University Press, Do I 10,1093/eurheartylehat/19.3; Pl. Angel et al. Ticageler in Triple Antithrombotic Therapy: Predictors of ischemicand Bleeding Complications. Clinical Cardiology, v.3, p. 1, p.132-33, p. 10, 1500; Wiley, Do I 10.1006/dc.24868

EP 032

MIOCARDITE AGUDA ASSOCIADA À DENGUE SEGUIDA DE INSUFICIÊNCIA CARDÍACA GRAVE COMPLICAÇÃO POUCO COMUM

KARLA CORDEIRO GONÇALVES, WAGNER NASCIMENTO CARVALHO, GUSTAVO SANTOS ALVES MARIA, ANNA LETICIA MIRANDA, MARIA DA CONSOLAÇÃO VIEIRA MOREIRA

FACULDADE DE MEDICINA DA UNIVERSIDADE FEDERAL DE MINAS GERAIS

A dengue é uma doença viral, prevalente em áreas tropicais e subtropicais. Seus sintomas, caracterizados por um período febril agudo, são tipicamente autolimitados; no entanto, pode evoluir com complicações graves, incluindo a miocardite. Objetivo: Relatar um caso de insuficiência cardíaca (IC) grave de início súbito, relacionada à infecção pelo vírus da denque, que necessitou ser tratada com transplante cardíaco (TC) de urgência. Método: Relato de caso. Resultados: Paciente (PT) de 36 anos, previamente hígida, procurou o Serviço de urgência de sua cidade com história de uma semana de febre, mal-estar, artralgia, mialgia intensa, dor abdominal e taquipneia durante surto de Dengue. Estava letárgica, em edema pulmonar agudo e hipotensão, necessitando de suporte inotrópico venoso. Os biomarcadores cardíacos estavam elevados (troponina e CK-MB). O ECG evidenciou taquicardia sinusal e alterações inespecíficas da onda T. O RX de tórax evidenciou cardiomegalia, congestão pulmonar e derrame pleural. A EcoDopplercardiografia mostrou fração de ejeção do ventrículo esquerdo (FEVE) de 23%. O diagnóstico foi confirmado por resultados positivos para infecção do vírus da Dengue em pesquisas da imunoglobulina M e de antigeno NS1. A Ressonância Magnética Cardiaca evidenciou EFVE de 18% e presença de realce tardio, pós-gadolinio, em paredes anterior, lateral e inferior. Não havia disponibilidade de biópsia endomiocárdica no centro médico de origem da PT. Apesar do tratamento clínico otimizado a PT não recuperou sua fração de ejeção, evoluiu com IC grave , classe IV NYHA, refratária e foi rehospitalizada com IC dependente de inotrópicos venosos. A PT foi transferida para Centro de TC, foi avaliada, estratificada e incluída na fila para de TC no "status" de prioridade. Evoluiu com insuficiência renal e necessidade de hemodiálise. Aguardou durante 29 dias até surgir um doadoi compatível, quando foi submetida a TC de urgência e bem-sucedido. Após 180 dias de acompanhamento, a PT está assintomática, em dasse I. Realizado cinco biopsias endomiocárdicas de controle até o momento, ausência de rejeição grave do enxerto. O exame de EcoDopplercardiografia mostrou FEVE de 67%. Segue em uso de terapia tríplice imunossupressora, micofenolato, tacrolimus e prednisona. Condusão: A IC grave é uma complicação rara da infecção pelovírus da Dengue. A suspeita e diagnóstico precoce deenvolvimento cardíaco, assim

como seu tratamentosão essenciais para prevenir os desfechosdesfavoráveis. O TC pode ser o último recurso parasalvar a vida de pacientes com IC grave, refratária e sem outras possibilidades terapêuticas. Referências JULIO A. DOSSIDIII (GADES TETA DÈUTICAS. Referência Bibliográfica: TARMANDE (A Borges, Cohmid IA Passi-MA Passi MA. Remo St., Lopes de Foncea BA. A case presentation of a fatal dengue myocarditi showing evidence for dengue virus-induced elsoria. En terial T. Acute Cardiova. Care. 2013 Iun; 2(2): 127-30, 2 fabit H. Danovalla V. Hayat S. Myocarditis leading to severe dilated cardiomyopathy in a patient with dengue Fever. Case Reco. Cardio. 2015;2015-319312. 3-9acal F. Souza-Neto (D. Forelli Al, Mejiaet al. 10):e16-173.



FP031

INFARTO AGUDO DO MIOCÁRDIO POR MIXOMA ATRIAL

RARISSA O. F. FERRAZ, HENRIQUE M. DA ROCHA

REAL BENEMÉRITA ASSOCIAÇÃO PORTUGUESA DE BENEFICÊNCIA

Os tumores cardíacos primários são muito raros, acometem todas as faixas etárias, com uma prevalênciade 0,001% a 0,03% revelada em série de autópsias. Destes, os mixomas atriais são responsáveis por 30 a 50% dos casos. O primeiro diagnóstico premortem de tumor primário do coração, um mixoma cardíaco, foi feito por Goldberg, em 1952. Caso Clínico: Paciente do sexo masculino, de trinta e oito anos de idade, veio encaminhado ao serviço de cirurgia cardíaca para exérese de mixoma atrial esquerdo. Tal alteração foi diagnosticada após pesquisa para possível causa de acidente vascular encefálico, acometido há um ano e seis meses deixando como següela ao paciente hemiplegia em membro superior direito e membro inferior direito. Paciente relatou também que após seis meses do acidente vascular encefálico sofreu único episódio de dor precordial atípica de forte intensidade, procurando o pronto socorro onde foi medicado com analgésicos com melhora da dor após algumas horas. Ao realizar pré-operatório foi evidenciado no eletrocardiograma presenca de onda Q em parede inferior (DII, DIII e Avf), após o achado foi realizado novo e codopplercardiograma que evidenciou presença de massa móvel com pedículo localizado em teto de átrio esquerdo perto da desembocadurade uma das veias pulmonares medindo 43mm x 21,6mm e comprometimento da função global do ventrículo esquerdo com predomínio de acinesia de parede inferior do ventrículo esquerdo (FEVE%: 0,49 Cubo). Realizado cineangiocoronariografía não demonstrando lesões coronárias obstrutivas que caracterizassem doença arterial coronariana podendo sugerir isquemia miocárdica de etiologia embólica. Realizado exérese de mixoma atrial esquerdo sem intercorrências, paciente mantém consultas periódicas com ecodopplercardiograma para avaliação da disfunção ventricular esquerda.







Conclusão: Há fortes indícios de infarto do miocárdio causado por êmbolo tumoral, pois o paciente já havia apresentado outro fenômeno embólico para o encéfalo, causando acidente vascular encefálico isquêmico permanecendo sequelas do insulto. Há também relato de único episódio de dor precordial atípica, além da presença de ondas Q em parede inferior (DII, DIII, Avf), sugerindo infarto do miocárdi o passado. Cineangiocoronariografia não demonstrando lesões coronárias obstrutivas que caracterizassem doença arterial coronariana podendo sugerir infarto do miocárdio por êmbolo de fragmento tumoral como etiologia provável. Referências Bibliográficas: 1, Burke A, VirmaniiR: Fascide 16, 3rdseries: Tumors of the heart and the great vessels. Incluses of Tumor Pathology, Washington, DC, Armed Forces Institute of Pathology; 1995.2. Roberts WC.-Primary and secondary neoplasms of the heart. Am I cradiol 1997; 86: 671-32. Ibbly P Bonowlow, Mann ID, Zpos L-Bouwaudifelents Diseases: A Nettooko G. Cardiovascular Medicine, Sthedibion, Saunders, 2008. vol. 2. 4. Pinadel, Duhauti? Loire R - Clinical presentation of left atrial cardiac myxoma. A series of 112 consecutive asses. Medicine (Balmony 80:1939, 2011).

EP033

SÍNDROME DE TAKOTSUBO

RARISSA O. F. FERRAZ: SÁVIA O. FERREIRA: LUARA G. OUEIROZ

HOSPITAL SÃO FRANCISCO DE RIBEIRÃO PRETO

Esta síndrome foi descrita pela primeira vez no Japão, tendo seu nome inspirado em uma armadilha para captura de polyos. O quadro típico é semelhante à síndrome coronariana aguda, relacionada ao estresse capitula de porviso. 7 quadro tipico estintentante a sinitolinie civioriantala aguioa, fractionidado, fractionidado, reactionidado, per desenvalores em qualquer lesão coronariana. Sua incidência é estimada em 10000 casos/ano nos EUA, predominando em mulheres, pós-menopausa, com média de idade entre 60 e 80 anos que tenham passado por distúrbio emocional recente. Sua evolução em grande maioria é benigna. O EcoDopplercardiograma (ECO) é o exame não invasivo, baixo custo, padrão ouro para diagnóstico da síndrome. Apesar da cinecoronariografía (CATE) ser exame indispensável para afastar lesões coronarianas. Caso Clínico: Paciente do sexo feminino, 62 anos, branca, natural de Ribeirão Preto, do lar, apresentava como comorbidades menopausa em reposição hormonal e ansiedade. Houve quadro de doi torácica aguda após assalto, sendo encaminhada para atendimento de urgência, hospitalar e foi realizada série eletrocardiográfica com alterações dinâmicas de ST. Observou-se troponina positiva. CATE mostrou ausência de coronariopatia, disfunção ventricular esquerda (VE) localizada e aumento do volume residual devido hipocinesiaântero-apical. ECO mostrava hipocinesiaseptal, lateral e apical do VE, déficit sistólico. Paciente evoluiu com sinais de disfunção do VE e congestão pulmonar, foi necessário uso de drogas vasoativas, com melhora progressiva. Recebeu alta com melhora total dos sintomas após sete dias de internação. O ECO de controle após 8 semanas revela função sistólica e mobilidade segmentar do VE preservadas. Discussão: O estresse emocional, físico e desastres naturais são as principais causas, levando ao aumento de catecolaminas plasmáticas, vasoespasmo coronariano, sobrecarga de cálcio no miócito e disfunção microvascular com alteração da cascata de coagulação, aumento dos fatores inflamatórios e obstrução dinâmica da via de saída do ventrículo esquerdo. Conclusão: A Síndrome de Takotsubotem grande relevância no diagnóstico diferencial para coronariopatia. Ainda considerada sub diagnosticada no Brasil, estima-se a incidência de 7000 à 14000 casos/ano nos EUA, correspondendo à 1-2% dos casos de síndrome coronariana aguda. O ECO como mais importante método para avaliação 1-2 / 20 COS COSS US 19 SIMILOTINE COVARIATION OF CONTROL OF CONTR









FP 034

TAQUICARDIA VENTRICULAR COMO APRESENTAÇÃO INICIAL EM PACIENTE JOVEM COM SÍNDROME DE

JUNIOR, SI; LOPES LC; ANDRADE IG; SANTOS LD; CABRAL SS; TEIXEIRA GD;

UNIVERSIDADE DE UBERABA MÁRIO PALMÉRIO. HOSPITAL UNIVERSITÁRIO

A Síndrome de Wolff-Parkinson-White (SWPW) é caracterizada pela presença de despolarização ventricular precoce em uma ou mais vias acessórias congênitas de condução, predispondo ao corrência de taquiarritimias, geralmente taquicardia supra-ventricular. A taquicardia de reentrada atrio-ventricular representa 95% das taquicardias de reentrada. O estimulos inusal chega a ondolulo AV e via via exessória, mas, como está ultima apresenta condução rápida, os ventriculos são ativados precocemente, explicando o intervalo PR curto. A ativação ventricular provenientedavia acessória começa pel omiocárdio (e não pelo sistema His-Purkinje,) justificando uma lentecimento na porção inicial do QRS, representa do pela onda délta. A porção final do QRS é estreita, já que o término da ativação ventricular se faz pelo nódulo AV e polosistema His-Purkinje. Esta sindrome é considerada fator de risco para o aparecimento de fibrilação attal (FA), que pode estar presente em cerca de um terço dos doente se pode associar-se a um prognóstico reservados e a via (rA), que pode estar presente em cerca de um terço dos oemites e pode associar-se a um prosportos reservados e a via acessória apresenta um periodo refratário anterógrado curto, o que pode desencadear uma resposta ventricular rápida, degenerando em fibrilação ventricular (RV) e morte súbita. Geralmente são pacientes jovens e sem doença cardiaca estrturula. Os doentes sintomáticos e aqueles com profissões de alto risco têm indicação como tratamento padrão a ablação das vias acessórias, no entanto, a abordagem dos doentes assintomáticos é mais controversa. ASWPW pode ser assintomática ou apresentar palpitação irfimica de início e término súbito e por vezes revertida somente com medicamentos endovenosos ou cardioversão elétrica. Descrição do Caso Clínico - Relato de Caso: Identificação: Paciente medicamentos endovenosos ou cardioversão elétrica. Descrição do Caso Clínico - Relato de Caso: Identificação: Paciente ineutamientos encoversos ou carionosta de terrica. Descriga do Caso Cinnico-Redato de Caso. Definiticação: Faciente de 21 anos, Solteiro, desempregado, natural e procedente de Uberlándia (MinasGeraís), Queixa e duração: Taquicardia e sincope há 30 minutos. História Pregressa: Familia informava que paciente referiu taquicardia e depois de alguns segundos caiu ao solo, apresentando perda de consciência súbita por alguns segundos e recobrando a consciência com tontura e mal estar. Referia apresentar taquicardia, tontura e mal estar esporádicos. Recebeu atendimento médico inicial. tontura e maiestat, keiena apresentari aquituarina, tontura e maiestari esporantos. Recebeu atentimiento mento micate em Posto de Saúde e foi prontamente transferido ao Pronto Scorro, onde due tenta da cerca de 30 minutos após o início dos sintomas. Antecedentes: Negava doenças prévias, mas referia palpitações frequentes. Negava e pisódio prévio. Negava história familiar, inclusive imão gêmeos em doenças relatadas. Negava tabagismo, etilismo ou uso de drogas ilicitas. Negava Hipertensão Arterial ou Diabetes. Ao exame físico: Má perfusão periférica, pulsos fions, sudoréico, hipotenso, sonolento, porém responsivo aos comandos, referindo ainda dispneia leve, mantendo saturação normal. PA: hipotenso, sonolento, porém responsivo aos comandos, referindo ainda dispneia leve, mantendo saturação normal. PA: 80x40mmlq e FC:185bpm. ECG da entrada: Taqui-ventricular monomórfica com alta resposta ventricular e risco de degeneração para FV e morte súbita. Conduta: Paciente foi imediatamente submetido a cardio versão elétrica (360I), na sala de emergência, evoluindo para ritmo sinusal. ECG (pós-cardioversão): ritmo sinusal com intervalo PR cutro e presença de onda delta (Wolff-Parkinson-White). Conclusão: Encaminhado para estudo eletrofisiológico (EEF) e indicada ablação por radiofreqüência da via acessória. A eletrofisiologia cardiaca invasiva proporcionou avanços no conhecimento das arritmias com tratamento seguru, definitivo e evidente melhora na qualidade de vida, eliminando o risco de morte súbita. Paciente tratado e assintomático permaneceu em seguimento ambulatorial na cardiologia, sem som edicamentos o contínuo. No estudo eletrofisiológico invasivo são introduzidos cateteres com eletrodos multipodares pelo sistema arterial e/ou venoso como intuito de registrara atividade détrica cardiaca e eliminaras contrativamentos acessor de sandi freguera de sandi responsable com como intuito de registrara atividade détrica cardiaca e eliminaras contrativamentos contínuos que acessor de sandi freguera de sandi responsable como como intuito de registrara atividade détrica cardiaca e eliminaras contrativamentos continuos que acessor de sandi freguera de sandi responsable como como intuito de registrara atividade détrica cardiaca e eliminaras contrativamentos continuos que acessor de sandi freguera de la cardia cardiaca con la cardia freguera de la cardia cardiaca con de sandi freguera de la cardia cardiaca con cardia cardiaca elementos como como como intuito de registrara atividade détrica cardiaca

INTRODUCTION OF THE PROPERTY O MINIMAN MANAGEMENT AND MANAGEMENT AN

taquicardias mediante aplicação de radio frequência sobre a área do endocárdio relacionado ao circuito reentranteda arritmia. Este procedimento é seguro e empregado com fins curativos em 98% dos casos commission commission de productivos em 196% ados casos com sociedados com sociedados de productivos em 196% ados casos com sociedados de práctica clínica baseados el calendrícia, Bogota ASCOPAME, 2000. 2, kim 6. J. Bashore M. Sellers T. Parichett E. L. Smith VM. Callagher I. I. Ventricular fibrillation in the Wolfferkinson- White pudramen. N ragil Med. 1975; 301:1080-5.3. Braunwald E, Zipes D. P. Libby P. Tratado de medicina cardiovascular, 6*ed, São Paulo: Roca, 2003, p.133-4,710-1,800,924.

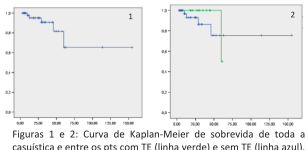
FP035

TEMPESTADE ELÉTRICA EM PACIENTES COM SÍNCOPE POR TAQUICARDIA VENTRICULAR ROSE MARY FERREIRA LISBOA DA SILVA, GIOVANNI OLIVEIRA CARVALHO, MARIANA ALVES GOMES RAÍSSA ALVES PINTO MOURA, ISABELLA CAPOBIANGO RODRIGUES.

FACULDADE DE MEDICINA DA UNIVERSIDADE FEDERAL DE MINAS GERAIS.

A ocorrência de três ou mais episódios de taquicardia ou fibrilação ventricular em 24h, com necessidade de terania para reversão, é definida como tempestade elétrica (TE). A majoria ocorre em pacientes (nts) com desfibrilador-cardioversor implantável (CDI). Sua incidência é variável, conforme o tipo de prevenção a fração de ejeção, o usode antiarrítmicos, entre outros. Na prevenção secundária, sua incidência é de 10% a 60% e é um preditorinde pendente de mortalidade. Objetivo: Analisar a proporção de pts com TE entre aqueles com síncope por taquicardia ventricular, seu perfil dínico e sua evolução. Método: Entre 375 pts internados por síncope no período de 24 meses, foram identificados 130 com taquicardia ventricular sustentada com média de idade de 56,1±15,6anos, 87homens. Foram submetidos à avaliação clínica, laboratorial, cálculo dos escores de síncope (por ocasião de seu ingresso) e seguimento dínico. Resultados: A média dos escores de estratificação de síncope foram 2,9 \pm 0,9 para Martin; 2,4 \pm 0,9 para OESIL e 5,2 ± 2,2 para EGSYS. A média da fração de ejeção foi de 0,42 ± 0,15 e 11 pts não apresentavam cardiopatia estrutural. Entre os cardiopatas, as principais etiologias foram a chagásica (76pts) eaisquêmica (19pts). Setenta e sete apresentaram algum distúrbio de condução, com bloqueio de ramo em 26pts. Foram submetidos ao implante de CDI 60pts. Durante a mediana de seguimento clínico de 24,5 meses, houve recorrência de taquicardia ventricular em 65,2% (mediana de quatro episódios; máximo de 23), e TE em 9,2% dos pts. Não houve associação entre TE e tipo de cardiopatia. Entre pts com miocardiopatia dilatada, 86% apresentaram recorrência de sincope (p=0,03). A taxa de mortalidade cardíaca de toda acasuística foi de 8,5%. Conclusão: A incidência anual de tempestade elétrica foi de 4,5%, sem influência da idade, sexo, cardiopatia isquémica ou chagásica, e dos escores de estratificação de síncope. A disfunção ventriculares teve associada à recorrência da arritmia ventricular. Referências inguistics: 1.51% RM, Montt, Ranas, 5: al. Radiofrequency catheter ablation for arthythnic storm in patients with an implantable cardic brillator, Pacing Clin Extrophysiol. 2004; 27: 797-75. Z. Guerra 5.51koza M, Scappini, Let, Role of electrical storm as a mortality and mortator and its clinical predictors amendanjs. Europace. 2014; 1(8): 347-533. Guerraf. Accogi M, Boolell J et al. In Irradiona Let commergisty (ELECTRA): Bodground, rationale, study design, and expected results. Contemp Clin Irials Commun. 2017; 7: 597-24. Moda? It It it, et al. Significant impact of electrical stormormorality in patients with structural hard disease and a miplantable cardic elebrillation. T, Nitta T, et al, Significant Cardiol. 2018; 255: 85-91.





Figuras 1 e 2: Curva de Kaplan-Meier de sobrevida de toda a casuística e entre os pts com TE (linha verde) e sem TE (linha azul), teste de Log Rank p-0,58. Eixo horizontal: tempo em meses; eixo waritani ronbalifiade a cumuleda de sobrevida.

EP036

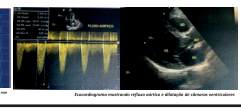
VÁLVULA AÓRTICA BICÚSPIDE INSUFICIENTE E DESFECHO DESFAVORÁVEL COM ATIVIDADE FÍSICA: RELATO DE CASO

JOSÉ RICARDO COSTA DE OLIVEIRA/ CLÍNICA NCOR — ITAJUBÁ/MG

A válvula Aórtica Bicúspide (VAB) tem prevalência de 1%, predomina em homens, pode ser esporádica ou familiar e ser associada a outras cardiopatias congénitas. Pode gerar valvopatia e/ou dilatação aórtica, portadores podem ser associada a outras cardiopatias congénitas. Pode gerar valvopatia e/ou dilatação aórtica, portadores podem ser associada a outras cardiopatias (Eco). É uma deença progressiva e então é necessário controle regular, sendo a atividade esportiva normalmente permitida, principalmente em jovens com função normal. Mas o treinamento é sistemático e o exercício intenso favorecer a disfunção avlava preceço, a dilatação aórtica e morte súbita. O tratamento é basicamente cirúrgico principalmente em casos de valvopatias graves e sintomas de insuficiência cardiaca. O objetivo desse trabalho é relatar o caso de um paciente com VAB insuficiente que, desenvolvendo atividade física internada, apresentou desfecho desfavorável. Descrição do Caso: CESM, 36 anos, masculino, procurouava liação pré-participação em atividade física e ras existentas em atividade física e ras existentas em atividade física e ras existentas em actividade física e ras existentas em atividades física e ras existentas em actividade física e ras existentas em atividades física e ras existentas e era existada esta en actividade e desse trabalho é rélatar o caso de um paciente com VAB insuficiente que, desenvolvendo atividade física intensa, apresentou desfecho desfavorável. Descrição do Caso: CESM, 36 anos, masculino, procurvouva liação pré-participação em atividade física. Era assintomático mesmo em grandes esforços e negava patdogias prévias e ena extabalção. Pesava 95Kg e tinha 1,7m de altura, PA:120x80mmltg, FC: 708PM, sopro diastólico aóritico, ritmo cardiaco regular e bulhas normofonéticas em 2 tempos. O ECG normal e Eco mostrou VAB com dupla lesão aóritica discreta e comprometimento difuso discreto do VE (FE: 62%). No teste ergométrico mostrou-se assintomático, atinigindo 12METs, com bons padado hemodinámico e cardiorrespiratório. O paciente foi informado sobre o diagnóstico, até entida desconhecido dele, e orientado a manter acompanhamento ambulatorial, com retorno previsto em 6 meses ou se aparecessem sintomas com a atividade lísica. Após 9 meses iniciou dispinela aos moderados esforços, PA: 120 x 80mmltg, FC: 808PM, sopro cardiaco mais intenso e 0 ECG mostrou sinais de SVE, o que fol confirmado pelo Eco que viu IAo moderada-grave, aumento das cavidades esquerdas e FE de 46%. Paciente então foi orientado a parar as atividades físicas e indicada a troca valvar aóritica. Discussão: Devido a garnde incidência de VAB entre adetas inclusive, oba paciente estar assintomático inicialmente e o caráter benigno da doença na maior parte das evoluções, conforme dados da Iteratura, não houve precoupação inicial em contra-indicar a partaica atividade física. Esta considerada moderada-intensa, envolveu corridas em ritmo de 6min/Km com5-10Km/día 3 días na semana. Além disso, havia prática de musculação leve para fortalecimento muscular e melhora de postura global. Após 9 meses o paciente estava em preparação para disputar prova de mela-maratona (21Km), máis disposto, 13kg menos pesado e mantendo acompanhamento nutritional.Com a evolução do treinamento houve progressão da doença: sintomatologia, alterações detrocardiográficas e parâmetros ecoar







EP037

A CAPACIDADE PREDITIVA DE DADOS ANTROPOMÉTRICOS SOBRE O RISCO CARDIOVASCULAR DE FUNCIONÁRIOS DE UMA EMPRESA DO MUNICÍPIO DE ITAÚNA

CUNHA IM, ARRUDA CM, RODRIGUES CM, ISIDORO GSP, RABELO BA, MESQUITA GA, SILVA DF, PEREIRA MTM, VIEIRA JDM, FERREIRA GLM

UNIVERSIDADE DE ITAÚNA/MG

Doencas cardiovasculares (DCV) são importantes causas de internação, morbidade e mortalidade no Brasil, gerando perdas de alto custo financeiro e social. Atualmente, existem algoritmos que pode estimar o risco cardiovascular (RCV) de cada indivíduo pela análise dos fatores de risco, como o Escore d e Risco Global (ERG). O sobre peso e a obesidade não entram no cálculo dos algoritmos, porém, são importante fatores de risco para DCV. O estudo de Framingham, revelou que o excesso de peso é um fator de risco independente para a ocorrência de eventos cardiovasculares. Além disso, a obesidade abdominal associada a outros fatores, constituem a "síndrome metabólica" que promove um risco aumentado de doença aterosclerótica. O presente estudo aplicou o ERG em funcionários de uma empresa eml taúna-MG, no intervalo de 2 anos, e observou o índice de massa corporal (IMC) e a circunferência abdominal (CA) dos indivíduos dassificados como risco alto e intermediário, para verificar a capacidade preditiva desses dados antropométricos em relação ao RCV. Objetivos: Avaliar a capacidade preditiva do IMC e a CA sobre o risco cardiovascular de funcionários de uma empresa do município de Itaúna-MG. Método: Foram coletados valores de peso, altura e Ca e calculados IMC e o ERG de 71 funcionários de uma empresa do município de Itaúna-MG nos anos de 2016 e 2018. Todos os participantes foram informados quanto aos resultados e receberam orientações sobre prevenção. Resultados: Dos funcionários analisados em 2016, 1(1,4%) foi classificado como alto risco e apresentava sobre peso. Em 2018, 5(7,04%) foram alto risco, sendo os IMCs divididos em: 1(20%) normal, 2(40%) sobre peso e 2(40%) obesos grau I. Já a CA aponto uapenas 2(40%) funcionários acima da meta. Em 2016, 24(33.8%) dos funcionários eram de risco intermediário, sendo 9(37,5%) com peso normal, 10(41,66%) comsobrepesoe5(20,83%)com obesidade grau I. Em relação à CA, 10 funcionários (41,66%) estavam acima do normal. Em 2018, ALTO (1) INTERMEDIÁRIO (24)

31(43,66%) eram de risco intermediário, 4(12,9%) possuíam peso normal,19(61,29%) sobre peso e 8 (25,8%) obesidadegraul e 14(45,16%) tiveram CA acima da meta. Conclusão: O IMC demonstrou ser um preditor de risco cardiovascular aditivo ao Escore de Risco Global, fato não observado na análise da CA. Vale ressaltar que ao comparar os valores obtidos ao longo dos dois anos estudados, pode-se notar que o aumento do escore se relaciona ao aumento das medidas antropométricas, sustentando a tese de que a coleta de dados antropométricos é importante na estimativa do RCV Ressalta-se que para dados mais fidedignos é necessária uma maior amostragem e o uso de outras medidas antropométricas mais SenSíveis. Referências Bibliográficas: 1, Atualização do Diretiriz Brasileira de Obligideniais e Prevenção da Aterosclerose-2017. Am Bars Cartiol. 2017 Jul; 109 (2 Supt)1: 1-76, dioi 10,939/Sub. 2017/0121. Assocação Brasileira para o Estudo da Obesidade de a Sindrome Metabilica Diretires brasileira de obesidade 2016/BRSSO-Associação Brasileira para o Estudo da Obesidade e da Sindrome Metabilica. 4-6, dio Paul Sen Associação Brasileira para o Estudo da JB, Machado SP, dos Santos AM, da Sina AA. The association between cardiovascular risk factors ind anthropometric obesity indicators in university students in São Luís in the State of Ma Brazil. Cien Saude Colet. 2015;20(2):479-90.doi: 10.1590/1413-81232015202.02342014

Normal	0	9 (37,5%)	
Sobrepeso	1 (100%)	10 (41,66%)	
Obesidade I	0	5 (20,83%)	
A			
Normal	1 (100%)	14 (58,34%)	
Alterada	0	10 (41,66%)	
	2018 (7)	l)	
	ALTO (5)	INTERMEDIÁRIO (31)	
мс			
Normal	1 (20%)	4 (12,9%)	
Sobrepeso	2 (40%)	19 (61,29%)	
Obesidade I	2 (40%)	8 (25,8%)	
A			
Normal	2 (40%)	17 (54,84%)	
Alterada	3 (60%)	14 (45,16%)	
ibela 1 e 2: análise comparativa dos valores de IMC e CA entre os nos de 2016 e 2018 em participantes com risco alto e intermediário o Escore de Risco Global.			



RESUMO DE TEMAS LIVRES | 28º CONGRESSO DA SOCIEDADE MINEIRA DE CARDIOLOGIA

EP 038

CARDIOMIOPATIA ALCOÓLICA

RARISSA O. F. FERRAZ, DÉBORA B. O. MENDES, PAULO H. M. VILELA, SÁVIA O. FERREIRA, F. DE MARTINO

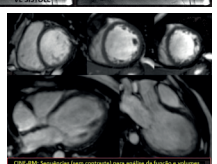
HOSPITAL SÃO MARCOS DE UBERABA

O termo Cardiomiopatia Alcoólica tem sido utilizado para paciente com história prolongada (> 10 anos) de consumo excessivo de álcool (> 80 gramas por dia). A ausência de cirrose hepática, sugere existir uma susceptibilidade específica do tecido miocárdico à toxicidade etanólicia. Assim, o efeito tóxico direito do álcool sobre o miocárdio e/ou as deficiências nutricionais (tiamina) comumente associadas ao alcoolismo crônico poderiam estar implicados em sua patogênese. Caso Clínico: RS.O., sexo masculino, 47 anos, hipertenso, diabético insulinodependente, hipotiroideo, soldador. Etilista (> 100 gramas por dia). Procurou atendimento cardiológico com sintomas de insuficiência cardíaca, principalmente esquerda. Apresentava ECG com Bloqueio de Ramo Esquerdo (QRS > 180 ms) e Ritmo Sinusal. Sorologia negativa para Doença de Chagas. EcoDopplercom aumento dos diametros cavitários e disfunção importante com FEVÉ 23% (Simpson). Coronariografia normal. RNM com reafirmação da disfunção importante do VE, com presença também comprometimento do VD (FEVD 40%) sem áreas de fibrose ou edema. Concomitante à investigação etológica, foi instituída terapia farmacológica otimitada. Porém, o paciente persistia com CF III-IV (NYHA). Sendo assim, foi indicado Terapia de RessincronizaçãoCardíaca (TRC). Durante o procedimento, não foi possível tecnicamente a colocação do cado do seio coronariano, a toracotomia foi necessária, com o implante epicárdico do dispositivo. Após, houve redução da duração do QRS, apesar do ECO não mostrar melhora considerável da FEVE. Atualmente, mantêm-se em CF I e, apesar de tê-lo reduzido, continua com o hábito alcoólico. Condusão: Após exclusão de outras causas de Cardiomiopatia, achou-se que a hipótese mais provável seria a etiologia alcoólica. Havia indicação de TRC com Classe I NE A: terapia farmacológica otimizada, QRS > 150 mscom morfologia de BRE, ritmo sinusal, FEVE < = 35% e persistência dos sintomas. É sabido que o aumento da duração do QRS (com indícios de dissincroniaventricular) é preditor de aument

sincronia ventricular traz melhora significativa dos parâmetros estruturais e funcionais com redução de diâmetros ventriculares, aumento da fração de ejeção e redução de internações. Somente 30% dos pacientes ressincronizados não apresentam melhora. Sendo assim, e com tantos benefícios, faz-se necessário que seja oferecido tal tratamento a todos







EP 039

CUIDADOS DE ENFERMAGEM A PACIENTE COM CARDIOPATIA CHAGÁSICA: RELATO DE CASO
SABRINA DE JESUS OLIVEIRA NEVES¹, KARINE GABRIELE DE JESUS LIMA¹, AURELINA GOMES E MARTINS¹

¹ ACADÊMICA DE ENFERMAGEM DA UNIVERSIDADE ESTADUAL DE MONTES CLAROS-UNIMONTES ² ENFERMEIRA. PROFESSORA DO DEPARTAMENTO DE ENFERMAGEM DA UNIVERSIDADE ESTADUAL DE MONTES CLAROS-UNIMONTES

Por se tratar de uma doença debilitante e incurável, a doença de Chagas constitui ainda hoje em um grave problema de saúde pública. A forma cardiaca é caracterizada fibrosa crônica. Objetivo: Relatar a experiência da aplicação do Processo de Enfermagema uma paciente portadora de cardiopatia chagásica. Método: Trata-se de um estudo descritivo na modalidade relato de experiência ao qual se aplicou o Processo de Enfermagem a um paciente com diagnóstico clínico de cardiopatia chagásica, durante as praticas curriculares da clínica médica no período de 18 a 22 de dezembro/ 2018 em um hospital do norte de Minas Gerais. Resultados: C.A.S. 94 anos, hipertensa, portadora de doença de chagas e insuficiência renal. Apresentou queixa de dor no cateter de duplo-lúmen, bradicardia, prostração e fraqueza. Iniciado tratamento clínico com Ondansetrona (8mg); Espironolactona (25mg), Dipirona (50mg) e soroterapia. Realizado eletrocardiograma, ritmo sinusal, ecocardiograma com fração ejeção normal e HVE e radiografia do tórax com área cardíaca aumentada. Ao exame, desorientada (Glasgow 11/15), hipocorada, bulhas cardíacas arritmicas e hipofonéticas, diurese presente com odor fétitido e escura, PA: 140x80mmHg; RR:25 irpm; FC:73 bpm e Tax: 37.1°c. Diagnósticos de enfermagem/ NANDA Internacional: 1. Infeção relacionada à prosteridemento invasivo; 2. Risco de intolerância à atividade relacionada com o desequilíbrio entre suprimento e demanda de oxigênio caracterizado por debito cardíaco diminuído; 3. Dor aguda relacionado a agentes lesivos caracterizada por relato verbal de dor, 4. Risco de Integridade da pele prejudicado relacionado à restrição no leito. Realizados cuidados com o retirada do cateter, higiene corporal, prevenção de lesão de pele, restrição no leito em Fowler, administradas medicações prescritas, realizadas técnicas assépticas rigorosas e lavagem das mãos pela equipe. Conclusão: Ao cuidar de paciente com cardiopatia faz-se necessário que a enfermagem valorize a humanização da assistência e garanta a segurança do pacient

Referências Bibliográficas: Diagnósticos de enfermagem da NANDA: definições e classificação 2015-2017/NANDA International; tradução Regina Machado Garcez. - Porto Alegre: Artmed, 2015. HORTA, W. A. processos de enfermagem. São Paulo: EPU, 1979. PEDROSA R.C; THIERS C.A; BARBOSA J.L. Cardiopatia Chagásica. SOCERI. 2013.

EP 040

INSUFICIÊNCIA CARDÍACA CONGESTIVA E PROCESSO DE ENFERMAGEM: RELATO DE CASO

SABRINA DE JESUS OLIVEIRA NEVES¹, KARINE GABRIELE DE JESUS LIMA¹, AURELINA GOMES E MARTINS¹
¹ ACADEMICA DE ENFERMAGEM DA UNIVERSIDADE ESTADUAL DE MONTES CLAROS-UNIMONTES
2 ENFERMEIRA. PROFESSORA DO DEPARTAMENTO DE ENFERMAGEM DA UNIVERSIDADE ESTADUAL DE
MONTES CLAROS-UNIMONTES

Insuficiência Cardíaca Congestiva (ICC) é uma síndrome de grande importância para a saúde publica devida a alta prevalência de morbimortalidade. É caracterizada por potenciais de disfunção do coração como bomba propulsora, tendo como fatores de risco hipertensão arterial, obesidade, dislipidemia, diabetes mellitus e hereditariedade, dentre outros. Objetos: Relatar a experiência da aplicação do Processo de Enfermagem a um paciente portador de insuficiência cardíaca congestiva (ICC). Método: Trata-se de um estudo descritivo na modalidade relato de experiência ao qual se aplicou o Processo de Enfermagem a um paciente com diagnóstico dínico de insuficiência cardíaca congestiva, durante as praticas curriculares da clínica médica no período de 18 a 22 de dezembro/ 2018 em um hospital do norte de Mínas Gerais. Resultados: Paciente de 73 anos, sexo feminino, portadora de hipertensão arterial, diabetes e cardiopatia, em uso de marca-passo, dá entrada em um hospital púbico no norte de Mínas Gerais com falta de ar importante e edema generalizado. Na coleta de dados observou-se dor intensa a região do flanco esquerdo e fossa ilíaca esquerda, hepatomegalia, cianose, oligúria, PA: 100x70mmHg; FR: 26 irpm; FC: 44 bpm. Relata várias internações ao longo dos últimos seis anos. Os diagnósticos de enfermagem foram traçados com base na NANDA Internacional: 1. Débito cardíaco diminuído relacionado com contratilidade alterada evidenciado por bradicardia; 2. Troca de gases prejudicada relacionada com desequilibrio na relação ventilação-perfusão definida por dispneia e 3. Autocontrole ineficaz da saúde relacionado à complexidade do regime terapêutico, déficit de conhecimento e apoio social definido por expressão de dificuldade com os regimes prescritos, Foram realizados cuidados básicos de enfermagem como higiene corporal, alimentação, administração de medicamentos, controle da ansiedade e realizado plano educativo com a paciente e acompanhante. Condusão: Após desenvolver o processo de enfermagem a paciente o acompanhante. Posto Austr

EP041

PROFILAXIA DO TROMBOEMBOLISMO VENOSO EM PACIENTES CIRÚRGICOS: RESULTADOS APÓS IMPLEMENTAÇÃO DE PROTOCOLO INSTITUCIONAL

COSTA, L.S.M., PONTES, S. C., BORATO, E. R., CASTRO JR, J.R., TORRES, A.G.M.J., ALVIM, I.M., COELHO, PR., PIRES, L.C.S.N., COSTA, F.S., JUNQUEIRA, J.O.G.

SANTA CASA DE MISERICÓRDIA DE JUIZ DE FORA

O tromboembolismo venoso (TEV) compreende trombose venosa profunda e embolia pulmonar, estando associado a desfechos clínicos graves. A profilaxia adequada no âmbito hospitalar reduz significativamente eventos tromboembólicos, suas complicações, gastos e tempo de internação. O estudo ENDORSE demonstrou que mais da metade dos pacientes internados tinham risco para TEV e que a profilaxia foi subutilizada em pacientes tanto cirúrgicos (59%), quanto clínicos (40%). Orientaçõ quanto a profilaxia de TEV em pacientes cirúrgicos fazem parte da avaliação de risco cardiovascular peroperatória, sendo situação frequente na rotina do cardiologista. Objetivo: Avaliar impacto do protocolo de profilaxia de TEV em pacientes cirúrgicos internados em unidade de referência cirúrgica regional. Método: Estudo transversal em Unidade de Cirurgia Geral de hospital referencia, comparando dados coletados em 2015 e 2017, ou seja, antes e dois anos após implementação do protocolo na instituição. Realizada coleta em prontuário, sendo pesquisados dados de adesão (preenchimento do escore de risco; instituição de qualquer medida) e adequação (classificação bem definida, indicação ou contraindicação pertinente, prescrição correta) às praticas de profilaxia de TEV. Resultados: Em 2015, na ausência de protocolo institucional, avaliados 124 pacientes cirúrgicos, onde 72,7% tiveram adesão quanto a profilaxia de l'EV formalizada em prescrição ou evolução porém, com apenas 9,1% de adequação às recomendações atuais. Já em 2017, avaliados 137 pacientes cirúrgicos, onde 79,6% tiveram adesão ao preenchimento do protocolo institucional, com adequação de 65,2% dos casos. Conclusão: As recomendações atuais de Segurança do Paciente exigem que os hospitais construam protocolos gerenciados, sendo a profilaxia de TEV uma das principais medidas para evitar eventos adversos graves. Assim, em acordo com essa tendência, nossa instituição avaliou dados iniciais em 2015, implantou protocolo em 2016 e realizou nova analise em 2017. Na sub análise dos pacientes da Cirurgia Geral, houve importante incremento na qualidade da estratificação e nas medidas profiláticas para TEV. Comparando os indicadores de profilaxia de TEV de 2015 e 2017, em pacientes cirúrgicos para Lev. Comparation Os infordances de profinação de 12 et 2015 e 2017, em patientes Cingjuco intermados, vimos que a formalização de protocolo institucional melhorou, sobremaneira, a adequação das medidas necessárias. Referências Bibliográficas: 1.ENDORSE Investigators, Venous thrombo embolism inéx andprophy laxisin the a cute hospital caresetting (RNDORSE study): amultinational coss-ectional study, Laince. 2008 feb 2; 371; (9610): 387-94. Zanithromboeir Therappara Personnos Thombosis, y theré. American College of Chest Physicians Evidence: Based Clinical Practice Guidelines, Chest. 27 Feb; 141(2spept): e7375-9815; Menaka, Pair, James D Doubetis, Prevention of venous thromboembolic disease in acutely ill hospitalized medical adults, entry (1960) politosite, Waltham, Mark, Gesessom Julino, 2018).

RESULTADOS	2015	2017
Número de pacientes avaliados	124	137
Adesão à profilaxia de TEV	72,7%	79,6%
Adequação às recomendações	9,1%	65,2%

RESUMO DE TEMAS LIVRES | 28º CONGRESSO DA SOCIEDADE MINEIRA DE CARDIOLOGIA



EP 042

USO DA RESSONÂNCIA MAGNÉTICA NA ESTRATIFICAÇÃO DE MORTE SÚBITA CARDÍACA EM PACIENTE COM CARDIOMIOPATIA HIPERTRÓFICA

ANA LUIZA SOBREIRA SENA, LUDIMILA SOBREIRA SENA, MYLENA SOBREIRA SENA, RAYSSA PIAZZI ROCHA. BRENO MACHADO NEVES. FELIPE GOMES DE OLIVEIRA

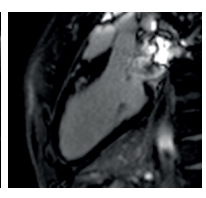
HOSPITAL UNIVERSITÁRIO - UNIVERSIDADE FEDERAL DE JUIZ DE FORA (UFJF)

A cardiomiopatia hipertrófica (CMH) é uma doença autossômica dominante causada por mutações em genes que codificam as proteínas dos sarcômeros. Tem prevalência de aproximadamente 0,2% (1:500 na população geral. É a principal causa de morte súbita cardiaca em atletas jovens. A utilização da ressonância magnética (RNM) para fins de diagnóstico e estratificação de risco de CMH é de importância considerável em pacientes selecionados quando o diagnostico permanece incerto ao ecocardiograma (a Elapode identificar áreas de HVE segmentar não visualizadas de forma confável no ecocardiograma (ou subestimada em extensão), identificar o grau de fibrose ventricular através da técnica do realce tardio, com o uso do gadolínio como contraste, além de melhor caracterizar anormalidades estruturais da valva mitral e dos músculos papilares. Relato de Caso: P.S.T., masculino, 17 anos, procura o ambulatório de cardiologia para realização de avaliação cardiológica para a prática esportiva competitiva, sem relato de comorbidades prévias. Apresenta ao exame físico RCR em 3T, B4, sem sopros, ictus propulsivo no quinto espaço intercostal esquerdo. Para investigação diagnóstica realizou ECG que demonstrou alteração inespecífica da repolarização em parede ântero-apical, e ecocardiograma transtorácico (ECOTT), que do ventrículo esquerdo, FE: 68%. Aventada à hipótese de CMH, solicitou-se RM, a qual evidenciou hipertrófia septal no segmento médio, com septo de 18 mm, sem gradiente em via de saída do Ventrófia od o diagnóstico de CMH com padrão não obstrutivo, com presença de áreas de fibrose que denotam maiores taxas de eventos arrítmicos. Tendo em vista, a patologia, o paciente fora afastado das atividades competitivas. Conclusão: O presente caso mostra a importância da realização dos métodos de imagem na avaliação complementar de atletas visando identificar potenciais deflagradores de morte súbita. A estratificação do grad de fibrose ventricular pela RM cardíaca através da técnica do realce tardio vem se mostrando importamte para rasterar r

Referencies Bibliogóficas: BARBOSA. Clarisas Almeida Samento es al Realex estrito e perfusão micodridas em cardiomispasão hiportofici. Companção entre grupos?, Marsas Cardiol. 2009; vol.93, n.d., pp.426-433. Rafest IR. Cruz Filho Ef dos S., de Carvalho ACC, est al Myosia-binding. 2017; 10641-734. Sept. Security of Cardiol. 2009; vol.93, n.d., pp.426-433. Rafest IR. Cruz Filho Ef dos S., de Carvalho ACC, est al Myosia-binding. 2017; 10641-734. Sept. 2018. Sep







EP043

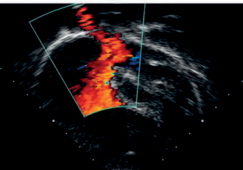
DIAGNÓSTICO TARDIO DE COMUNICAÇÃO INTERATRIAL EM JOVEM DURANTE TRABALHO DE PARTO

JÚNIOR, S.I.; TEIXEIRA, G.D.; AMARAL, A.R.; SANTOS, L.D.; LOPES, L.C.; CARVALHO, S.H.R. UNIVERSIDADE DE UBERABA - MARIO PALMÉRIO HOSPITAL UNIVERSITÁRIO

A Comunicação Interatrial (CIA) é uma cardiopatia congênita acianótica proveniente da falha no fechamento do septo interatrial. Tem prevalência de 5 a 10% entre as cardiopatias congênitas e predominância no sexo feminino (2:1). Configura-se como um shunt esquerdo-direito, gerando um hiperfluxo sanguíneo pulmonar. É frequentemente assintomática, mas pode evoluir com arritmias atriais, hipertensão arterial pulmonar (HAP) e insuficiência cardiaca (IC). Essas manifestações podem ser desencadeadas por sobrecarga hemodinâmica, como corce na gestagão. Objetivo: Relataro caso de uma gestante avaliada com sopro cardíaco durante trabalho de parto, sendo diagnosticada tardiamente com CIA. Descrição do Caso: P.C.O.A., sexo feminino, 17 anos, gestante de 38 semanas e 1 día, paridade 61P0AO, internada em trabalho de parto pela equipe de obstetricía de hospital universitário de Uberaba-MG. Ao exame físico cardíaco, foi auscultado sopro sistólico (3+/6+) em foco aórtico acessório. Paciente não teve acompanhamento cardiológico no pré-natal. Durante evolução do parto, foi solicitado avaliação a equipe de cardiologia. A cardiopatia de base era desconhecida e não havia alterações eletrocardiográficas. Então, foi realizado ecocardiograma de urgência, que evidenciou CIA tipo ostium secundum de 1,2cm, com shunt esquerdo-direito, dilatação de câmaras direitas, insuficiência tricúspide discreta e HAP (43mmHg). Por isso, foi indicado via de parto alta pelo risco de descompensação cardíaca oriundo do esforço físico do parto normal. Paciente evoluiu bem e recebeu alta com encaminhamento ao ambulatório de cardiologia para avaliar necessidade de correção cirúrgica. Discussão: A CIA é um defeito congênito geralmente assintomático e gestantes com essa cardiopatia habitualmente têm boa tolerância

às alterações hemodinâmicas da gestação, com baixo risco de complicações. Porém, a sobrecarga volumétrica nessas pacientes pode agravar uma HAP pré-existente e ocorrer complicações durante parto e puerpério, como IC, arritmias atriais, embolia paradoxal, inversão do fluxo na comunicação devido hipotensão sistêmica nos casos de hemorragia grave ou complicações anestésicas. Conclusão: Nota-se a importância de que quaisquer alterações cardiológicas observadas durante pré-natal devem ser diagnosticadas e estratificadas, visando avaliar o prognóstico e condutas na gestação, uma vez que mesmo cardiopatias com baixo risco, como a CIA, podem gerar complicações nesse período. Referências Bibliogáficas: 1. Bemstein, D. Aoganotic Congenital Heart Disease: Left-o-Right Shurt Lesions. In: Klepman, R.M. et al. Neoni nectodo de Pedianics. 20. et. Philadelphia: Ebever. 2015. Cap. 426, p. 2189-2198. 2. Sheria, A.C. et al. Revisão. Comunicação intentail, Revisa da faculdade de Ciencias Medicas de Soracias, 1, 10. a.2, p. 71, 2008. 3. Dusti, N.S. Cardiopaísas Congleñas e Gardioz, Pedia A., 10. a.2, p. 71, 2008. 3. Dusti, N.S. Cardiopaísas Congleñas e Gardioz, 8, et. 8, p. 1. 32, p. 3, p.





EP 044

DOENÇA DE KAWASAKI EM FASE TARDIA: TRATAMENTO CLÍNICO OU CIRÚRGICO?

ANTONIO ALCEU DOS SANTOS, JOSÉ PEDRO DA SILVA, JOSÉ FRANCISCO BAUMGRATZ, JOSÉ HENRIQUE ANDRADE VILA, ERNESTO LIPPI NETO, MARCOS CHEREM E JOÃO MARCOS DE OLIVEIRA JÚNIOR

HOSPITAL BENEFICÊNCIA PORTUGUESA DE SÃO PAULO, SÃO PAULO, SP, BRASIL.

A doença de Kawasaki (DK) é uma vasculite sistêmica, de etiologia desconhecida. As principais complicações resultam do aparecimento de aneurismas coronários que podem evoluir para doença coronária isquêmica. Na fase aguda o tratamento visa reduzir a resposta inflamatória na parede da artéria coronária e prevenir a vasculite com suas conseqüências (trombose e aneurisma). Na fase tardia, a terapêutica objetiva prevenir isquemia miocárdica e infarto. Alguns estudos propõem o uso de antiagregantes plaquetários e/ou antitrombóticos e outros a cirurgia de revascularização moicárdica. Definir o tratamento ideal nesta fase é um desafio para o médico. Objetivo: Demonstrar o papel importante da cirurgia de revascularização do miocárdio para o tratamento preventivo de isquemia e infarto na fase tardia da DK. Método: Apresentamos o caso clínico de um adolescente com diagnótico tardio de DK aos 11 anos. Efetuou terapêutica com ácido acetilsalicílico. Evoluiu com quadro de angina e dispnéia de esforço. Ao realizar ecodopplercardiograma verifícou-se presença de dilatações importantes em artérias coronárias esquerda e dierieta, porém com função biventricular preservada. A cineangiocoronariografia demonstrou importantes formações aneurismáticas, com estenoses significativas em artérias descendente anterior (DA), circunflexa e coronária direita. Na DK, a cirurgia de revascularização está indicada quando há obstrução grave de tronco de coronária esquerda, do segemento proximal da DA e/ou obstrução de mais do que uma artéria coronária principal. O caso foi discutido em equipe e optado pelo tratamento cirúrgico com revascularização completa do miocárdio. Resultados: No dia 09/03/11 o paciente foi submetido à cirurgia de revascularização miocárdica que consistiu em anastomose de artéria torácica interna esquerda para artéria DA seqüencial ramo diagonal, anastomose de veia safena aorta coronária direita seqüencial primeiro e segundo ramo marginal digreito e anastomose de veia safena aorta coronária direita seqüencial armo marginal di

EP 045

FECHAMENTO PERCUTÂNEO DE CIA OS GRANDE USANDO COMO ACESSO A VEIA JUGULAR INTERNA ESQUERDA EM CRIANÇA COM SITUS INVERSUS E AUSÊNCIA DA VEIA CAVA INFERIOR

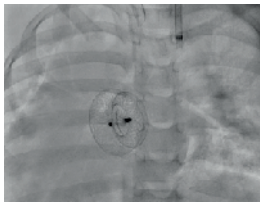
OLIVEIRA, EC; MOURA, MAG; MONTEZE NM; SILVA LM; BARBOSA, JAA

HOSPITAL FELÍCIO ROCHO, BELO HORIZONTE MG, BRASIL.

A Veia femoral é a via de acesso padrão para o fechamento percutâneo da CIA. Em casos em que esse acesso não pode ser usado, outras vias devem serem consideradas. Relato de Caso: Paciente de 3 anos, 12kg, situs inversus com dextrocardia, comunicação interatrial tipo ostium secundum (CIA OS) com aumento progressivo do diâmetro de 5 mm para 13 mm, com repercussão hemodinâmica que foi referida para o tratamento percutâneo. Após punção da veia femoral direita e manipulação do cateter, foi diagnosticado agenesia do segmento infra hepático da VCI com dernagem dos segmentos inferiores em veia cava superior esquerda pela veia ázigos. Diante disso, a veia jugular interna esquerda foi puncionada e realizada a inversão da imagem no monitor da máquina de hemodinâmica com finalidade de facilitar a manipulação do cateter, Prosseguimos com realização do procedimento seguindo as etapas convencionais, sendo guiado com fluoroscopia e com ecocardiograma transesofágico com sonda infantil. Foi implantada uma prótese Amplatzer 19 mm, sem intercorrências. Discussão: O fechamento percutâneo da CIA com a utilização do acesso pela VCI é o procedimento padrão, seguro e de fácil execução. Entretanto, o uso de vias alternativas como a utilização de veias do pescoço, pacientes com situs inversus ou com estruturas cardíacas em posições alteradas e a presença de grande comunicação em crianças pequenas tornam o procedimento mais difícil e com maior risco de complicações. Como alternativa, na ausência da veia cava inferior, seria uma possível alternativa a punção da veia hepática, dificultada neste caso pela posição anômala do figado e pela inversão cardíaca. No caso apresentado, foi escolhido a veia jugular a esquerda pela ausência da VCS direita, com realização das manobras do lado esquerdo do paciente. O procedimento foi realizado com sucesso e com a liberação da criança para o domicilio no dia seguinte. Foi considerado também na decisão de qual via alternativa a ser utilizada, a possível necessidade de retira a prótese no caso de embolizaçã



Angiografia mostrando ausência de cava inferior e drenagem pela Veia Ázigos e Veia cava esquerda persistente



Aspecto fluoroscópico de PróteseAmplatzer liberada, com bainha longa posicionada em Veia Jugular Interna à esquerda.



RESUMO DE TEMAS LIVRES | 28º CONGRESSO DA SOCIEDADE MINEIRA DE CARDIOLOGIA

FP 046

PREVALÊNCIA DA OBESIDADE ENTRE OS USUÁRIOS DO CENTRO ESTADUAL DE ATENÇÃO ΕΣΡΕCΙΔΙ ΙΖΔΩΔ

CRISTIANE ASSIS MOTTA; ANE EMANUELE DUTRA DE ALMEIDA; DAIANE SANTOS FIGUEIREDO; JULIA ASSIS MOTTA; LUAN RODRIGUES DOS SANTOS; MARCO POLO ASSIS DA MOTTA; MARIANA LEMOS PEREIRA ALVES: TERESA RAOUEL PEREIRA CUNHA

CENTRO ESTADUAL DE ATENÇÃO ESPECIALIZADA

A obesidade é uma doença crônica caracterizada pelo excesso de gordura corporal, sendo dos principais fatores de risco para ateros derose. Nos últimos dez anos, tornou-se um dos maiores problemas de saúde pública do mundo, sendo que a prevalência no Brasil aumentou em 60%, passando de 11,8% em 2006 para 18,9% em 2016 da população qeral. Objetivo: Avaliar a prevalência de obesidade entre usuários do CEAE, esclarecer aos usuários sobre a obesidade como doença crônica e fator de risco para outras doenças, abordar propostas de tratamento clínico e cirúrgico, encaminhar os obesos para orientação e acompanhamento da Nutrição. Método: Estudo transversal realizado no ambulatório de Cardiologia, no período de junho/2016 a junho/2017, em que os usuários eram pesados, medidos e classificadosbaseando-se quanto o excesso de peso através do cálculo do índice de Massa Corporal (IMC ou Índice de Quetelet), utilizando-se a fórmula: IMC = Peso atual (kg) / altura2 (m2), assim sendo obeso I IMC = 30

34.9, obeso II IMC = 35 – 39,9 e obeso II IMC > que do, Resultados, (gráficos) Condusão. Neste

Prevalência de padentes obesos da
amostra
amostra
concordante com o observado em outros trabalhos. O sexo feminino apresentou maior prevalência em todos os grupos, também em conformidade com a literatura. Apesar do aumento da incidência e dos agravos relacionados, a obesidade ainda não é abordada de forma efetiva nos diversos níveis do SUS, havendo grande dificuldade na aquisição de medicamentos e/ou encaminhamentos dos aquisiça de ineuciamientos ciur en caminentos una pacientes para tratamentos cirúrgico (não temos referência estadual até o momento), cenário muito preocupante. Referencias Bibliogianis Malacias Miscoau MSAI, Pismá F., Rodrigues CS. Bondio AA, Neves MT. et al., 7º Direitz Brasileira de Hipertensão Arterial, Arq Bass Cardiol 2016; 107(55ps),13:13 Prevalência da obesidade entre os homen Grau Prevalência da obesidade entre sexos Gran I Prevalência de obesidade entre as mulheres ■ Grau I Grau I Grau I (9, 9%) Grau I (5,3%) Grau III (1,7%)

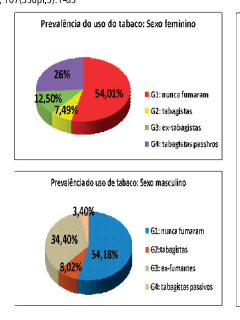
FP047

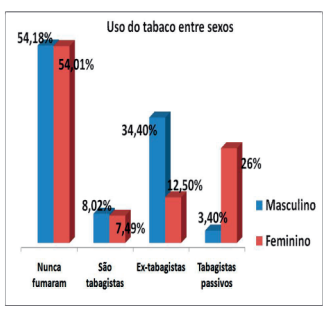
PREVALÊNCIA DO TARAGISMO ENTRE OS LISUÁRIOS DO CENTRO ESTADUAL DE ATENÇÃO

CRISTIANE ASSIS MOTTA; ANE EMANUELE DUTRA DE ALMEIDA; DAIANE SANTOS FIGUEIREDO; JULIA ASSIS MOTTA: ILIAN RODRIGUES DOS SANTOS: MARCO POLO ASSIS DA MOTTA: MARIANA JEMOS PEREIRA ALVES; TERESA RAQUEL PEREIRA CUNHA

CENTRO ESTADUAL DE ATENÇÃO ESPECIALIZADA

O tabagismo é uma das principais causas de morte evitável no mundo. A OMS estima que um terco da população mundial adulta seja fumante, sendo 47% da população masculina mundial e 12% da feminina. O consumo do tabaco é um fator de risco importante para aterosclerose. Obietico: Avaliar a prevalência do tabagismo entre usuários de um Centro de Atenção Secundária, conscientizar sobre os malefícios causados pelo vício, encaminhar os fumantes para o grupo operativo de cessação do tabagismo municipal. Método: Trata-se de um estudo de delineamento transversal, realizado no ambulatório de Cardiologia, no período de junho/2016 a junho/2017. Os usuários eram entrevistados sobre o uso e frequência do tabagismo e distribuídos em categorias: 1 - os que nunca fumaram, 2 - os que fumam atualmente, 3 - os ex-fumantes (02 anos ou mais) e 4 - os tabagistas passivos (os que convivem com fumante em ambientes fechados). Resultados: Foram avaliados 1147 pacientes, todos adultos, com idade média de 56 anos, predominando o sexo feminino (59,5%). Entre os homens, 54,18% nunca fumaram, 8,02% são tabagistas, 34,4% são ex-fumantes e 3,4% são tabagistas passivos. Entre as mulheres, 54,01% nunca fumaram, 7,49% são tabagistas, 12,5% são ex-tabagistas e 26% são tabagistas passivas. Cem por cento dos fumantes foram encaminhados ao grupo operativo. Conclusão: Neste estudo, o sexo masculino teve maior prevalência nos grupos relacionados ao tabagismo, exceto no grupo de passivos, congruente com a literatura vigente. A indusão de informações sobre o tabagismo é uma necessidade nas atividades assistenciais aos pacientes nos diversos níveis do SUS, levando em consideração as características educacionais e culturais da população assistida. Referências Bibliográficas: Malachais MMS, Suza WSR, Plavnik F. Rodigues CS, Bando AA, Neves MFT e al. 7 Direitri Bisolida de Pilperensão Arteila. Ang Bas Cardillo. Malachias MVB, Souza WKSB, Plavnik FL, Roc 2016; 107(3Supl,3):1-83





EP 048

ANEL VASCULAR COM ARCO AÓRTICO À DIREITA: RELATO DE CASO

MARIA DA GLÓRIA CRUVINEL HORTA , MARLY DE OLIVEIRA, JULIANA COSTA, THALES DE MELO MASCI

SANTA CASA DE BELO HORIZONTE

Anéis vasculares são anomalias congênitas do arco aórtico, associadas à deleção cromossômica 22q1.1(1)¹ que podem causar manifestações dinicas respiratórias e/ou gastrointestinais devido à compressão da traqueia e/ou do esófago. Ocorrem devido ao desenvolvimento anormal do complexo de arcos aórticos embrionários² e representam cerca de 1% Correm devido ao desenvolvimento anormal do complexo de arcos aórticos embrionáros' e representam cerca de 1% das malformações cardiacas'. Podem ser completos, circundando complexamente o esóflago e traqueia, ou incompletos, circundando complexamente o esóflago e traqueia, ou incompletos, circundando complexamente o esóflago e traqueia, ou incompletos, circundando complexamente com ducto arterioso à esquerda. Ela se origina na aorta descendente proximal, após a emergência du circundando-cos parcialmente. Há várias anomaleas do arco aórtico, sendo que a mais frequente é a arteria subdávia direita aberrante com ducto arterioso à esquerda. Ela se origina na aorta descendente proximal, após a emergência da arteria subdávia esquerda e cursa posteriormente ao esóflago, causando compressão e configurando assim um anel vascular incompleto. O duplo arco aórtico é a causa mais frequente de anel vascular completo e corre quando a aorta acendente se divide em dois arcos aórticos que envolvem completamente e comprimem a traqueia e/ou o estômago*. Objetivo: Relatar o caso de um recém-nascido portador de arco aórtico à dirieita com ducto arterioso à esquerda comunicando-se com aorta descendente proximal formando uma anel vascular completo, associado a cardiopatia complexa e atrésia de coanas, Método. Estudo descritivo sob a forma de relato de caso de paciente pediátrico, atendido na Santa Casa de Belo Horizonte, portador de anel valvar submetido a exames de imagem para idagnóstico da exos feminino, nascida de parto cesáreo eletivo, sem exames de pré-natal, idade gestacional de 40 semanas, peso de ascimento de 2860g, APGAR 57 (1° e 5). Evoluiu com cianose após o nascimento tativo da osbrução nasal faño houve progressão da sonda nasogástrica). Ecocardiograma revelou comunicação interatrial tipo ostium rescundum, medino 5.0 mm, inoplasa importante do ventriculo interevor comunicação intereventricular única abrindo-se preferencialmente para o ventrículo esquerdo e obstruindo a via de entrada do ventriculo direito, comunicação int interrogados a interrutição do arcio aortico, i no liendo solucidas aniglotionogiama de torax que evidenciou um arcia obartico. As diretas comunicando-se com o tronco da arteria pulmonar através de ducto arterioso de cercia de 4,6 mm de diâmetro e 14 mm de comprimento. Este vaso apresenta trajeto ascendente e lateral para a direita e comunica-se com a porção distal do acro adortico/aorta descendente. Esta estrutura em conjunto com o arco adritico envolve a traqueia e o esfágar médio posteriormente, condicionando compressão esofágica extrinseca nesta topografia e dilatação do órgão a montante, confligurando anel vasculas. Conclusão: Anési svaculares são anomalias congênitas do acro aórtico que ocorrem devido ao desenvolvimento anormal do complexo de arcos aórticos embrionários e estão frequentemente. associados a síndromes genéticas. Podem se apresentar de forma isolada ou associado a outras malformações, principalmente cardiacas. A presença de anel vascular pode causar compressão da traquéia e/ou do esófago, ocasionando manifestações clinicas, respiratórias e/ou gastrointestinais. Associadas com cardiopatais, saus manifesta-ções são confundidas com as da malformação, dificultando o diagnóstico. O ecocardiograma é essencial na avaliação do anel valvar, e a angiotomografia ou a angiorressonância permitem definir detalhes anatômicos da patologia. Referência Bibliográficas: 1- GOLDMUNTZ, E. et al. Frequency of 22q11 Delet Cardiology, v. 32, n. 2, p. 492–498, 1998. 2- BAKKER, D. A. H. et al.

Ecocardiograma do pacien







EP049

ANÁLISE CLÍNICA E EVOLUÇÃO INTRA-HOSPITALAR DOS PACIENTES SUBMETIDOS A ANGIOPLASTIA DE LESÃO DE TRONCO DE CORONÁRIA ESQUERDA NÃO PROTEGIDO

KÊNNYA GONÇALVES CAPANEMA 1, VINÍCIUS RIBEIRO SILVA1, DIOGO VILELA NOGUEIRA1, MARIA DO CARMO RABELO ALVIM RODRIGUES¹, CÁSSIO MENEZES NOGUEIRA¹, NATÁLIA DOS SANTOS OLIVEIRA¹, WALTER RABELO¹, MARCOS ANTÔNIO MARINO¹, ROBERTO LUIZ MARINO¹, BÁRBARA CAMPOS ABREU MARINO 1 2

(1) HOSPITAL MADRE TERESA -BELO HORIZONTE - (2) FACULDADE DE MEDICINA-PUC-BETIM - MG

A intervenção coronária percutânea (ICP) com stents farmacológicos (SFs) tem se mostrado uma opção viável em pacientes selecionados com lesão de tronco de coronária esquerda não-protegido (TCE-NF com embasamento por registros uni e multicêntricos, subanálises pré-especificadas de estudos randomizados e metanálises. Objetivo: Relatar e descrever as características clínicas basais, angiográficas e a evolução intra-hospitalar em uma série de 37 casos consecutivos submetidos à ICP em (TCE-NP) em nosso serviço no período de outubro de 2010 a abril de 2018. Método: Análise descritiva e revisão dos prontuários médicos dos pacientes submetidos à ICP em TCE-NP no período de 2010 a 2018. Os pacientes foram rigorosamente selecionados usando os escores: SYNTAX e EUROSCORE. Resultados: A média de idade foi de74(±12)anos, com mínimo de 47 e máximo de 96, ocorreu predomínio do sexo masculino 54,1%. Dos pacientes tratados, 91,8% eram hipertensos, 35,1% diabéticos, 64,8% dislipidêmicos, 16,2% tabaqistas e 21,6% tinham histórico de doença aterosderótica do coração (DAC). Em relação à apresentação 56,7% se apresentaram como síndrome coronariana aguda (SCA), com 32,4% infarto (IAM) sem supra, 16,1% angina instável e 8,1% IAM com supra. Os demais pacientes se apresentaram como 35,1% angina estável e 8,1% isquemia silenciosa. Em 94,5% dos pacientes foram utilizados SFS. Os dois pacientes que receberam SNF se apresentaram como SCA e eram SUS. Em 10,8% dos casos ocorreu dissecção da borda do stent. A mortalidadeintra-hospitalar em um caso, este paciente tinha história de DAC prévia, HAS, DM e se apresentou como IAM sem elevação. Discussão: Em pacientes com lesões de TCE, a escolha da modalidade de revascularização miocárdica (percutânea ou cirúrgica) leva em consideração a apresentação clínica, extensão e gravidade da doença coronária, presença de disfunção ventricular esquerda de comorbidades. É de fundamental importância a rigorosa seleção de casos com a utilização de escores de risco anatômico (SYNTAX, SYNTAXII) e de risco cirúrgico (STS e Euro SCOREII). Conclusão: Na presente análise envolvendo pacientes da prática diária com doenca rótica em TCE-NP, a ICP mostrou ser segura e eficaz, com baixas taxas de complicações intra

aterosclerótica em TCE-NP, a ICP mostrou ser segura e eficaz, com baixas taxas de complicações intrahospitalares bem como óbitos cardíacos. Referências Bibliográficas: 1, European Association for Perculaneous Cardiovasuár
interventions; Wijns W, Koh P Danchin N, DiMando C, Falk V, Foligue T, et al. Guidelines on
myocardial revascularization: The Task Force on Myocardial Revascularization of the Europea
Society of Cardiology (RSC) and the Europea na Sociation for Cardio-Tamouts Guagery REACS). Eur
Williams DO, et al., 2007 focused update of the ACC/. ARA SCAI 2005 guide lime quatte for
percutaneous coronary intervention Task Forceon Practice Guidelines. J Am Coll Cardiolo
2008; 51(2):1722-209. 3 Morice MC, Grungs PW, Kapped Genovo left main disease treated with either percutaneous
coronary intervention using pacifiaxel-eluting stert or coronary
are provinced for the cardiology intervention using pacifiaxel-eluting stert or coronary
are provinced for the cardiology intervention using pacifiaxel-eluting stert or coronary
are provinced for the Cardiology and positive steries of the Cardiology intervention using pacifiaxel-eluting stert or coronary
are provinced for the Cardiology and positive steries of the Cardiology intervention using pacifiaxel-eluting stert or coronary
are provinced for the Cardiology and positive steries of the Cardiology and the Cardiolog



coronary intervention using paclitaxel-eluting stent or coronary artery physas grait treatment in the Synery Between Fercutaneous Coronary Intervention with TAXUS and Cardiac Surgery (SYNTAX) Rob H. Kimital. Circulation, 2010; 12/12/4; 2645-53. 4.A.h. M. Rob H. Kimital. Circulation, 2010; 12/12/4; 2645-53. 4.A.h. M. Rob H. Kimital. Circulation, Rob H. Kimital. Circulation, Rob H. Kimital. Circulation, and Coronary Coronary





EP 050

ANÁLISE ESTATÍSTICA ENTRE ESCORES DE RISCO GLOBAL COLETADOS EM 2016 E 2018 EM UMA EMPRESA DO MUNICÍPIO DE ITAÚNA - MG

ISIDORO, GSP; FERREIRA, GLM; SILVA, DF; VIEIRA, JDM; PEREIRA, MTM; MESQUITA, GA; ARRUDA, CM: RODRIGUES. CM: CUNHA. IM: RABELO.BMA.

ACADÊMICOS DA UNIVERSIDADE DE ITAÚNA

Doenças cardiovasculares (DCVs) são as principais causas de mortalidade no Brasil, gerando alto custo socio econômico. O rastreio dos fatores agravantes pode ser realizado através de algoritmos que os correlacionam com a probabilidade do indivíduo desenvolver DCVs. O Escore de Risco Global (ERG) é estimado para um período de 10anos, a partir das variáveis: sexo, idade, pressão arterialsistólica, colesterol total, fração HDL, fumo e diabetes. Dessa forma o objetivo da pesquisa foi avaliar a diferença entre os valores de ERG de 2016 e 2018, analisando a efetividade das modificações dos fatores de risco propostas em 2016. Objetivo: Analisar a efetividade de medidas preventivas e orientações educativas aplicadas no momento da realização de ERG, numa empresa de Itaúna-MG. Método: A coleta de dados ocorreu numa empresa em Itaúna-Mg. Em 2016, foi realizado ERG de 71 colaboradores, sendo esclarecidos quanto ao resultado e quais fatores de risco poderiam ser modificados. Em 2018, foi realizado e ERG com os mesmos funcionários submetidos ao estudo anterior. Resultados: Em 2018, foi colaboradores foram dassificados em baixo risco, 24 intermediário e 1 alto. Em 2018 foram 35, 31 e 5, respectivamente. A associação foi significativa entre ERG, diabetes e tabagismo, em que tabagistas e adiabéticos sácio relacionados a ERG alto em comparação com não tabagistas e não diabéticos. Já em 2018, não houve associação entre ERG e tabagismo, apenas entre ERG e diabetes (Tabela 6). Foi encontrada diferença significativa entre cos períodos para o ERG (p <0.0001), sendo que em 2018 todos as medianas foram superiores às de 2016 (Tabela 7). Comparando-se os ERG de 2016 e 2018, evidencias as medianas foram superiores às de 2016 (Tabela 7). Comparando-se os ERG 6 2016 e 2018, evidencias as medianas foram superiores às de 2016 (Tabela 7). Comparando-se os ERG 6 2018 e 2018, evidencias as medianas foram superiores às de 2016 (Tabela 7). Comparando-se os ERG 6 2016 e 2018, evidencias as medianas foram superiores às de 2016 (Tabela 7). Comparando

	Escore global (n = 71) - 2016		P-valor' V de		Crames	
	Baixo	Intermediário	Alto	Privator	v oe	Crame
Sexo				0.5557	0.7	1255
M	44 (63.77)	24 (34.78)	1 (1.45)			
E	2 (100.00)	0 (0.00)	0 (0.00)			
Tabagismo				0.0426	0.3	3191
Sim	5 (41.67)	6 (50.00)	1 (8.33)*			
Não.	41 (69.49)	18 (30.51)	0 (0.00)*			
Diabetes				0.0457	0.4	1404
Sim	2 (40.00)	2 (40.00)	1 (20.00)*			
Não.	44 (66.67)	22 (33.33)	0 (0.00)*			
	Escor	global (n = 71) - 2	018	Payator*		Crami
	Baixo	Intermediário	Alto	P-Valor	v de	Crame
		Escore global in =	71) - 2018			
Sexo		and party of	.,	0.5634	0.	1727
M	33 (47.83)	31 (44.93)	5 (7.25)			
E	2 (100 00)	0 (0.00)	0 (0.00)			
Tabagismo				0.3426	0	1668
Sim	5 (28.46)	6 (46.15)	2 (15.30)			
Não	20 (51.72)	25 (43.10)	2 (5.17)			
Disheles				10.0001	4	000
			5			
Sim	0 (0.00)*	0 (0.00)*	(100.00)*			
Não	35 (53.03)*	31 (46.97)* exato de Fisher, p	0 (0.00)*			
nenor que sélula (p < nédia gera labela 7. Com	5), "Diferença : 0.05 utilizando e I. eração entre os period: eledos de Wiccom par	atendidas (máxim significativa entre s residuos padro s de 2015 e 2018 para as dados parados.	valor observ nizados ajus entives eroletes	ado e esp tados) co stilzados la	erado nsider	para ando
Vacional	2016		35			P-talo
	N Moine-Maine	Mediana (101)			(X) and	
Peso	71 466-111,8	77.2 (16.3)			(17.8)	0.8018
MC ²	71 154 - 33.4	26.1 (3.4)			(EQ	0.8001
Circ.AM	68 700-111.0	91.0 (105) 2			(10.0)	0.1080
PASNIP	65 960 - 1710	1260 (200) 6			(100)	0.7957
Colinbro	71 1009-3040 71 269-770	188.0-(60.0) 7 47.0 (53.0) 7			H(5.8)	49,000
HOL	71 750 100	40.0 (14.0) 2			(14.4)	0.000

se que as orientações propostas em 2016 não foram efetivas. Corroborando a literatura atual, tabagismo e diabetes influenciam significativamente na dassificação, por se relacionarem com diversos fatores que favorece mo surgimento de DCVs e, portanto, como aumentodo número de indivíduos classificados como intermediário e alto no ERG. Conclusão: Visto que todas as medianas encontradas em 2018 foram superiores em 2016, faz-se necessário uma abordagem mais intervencionista, a partir de estratégias práticas de conscientização, como eventos de promoção de hábitos saudáveis e de mudanças no estilo de vida, principais desafios da atualidade. Além disso, medidas de prevenção adequadas ao perfil de cada funcionário, buscando orientar mudanças viáveis à sua rotina e que favoreçam a prática continuada, podem ser mais eficazes e consigam reduzir, em curto prazo, a quantidade de indivíduos dassificados no ERG intermediário e alto. Referências Bibliográficas: 1.Arquivos Brasilerios de Cardologia: 1Divertiz Brasilerio de Prevenção acidosasculas codede Brasilera de Cardologia: 1Divertiz Brasilerio de Prevenção acidosasculas codede Brasilera de Cardologia: 1Divertiz Brasilerio de Prevenção acidosasculas codede Brasilera de Cardologia: 1Divertiz Brasilerio de Prevenção acidosasculas codede Brasilera de Cardologia: 1Divertiz Brasilerio de Prevenção acidosasculas codede Brasilera de Cardologia: 1Divertiz Brasilerio de Prevenção acidosasculas codede Brasilera de Cardologia: 1Divertiz Brasilerio de Prevenção acidosasculas sociedade Brasilera de Cardologia: 1Divertiz Brasilerio de Prevenção acido 2013 2. Nahambhati J et al. Theat of cardiovasculas risk assessment. Clini Cardiol. 2018 1-8. doi: 10.1002/cl.225-11.

FP 051

ENDOCARDITE FÚNGICA ASSOCIADA À IMUNOSSUPRESSÃO POR QUIMIOTERAPIA, COM GRAVE INSUFICIÊNCIA VALVAR - RELATO DE CASO

CARLA MAIOLINI DE FREITAS, KAMILA SILVA MARINS CHAMON, JÉSSICA MARIA COSTA SOUSA, FERNADA ARAÚJO. ESTÊVÃO LANNA FIGUEIREDO. ROBERTO DRUMOND FERREIRA DE MELO

HOSPITAL LIFECENTER - BELO HORIZONTE

A endocardite infecciosa (EI) é uma doença com um que causa altoíndice de mortalidade. A etiologia fúngica geralmente associa-se a manifestações mais graves e o tratamento de escolha é o cirúrgico. As neoplasias hematológicas são tratadas de forma agressiva, com quimioterápicos (QT) muito potentes, infundidos por acessos venosos centrais que são por si só fatores predisponentes a infecções fúngicas Relata-se o caso de paciente em tratamento para leucemia, que desenvolveu grave endocardite fúngica na valva mitral. Relato de Caso: Homem, 66 anos, portador de leucemia mielóide aguda, recidivante, no 4º ciclo de QT com 5-fluoracil, doxorrubicina, cisplatina e prednisona. Portador de catéter venoso central de longa permanência. Evoluiu com quadro de febre diária, calafrios, sudorese noturna, hiporexia, dispnéia progressiva, até ao repouso e tosse seca. Inicialmente foi tratado como neutro pênico febril, com meropenem e vancomicina. Ao exame clínico apresentou, no 7º dia de febre novo e intenso sopro holossistólico, regurgitativo, comfrêmito na região apical e irradiação à axíla esquerda, associado a B3. Ecocardiograma transtorácico revelou vegetação de 4,6mm naval vamitral, com grave regurgitação valva redisfunção sistólica moderada associada. Hemoculturas eram negativas; fundo de olho mostrou sinais de embolização para aretina; ultrassom abdominal mostrou infartos hepáticos. Assim, pensou-se emetiologia fúngica. Associou-se voriconazol e o paciente foi encaminhado ao bloco cirúrgico, para troca valvar mitral. Foi confirmada a destruição da valva, com enorme vegetação. Realizado troca valvar, com implante de prótese biológica. Em paralelo, iniciou-se tratamento medicamentoso para a insuficiência cardíaca (carvedilol, espironolacton ae enalapril). O paciente apresentou significativa melhora clínica, teve alta hospitalar, após completar os 28 dias de antifúngicos. Infelizmente, a doença de base evoluiu e o paciente veio a óbito, sete meses após a troca valvar. Discussão e Conclusões: Pacientes oncológicos, em QT sistêmica estão muito susceptíveis a infecções oportunísticas graves, como as fúngicas. Deve-se estar atento para o diagnóstico precoce da endocardite infecciosa nestes pacientes. O tratamento adequado (clínico e cirúrgico, quando indicado) terroccionte metectosa frestes parcelleres. O tradamiento acequado (tinito e terrogito, quanto minicado também devem ser instituídos o mais precoce possível, Referencia sibilitográficas: 1.2015 ESC dude lins for the management of infective endocarditis. The fask force for the Management of Infective Endocarditis of the European Society of Cardidology (ESC Infective Control Contro

EP052

IMPACTO DO USO DE MENSAGENS DE TEXTO POR TELEFONE NA PREVENÇÃO SECUNDÁRIA DA SÍNDROME CORONARIANA AGUDA - UM SUBESTUDO DO PROJETO BOAS PRÁTICAS EM CARDIOLOGÍA

Luiz Guilherme Passaglia, Mariana Martins Pires, Mariana Figueiredo Simões, Lucas Neves Vaz, Lorhayne Kerley Capuchinho Scalioni, Luisa Campos Caldeira Brant, Antônio Luiz Pinho Ribeiro

HOSPITAL DAS CLÍNICAS DA UNIVERSIDADE FEDERAL DE MINAS GERAIS

Introdução e Objetivos: A doença cardiovascular é a principal causa de morte e anos de vida perdidos no mundo. O objetivo principal deste estudo é avaliar o impacto do uso de mensagens de texto (SMS) como ferramenta para aumento do controle dos fatores de risco cardiovascular em pacientes que estão em prevenção secundária após a alta hospitalar por Síndrome Coronariana Aguda (SCA). Métodos: Estudo prospectivo, grupo-paralelo, randomizado, de cegamento simples e centro único, iniciado em dezembro de 2017 e com data prevista para término em maio de 2019. A população que está sendo alocada é depacientes de um Hospital Universitário internados com diagnóstico de SCA e que recebem alta para acompanhamento ambulatorial, com idade≥18anos e que possam receber SMS através de celular próprio. Os pacientes do grupo intervenção receberão os cuidados usuais associado à SMS, enquanto o grupo controle terá apenas o cuidado usual. O SMS oferecerá aconselhamento, motivação e informação sobre adesão medicamentosa, exercício físico regular, adoção de medidas dietéticas saudáveis e cessação do tabagismo, de acordo com os hábitos e comorbidades do paciente. Os SMS são enviados 4 vezes por semana durante os 6 meses seguintes à alta hospitalar. Resultados: Os resultados serão descritos diante dos desfechos primários e secundários analisados com 6 meses após a alta hospitalar. O desfecho primário consiste no Escore do controle combinado de fatores de risco (5 variáveis): LDL-C<70mg/dL, pressão arterial<140/90mmHg, exercício regular (150min/semana), status de não-fumante e Índice de Massa Corporal (IMC<25). Os desfechos secundários avaliados serão: LDL-C, nível de atividade física, pressão arterial, adesão medicamentosa, proporção de não fumantes, IMC, reinternação, morte cardiovascular e por qualquer causa. Estima-se uma amostra necessária de 160 pacientes, com possível perda de seguimento de 10%, erro alfa de 5% e poder de 80% para detectar uma diferença de pelo menos 20% entre grupo intervenção e grupo controle na obtenção de quatro ou mais dos cinco fatores de risco modificáveis no Escore do Desfecho Primário. Condusão: O presente estudo apresenta inovação tecnológica e incentivo ao auto cuidado através de mudanças de hábito de vida para pacientes coronariopatas pós SCA, podendo esta estratégia de intervenção ser disponibilizada para outros projetos CARLINIA DE DAS DAS DAS DAS DESTRUCTIONS DE STATE ESTATE DE LA CONTROL DE STATE DE LA CONTROL DE LA



	erabenta disa kencumbera aurit kindus	Oprason Consta	· American A	Na Phospitalian
Dados do Paciente				
Partners Lane Duarte		*Apendo		
Prentutirie	Thats do reaction		*Seas	
11301300	10/04/1000		Manufire	
E-mart		Nome to Mile		
		Sitia Persona Lo	-	
Seletone residencial	Telefone celular		"Relations cellular	(para mensagen)
	CH1000FT-4000		G100011-4020	
cer	Legratoure		Morrero	Compressesso
	Sue Petro Persine Alven		04	
Bairra	Contracts.		Gatada	
Danami	(Mato Plusponte		Minus General	
Data de mocro		Cots de Terrer		

EP053

PRESENÇA E SEVERIDADE DE INSONIA EM CARDIOPATAS ASSISTIDOS EM UNIDADES BÁSICAS DE SAÚDE DE DIVINÓPOLIS/MG ESTUDO OBSERVACIONAL

CÍNTIA APARECIDA SANTOS / EUSA FACCION CRUZ FIDELES, WALQUÍRIA DA MATA SANTOS, LUÍSA TEIXEIRA PASQUALOTTO, JACQUELINE ALVES, SARAH CRISTINA VIEIRA, LAYRA FERNANDA MARTINS, MARCO TÚLIO TAVARES SEIXAS, MARCELLA OLIVEIRA RODRIGUES, NEWTON SANTOS DE FARIA JÚNIOR

A insônia é uma das mais frequentes queixas dos indivíduos relacionadas ao sono. Trata-se de uma dificuldade repetida em iniciar o sono, mantê-lo ou consolidá-lo, resultando em alguma forma de deficiência diurna. Há crescentes evidências que destacam a associação entre um sono não reparador e doenças cardiovasculares, levando ao comprometimento do funcionamento social, ocupacional, educacional, acadêmico e comportamental do indivíduo, refletindo assim nas atividades de vida diária Objetivo: O objetivo deste trabalho consistiu em verificar a presença e severidade de insônia em indivíduos cardiopatas assistidos nas Unidades Básicas de Saúde (UBS´s) em Divinópolis. Método: Estudo observacional transversal com amostra consecutiva e de conveniência de 32 indivíduos, recrutados a partir de UBS´s do município de Divinópolis-MG. O mesmo foi aprovado pelo Comitê de Ética em Pesquisa com Seres Humanos sob número de protocolo 1.475.521/2016. Todos os indivíduos foram avaliados dinicamente e responderam ao Índice de Severidade de Insônia. Resultado: A média de idade foi de 62,22 \pm 10,64 anos e de índice de massa corporal 28,35 \pm 6,22 kg/m². Do total, 86,67% dos indivíduos eram do sexo feminino. 78,13% destes apresentaram insônia, sendo que 20% apresentaram grau leve, 48% grau moderado e 32% grau severo de insônia. Discussão: Os distúrbios do sono têm grande prevalência na população geral, inclusive considerada atualmente como problema importante de saúde pública, afetando a qualidade de vida da população e influenciando na morbimortalidade. Com a análise dos achados do Indice de Severidade de Insônia, notou-se que a maior parte dos indivíduos possui insônia, principalmente de severidade moderada. Os resultados poderiam sugerir a hipótese da insônia e duração anormal do sono desempenharem papéis importantes na etiologia da cardiopatia. Condusão: Verificou-se a presença de insônia em boa parte dos indivíduos com cardiopatia, em sua maioria de severidade moderada, mostrando uma relação entre insônia e cardiopatia. Resultados de estudos epidemiológicos como este não são apenas aplicáveis na prática clínica, mas também no planejamento e implementação de políticas públicas. Referências Bibliográficas: 1FAVA, M. Daytime sleepiness and insomnia as correlates or depression. Journal of Clinical Psychiatry 2004; 65(16):27-32. 2.HARIVEY A. G. Insónia: symtom or diagnosis? Clin Physicol Rev. 200121(7): 1037-1059.



RESUMO DE TEMAS LIVRES | 28º CONGRESSO DA SOCIEDADE MINEIRA DE CARDIOLOGIA

FP 054

REABILITAÇÃO CARDIOVASCULAR MELHORA A QUALIDADE DE VIDA E FUNCIONALIDADE EM PACIENTE COM MIOCARDIOPATIA DILATADA E CARDIODESFIBRILADOR – UM RELATO DE CASO

RENATA CRUZEIRO RIBAS¹; SABRINA COSTA LIMA¹; SUSAN MARTINS LAGE¹; ESTÊVÃO LANNA

(1) REABILITAÇÃO CARDÍACA BH – FISIOTERAPIA CARDIOVASCULAR - BELO HORIZONTE, MINAS GERAIS (2) HOSPITAL LIFECENTER - BELO HORIZONTE, MINAS GERAIS

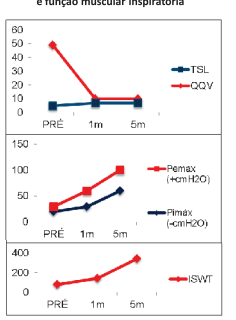
A Reabilitação Cardiovascular (RCV) proporciona efeitos benéficos em pacientes com diferentes tipos de miocardiopatias, e pode ser empregada com segurança em pacientes com implante de cardiodesfibrilador. Contudo, a prescrição de exercícios aeróbios e resistidos deve considerar as especificidades e a estabilidade dinica do paciente. Caso Clínico: Paciente do sexo masculino, 76 anos. História prévia de miocardiopatia dilatada idiopática, FEVE prévia de 30%, síncopes de repetição e TVS. 2016: Implante de cardiodesfribrilador. 2016 - 2017: Emagrecimento de 30Kg; 2017/1º: TEP com piora do quadro de IC.; 2017/2º: Adequado tratamento da IC (Candesartan 16mg bid, Bisoprolol 5mg bid, Espironolactona 25mg mid, Ivabradina 5mg bid, Rosuvastatina 20mg mid) e associado anticoagulação com Rivaroxabana (20mg mid). Encaminhado à RCV pelo cardiologista após melhora do quadro clínico. AVALIAÇÃO FISIOTERAPÊUTICA: Incremental Shuttle Walking Test (ISWT); Teste de sentar e levantar (TSL) em 30"; Questionário de Qualidade de Vida (QQV) de Minnesota; Avaliação das pressões respiratórias máximas (Plmáx e Pemáx). PROGRAMA DE RCV: Treinamento aeróbio; Exercícios de resistência muscular periférica; Exercícios funcionais e de equilíbrio; Treinamento muscular inspiratório POWERbreathe® Classic LR (30% Pimax); Frequência e duração: três vezes por semana, durante cinco meses. Condusão: A RCV associada ao tratamento clínico otimizado contribuiu para a melhora dínica, funcional e da qualidade de vida do paciente. Não ocorreram disparos no CDI durante todo este período. Isso reafirma que a RCV é segura nos pacientes com IC grave e CDI. Referêr Reabilitação Cardiovascular, Arg. Bras. Cardiol. Vol. 103 nº.2 Supl. 1, São Paulo 2014. as Bibliográficas: Diretriz Sul-Americ Capacidade funcional, qualidade de vida

e função muscular inspiratória

ECOTT antes e após um mês de RCV

	PRÉ	PóS
AE (mm)	53	48
FEVE (%)	18,6	31
PSAP(mmHg)	57	54

metro do átrio esquerdo; FEVE: fração de ejeção ventrículo esquerdo ressão sistólica da artéria nulmonar



FP056

CARDIOMIOPATIA DE TAKOTSURO ASSOCIADA A RI OQUEIO ATRIOVENTRICUI AR TOTAL

GARRIELA D.C. OLIVEIRA: HÉLIO L. BRITO IR.: RAFAELL. E SILVA: LÍVIA C. JARDIM: JOSÉ DONDICI FILHO

HOSPITAL UNIVERSITÁRIO DA UFJF: SANTA CASA DE MISERICÓRDIA DE JUIZ DE FORA - MO

A cardiomiopatia de Takotsubo (CMT) caracteriza-se por disfunção sistólica apical importante e transitória do ventrículo esquerdo (VE). Apresenta-se clinicamente de forma similar à síndrome coronariana aguda, porém com ausência de doença obstrutiva coronariana¹, 2. Afeta mais frequentemente mulheres na pós-menopausa e costuma ser precedido por períodos de estresse emociona³, 4. Seu proquóstico geralmente é favorável. Associação com bloqueio atrioventricular total (BAVT) tem sido relatada em raros casos, contudo, não foi encontrado na literatura associação de BAVT e CMT em paciente submetido à tratamento quimioterápico (pesquisa PubMed). Relato de Caso: Mulher de 69 anos, diagnóstico de câncer de língua, com queixa de cansaço para as atividades habituais (CF III NYHA) dois dias após ter realizado uma sessão de quimioterapia. Avaliada uma semana após o início dos sintomas e diagnosticada com BAVT. Exame físico: ritmo regular, bulhas normofonéticas e PA 110/60 mmHq. ECG: BAVT, QRS com padrão de bloqueio de ramos direito e FC 40 bpm. Realizado implante de marcapasso (MP) dupla câmara (DDD) sem intercorrências. No pós-operatório (PO) imediato (2 horas) a paciente (MP) dupla camara (DVD) sem intercorrencias. No pos-operatorio (PO) imediato (2 noras) a paciente apresentou dor torácica tripica com duração de 20 minutos. Exames: 1. Elevação troponina: 1,74 (30 min/dor) e 5,38(12horas/dor); 2-Avaliação do MP: ritmo de MP normofuncionante; 3-EcoDopplercardiograma transtorácico (ETT) 6horas/dor: FE=40%, hipocinesia importante dos segmentos médio e apical do VE, hipercinesia dos segmentos basais e abaulamento apical sugestivo de CMT; 4-Cateterismo cardiaco (9 horas/dor): artérias coronárias insentas de lesões obstrutivas (Ventriculografia não realizada - insuficiência renal); 5- ETT 6 dias PO: FE global preservada e discreta hipocinesia apical. Paciente recebeu alta hospitalar em uso de carvedilol, espironolactona e enalapril. Avaliação 30 dias PO: dispneia aos grandes esforços (CF II NYHA). Foi repetido ETT: FE 65%, movimento assincrônico do septo interventricular, sem outras alterações segmentares. Avaliação do MP, ritmo de base: BAVT com escape de 30 bpm. Conclusão: A associação entre CMT e BAVT é rara, e sua ocorrência após quimioterapia ainda não foi relatada na literatura. A relação causa e efeito é incerta, porém é possível que o estresse emocional e/ou quimioterapia prévia possam ter sido fatores desencadeantes. Referências Bibliográficas: 1- Complete atrioventricular block associated with takotsubo cardiomyopathy. Circ. Journal 2009 Mar;73(3):589-92. Eput neteroncas Biologiáficas: 1- Complete atrioventriculas Hock associated with bactshock acidinyonaphis, (ric. Journal 2008 Mar;138:599-21; 2008 Det 21; 2- Kodama S., Miyoshi K., Shiga Yi Kotsubo cardiomyopathy, Circ. Journal 2008 Mar;138:599-21; 2- 2008 Det 21; 2- Kodama S., Miyoshi K., Shiga Yi Kotsubo cardiomyopathy complicated by high-grade atrioventriculas block: a report of two cardiomyopathy as a complication of permanent pacentaker implamatation. Int 1 Cardiol. 2009;171:227—230; 4- Inoue M., Kanaya H., Matsuba Complete atrioventricular block associated with takotsubo cardiomyopathy. Circ. J. 2009;73:589–592.





EP 057

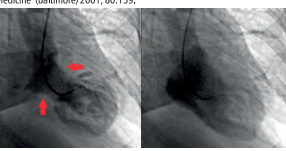
CARDIOMIOPATIA DE TAKOTSUBO ASSOCIADO À MIXOMA ATRIAL: UM RELATO DE CASO

LEONARDO ARRUDA MORAES RASO / CAMILA DAIBERT DIONÍSIO / STEFÂNIA BRUNA COSTA VALENTE , LAU A RIBEIRO SANTA BÁRBARA / PAUL A CARVALHO PINTO GUIMARÃES

COMPLEXO HOSPITALAR SÃO FRANCISCO DE ASSIS

A cardiomiopatia de Takotsubo é caracterizada por disfunção sistólica segmentar transitória, muitas vezes com fração de ejeção do ventrículo esquerdo reduzida, mimetizando o infarto agudo do miocárdio (masseme-vidência angiográfica de doença arterial coronariana obstrutiva ou ruptura aguda de placa). Frequentemente está relacionada a evento físico ou emocional estressante. Omixomaatrial, por sua vez, é um tumor cardíaco primário benigno, no qual 80% dos casos se localizam no átrio esquerdo (AÉ). Uma vez que o diagnóstico por estudo de imagem é feito, a ressecção cirúrgica é indicada em função do risco de embolização e de morte súbita. Existem poucas descrições na literatura de casos em que haja associação de cardiomiopatia de Takotsubo e mixoma atrial. O presente relato de caso tem como objetivo ilustrar tal associação. Descrição do Caso: Mulher de 63 anos, hígida, admitida em edema agudo de pulmão. Evoluiu com insuficiência respiratória e choque cardiogênico, necessitou de suporte ventilatório mecânico e aminas. ECG evidenciou ritmo sinusal com baixa voltagem e má progressão de onda R em parede anterior. RX de tórax com congestão pulmonar importante. Troponina qualitativa positiva. Coronárias sem obstruções significativas à cineangiocoronariografia e ventrículografia com balonamento apical sugestivo de Takotsubo (Figura1). Ecocardiograma transtorácio (ECOTT) mostrou fração de ejeção do ventrículo esquerdo (VE) de 43% e a cinesia sem afilamento de toda a metade apical de todas as paredes. Visto ainda massa sugestiva de mixoma dentro do AE, com 5.8 x 3.5cm, aderida ao septo interatrial e ao folheto anterior da valva mitral, obstruindo parcialmente a mesma e gerando estenose secundária moderada (Figura2). Paciente evoluiu bem, tolerou desmame de aminas e foi extubada. Repetido ECOTT duas semanas após "fração de ejeção do VE já encontrava-s erecuperada (74%) e sem mais déficits segmentares. Em reunião clínica, optado pela ressecção cirúrgica domixoma atrial e mum segundo momento, tendo em vista o quadro recente de Takotsubo. Procedimento foi realizado 4 meses após, sem intercorrências. Conclusão: A relação de causa e efeito entre o mixoma atrial e a cardiomiopatia de Takotsubo não é bem estabelecida. O melhor momento para a ressecção cirúrgica do mixoma em casos como este também é algo que gera dúvida, uma vez que a injúria miocárdica recente pelo Takotsubo aumentaria a morbidade cirúrgica. Por outro lado, pesa-se o risco de embolização sistêmica em

adiar o procedimento em alguns meses. No presente relato, o intervalo entre o diagnóstico de Takotsubo e a ressecção do mixoma foi de 4 meses. Mai: relatos e séries de casos necessitam ser descritos para melhores conclusões Referencia Bibliograficas: 1- Lyon AR, Bossone E, Schneider B, et al. Current state of know ledge Rakotsubo syndrome: a Position State ment from the Taskforceon Takotsubo Syndrome of the Heart Failu Association of the European Society of Cardiology. Eur J Heart Fail. 2016 Jan; 18(1): 8-27. 2- Pinede Juhauft; Loire R. Clinical presentation of left atrial cardiac myxoma. A series of 112 consecutive case





EP058

CARDIOMIOPATIA HIPERTRÓFICA EM GÊMEAS UNIVITELINAS ASSINTOMÁTICAS

MONTEZE NM, SILVA LM, SOUZA GG, AMADOR SND, MEIRA ZMA, TONELLI HAF, CASTILHO SRT

HOSPITAL DAS CLINICAS - UFMG

A cardiomiopatia hipertrófica sarcomérica (CMH) é uma doença autossômica dominante, de penetrância variável e expressão fenotípica tardia, associada ao risco de morte súbita durante atividade física. Relato do Caso: Gêmeas univitelinas, 13 anos de idade encaminhadas para avaliação cardiológica para início de atividade física em academia. Assintomáticas quanto ao aparelho cardiovascular. Sem comorbidades ou história familiar de cardiopatias congênitas ou morte súbita inexplicada em jovens. Exame cardiovascular: ritmo cardíaco regular em 2 tempos, sopro sistólico ejetivo, II/VI em borda esternal esquerda média e alta. Pulsos ligeiramente amplos e simétricos. Exame eletrocardiográfico (ECG): ondas Q profundas em parede inferior; alterações difusas de repolarização, sobretudo em septo interventricular (SIV) e paredes anterior, lateral alta e inferior; hemibloqueio anterior esquerdo no exame da gemelar 1 e bloqueio de ramo esquerdo no da gemelar. 2. Exame ecocardiográfico (ECO): (imagens) Discussão: A prevalência das doenças genéticas ligadas ao risco de morte súbita (CMH e algumas síndromes canaliculares) é baixa. No entanto, a partir da adolescência, mesmo na ausência de manifestações ou de história familiar sugestivas, indica-se a realização de ECG como parte da avaliação pré-atividade física. Caso este esteja alterado, está indicada a complementação propedeutica com ECO. A expressão fenotípica tardia de algumas doenças e a intensidade das atividades físicas realizadas a partir desta idade - sabidamente relacionada ao risco de morte súbita - justificam este cuidado. Nos casos relatados, a ausência de história familiar positiva para morte súbita ou miocardiopatia hipertrófica pode decorrer de um perfil fenotípico menos agressivo ou de

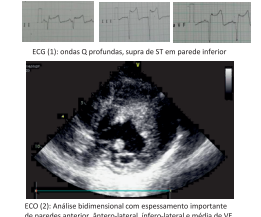
uma mutação nova. Conclusão: O emprego sistemático do ECG convencional na avaliação pré-atividade física em adolescentes se justifica pela capacidade do método na identificação de condições de potencial risco, as quais podem passai despercebidas à avaliação clínica isolada.

Speciations at authorized Climine I Soldada: Gereina Bibliograficas: 1.MARRON BJ, et al. Hypertrophic Cardiomyopathy in Children olescents, and Young Adults Associated With Low Cardiovascular Mortality With Intemporary Management Strategies, Circulation, 2016;133:62-73, ZAMARON BJ, et Genetics in Hypertrophic Cardiomyopathy after 20 years, JACC Vol. 60, No. 8, 2012 aust 21, 2012:705-1



Moderada - gradiento 57 mmHg





18

RESUMO DE TEMAS LIVRES | 28º CONGRESSO DA SOCIEDADE MINEIRA DE CARDIOLOGIA



FP 059

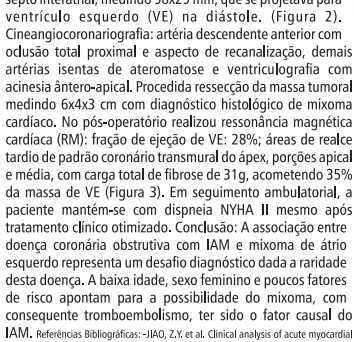
IAM TROMROFMRÓLICO POR MIXOMA ATRIAL

LILIANE DINIZ DE ARAÚLIO. ANDRÉ CHUSTER DE SOLIZA. FELIPE DE OLIVEIRA RAMALHO, ANA LUIZA GUIMARÃES FERREIRA, HELDER GOMES DE MOURA, EDILEIDE DE BARROS CORREIA

INSTITUTO DANTE PAZZANESE DE CARDIOLOGIA

O mixoma atrial é o tumor cardíaco benigno mais comum, representando cerca de 40% das neoplasias cardíacas. A embolização para artérias coronárias ocorre em aproximadamente 10% casos, sendo mais comum para território da coronária esquerda. Descrisão de Caso: M.J.A.V., 43 anos, sexo feminino, hipertensa e tabagista, encaminhada por achado de massa tumoral em átrio esquerdo (AE) em

ecocardiograma transtorácico (ECOTT). Referia dispneia progressiva há cinco anos, em classe funcional NYHA II por B3 audível em ápice. Eletrocardiograma: ritmo sinusal, SÂQRS: 30°, sobrecarga de AE, baixa voltagem elétrica no plano frontal, zona eletricamente inativa ântero-apical e alteração de repolarização anterior. (Figura 1). ECOTT: AE aumentado, com massa ecogênica heterogênea aderida ao septo interatrial, medindo 58x25 mm, que se projetava para ventrículo esquerdo (VE) na diástole. (Figura 2).



Consequente trombooembolismo, ter Sido O tattor Causai do JAM. Referensa sibiliográficas: 100,7 v et al. Clinicia analysis of acute myocardia infarction caused by coronary embolism. J Thorac Dis. 2017;9(9):2898-2903. – LAZABOS 6, et al. Cardiac myoma and concomitant myocardial infarction. Entre atherosciencis or combination? International Journal of Cardiology 205 (2016 124–126. – ZBAMC, v et al. Left attiful myoma induceda cute ST-segment elevation myocardial infarction. J Card Surg 2017;32:309–811.

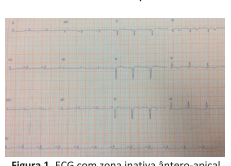


Figura 1. ECG com zona inativa ântero-apic





EP060

MORTE SÚBITA EM PACIENTE JOVEM SECUNDÁRIO À MIOCARDIOPATIA PERIPARTO

Samir idaló junior; larissa d'amico santos; luana lopes cesarini; guilherme duarte TEIXEIRA; SÉRGIO SANTOS CABRAL; NATALIA FARIA MESQUITA

UNIVERSIDADE DE UBERABA - MÁRIO PALMÉRIO HOSPITAL UNIVERSITÁRIO

Considera do um diagnóstico de exclusão, a miocardiopatia periparto (MCP) é uma causa rara de insuficiência cárdica (IC) em mulheres no final da gravidez ou puerpério precoce, sendo que a causa nermanece desconhecida e pode ser multifatorial. A apresentação clínica é similar a outras formas de IC sistólica e o diagnóstico inicial costuma ser atrasado, visto que sintomas como fadiga inespecífica, dispneia e edema de membros são semelhantes aos observados em uma gestação normal. Os critérios diagnósticos são desenvolvimento de IC no final da gravidez ou nos 5 meses seguintes ao parto; ausência de outra causa identificável de IC e disfunção sistólica com fração de ejeção geralmente menor que 45%. As complicações mais frequentes são tromboembolismo e arritmias. O tratamento é semelhante ao empregado na IC por outras causas, com atenção especial as contraindicações farmacológicas durante a gestação. Relato de Caso: Paciente K.T.M.M, 28 anos, iniciou com dispneia, tremores e mal estar indefinido no sétimo dia de puerpério de parto vaginal de recém nascido saudável. Após 3 dias, devido a piora dos sintomas ,procurou atendimento hospitalar em Pronto Socorro. Ao exame físico, apresentava-se taquicardica, dispneica, ausculta pulmonar e cardíaca normais. Durante atendimento paciente evoluiu com rebaixamento do nível de consciência e parada cardiorrespiratória (PCR) em ritmo de fibrilação ventricular. Após 20 minutos de ressuscitação cardiopulmonar adequada, houve retorno do ritmo sinusal e pulsação. Deu entrada em leito de UTI em RASS-4,IOT, sem sinais de desconforto respiratório em ventilação mecânica, está velhemo dinamicamente às custas de drogas vaso ativas. História pregressa: previamente hígida, três gestações anteriores, tabagista. Realizados exames complementares que evidenciaram: eletrocardiograma com isquemia subepicárdica em parede lateral e sobrecarga biatrial; Troponina positiva pós PCR; Radiografia de tórax com aumento da área cardíaca sem sinais de congestão pulmonar (em anexo). Angiotomografia de tórax dentro da normalidade. Ecocardiograma com fração de ejeção de 42%, hipocinesia difusa do ventrículo esquerdo (VE), déficit de grau moderado da função sistólica VE e hipertrofia concêntrica do VE de grau discreto. Cateterismo cardíaco com ausência de coronariopatia obstrutiva, ponte miocárdica discreta grad utscreto. Cateterismio claricado com ausencia de comanismos de utscreto mente diminidad. Holter de 24 horas sem alterações. Realizado hipótese diagnóstica de parada cardiorrespitarótia secundária a complicações de miocardiopatia periparto. Paciente evoluiu com estabilidade hemodinâmica, desmame progressivo de drogas vaso ativas e sedação, sendo realizada extubação após 4dias. Recebeu alta hospitalar após 24 dias.

urogas vaso ativas e seudado, sento realizada extunação apos valos. No de internação com amiodarona 200mg, ASS 100mg, Sinvastatina 40mg, Carvedilol 12,5mg e Losartana 100mg para seguimento ambulatorial na cardiologia. Conclusão: Apesar de rara, é causa importante de mortalidade, porem com o tratamento e diagnóstico corretos e imediato, cerca de 50% das pacientes evoluem com melhora da função ventricular ao longo dos meses. É importante orientar a author construir de construir de construir de construir de sentencia de se mulher quanto ao planeiamento familiar, já que pode haver recidiva do mulner quanto ao pianejamento Tamiliar, ja que pode naver recicio va di quadro em gestação futura. Referências Bibliogidas: Jeanen Mo Eca, Mb. Robert M. Lang, Mb. Michael R. Foley, Managementofhearfallureduringpregnancy.Dect7. 2016. Louis Harris, MBCRB: Sing-Gheriny, Mb. PiD: Candice Shereides, Mb. Mb. REFCR. Ventrious anthythmis during pregnancy, Jun 11, 2018. Wendy Frang, Mb. Roberto M. Lang, Mb. Peripartur cardiomyposthy. Framenter and prognosis. Oct 24, 2017. Wendy Sang, Mb. Roberto M. Lang, Mb. Peripartum cardio myopathy: Etiology, clinical manifestations, anddiagnosis. Oct24, 2017.



EP61

ARRITMIA CARDÍACA EM PACIENTE EM PÓS-OPERATÓRIO DE TETRALOGIA DE FALLOT COM DUPLA VIA DE SAÍDA DO VENTRÍCULO DIREITO E ATRESIA PULMONAR

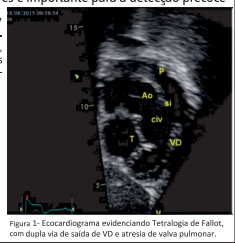
RICCI, I.A., VIFIRA, I.K., ANASTÁCIO, I.B., REZENDE, G.X., HORTA, M.G.C.

FACULDADE DE MEDICINA DA UNIVERSIDADE DE ITAÚNA, HOSPITAL SANTA CASA DA MISERICÓRDIA DE

A Tetralogia de Fallot (TF) é a cardiopatia congênita cianótica mais frequente, a partir do primeiro mês de vida, com bom prognóstico e sobrevida após correção cirúrgica (CC). Entretanto, pacientes podem apresentar alterações hemodinâmicas consequentes às lesões residuais, levando ao aparecimento de arritmias cardíacas (AC), causando maior morbimortalidade. As AC são consideradas a maior causa de morte súbita tardia, geralmente associadas à ocorrência de eventos graves, como taquicardia ventricular sustentada e fibrilação ventricular. Descrissão do Caso: KDSC, 11 meses, assintomático, diagnosticado no quinto dia de vida com TF. Encaminhado para propedêutica, submetido a shunt central com prótese posicionada entre a aorta ascendente e o tronco da artéria pulmonar. Após 8 meses, permanece assintomático, realizou um cateterismo que evidenciou atresia da valva pulmonar associado a TF. Foi realizada CC com fechamento da comunicação intraventricular, colocação de conduto valvulado e fechamento da anastomose sistêmico pulmonar. Paciente foi encaminhado para Centro de Terapia Intensiva (CTI) no pós-operatório, onde evoluiu com dispnéia, febre, sinais flogísticos em local de inserção do cateter e secreção purulenta em vias aéreas. Foi realizada retirada do cateter e iniciada antibioticoterapia para sepse de foco pulmonar. Extubado, evoluiu estável e com bom padrão respiratório. Na enfermaria, paciente iniciou sudorese, agitação e taquicardia. Foi encaminhado para UTI e admitido com frequência cardíaca de 220 bpm e identificado taquicardia supraventricular (TS) no eletrocardiograma. Hipótese Diagnóstica: TS em paciente em pós-operatório de TF. Conduta Adotada: Paciente encaminhado para o CTI, monitorizado, realizada manobra yagal com gelo, adenosina 0,2mg/kg, sem resposta. Administrado dose dobrada de adenosina, ainda assim mantendo TS. Realizado cardioversão sincronizada com 11/kg, sem resposta. Administrado 5mg/kg de amiodarona dose de ataque e manutenção 10mcg/kg/min, sem resposta. Após 3 dias, paciente apresentou ritmo sinusal, mantendo estabilidade hemodinâmica. Paciente recebeu alta da UTI e evoluiu sem complicações. Conclusão: AC em crianças operadas de TF, são de baixa frequência e benignas em sua maioria. O acompanhamento regular desses pacientes, após CC, com exames clínicos e complementares é importante para a detecção precoce das complicações consequentes às lesões residuais, podendo,

provavelmente, reduzir o risco de AC tardias nessas crianças Referências Bibliográficas: 1) Moraes Neto F. Gomes C.A. Lapa C. Hazin S. Tenório F. Matros S





Halperin C. Bloqueio atrio-ventricular total congênito: uma revisão. Revista Latino-Americana de Marca passo e

Arritmia. 1993 ;6 (1): 44-49; Santos ECL, Figuinha FCR, Mastrocola F. Manual de Eletrocardiografia- Cardiopapers. 1 ed. Atheneu, 2017.

EP062

BLOQUEIO ATRIOVENTRICULAR TOTAL CONGÊNITO EM PACIENTE PRÉ-PÚBERE SINTOMÁTICO:

VIEIRA, P.D.A./ OLIVEIRA, R.A.S., LIMA, E. A., SILVA, M.V.P., SILVA, M.V., SILVA, S.C.

SANTA CASA DE MISERICÓRDIA DE BELO HORIZONTE: FACULDADE DE MEDICINA DE BARBACENA

O bloqueioatrio ventricular total (BAVT) é definido como a inabilidade de um impulso atrial propagar-so aos ventrículos utilizando o sistema de condução normal. A forma congênita é rara, estimando-se uma incidênciade 1:20000 nascidos vivos, e segue os seguintes critérios: baixa frequência cardíaca presente ao nascimento ou em idade precoce, ausência de história de difteria ou outra miocardite que possa causar bloqueio AV total, ausência de evidência de doença cardíaca isquêmica ou miocardiopatia e ausência de cirurgia cardíaca prévia. No Brasil, acrescenta-se a estes critérios a ausência de doenca de Chagas. O diagnóstico é dependente de comprovação eletrocardiográfica e, em fetos, de ecocardiografia. A forma isolada dessa afecção, sem defeitos intracardíacos associados, corresponde a cercade 70% dos casos. A fisiopatologia está fortemente relacionada a doenças autoimunes maternas, com o lúpus eritematoso sistêmico, síndrome de Sjögren, artrite reumatoide e dermatomiosite. O implante de marcapasso cardíaco artificial permanente é a única forma de tratamento, resultando em excelentes taxas de sobrevida a longo prazo. Este trabalho tem por objetivo relatar o caso clínico de uma paciente pré-púbere com o diagnóstico de bloqueio atrio ventricular total congênito sintomático. Discussão de Caso: Paciente do sexo feminino, 13 anos, previa mente hígida, admitida na Santa Casa de Misericórdia de Belo Horizonte com guadro de dispneia aos médios esforços elipotimia. Ao exame físico da admissão encontrava-se alerta, corada pressão arterial 110 por 80mmHg nos membros superiores, eupneica, afebril, ritmo cardíaco regular sem sopros, frequência cardíaca de 48 batimentos por minuto, ausculta pulmonar sem alteração. Exames complementares realizados: Eletrocardiograma mostrando bloqueio atrio ventricular total. Holter de 24 horas: bloqueio átrioventricular durante todo o exame com frequência cardíaca média de 45 bpm. Ecocardiograma normal. Função tireoidiana normal. Sorologia para Doença de Chagas negativa. Hipótese Diagnóstica: Bloqueio Atrioventricular Total Congênito. Condutas Adotadas: Realizado implante de marcapasso de câmara dupla epimiocárdica definitivo. Procedimento realizado sem intercorrências. Alta hospitalar sem queixas. Conclusão: O interessante deste caso consiste na identificação da patologia incomum e com potencial gravidade e elucida que o tratamento com implante de marca passo definitivo contribui de maneira expres-siva em seu tratamento, com consequente melhora na sobrevida. Referência Bibliográfica: Lima GG, Meyer GB, Schellemberger R,

Átrio Esquerdo: 35 mm Diâmetro Diastólico Final do VE: 46 mm; Diâmetro Sistólico Final do VE: 30 mm; Espessura Diastólica do Septo: 08 mm; Fração de Ejeção (Teicholz): 64 %; Volume Diastólico Final: 97 ml; Volume Sistólico Final: 35 ml; Fluxo aórtico e pulmonar de velocidade aumentada, sugestivo de hiperfluxo.



RESUMO DE TEMAS LIVRES | 28º CONGRESSO DA SOCIEDADE MINEIRA DE CARDIOLOGIA

FP 063

DOENCA CORONARIANA EM MILIHER JOVEM SEM FATORES DE RISCO E MORBIDADES PRÉVIAS

DEBORAH CRISTINA DA SILVA CARDOSO¹, VINÍCIUS SARMENTO VALÉRIO¹, CLAUDIA MARIA VILAS FREIRE² MARIA CRISTINA COSTA DE ALMEIDA

ACADÊMICO(A) DE MEDICINA - CENTRO UNIVERSITÁRIO DE BELO HORIZONTE - UNIBH AMÉDICA CARDIOLOGISTA E ECOCARDIOGRAFISTA PELA SBC

A doenca cardiovascular (DCV) é a principal causa de mortalidade entre as mulheres, superando as neoplasias de Autoria datalivassicia (ICC) e a militario prevalência de DCV ser devido à doença coronariana aterospeciórica, esta é menos frequente em mulheres pré ou peri menopausa e, principalmente, naquelas sem fatores de risco cardiovascular². O presente relato mostra mulher jovem sem fatores de risco (exceto estresse no trabalho) ou morbidades prévias relacionados à doença aterosderótica. Evoluiu com dor precordial típica e propedeutric mostrou lesão única em descendente anterior (DA), sem sinais de aterosderose em outros segmentos arteriais. Objetivo: Relatar manifestação atípica de doença arterial coronariana (DAC) na mulher. Correlacionar doença não aterosderótica como possível causa de doença coronariana em mulher jovem. Métdo: B.A.D.D, sexo feminino, 49 anos, bancária, esportista, sem fatores de risco ou morbidades prévias, exceto estresse no trabalho. Em uso de DIU mirena e estrogênio transdérmico há um ano por falhas mentruais prolongadas. Iniciou dispinée a precordialgia típica aos moderados esforços, o que a levou ao serviço de urgência várias vezes. Eletrocardiogramas, Ecocardiograma, Radiografia de tórax e enzimas cardicacs sem alterações. Teste Ergométrico eletivo dado como inconclusivo por hipotensão no inicio do exame. Cintilografia miocárdica evidenciou hipotensão no esforço sendo suspensa, Angiotomografia de coronárias mostrou lesão sub oclusiva importante em segmento proximal da DA (94%), e sem sinais de aterosderose em outros segmentos. Escore de cálcio zero. Cineangiocoronariografia confirmou lesão obstrutiva importante em segmento proximal da DA (99%). Paciente submetida a implante de stent farmacológico, evoluindo sem intercorrências. Discussão: Existem diferenças significativas entre homens e mulheres em telação à epidemiologia, diagnóstico, tratamento e prognóstico da doença coronariana (DCO)¹ 2 ³. DCV em mulheres está associada em sua maioria à doença aterosclerótica principalmente após a menopausa, se manifestando 10 anos após a idade de aparecimento nos homens¹;\(^1\). A paciente do presente caso encontra-se no perdo peri menopausa (falhas menstrusis prodonadas), tem estila de paciente do presente caso encontra-se no perdo peri menopausa (falhas menstrusis prodonadas), tem estila de paciente do presente caso encontra-se no perdo peri menopausa (falhas menstrusis prodonadas), tem estila de paciente do presente caso encontra-se no perdo peri menopausa (falhas menstrusis prodonadas), tem estila de paciente do presente caso encontra-se no perdo peri menopausa (falhas menstrusis prodonadas), tem estila de paciente do presente caso encontra-se no perdo peri menopausa (falhas menstrusis prodonadas), tem estila de paciente do presente caso aterosclerótica como possível causa de doença coronariana em mulher jovem. Métdo: B.A.D.D, sexo feminino, 49 paciente do presente caso encontra-se no período peri menopausa (falhas menstruais prolongadas), tem estilo de vida saudável como prática regular de atividade física, alimentação equilibrada, peso ideal, não tabagismo e não etilismo. Exames propedêuticos não evidenciaram lesão aterosclerótica em outros segmentos, porém a cineangiocoronariografía não mostrou imagem sugestiva de causas não aterosderóticas como disseçção coronariana espontânea (DCE), espasmo coronariano, ponte miocárdica, Takotsubo ou arterite¹. A DCE é pouco diagnosticada como causa de isquemia miocárdica aguda, sendo que cerca de 70% dos casos ocorrem em mulheres². Em publicação recente, estudo com 177 mulheres abaixo de 50 anos submetidas a coronariografía, montrou que 42,9% tiveram sindrome coronariana aguda. Dessas, 55% tinham coronárias normais, 31% doença aterosderótica, 13% doença não aterosderótica, e 2% etiologia desconhecida. Das causas não aterosderótica, 70% foram por DCE ⁴. Condusão: A doença aterosderótica é a principal causa de síndrome coronariana aguda nas mulheres, principalmente pós menopausa e com fatores de risco cardiovasculares clássicos. Entretanto, pode se manifestar em mulheres jovens sem fatores de risco, como descrito na literatura e demonstrado no presente caso. n women: problems and prospects culation. 2004; 109(5):558-560. 4 Saw, E. Aymong, G.B. Mancini, 1 dlak, A. Starovoytov, D. Ricci natherosclerotic coronary arter

FP064

ΜΙΟΚΑΡΟΙΟΡΑΤΙΑ ΝΑΩ ΚΟΜΡΑΚΤΑΝΑ ΚΟΜ ΕΥΩΙ ΙΙΚΑΩ ΡΑΡΑ INSUFICIÊNCIA CARDÍACA: RELATO

ANASTÁCIO LB12 / REZENDE GX12 / VIEIRA JK12 / OLIVEIRA DA12 / MARQUIORI RAS2 / HORTA MGC

(1) FACULDADE DE MEDICINA, UNIVERSIDADE DE ITAÚNA (2) SANTA CASA DE MISERICÓRDIA DE BELO HORIZONTE

A miocardionatia nao compactada (MNC) isolada e uma doenca rara, que surge no periodo embrionario com parada da compactacao miocardica. Assim, são geradas trabeculações miocardicas proeminentes com recessos intertrabeculares profundos e espessamento miocardico em duas camadas distintas (compactado e nao compactado). A clinica do quadro e variavel, partindo da ausencia de sintomas a insuficiencia cardiaca congestiva (ICC), arritmias e/ou tromboembolismo sistemico. O ecocardiograma (ECO) e o exame mais utilizado para firmar diagnostico e avaliar o quadro. Porem o pouco conhecimento sobre essa doenca, sua semelhanca com outras afeccoes miocardicas e a limitacoes do ECO fazem com que o diagnostico seja postergado. Descrição do Caso: AAR, 2 anos, historia de internacao previa (2016) por quadro respiratorio agudo. Na internacao evoluiu com PCR, com retorno apos 1 minuto. Nesta ocasiao, foi diagnosticado com Insuficiencia Respiratoria Aguda, sendo tratado com associacao de antibioticoterapia, osetalmivir e tratamento de IC. Apos terapeutica apresentou melhora. Desde de entao, vem sendo acompanhado por cardiologista que, ao solicitar novo Ecocardiograma Transtoracico (ECO TT) (28/02/16), percebeu piora do quadro cardiaco (piora funcional e alteracoes estruturais — aumento de VE e AE; hipocontratilidade difusa; FE 44%; Valva mitral com abertura reduzida) sendo encaminhado para unidade hospitalar para extensao propedeutica. Hipótese Diagnóstica: Miocardiopatia Dilatada. Conduta: Na internacao (9/05/18), foi admitido assintomatico para propedeutica cardiologica. Foi realizado eletrocardiograma que apresentou sinais sugestivos de sobrecarga de camaras esquerdas, Radiografia convencional de torax com aumento de area cardiaca, sem alteracoes dos campos pleuropulmonares. Solicitado novo ECO TT que demonstrou aumento importante de VE e AE, FEVE 27%, disfuncao diastolica grau 3, trabeculas miocardicas compativeis com miocardio nao compactado. Apos o diagnostico de MNC, por achados característicos no ECO TT, foi otimizado tratamento farmacologico com Enalapril, Espironolactona e Furosemida, com boa tolerancia pelo paciente que apresentou melhora significativa dos sintomas. Assim, paciente recebeu alta hospitalar com acompanhamento semestral em ambulatorio de cardiologia. Conclusão: A MNC e uma doenca rara e possui apresentacao clínica variavel, podendo ser assintomatica ou levar a

insuficiencia cardiaca grave e ate mesmo a morte subita. O ECO TT e um exame operador dependente e quando feito de forma dirigida e por profissional experiente tem grande valia no diagnostico e acompanhamento do quadro. Diante de uma forte suspeita clinica e exames tradicionais inconclusivos, a

Ressonancia nuclear magnetica e exame padrao ouro para elucidar diagnostico. Referências Bibliográficas: 1-OUTO para etuculari uragijinstucu, meterenoas biolograficas; Ng. D, Boulhal Y, Usell PC et al, Monaarmiotic Monochronici Twin Discordant for Noncompaction Cardiomyopathy, Am I Med Genet A, 201 Jun; 16(16): 1339–1344. - 2 Panap (V, Chen H, Qu x et al. Molecula mechanism of ventricular trabeolalation/compaction and the pathogenes of the left ventricular noncompaction acidiomyopathy (LMVC). Am I Me Genet C Semin Med Genet, 2013 Aug;153(25):144-56. 3 Frustaci A, D. Luca A, Guida V, Bagini T, et al. Novel A. Actin Gene Mutation p./ABAZ1Vall Causing Familial Hypertrophic Cardiomyopathy, Myocardio Monocompaction and Thomassi Cardio. (Finale Shelhodelor Zivatation.) whez I val) Causing Familial Hypertrophic Cardiomyopathy, Myocardia oncompaction, and Transmural Crypts. Clinical-Pathologic Correlation. Am Heart Assoc. 2018 Feb 10,7(4).





EP 065

PERFIL EPIDEMIOLÓGICO DAS INTERCORRÊNCIAS POR TRANSTORNOS HIPERTENSIVOS NA GRAVIDEZ E NO PUERPÉRIO EM MINAS GERAIS NOS ÚLTIMOS 5 ANOS.

Os distúrbios hipertensivos da gravidez, incluindo hipertensão crônica, com ou sem pré-eclâmpsia sobrepostas, hipertensão gestacional ou pré-edâmpsia, apresentam um risco significativo de morbidade tanto para a mãe quanto para o feto. O pré-natal adequado, com observação atenta de sinais de pré-



Valor total de serviços e média de permanência hospitalar de mulheres com transtorno hipertensivo na gravidez, parto e puerpério

Média de permanência hospitalar
3,6 dias

Valor total de serviços e média de permanência hospitalar de mulheres para tratamento de edema e proteinúria na gravidez, parto e puerpério

	Valor total de serviços hospitalares no SUS	Média de permanência hospitalar
Į	R\$479.285,15	3,4 dias

Valor total de serviços e média de permanência spitalar de mulheres para tratamento de eclâmp Valor total de serviços Média de permane

R\$625.275,97	3,4 dias		
Caráter do atendimento de mulheres com eclâmpsia			
Natureza do	Porcentagem		

99%

BRUNO BASTOS GODOI, PATRICIA FRAGA PAIVA, CAMYLLA SANTOS DE SOUZA, SAMARA PEREIRA DE ALMEIDA. CAROLINA FRAGA PAIVA. YNGRID SOUZA LUZ. EMANOEL GUIMARÃES PAIVA E JOÃO DAVID DE

eclâmpsia e pronto atendimento para reduzir ou evitar efeitos adversos, responde pela redução da morbidade e mortalidade. Objetivo: O Presente trabalho tem como objetivo apresentar o perfil

epidemiológico das intercorrências por transtornos hipertensivos na gravidez e no puerpério em Minas Gerais nos últimos 5 anos. Métodos: (figura) Resultados: Estima-se em 2-8% a prevalência global de pré-eclâmpsia, com cerca de 3.2% na América Latina e 8.2% no Brasil. Nos últimos 5 anos, em Minas Gerais, houve um total de 35.759 internações de mulheres com transtorno hipertensivo na gravidez, parto e puerpério, de 20 a 49 anos, sendo 48% dessas mulheres de raça parda, 22% de raça branca e 7% de raça negra. Conclusão: No presente estudo, constatou-se que as internações foram determina-

das por uma faixa etária entre 20 a 49 anos, sendo 48% dessas mulheres de raça parda, com baixa ocorrência de óbito e altos custos para a saúde. Neste contexto, inferese um vínculo destas internações aos aspectos socio econômicos, acesso aos servicos de saúde, estrutura hospitalar adequada e qualidade de assistência pré-

noSpitalari adequiada è qualidada e de assistencia pre-natal. Referincias Bibliogaficias. Warchand NE, Davasambuu G. Meltantif Davasambuu E. Bastar T. Troisi R. Pevalence of pregnancy hypertensive disorders in Mongolia. Prepanary Hypertens. 2016 Oct.6(6): 413-417. Nalkanishi S. Aoki S. Nagashima A. Seki K. Indefence and pregnancy outcomes of superimposed preedampsia with or without proteinual among vomen with chronic hypertension. Pregnancy Hypertens. 2017 Jan. 7.23-42. Dong X. God W. Li C. Will, Han Z. Li X. Chen Q. Proteinuia in preedampsias: Not God W. Li C. Will, Han Z. Li X. Chen Q. Proteinuia in preedampsias: Not Pregnancy Hypertens. 2017 April 5:00-64.

EP066

TAXA DE MORTALIDADE INFANTIL DEVIDO A CARDIOPATIAS CONGÊNITAS, RELACIONADAS ÀS MALFORMAÇÕES CONGÊNITAS EM NASCIDOS VIVOS, NO PERÍODO DE 2010 A 2016, NO ESTADO DE MINAS GERAIS

MENDES, D. G¹; ROLDI, A. F¹; ARRUDA, B. C. A. P¹; FARIA, C. S. P¹; ROQUE, E. L¹; MACIEL, E. B. P¹; COSTA, J. H. S. M³; FARIA, L. S. P²; TAVARES, L. B. S¹; CORREIA, M. C. A¹.

1-ACADÊMICOS DO CURSO DE MEDICINA DO INSTITUTO METROPOLITANO DE ENSINO SUPERIOR (IMES): 2-ACADÊMICA DO CURSO DE MEDICINA DO CENTRO UNIVERSITÁRIO DE VOLTA REDONDA (UNIFOA); 3-ESPECIALISTA EM CLÍNICA MÉDICA; MÉDICA ATUANTE NO HOSPITAL MÁRCIO CUNHA;

Anomalia cardíaca congênita significa uma malformação estrutural do coração ou dos grandes vasos, que ocorre no período embrionário, estando presente desde o nascimento. É o defeito congênito isolado mais prevalente, com alto impacto na mortalidade principalmente no primeiro ano devida e também na morbidade (BELO; OSELAME; NEVES, 2016). Os fatores de risco para o desenvolvimento de cardiopatias congênitas englobam a herança multifatorial, com fontes genéticas e ambientais. Diabetes mellitus, infecções durante a gestação e o uso de teratógenos são importantes causas para o desenvolvimento do defeito cardíaco congênito (ROSA et al.; 2013). Objetivo: Avaliar a prevalência da malformaçã ocardíaca em detrimento das outras más-formações congênitas, demonstrando a sua relevância na morbimortalidade. Método: Trata-se de um estudo transversal, descritivo e retrospectivo, baseado em análise de dados obtidos Metodo: Irata-se de um estudo transversal, descritivo e retrospectivo, baseado em analise de dados obtidos através da plataforma DATASUS e Tabnet. As variáveis utilizadas foram: malformações cardiacas, extra cardíacas, óbitos e taxa de mortalidade infantil. O período explorado foi 2010 a 2016, no estado de MinasGerais. Resultado/Discussão: No tempo de 2010 a 2016, foram notificados 4495 óbitos por malformações congênitas, deformidades e anomalias no estado de Minas Gerais. Destes, 1694 foram en decorrência de anomalias do coração, correspondendo à 37,68% dos óbitos. A taxa de mortalidade infantil pode ser dividida entre neonatal precoce (0-6 dias), neo natal tardia (7 dias completos à 27) e pos neonatal (28 à 364 dias). As cardiopatias congênitas foram responsáveis por 21,8% das mortes entre 0-6 dias (506 casos), 48,2% (405) neo natal tardia e 43,9% das mortes pós-natais (783). Esses dados representam que a maior causa de óbito infantil por malformação congênita isolada foi a cardiopatia congênita. A seguir, encontram-se mal formações congênitas do sistema nervoso, representando 14,9%. Diante de todas as causas de óbito infantil no presente estudo, a cardiopatia congênita isolada foi responsável por 7,63% dos casos. As malformações cardíacas fetais podem ser divididas entre acianóticas e cianóticas, menos comuns casos. As mainormações cardiacas retais podem ser divididas entre actandicas e candicas, menos comuns e mais graves. É de suma importância a realização do diagnóstico precoce da malformação, para melhor acompanhamento fetal e menores taxas de morbimortalida de neonatais. Ainda no período pré-natal, pode ser feito através da ecocardiografia fetal. O teste de triagem neonatal de cardiopatias congênitas também de grande valla. Deve ser feito em todos os recém-nascidos cuja idade gestacional é maior ou igual a 34 semanas, entre 24-48 horas de vida. O tratamento cirúrgico envolve diferentes técnicas, como objetivo de correção definitiva ou paliativa das malformações cardíacas, e devem ser realizadas de acordo com o portador e a cardiopatia base. Conclusão: Os resultados dessa meta-análise demonstram o impacto das malformações cardíacas na mortalidade infantil. O prognóstico da criança está relacionado a vários fatores, como a apresentação da cardiopatia, presença de anomalias associadas, diagnóstico precoce, tratamento clínico e intervenção cirúrgica. Apesar do avanço nos tempos atuais no diagnóstico e

Cunico e intervenção unugica. Apesar do avanço nos tempos atuais no talginostra tratamento das cardiopatais congênitas, esta ainda é a segunda causa de mortalidade infantil no Brasil, sendo a primeira causa em países desenvolvidos, Reielenais Biblogofitas. 1905. Rosan Cardoso M. et al. Cardiopatais congênitas e malformações estra cardiacias. Revista Paulista de Pelatria. S.I., v.z. n.31, p.242-251, 2013. Timenstal. BELO, Wanessa Alves; OSELAME, diedesos Biandios NEVES, Eduado Borba. Pelfil diflica-biospitalar de crianças com cardiopata congênita. Cademos Saúde Catelva, [s.1], v.24, n.2, p.216-220, pl.2107. Simplifies Spicalico.



Urgência

RESUMO DE TEMAS LIVRES | 28º CONGRESSO DA SOCIEDADE MINEIRA DE CARDIOLOGIA



FP 067

ARI AÇÃO DE ARRITMIA SUPRAVENTRICUI AR NO PÓS-OPERATÓRIO TARDIO DE CORREÇÃO DE TETRALOGIA DE FALLOT: UM RELATO DE CASO

Carlos alberto ferreira¹, raízateixeira de Oliveira¹, paula gomes rabelo¹, samira SODREPICHELLI, CARLOS EDUARDO DE SOUZA MIRANDAI, BÁRBARA CAMPOS ABREU MARINOI

(1) HOSPITAL MADRE TERESA - RELO HORIZONTE (2) FACULDADE DE MEDICINA - PLIC MINAS-RETIM

A tetralogia de Fallot (TF) é a cardiopatia congênita cianogênica mais comum. Resulta do desalinhamento anterior do septo conal durante o desenvolvimento embriológico. O reparo cirúrgico completo vem sendo realizado há várias décadas, mas na evolução em longo prazo podem ocorrer arritmias atriais e ventriculares, secundárias à sobrecarga das câmaras direitas e às cicatrizes cirúrgicas. Arritmias cardíacas são a maior causa de morte súbita tardia nestes pacientes. As taquiarritmias atriais, como flutter ou fibrilação atrial, são observadas com frequência maior a partir da terceira década. Mesmo em uma anatomia tão distorcida quanto na TE a presenca de sinais clássicos ao ECG de flutter atrialistmo dependente pode levar a avaliação eletrofisiológica precoce, com possibilidade de tratamento e resolução rápida de arritmia, com alto sucesso terapêutico. Caso Clínico: Paciente de 46 anos, sexo feminino, com histórico de TF abordoda cirurgicamente há 41 anos, desde então sem intercorrências maiores, apenas com relatos ocasionais de paloitações. Em 14/03/18, enquanto caminhava em via pública, iniciou com dispneia, sudores e elipotímia, além de dor precordial em aperto. No pronto atendimento, identificado ritmo de flutter atrial 1:1, com condução aberrante e frequência cardíaca de 300 bpm, sendo submetida a CVE, com sucesso. Encaminhada para internação hospitalar, permaneceu estável, sem recorrênciada arritmia. ECG em ritmo sinusal, com BDD + BDAS, RNM cardíaca evidenciava regurgitação pulmonar residual importante (41%), além de VD dilatado enormo contrátil e um VE com função sistólica preservada. Recebeu alta com amiodarona, betabloqueador e DOAC. Em 22/05/18, submetida a estudo eletrofisiológico e ablação por radiofrequência tridimensional do istmo cavo-tricuspídeo e lesões lineares a nível da crista terminalis do átrio direito, com sucesso. Conclusão: O acompanhamento regular desses pacientes, após reparo cirúrgico, com exames clínicos e complementares, é importante para a detecção precoce das complicações consequentes às lesões residuais, podendo, provavelmente, reduzir o risco de arritmias cardíacas tardias. O desenvolvimento de taquiarritmias atriais nestes pacientes causa uma piora grave do estado hemodinâmico e do desfecho clínico. Uma abordagem invasiva precoce torna-se um tratamento curativo eficaz e rápido, com alto sucesso terapêutico (98%), quando a arritmia tem sinais típicos de flutteratrial, istmo dependente. SUCESSO TETAPEUTICO (190%), Quando a arrifilma tem sinals tipicos dei nutteratiria, istimo deplanicimo. Referência Biologia I.1 LIX, Wissner I.4, Kamioka M, Makimoth R, Bausch PR, Merch A, et al. Safety and feability for transfer planuture for attain bibilitation ablationin patients with atrial septal defect dosure devices. Heart Rhythm, 2014;11(2):330-5. 2, 28(ide. 200. 93, 24(3):39, 883. James PA. Congenital heart diseases inadius: second of two parts. N. Fight Med. 2000; 42(3):39, 334-42. Erattamiri. Parts. P. P. V. Kaplar S. Chool C. Unespected cardia carrest in patient set surgical correction of test ology of fallot. Circulation. 1975; 52(4):691-5. Allutph, Pol. Reference of the surgical parts of testagol y fallot. Ref. (1904). Med. (1905) 37(2):97(3): relates to right ventricular sis Guimarães ICB, Melo SL, MateoEIP, Andalaft RB, Xavier LFR, etal. Diretriz de Arritmias Cardíacas em Crianças e Cardiopatias Congênitas SOBRAC e DCC CP. Arg Bras Cardiol 2016; 107 (1supl.3):1



EP69

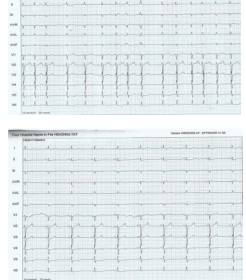
MIOCARDIOPATIA DILATADA INDUZIDA POR FIBRILAÇÃO ATRIAL PERSISTENTE: REMODE-LAMENTO REVERSO COMPLETO APÓS ABLAÇÃO

GABRIELA D.C. OLIVEIRA ; HÉLIO L. BRITO JR.; CASSIANO M. FERREIRA; MARIA A. M. LIMA; VICTOR C. CLEMENTE

HOSPITAL UNIVERSITÁRIO DA UFJF - JUIZ DE FORA-MG / HOSPITAL MONTE SINAI - JUIZ DE FORA- MG

A taquicardiomiopatia é uma etiologia pouco frequente de miocardiopatia dilatada, sendo caracterizada por disfunção ventricular sistólica e insuficiência cardíaca congestiva¹, ². Tem como causa taquiarritmias persistentes ou repetitivas com frequência cardíaca elevada, cujas manifestacões dínicas podem ser eversíveis quando o tratamento objetivando a normalização do ritmo cardíaco é feito precocemente³, Relato do Caso: Paciente de 49 anos, sexo masculino, com quadro de astenia e cansaco para os mínimos esforços (CF III NYHA) associada a fibrilação atrial (FA) persistente, refratária ao tratamento farmacológico

e a cardioversão elétrica prévia. Exame: ecodopplercardiograma transtorácico (ETT): átrio esquerdo (AE) = 49mm, ventrículo esquerdo (VE) = 57/42mm e fração de ejecão (FE) = 51%. Foi realizada ablação por cateter de radiofrequência através do sistema eletroanatômico CARTO3, com sucesso (isolamento elétrico das quatro veias pulmonares e reversão do ritmo de FA para ritmo sinusal). Após seguimento de 10 meses observou-se: paciente assintomático (CF I NYHA) na ausência de drogas antiarrítmicas. Exames: 1- ECG: ritmo sinusal; 2- ETT mostrando remodelamento reverso: FEVE= 76%, VE= 51/28 mm, e AE= 39mm. Foi observado neste caso que o controle precoce do ritmo cardíaco após a reversão da FA para ritmo sinusal sustentado, permitiu a reversão da miocardiopatia com remodelamento cardíaco reverso completo associado a melhora significativa da qualidade de vida. Conclusão: A taquicardiomiopatia dilatada induzida por FA persistente pode cursar com importante comprometimento da qualidade de vida e remodelamento cardíaco. A ablação da FA em pacientes portadores de disfunção ventricular é um procedimento portadores de distunção ventrificular e um procedimento seguiro e com efficacia elevada a médio prazo. Referências Bibliográficas: 1-Walker Nt., Cobbe SM., Birise DH., Endysardiomyopathy: a diagnosis not to be missed. [Abstract]. Heart. 2004;902]: 6-7. 2- Abouchedied et al. Taquicardiomiopatha = Relato de caso, Rev Bras, Cardiol. 2011;24(2):155-176. [Arguicardiomiopatha = Relato de caso, Rev Bras, Cardiol. 2011;24(2):155-176. [Arguicardiomiopatha = Relato de caso, Rev Bras, Cardiol. 2011;24(2):155-176. [Arguicardiomiopatha = Relato de caso, Rev Bras, Cardiol. 2011;24(2):155-176. [Arguicardiomiopatha = Relato de caso, Rev Bras, Cardiol. 2011;24(2):155-176. [Arguicardiomiopatha = Relato de caso, Rev Bras, Cardiol. 2011;24(2):155-176. [Arguicardiomiopatha = Relato de caso, Rev Bras, Cardiol. 2011;24(2):155-176. [Arguicardiomiopatha = Relato de caso, Rev Bras, Cardiol. 2011;24(2):155-176. [Arguicardiomiopatha = Relato de caso, Rev Bras, Cardiol. 2011;24(2):155-176. [Arguicardiomiopatha = Relato de caso, Rev Bras, Cardiol. 2011;24(2):155-176. [Arguicardiomiopatha = Relato de caso, Rev Bras, Cardiol. 2011;24(2):155-176. [Arguicardiomiopatha = Relato de caso, Rev Bras, Cardiol. 2011;24(2):155-176. [Arguicardiomiopatha = Relato de caso, Rev Bras, Cardiol. 2011;24(2):155-176. [Arguicardiomiopatha = Relato de caso, Rev Bras, Cardiol. 2011;24(2):155-176. [Arguicardiomiopatha = Relato de caso, Rev Bras, Cardiol. 2011;24(2):155-176. [Arguicardiomiopatha = Relato de caso, Rev Bras, Cardiol. 2011;24(2):155-176. [Arguicardiomiopatha = Relato de caso, Rev Bras, Cardiol. 2011;24(2):155-176. [Arguicardiomiopatha = Relato de caso, Rev Bras, Cardiol. 2011;24(2):155-176. [Arguicardiomiopatha = Relato de caso, Rev Bras, Cardiol. [Arguicardiomiopatha





Isolamento das veias pulmonares através do sistema eletroanatômico CARTO 3.

FP068

ARRITMIAS ATRIAIS COMO MANIFESTAÇÃO DE DISPLASIA ARRITMOGÊNICA DO VENTRÍCULO

DIREITO
GEOVANNI GABRIEL ALMEIDA BRITO', GABRIELA RIGAMONTERIBEIRO', CARLOS EDUARDO SOUZA
MIRANDA'; CLÁUDIA MADEIRA MIRANDA'; MITERMAYERREIS BRITO', BÁRBARA CAMPOS ABREU

(1) HOSPITAL MADRE TERESA - BELO HORIZONTE (2) FACULDADE DE MEDICINA - PUC-BETIM

A displasia arritmogênica do ventrículo direito (DAVD) se caracteriza por uma desordem muscular geneticamente determinada, que afeta o miocárdio, principalmente o ventrículo direito (VD), predispondo ao corrência de arritmias ventriculares. As arritmias atriais quando presentes, em geral estão associadas à presença de arritmias ventriculares, sendo rara sua ocorrência de maneira isolada. Objetivo: As informações contidas neste trabalho foram obtidas por meio de revisão do prontuário, entrevista com o paciente, registro fotográfico dos métodos diagnósticos, aos quais o paciente foi submetido e revisão da literatura. Resultado: Paciente feminina, 23 anos, encaminhada para avaliação de quadro de palpitações aos esforços. Exame físicos em alterações significativas e ECG em ritmo sinusal (RS) com alterações difusas da repolarização ventricular. Solicitada propedêutica: teste ergométrico-taquicardia atrial multi focal, estável hemodinamicamente, com reversão espontânea. Ecodopplercardiograma (ECO)-VD com dimensões aumentadas (73mm em seu diâmetro máximo), presenca de aneurismas ao longo de toda sua extensão e ventrículo esquerdo (VE) sem alterações; Holter 24h-RS com 643 extras sistolesatriaise ausência de ectopias ventriculares (EV). Como complementação, solicitada ressonância nuclear magnética (RNM), que confirmou os achados do ECO, eECG-AR, que evidenciou potenciais tardios. Diante dos achados no ECG-AR e na ECO/RNM nos quais foram observados 1 critério menor e 2 critérios maiores, respectivamente, feito o diagnóstico de DAVD Iniciados sotalol (80mg 2x /dia) evarfarina. Em sua evolução, apresentou único episódio de flutter atrial há aproximadamente cinco anos, quando foi ajustada a dose do sotalol (160mg 2x/dia) sem registro de novos episódios até o momento. Quanto aos exames realizados anualmente, Holter evidencia aumento progressivo na densidade das ectopiasatriais, sem documentação de qualquer EV ou de episódios de taquicardia supraventricular e ventricular. Já a RNM demonstra ausência de progressão das alterações de VD e ausência de acometimento de VE. Condusão: 1-Arritmias atriais como únicas manifestações da DAVD, apesar de raras, podem ocorrer. 2-A ausência de arritmias ventriculares não exclui a necessidade de acompanhamento dínico e exames periódicos, uma vez que a DAVD pode ter um caráter progressivo, associado a novas manifestações dinicas . Referencias Bibliográficas: 1. Gemayel C., Pelliccia A, Thompson PD. Arrhythmogenic right ventricular cardio myopathy. Jam Coll Cardio 2001; 38: 1773.2. Corrado D, Link MS, Calkins H. Arrhythmogenic Right Ventricular Cardiomyopathy. Ne Jul Jame 2017; 376: 61.3. Asima KiA, Tandr H. Hangh Het al. Anew diagnosticest for arrhythmogenic right ventricularia collomography. Neval Jame 2009; 360: 1075.



EP070

SÍNDROME DE TWIDDLER: RELATO DE CASO

ADRIANA COSTA DIAMANTINO SOARES; LUNA SANTOS RABELO; HERTZ LACERDA CARDOSO; FERNANDO ROTATORI NOVAES: WILLIAN MOREIRA SENA

HOSPITAL SANTA CASA DA MISERICÓRDIA DE MONTES CLAROS

A síndrome de Twiddler é uma complicação conhecida após a implantação do marcapasso definitivo. Foi descrito pela primeira vez por Bayliss et al. após um doente ter manipulado e rodado o gerador na loca cirúrgica que resultou no desalojamento dos eletrodos com consequente perda de captura¹. Os principaisfatores de risco são obesidade, idade avançada e doença psiquiátrica². Relato de Caso. Homem de 86 anos, coronariopata e valvopata, usuário de marca passo definitivo bicameral, implantado há aproximadamente um mês. Encaminhado ao serviço de referência com história de astenia, náuseas e tontura com início há 6 dias. Eletrocardiograma evidenciou bloqueio atrio ventricular total, radiografia de tórax mostrou deslocamento dos eletrodos, ambos agrupados ao redor do gerador (Figura1). Evoluiu na unidade de emergência com 2 episódios de parada cardiorrespiratória em ritmo de fibrilação ventricular, realizada reanimação cardiovascular e desfibrilação com retorno à circulação espontânea, iniciado aminase encaminhado ao bloco cirúrgico. Procedeu-se à revisão cirúrgica com reposicionamento do seletrodos, não tendo sido observadas alterações da integridade destes. Foi reforçada a posição do gerador, feito limpeza e reposicionamento ventricular e atrial dos eletrodos. Testes com bons limiares . Após o procedimento houve melhora da pressão arterial e regularização do ritmo cardíaco. O mesmo evoluju estável hemodinamicamente e teve alta hospitalar cinco dias após a admissão. Neste caso o doente negou manipulação consciente do gerador, o que acontece na maioriados casos descritos³ Discussão: A síndrome de Twiddler é rara, comum a incidência relatada de 0.07 a1.1%². No entanto, na maioria das vezes, pode levar a sérias consequências. As principais complicações incluem bradiarritmiasintomática; estimulação do nervo frênico e da musculatura diafragmática, levando a um quadro de soluços incoercíveis ou doplexo braquial, levando a movimentos involuntários do braço; em pacientes dependentes do marcapasso, podem levar ao óbito⁴. Este evento leva à revisão ou substituição do sistema do dispositivo, aumentando os riscos de infecção, sangra-

mento, pneumotórax e tamponamento cardíaco5. Reoperações também são caras e inconvenientes. A gestão da síndrome de Twiddler pode ser muito frustrante, visto que pode recorrer após o primeiro evento 6.

Referencias Biolográficas: 1- Fahneaus T, Holjer CD, Early pace makert widdler syndrome Europace. 2003; 5: 739-811. 2- Weir RA, Murphy CA, O'Rouxle B, Petrie CJ, widdler's syndrome: a area cause of implantable cardiovere de fibrillator maffunction. Eur Heart J 2016; 3- Manda R, Pande A, Kahali D. A. rare case of veryearly pacemakert widdler's syndrome. Heart Weers, 2012; 13: 1145-4. Hill, RE, Complications of permanent transversious cardiac pacing: a 14-year review of all transversious pacemakers inserted at one community hospital. Pariog (in Electrophysio), 1987. 10 (2417); p. 564-70. 5-Camacho, C., et al., Recurrent Vividler's syndrome: report of a case. Phorea Cardiovasc Surg. 1995; 110(1); p. 262-71. e- Higgins, SL, et al., Recurrent Widdler's syndrome in anomalizationomy (CD system despites Darron pouch. Pacing Clin Electrophysiol.) 1986;21 (1811); p. 139-2.



Figura 1: Eletrodos agrupados ao redor do gerado



RESUMO DE TEMAS LIVRES | 28º CONGRESSO DA SOCIEDADE MINEIRA DE CARDIOLOGIA

EP071

TAQUICARDIA VENTRICULAR DE VIA DE SAÍDA DO VENTRÍCULO DIREITO EM GESTANTE
ARMANDO FAGUNDES MORATO NETO; LÉLIDA PATRICIA VARGAS GONTIJO; OSMAR D'ALEXANDRIA PITA
BAPTISTA; VICTOR PIMENTEL DE MATOS; VINICIUS COSTA GOMES
HOSPITAI EFÍCIO ROCHO

Arritmias são complicações cardíacas comuns durantea gravidez. Dentre as causas tem-se o aumento do volume intravascular, distensão dos átrios e ventrículos, redução da refratariedade de vias e aumento da frequência cardíaca de repouso. Nas gestantes sem cardionatia estrutural, a TV de via de saída do VD, é uma das mais comuns. Caracteriza-se por episódios curtos de TV não sustentada, com padrão de BRE e eixo inferior ao ECG podendo apresentar palpitações e tonteiras como sintomas. Estresse e exercício fisico são desencadeantes e um padrão de ciclo circadiano pode ser detectado. O prognostico é benigno e raramente degeneram para TV sustentada ou FV. O tratamento visa o término e prevenção de recorrência podendo ser usados; adenosina, varapamil, betabloqueadores, sotalol e amiodarona e nos casos refratários a ablação pode ser uma alternativa. Objetivo: O objetivo do presente trabalho é relatar o caso de uma gestante que se apresentou com taquicardia ventricular devia de saída do VD. Bem como evidenciar os desafios no diagnóstico e tratamento e o desfecho após a instituição da terapeutica. Método: Trata-se de um relato de caso, de uma paciente internada no Hospital Felício Rocho em Belo Horizonte. Foi realizada extensa revisão da litateratura por meio do acesso a sumários de evidência como Uptodate, Dynamed, e artigos de revisão disponíveis em bases como Pubmed, Lilacs, Medline. Descrição de Caso: Gestante de 22 semanas, relatando dispneiae palpitações aos mínimos esforços ha cerca de 1 semana. Após consulta de pré-natal foi aconselhada a procurar avaliação cardiológica. Detectado ao ECG de consultório ritmo sinusal alternando com taquicardia não sustentada de QRS largo com eixo inferior e padrão de BRE. Paciente encontrava-se hemodinamicamente estável com alternância entre ritmo regular e episódios de taquicardia, sem sopros a ausculta cardíaca, aparelho respiratório normal, sem outras alterações. Realizado ECOTT a beira leito com FEVE de 55%, função sistólica biventricular preservada e insuficiência mitral de grau leve. Foi encaminha da ao PA para avaliação. Discutido caso com arritmologia e firmado diagnóstico de TVVSVD, iniciou-se Propranolol e paciente foi encaminhada ao CTI .Manteve-se com arritmia na UTI, tentado controle com Metoprolol também sem sucesso e então optado por iniciar Sotalol 80mg BID. Houve redução importante dos episódios de TVNS, recebendo alta para enfermaria onde apresentou alguns episódios curtos de TV sem sintomas e Sotalol ajustado para 80mg6/6h com resolução da arritmia. Paciente recebeu alta para controle ambulatorial e permanece estável dinicamente, em ritmo sinusal e com boa evolução da gestação Condusão: A Taquicardia Ventricular de Via de Saída do VD ocorre habitualmente em indivíduos sen doença estrutural do coração, como pode ser visto nesse relato de caso. É considerada uma arritmia benigna com bom prognóstico como foi evidenciado nos estudos de acompanhamento. O uso de drogas antiarritmicas pode resultar em uma boa taxa de controle dos episódios. Diante dessas características, e do controle da arritmia obtido com o Sotalol foi optado por seguimento ambulatorial com a alterantiva da ablação por radiofrequência caso ocorra recidiva e refratariedade ao tratamento clínico. Referências Bibliográficas: omorphic ventricular tachy cardiain the absence of apparent structural heart disease. Up to date. Disposon Cacessoem:13/07/18. 2. HARRIS, Louis et al. Ventricular arrhythmias during prepanary. Uptodate. Disposon >> .Acessoem:13/07/18. 2. FIEDMAYOR, Abdel. Treatment Or Crue Of Right Ventricular Outflow Tract Tachy Journal of Atrial Firbillation, June-July, 2014, Vol-7,

Figura 1: ECG basil da paciente fora da arritmia.

Figura 2: aquicardia tricular de ida de VD

EP072

USO BEM SUCEDIDO DO REVERSOR DO DABIGATRANA EM PACIENTE CRÍTICO

VICTOR LUIZ OLIVEIRA PIMENTA DE ARAÚJO, BRUNO ALENCAR FONSECA, DANILO CASTRO PIRES DE ALMEIDA, TATIANA SANTOS VIEIRA, SIMONE DONNARD SANTOS, CARLOS EDUARDO ORNELAS HOSPITAL MATER DEL BH-MG

Nos últimos anos, surgiu uma nova classe de anticoagulantes orais (DOAC), que teve bons resultados de segurança e eficácia quando comparados com a varfarina. Porém, não tinha até então um medicamento reversor em caso de emergência dínica. Objetivo: Trazer dados de mundo real que possam ser comparados com resultados de desfechos dínicos apresentandos no estudo, principalmente no que diz respeito à segurança. Métodos: Trata-se de um relato de caso de ótima relevância clínica, uma vez que temos ainda pouca experiência dínica no uso do Idarucizumab, reversor do Dabigatrana, que é o anticoagulante inibidor direto da trombina. O Dabigatrana é oúnico DOAC que possui reversor aprovado e em uso no momento. O Estudo RE-VERSE AD mostrou que o Idarucizumab, seguro em casos de sangramento em caso de segurentos cardia permanente, com história de síndrome coronariana aguda em dezembro de 2017, tendo sido submetido na ocasião a implantede stent farmacológico em descendente arterior, estando, portanto, em uso de dabigatrana e dopidogrel. Admitido no hospital com quadro dínico de dispnéia, apresentando melhor a após instituição de diurético e controle de frequência cardiaca. Na avaliação inícial, evidenciado também isquemia crítica de membro inferior esquerdo. Submetid o a amputações sequenciais de segmento, com suspensão programada e bem sucedida de dabigatrana 24 horas do procedimento, sempre mantendo dopidogrel. Porém, durante internação, apresentou acidente vascular encefálico cardioembólico e na vigência d

instabilidade hemodinâmica. O idaricizumab reverteu a anticoagulação de forma rápida e completa em 98% dos pacientes, e a reversão se manteve por 24 horas na maioria dos pacientes. Conclusão: O uso do reversor mostrou-se seguro, assim como no estudo, principalmente nesse caso de complexidade aumentada e necessidade de seguimento cirúrgico. Assim como no estudo, idaricizumab reverteu a anti-coagulação de forma rápida e completa. Referências Bibliográficas: 1) Polado, CV et al. Islanuciamab for Dabistran Reversal (Tult Conbra Análys). Nen 31 Med 2017 377-431-441. 2) Polado, CV et al. Debas do vidanciama de Rationale for REVERSE AD: a phase 3 study of idancizumab, a specific reversal agenter dabigation. Thrombit beamos 2015;1141-1928-

REVERSE-AD: Trial Design

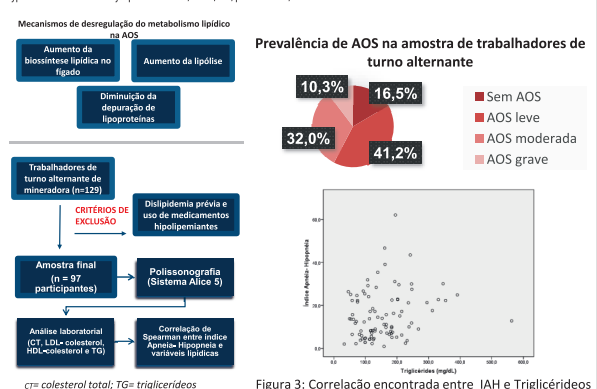
| Section | Section

EP 073

APNEIA OBSTRUTIVA DO SONO, ÍNDICES LIPÍDICOS E RISCO CARDIOVASCULAR EM TRABALHADORES DE TURNO ALTERNANTE DE MINERADORAS

ROCHA, D.O.A.; ATHADEU, B.F.M.; FAJARDO, V.C.; DINIZ, A.P.; PIMENTA, F.A.P.; OLIVEIRA, F.L.P. UNIVERSIDADE FEDERAL DE OURO PRETO (UFOP)

A apneia obstrutiva dosono (AOS) vem sendo associada de forma independente a alterações nos níveis lipídicos. Nesse sentido, a dislipídemia pode constituir um mecanismo pelo qual a AOS aumenta o risco cardiovascular (RCV) (figura1). Objetivos luscou-se analisar a correlação entre o índice Apneia-Hipopneia (IAH) e as variáveis lipídicas-trigítecrideos, HDL-colesterol, LDL-colesterol e colesterol total em trabalhadores de turno alternante . Método: (figura 2), Resultados: A média de idade foi de 36,87 anos. Correlação significativa foi encontrada entre o IAH e o TG (p = 0,045), Não foram encontradas correlações significativas entre o IAH e as outras variáveis lipídicas (figura 3), Conclusão: Correlação significativa foi encontra da entre o IAH e os níveis de TG, mostrando que nessa população a AOS está associada a alterações lipídicas, sa quais podem ser um mecanismo de aumento do RCV nesses indivíduos. Por tal associação ainda ser conflitante na literatura, mais estudos são necessários para sua elucidação. No entanto, o estabelecimento de dislipídemia em pacientes com AOS é um processo multifatorial, que pode ser afetado pela gravidade da AOS e por fatores externos a síndrome. Nesse sentido, é compreensível que nem todos os parâmetros lipídicos se encontrem alterados e que o presente estudo possua limitações na medida em que não há o ajuste para tais variávels. Referências Bibliogáficas: DRAGER, Luciano F, JUN, Jonathan C. POLOTSKY Vsevolod Y. Metabolic consequences of intermittent hypoxia: relevance to obstructives lesepapea, Best practice 8 research Clinical endocrinology 8 metabolis, Journal of Clinical Seep Medicine, v.10, n.05, p.475-489, 2011, TREZPIZR, Wojdech et al. Independent associato between noctumal intermittent hypoxia: metabolic dysipledemia en meta-regressio mandos planyomen and memo en lorgi profile ra meta-regressio andonalisis. Journal of Clinical Seep Medicine, v.10, n.05, p.475-489, 2011, TREZPIZR, Wojdech et al. Independent associato between noctumal intermittent hypoxia: relevance to obstr



EP074

DOENÇA CORONÁRIA TRIARTERIAL GRAVE ASSOCIADO À OCLUSÃO BILATERAL DE ARTÉRIAS SUBCLÁVIAS: DIAGNÓSTICOS DIFERENCIAIS

RAZERA, RJ¹; JÁCOME, BZ²; SILVA, CN¹; SILVA, LCT¹; OLIVEIRA, RM¹; O'CONNELL, JÍ

(1) FACULDADE DE MEDICINA DA UNIVERSIDADE FEDERAL DE UBERLÂNDIA (FAMED-UFU) (2)SERVIÇO DE CARDIOLOGIA DA FACULDADE DE MEDICINA DA UNIVERSIDADE FEDERAL DE UBERLÂNDIA (FAMED-UFU)

Temos identificado um aumento significativo do número de pacientes jovens apresentando doença arterial coronária (DAC). Em geral, a maioria dos pacientes jovens que manifestam a DAC são portadores da forma clássica da doença: a aterosderótica. Entretanto, em indivíduos com menos de 40 anos, ou quando associada a odusões de Aorta ou seus ramos principais, outras etiologias de DAC devem ser suspeitadas. O principal diagnóstico diferencial deve ser feito com a Arterite de Takayasu (Atk). Relato de Caso: Masculino, 39 anos, tabagista, HDL baixo, obeso grau I, sem outros fatores de risco para DAC. Vinha apresentando quadro de angina progressiva há 10 meses e internou em pronto socorro por IAM sem supra-desnivelamento do segmento ST. Ao exame físico: pressão arterial inaudível em membros superiores e redução significativa de pulsos braquiais e radiais. Realizado cateterismo cardíaco: DAC triarterial - oclusão crônica de descendente anterior, estenoses importantes em circunflexa e múltiplas estenoses em coronária direita (que fornecia colaterais moderadas para DA). Observado hipocinesia ântero-apical e inferior e função sistólica do ventrículo esquerdo deprimida em grau leve. Feito tratamento dínico otimizado para DAC e indicado o tratamento de revascularização cirúrgica do miocárdio (CRM), mas paciente recusou, seguindo tratamento medicamentoso. Atualmente, encontra-se em Classe Funcional I, seis meses após internação hospitalar. Discussão e Conclusão: O diagnóstico diferencial entre DAC aterosclerótica e outras etiologias é importante pois pode alterar o tratamento medicamentoso (como a adição de imuno-mediadores na ATk) e também alterar a opção de tratamento intervencionista a ser sugerido (uma vez que a ocorrência de reestenoses de stents e perda de enxertos é mais freguente nestes pacientes). O achado frequente de odusão de artéria subclávia na Atk também interfere na decisão sobre a melhor terapia a ser oferecida. No caso em questão, o paciente apresentava fatores de risco importantes para a ocorrência de aterosclerose coronária e sistêmica em jovens, mas também critérios para o diagnóstico de ATk, segundo a classificação do American College of Rheumatology (ACR) como, por exemplo, idade menor que 40 anos, diminuição dos pulsos braquiais, diferença de 10 mmHg na PA sistólica de membros superiores, sopros em subdávias e aorta e alterações nos arcos principais da aorta. Assim, a ausência de acometimento da Aorta nos conduziu ao diagnóstico de DAC secundário à aterosclerose coronária. Ainda, segundo outros critérios bastante utilizado para esta diferenciação (os de Kiessinger), o não acometimento das carótidas e o aspecto angiográfico das lesões coronárias também são mais sugestivos de aterosclerose do que de ATK. Infelizmente, a biópsia arterial (que definiria o diagnóstico definitivo) não pôde ser realizada pela recusa do paciente à CRM. Referências Bibliográficas: ABBAS, Abul K. FAUSTO, Nebson; KUMAR, Vinay; COPRAN, Rama's; ASTER, Jon; CROBBN, Stanley L. Robbins e Cotra 8. ed. Rio de Janeiro: Elsevier, 2010 GOLDMAN L., AUSELLO D. Ceci: Medicina. 23° ed. Rio de Janeiro: El Bandão et al. Arteite de Elakyasus appectos dínicos e terapleuticos em 36 pacientes. J. vasc. bras. Jonlin 5449. http://dx.doi.org/10.1590/S1677-54492008000200006.









RESUMO DE TEMAS LIVRES | 28º CONGRESSO DA SOCIEDADE MINEIRA DE CARDIOLOGIA



FP075

DOFNCA ISQUÊMICA DO CORAÇÃO EM MINAS GERAIS: INTERNAÇÕES, GASTOS PÚBLICOS E TAXA DE MORTALIDADE EM 2017 E 2018

ROLDI, A. E.; ARRUDA, B. C. A. P.; FARIA, C. S. P.; MENDES, D. G.; MACIEL, E. B. P.; ROQUE, E. L...; COSTA, J H. M.2; FARIA, L. S. P3; TAVARES, L. B. S.1

(1) ACADÊMICAS DO INSTITUTO METROPOLITANO DE ENSINO SUPERIOR (IMES), IPATINGA/MG; (2) MÉDICA DO HOSPITAL MÁRCIO CUNHA, IPATINGA/MG; (3) ACADÊMICA DO CENTRO UNIVERSITÁRIO DE VOLTA REDONDA, VOLTA REDONDA/RI

O envelhecimento populacional progressivo resulta em aumento da prevalência de doenças crônicas, entre as quais as doenças cardiovasculares (DCV) ocupam lugar de destaque (MORAES; FREITAS, 2012). Estas são responsáveis por 18 milhões de mortes ao ano no mundo, sendo as doenças isquêmicas do coração encarregado por quase dois terços desses óbitos e por, aproximadamente, 22% das mortes por todas a: causas (INCA, 2003). A natureza dos gastos desse grupo de doenças varia por região e unidade da federação, nos quais os valores são majores em países em desenvolvimento, incluindo o Brasil (INCA 2003). A morbidade por doenças isquêmicas do coração também representa uma grande carga para o país. De 1993 a 1997, as internações por essas doenças representaram 1,0% de todas as internações e 3,3% dos gastos do SUS (INCA,2003). Objetivo: O presente trabalho tem como objetivo analisar os dados relativos : doença isquêmica do coração no estado de Minas Gerais, em 2017 e 2018. Método: Estudo transversal descritivo e retrospectivo construído através de dados obtidos na plataforma DATASUS e Tabnet. Foram utilizadas as variáveis: número de internações, valor total e taxa de mortalidade, as quais foram analisada: no ano de 2017 e 2018, nas regiões brasileiras e nas unidades da federação, Resultado: Em 2017, em Mina: Gerais, 19.032 pacientes foram internados devido a doenças isquémicas do coração, correspondendo a 19% de toda a região Sudeste. Essas admissões custaram para o governo o total 77.820.751,88 reais, cerca de 4088,9 por paciente. A taxa de mortalidade para este ano foi de 2,19, sendo a Segunda menor taxa do estado. Em 2018, os dados se limitaram até março. Até este mês, já foram internados 4760 indivíduos, com uma taxa de mortalidade de 2,08 e custando para a gestão 19,908,085,78 eais, o que atinge 4.182,37 reais por doente. Conclusão: Conclui-se que a assistência médica, bem como das medidas de prevenção primária, contribuí como variáveis explicativas para a diminuição da mortalidade e, consequentemente com o declínio dos gastos públicos investido no tratamento das doenças isquémica do coração. Portanto cabe ao médico incentivar o paciente a ter bons hábitos alimentar e a se exercitar, para uma melho vade ao mentro mentrol o paciente a et pors nantos alimente e a se executar, para alimento que judalidade de vida e, quando necessário, prescrever medicamentos que previnam o desenvolvimento dessas doenças, serienias isbilográficas: INSTITUTO DO CÁNCER, Denenas Isquémicas do Congão, 2003, MORAS, S. A.; FREITAS, I. C. M. Ischemic heart disease and correlatesin adults from Ribeirão Preto, Brazil. Rev Saúde Pública, n.46,v.4.p.591-601, SãoPaulo, 2012.

FP076

ECTASIAS E ANFURISMAS DIFUSOS EM PACIENTE COM INFARTO AGUDO DO MIOCÁRDIO: RELATO DE CASO OLIVEIRA, R.A.S. / SILVA, M.V., SILVA, P.A., SILVA, M.V.P., CAMPOS, H.A.B., VIEIRA, P.D.A

HOSPITAL IBIAPABA CEBAMS: FACULDADE DE MEDICINA DE BARBACENA - FAME/FUNJOBE

Ectasias e aneurismas de artérias coronárias constituem dilatações locais ou difusas do lúmen vascular em 1,5x-2x o diâmetro normal do vaso (ectasias) ou acima de 2x (aneurismas). São anomalias raras ,com prevalência estimada em 0,3-5,3% das cineangiocoronariografias. Quanto à sua extensão topográfica, podem ser subcategorizados em 4 tipos: tipo I, ectasia difusa de duas ou três artérias; tipo II, doença difusa em uma artéria e localizada em outra; tipo III, ectasia difusa de uma artéria apenas; tipo IV, lesões ectásicas localizadas ou segmentares. Podem ser vistos geralmente em associação à aterosclerose, doença de Kawasaki, Lúpuse HIV. A localização mais comum é na coronária direita e em seus ramos. As ectasias da artéria coronária estão associadas aos fatores de risco dássicos para doenças cardiovasculares, exceto diabetes. Este trabalho tem como objetivo relatar o caso clínico de um paciente com infarto agudo do miocárdio com supra desnive amento do segmento SI de provável causa embólica com achado inustitado coronariográfico de ectasias e aneurismas difusos em arterias coronárias direita e esquerda. Descrição do Caso: Paciente do sexo masculino, 76 anos, admitido com quadro de precordialgia anginosa com 6 horas de evolução, ex tabagista, portador de hipertensão arterial sistêmica e de hipotrieoidismo. Ao exame físico da admissão encontrava-se alerta, hidratado, corado, pressão arterial de 100x60mmHg, afebril, eupneico, ritmo cardiaco regular em 2 tempos, bulhas normofonéticas, frequência cardiaca de 88bpm, ausência de edemas, classificação de Killip1. Dosagem sérica de CK e CKMB, com valores de 975ng/mL el 35ng/mL, respectivamente. Eletrocardiograma da admissão: presença de supra desnivelamento do segmento ST em parede anterior e onda T apiculada simétrica. Cineangiocoronariografia: coronária direita difusamente ectasiada. Artéria descendente anterior ectasiada em toda sua extensão com pequenos aneurismas fusiformes proximal e medial, oduída na porção médio distal com aspecto de trombo. Primeiro ramo diagonal aneurismático proximale e inecua, proximal. Artéria circunflexa ectásica com "Kinking" medial. Primeiro ramo marginal esquerdo com aneurisma fusiforme proximal, sem lesões obstrutivas. Acinesia apical. Discussão: As ectasias coronarianas podem ser consideradas uma forma exagerada de remodelamento arterial, uma vez que a degradação enzimática da matriz extra celular da camada média parece ser um processo patológico fundamental nessa condição. São ua matur extra cerular da camada media parece ser um processo parologico finadamenta nessa dumigazo, sao possuidoras de elevado potencial de complicações, bem como de implicações dinicas diretas, visto que têm sido associadas às manifestações clínicas de doenças arteriais coronarianas (DAC), como a angina estável e as síndromes coronarianas agudas. A angiografia coronariana é o padrão ouro no diagnóstico de aneurismas coronarianos, fornecendo informações sobre sua forma, localização, diâmetro e extensão. Os tratamentos possíveis consistem em tratamento dínico, implante de stent revestido ou ressecção cirúrgica. Entretanto, o melhor tratamento ainda é controverso e depende da situação dínica particular. A terapia medicamentosa conservadora consiste em tentativas de prevenir complicações tromboembólicas por meio da administração de conservoir corrosa en mentavas en prevent companyos o informados de la filmanco antiplaquetários e anticoagulantes. O manejo cirúrgico é apropriado em pacientes sintomáticos que têm DAC obstrutiva, riscos de ruptura ou evidências de embolização que possam levar à isquemia miocárdica. O paciente em questão foi submetido à angioplastia primária com implante de um stent convencional em Artéria Descendente en quesado no sobrietudo antiquadas de minimata com implante de um setto conventidade en Arteira Descendente Anterior. Conclusão: As ectasias coronarianas são achados incomuns e frequentemente acidentais. O interessante deste caso consiste no achado incomum coronariográfico de artérias coronarianas com ectasias e aneurismas diffusos em paciente portador de síndrome coronaria na aguda com indicação de angioplastia primária. O manejo ideal das ectasias e aneurismas das coronárias ainda não é bem estabelecido, e por isso exige primeira. O mieriejo trede udo Secusios e aniecutistios das conformas aniua in ale de entre sabarbecturo, e por isso ekaje que os pacientes tenham tratamento individualizado, de acordo com a localização e o contexto fícilico, Refereiado Bibliográficas: 1. Antoniadis, AP. Chatzicisi/S, et al. Pathogenetic mechanisms of coronar yectasia, Intl Cardiol. 2008. 2. Ramos, SC, et al. CoronaryArteryAneurysms: AnUpdate, Novel Stategleish Ischemichean Disease, 2012 p. Ch. 21. 3. Bermúdez, EP, Palop, RL; et al. Coronary Ectasia: Prevalence, and Clinical and Angiographic Characteristics. Rev Esç Cardiol Englés, 2003





EP 077

INFARTO AGUDO DO MIOCÁRDIO SECUNDÁRIO A EMBOLIZAÇÃO PARA ARTÉRIAS CORONÁRIAS PROVENIENTES DE TROMBO ASSOCIADO A ANEURISMA APICAL DE VENTRÍCULO ESQUERDO RAZERA, RI': SILVA, CN': FERREIRA, IMM': SILVA, LCT': O'CONNELL, JI'

(1) FACULDADE DE MEDICINA DA UNIVERSIDADE FEDERAL DE UBERLÂNDIA (FAMED-UFU) (2) SERVIÇO DE CARDIOLOGIA DA FACULDADE DE MEDICINA DA UNIVERSIDADE FEDERAL DE UBERLÂNDIA

A embolia coronariana é causa incomum de infartoagudo do miocárdio. Os êmbolos coronarianos podem ser provenientes: do átrio esquerdo, do ventrículo esquerdo, das válvulas cardíacas, de material protético intra-cardíaco, de veias periféricas (nos êmbolos paradoxais) e da própria artéria coronária. Outros casos de embolia coronária podem estar associados a uso irregular de anticoagulantes, tabagismo, uso de contraceptivos orais e outros estados pró-coaqulantes. Relato de Caso: Masculino, 67 anos, portador de miocardiopatia chagásica e aneurisma apical com trombo, chegou ao Pronto Socorro com quadro de dor precordial típica, associada à supra-desnivelamento do segmento ST em parede inferior. Cateterismo cardíaco: imagem sugestiva de trombo coronário associado à ausência de fluxo em artéria coronária direita (ACD); imagem sugestiva de trombo em segmento proximal de artéria descendente anterior (ADA), com fluxo coronariano normal. Realizado angioplastia para segmento distal de ACD com implante de stent, com obtenção de fluxo coronário TIMI II distal. Mantidos AAS 100 mg/dia, Clopidogrel 75 mg/dia e Enoxaparina 1 mg/kg 12/12 horas). Repetido coronariografia após uma semana: melhora importante do fluxo para ACD e resolução da imagem sugestiva de trombo para ADA proximal. Paciente evoluju assintomático e recebeu alta com uso de Rivaroxabana (15 mg/dia) associado a Clopidogrel (75 mg/dia). Encontra-se assintomático, em tratamento dínico otimizado, um ano após a embolia coronariana. Conclusão: Ouando o êmbolo leva à oclusão total do vaso, o uso de dispositivos de aspiração do trombo, de trombólise mecânica (angioplastia) ou química (trombolíticos) do vaso devem ser tentados. Se não há oclusão total e o paciente se mantiver clinicamente estável, pode-se manter o uso de antiagregantes, anticoagulantes, anti-isquêmicos e realizar o reestudo da coronária dentro de alguns dias. No caso em questão, foram necessárias tanto a angioplastia por balão imediata para a CD, quanto o manejo farmacológico para DA, que permitiu regressão importante do trombo e desaparecimento da estenose naquele vaso, uma semana após o uso do tratamento medicamentoso. Referências Bibliográficas: CHARLES, R. G.; EFSTEIN, E. J. Diagnosis of coronary embolism: a review. Journal of the Royal Society of Medicine, v. 76, n. 10, p. 863, 1983, GODOY, Moacir Fernandes et al., Embolia mitigla simultánea das artérias coronárias direita esquenda. Aquiños Raseleiros de Cardiologia, v. 84, n. 3, 2005. GOLDMANL, p. 1812. LID C. Decil: Medicina, 234 ed., Roi de Laneiro: Bleavier. 2009. Vol I el II. CREA, Filippo, NICCOLI, Giampaolo. Myocardial infarction with no obstructive coronary atherosclerosis. UptoDate, Jun. 2017.









EP078

PERFIL GLICÊMICO E APNEIA DO SONO EM TRABALHADORES DE TURNO DE MINERADORA

ATHADEU, B. F. M. / ROCHA, D. O. A.: FAJARDO, V. C.: NASCIMENTO NETO, R. A.: PIMENTA, F. A.: DINIZ, A. P. UNIVERSIDADE FEDERA DE OURO PRETO - UFOP

Os distúrbios respiratórios relacionados ao sono são prevalentes, em especial a Apneia Obstrutiva do Sono (AOS) que vem sendo relacionada com aumento na prevalência de diabetes mellitus (DM) tipo 2, constituindo um possível fator de risco cardiovascular (RCV). Objetivo: Investigar a correlação entre o Índice Apneia-Hipopneia (IAH) e as variáveis glicêmicas em trabalhadores de turno alternante. Método Estudo transversal; A polissonografia foi realizada com a utilização do sistema Alice 5. A AOS foi caracterizada pelo IAH de acordo com a Sociedade Americana de Medicina do Sono e as variáveis

Sem AOS



13,6

42.4

AOS moderada	39	31,2			
AOS grave	16	12,8			
Total	125	100			
Gráficos de correla hemogl	ção do IAH com a g obina glicada e HOI		ım,		
	1 1 1 1 1 1 1 1 1 1 1 1 1 1 1 1 1 1 1		di ^v		

Prevalência de AOS em trabalhadores de turno alternante de mineradora

17

Piora do controle glicêmico;

glicêmicas pela Sociedade Brasileira de Diabetes. A glicose de jejum foi avaliada pelo método enzimático colorimétrico, a hemoglobina glicada (HbA1c) pelo método de imunoturbidimetria, a insulina pelo método de quimioluminescência e o modelo homeostático para resistência à insulina (HOMA-IR) a partir da equação de Matthews et al (1985). Aplicou-se o teste de Correlação de Spearman (R), após teste de Kolmogorov-Smirnov, considerando p<0,05 Resultados: A média de idade foi de 37,3 anos. Não foram encontradas correlações significativas entre o IAH e a glicemia de jejum, HbA1c ou o HOMA-IR. Na literatura são encontrados estudos que relacionam a AOS com a prevalência de DM tipo 2 em adultos, com percentual variando de 10-48%, relação que aumenta com a severidade da apneia. Entretanto, tal associação não foi encontrada nesse estudo com trabalhadores de turno alternante. Sabe-se que a DM tipo 2 é uma doença multifatorial, influenciada pela obesidade, dislipidemia, hipertensão arterial,

sedentarismo e outros fatores, o que poderia explicar a ivergência de resultados. A ausência de ajuste para tais riáveis e o caráter transversal da análise constituem limitações do estudo em questão. Conclusão: Devido aos conflitos na literatura e como a relação entre o perfil

glicêmico e a AOS ainda não é completamente elucidada, são necessários mais estudos que avaliem a influência de distúrbios do

necessarios mais escucios que avaleira a initualeria de disturnios do sono com perfil glicêmico em trabalhadores de turnos alternantes.
Referências Bibliográficas: JORDAN, Amy S.; MCSHARRY, David G.; MALHOTRA, Mal. Adult obstructive sleep angone. The Lancet. x. 381, p. 9918, p. 736–740.

2014. DRAGER, Luciano E; JUN, Jonathan C.; POLOTSKY, Vevelod Y, Metabolic consequences of internition typosoxis relevance to obstructive sleep angone. Informatica se research Clinical endocrinology & metabolicim. v. 24, n. 5, p. ad 343–851, 2010; WST. Sophie o. N. INCOLL, Debby I; STADAUNS, Johns Prevalence of obstructive sleep apnoea in men with type 2 diabetes. Thorax, v. 61, n. 11, p. 93–959, 2006. Prevalence of obstructive sle 61, n. 11, p. 945-950, 2006.



RESUMO DE TEMAS LIVRES | 28º CONGRESSO DA SOCIEDADE MINEIRA DE CARDIOLOGIA

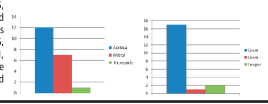
FP 079

CARACTERIZAÇÃO EPIDEMIOLÓGICA DE 20 PACIENTES COM ENDOCARDITE INFECCIOSA DIAGNOSTICADOS EM UM HOSPITAL GERAL TERCIÁRIO DE BELO HORIZONTE

FERNANDA R. ARAUJO, KAMILA S.M. CHAMON, CARLA M. FREITAS, JÉSSICA M.C. SOUSA, GUSTAVO F WERNER, ESTÊVÃO LANNA FIGUEIREDO

HOSPITAL LIFECENTER - BELO HORIZONTE MG

A endocardite infecciosa (FI), é uma doença de alta morbidade e letalidade. Trata-se de uma infecção bacteriana ou fúngica da parede interna do coração ou de suas valvas. O seu prognóstico depende de un diagnóstico rápido, tratamento efetivo e pronto reconhecimento de suas complicações. Objetivo: Comparar e descrever as características clinicas e epidemiológicas dos pacientes diagnosticados com EI em nosso serviço no período de janeiro/2017 a maio/2018. Material e Métodos: Trata-se de uma coorte retrospectiva, obtida pela análise de prontuários dos pacientes que foram diagnosticados com El em nosso servico entre janeiro/2017 e maio/2018. Este trabalho descreve as características epidemiológicas destes pacientes. Foram realizadas pesquisas nas bases de dados Pubmed e Scielo. Resultados: No período citado, 20 pacientes foram diagnosticados com El em nosso serviço. O gênero mais acometido foi o masculino com doze pacientes (60% dos casos). Quanto à idade, a média foi de 64 ± 19,88 anos. treze (65%) tinham mais de 60 anos e quatro (20%) estavam abaixo dos 40 anos de idade. A doenca concomitante mais prevalente foi a hipertensão arterial sistêmica (HAS), presente em oito (40%) dos pacientes. Além disso, três (15%) pacientes com El apresentavam um tipo de câncer (CA), sendo eles: Neoplasia de mama, Linfoma difuso de grandes células B e Leucemia de células pilosas. As valvas mais acometidas foram a aórtica (12 casos), e a mitral (7 casos), representando 60% e 35% respectivamente. Apenas um desses pacientes apresentou El localizada na valva tricúspide. Não houve acometimento da valva pulmonar nesta série de casos. Os microrganismos responsáveis pela El, isolados nas culturas, foram diversificados. As bactérias GRAM positivas atingiram 17 (85%) dos pacientes, enquanto as GRAM negativas em apenas 01 caso (5%). Dois pacientes (10%) apresentaram EI fúngica e ambos os casos ocorreram em pacientes com câncer, imunossuprimidos e em quimioterapia. Os pacientes tiveram evoluções satisfatória e foram tratados com antimicrobianos. Dezessete (85%) receberam o tratamento clínico exclusivo. Apenas três (15%) tiveram que ser submetidos a cirurgia de troca valvar; as duas fúngicas e a da valva tricúspide (causada por estafilococo relacionado a cateter venoso), que associaramse a importante disfunção valvar. Os pacientes operados recuperaram a função valvar. Não ocorreram óbitos intra-hospitalares. Discussão e Condusão: O perfil geral dos pacientes com El no nosso serviço assemelha-se ao da literatura médica. As valvas do lado esquerdo são as mais frequentementa acometidas, as bactérias GRAM positivas sendo os principais agentes etiológicos, as infecções fúngicas normalmente cursam com destruição valvar e requerem tratamento cirúrgico. Os dados demonstram, também, que, na maioria das vezes, o tratamento clínico adequado é suficiente. A suspeita clínica (fatores também, que, na maioría das vezes, o tratamento clínico adequado é suficiente. A suspeita clínica (fatores predisponentes, sinaise e sintomas), o pronto diagnóstico e o tratamento precoce são fundamentais para se prevenir as complicações. Referenas Bibliográficas: 1. 2015 ESC Guidelines for the management of infective endocarditis: The Task Force for the Management of Infective Endocarditis of the European Society of Cardiology (ESC), Endosed by: European Association for Cardio-Intractic Surgery (EACTS), the European Association for Nuclear Medicine (EAMM). Eur Heart Journal, 2015;36(44):3075-3128, https://doi.org/10.1093/european/association for Cardio-Intractic Surgery (EACTS), the European Association for Cardi



EP 081

DUPLA DISFUNÇÃO VALVAR - DISFUNÇÃO DE BIOPRÓTESE MITRAL-RELATO DE CASO

RIBEIRO, NC; MOURA, RR; MARTINS, MF; FERREIRA, FC; FERREIRA, LA; ALVES, EE.

HOSPITAL IBIAPABA - CEBAMS

A dupla disfunção valvar geralmente ocorre com predomínio de uma das lesões, mas a gravidade pode ser semelhante. As causas assemelham-se as lesões isoladas, sendo as principais etiologias estruturais e infecciosas. A evolução da doença promove limitações nas atividades do paciente e algumas vezes pode ser fatal, Relato de Caso, L.M.N., feminino, 47 anos, histórico de troca valvar há 15anos, cirrose hepática por etilismo e hipertensão arterial. Iniciou com queixas de palpitação e edema de membros inferiores, mal estar geral, dispneia aos médios esforços e desmaios; com evolução de seis meses e piora nas últimas semanas. Admitida no serviço de urgência em Glasgow 15, caquética, hipotensa, afebril dispneica, em anasarca e sinais de hepatopatia crônica. Exames laboratoriais sem leucocitose, enzimas hepáticas elevadas, discreta alteração de função renal. ECG em ritmo em FA com baixa resposta ventricular (35 batimentos por minuto); sendo realizado marca passo transvenoso. Ecocardiograma evidenciou espessamento de prótese biológica mitral, gradiente médio de 11mmHg e regurgitação tricúspide importante. PSAP estimada em 55mmHg. A cineangiocoronariografia direita, esquerda e ventriculografia esquerda demonstrou ateromatose coronária discreta, dupla disfunção de bioprótese mitral com estenose importante e insuficiência leve. Insuficiência tricúspide moderada a importante. VD com hipocinesia difusa moderada a importante. VE com hipocinesia ântero-apicalleve. Admitidano CTI em classe funcional NYHAIV, hipotensa, em máscara de alto fluxo. Avaliada pelo Team Heart do hospital com indicação de dupla troca valvar.Euroscorell: 39.61%. STSRiskMorbidityor Mortality37.23%. Realizado procedimento de troca valvar mitral e tricúspide. Após alta médica a paciente mantém acompanhamento no ambulatório de cardiologia sem novas queixas. Conclusão: Alterações na pressão do átrio esquerdo podem provocar hipertensão pulmonar, favorecendo a hipertrofia, dilatação e falência do ventrículo direito; culminando com insuficiência tricúspide. As disfunções estruturais secundárias a sobrecarga atrial de volume, pressão e fibrose; alteram as propriedades eletrofisiológicasdo átrio esquerdo determinando afibrilação atrial. A discussão de casos pelo Team Heart setor na fundamental para o gerenciamento de pacientes com doença cardíaca, estabelecendo os pacientes são deGlyVels para intervenção com maior sucesso. Rederincias Bibliográficas: Devir (E. Sarelle Wisenbaugh T. Canije St. Obstruction of mechanical valveprosteses clinical aspects and surgical management. Jam Coll Cardiol 1991; 17: 646-650, Myken PS, Caidah N, Larsson Mechanical versus biological valve prostèses: acte-year comprison regarding function and quality of life, and Thorac Surgil 1995; 605-447.

FP 080

DOENCA CARDIACA CARCINOIDE

KAROLINE ERFIRE KOSAC: IIÍNIA MATA TAVARES PEREIRA DO NASCIMENTO: MARINA REZENDE BARATA; ANA LUIZA SOBREIRA SENA; DÉBORA CRISTOFORIDIS TEIXEIRA.

SANTA CASA DE MISERICÓRDIA DE BELO HORIZONTE.

A síndrome carcinoide é uma malignidade neuroendócrina que acomete principalmente trato gastrointestinal, brônquios e gônadas. A doença cardíaca carcinoide é rara e acomete 1,2-2,1/100.000 habitantes por ano. Ocorre, obrigatoriamente após invasão hepática, uma vez que as metástases hepáticas promovem a liberação de substâncias vasoativas que atingem o coração. Trata-se de uma doença de curso prolongado, acometendo pacientes entre 50-70 anos e caracteriza-se belo acometimento principalmente das valvas tricúspide e pulmonar, sendo o depósito valvar e de endocárdio de placas de fibrose um sinal patognomônico. Os sintomas clínicos estão relacionados ao acometimento valvar de coração direito, principalmente, ocasionando fadiga e dispneia, além de possível edema, ascite e caquexia cardíaca. Descrição do Caso: Paciente S.S.G., sexo feminino, 69 anos, admitida com quadro de dor abdominal difusa, hiporexia e constipação intestinal. Colonoscopia previa evidenciava pólipos em ceco, cólons ascendente e transverso, sigmoide e reto. Ultrassom de abdome durante internação evidenciou ascite moderada/acentuada na pelve. Tomografias de tórax e abdome evidenciava estrias fibroelásticas e espessamento de septos interlobulares nos lobos pulmonares inferiores; ascite e nódulos heterogêneos esparsos no fígado. Intercorreu com quadro de hipotensão, sudorese e dispneia em repouso, sendo realizada transferência para unidade de terapia intensiva. Ecocardiograma transtorácico evidenciou FEVE 51%, refluxo tricúspide e pulmonar muito importantes (espessamento e retração dos folhetos valvulares), aumento importante de câmaras direitas e disfunção de ventrículo direito. Apesar de proposta de valvoplastia, paciente intercorreu com instabilidade dinica. Hipótese Diagnóstica: Câncer de cólon? Endocardite? Doença cardíaca carcinoide? Conduta Adotada: Optado pela realização de biopsia de lesões hepáticas. Após confirmação diagnostica de doença cardíaca carcinoide, prescrito medicações para otimização de tratamento para insuficiência cardíaca direita análogo de somatostatina - octreotide. Condusão: A doença cardíaca carcinoide caracteriza-se pelo acometimento cardíaco da síndrome carcinoide, ocasionando inflamação e deposição de tecido fibrótico principalmente no endocárdio das cúspides valvares, comprometendo a funcionalidade destas. Como consequência, ocorre insuficiência das respectivascâmaras cardíacas. A suspeita diagnostica se dá através da historia clínica, associada a confirmação do tumor primário, avaliação ecocardiográfica e dosagem urinaria de ácido 5hidroxi-indol- acético. O tratamento é baseado na otimização da insuficiência de câmaras direitas e na prescrição de análogos de somatostatina, para redução da secreção tumoral de peptídeos vasoativos que provocam a síndrome carcinoide.

Tratamento intervencionista ou cirúrgico dev ser considerado. Referências Bibliográficas: 1. Pellikia B tajik Al, Manoflevia BK, et al. Carcinoló heart disease. Cilinicia ar echocardiographic spectrum in 74 patients. Circulative 1993/87/1186—72. A Bessan IMO, Alman H, wangberg B, et e 1993/87/1186—72. A Bessan IMO, Alman H, wangberg B, et surgi 1993/167/388—73. Westberg G, wangberg H, patients with midg surgi 1993/167/388—73. Westberg G, wangberg H, patients with midg carcinoid syndrome. Br J surg 2001/8/8/865–82. 4. Strickman M corsional syndrome. Br J surgi 2001/8/8/865–82. 4. Strickman M corsional syndrome. Br J surgi 2001/8/8/865–82. 4. Strickman M corsional syndrome. Br J surgi 2001/8/8/865–82. 4. Strickman M corsional heart disease a clinicip pathologic and therapeutic update. Curr prob cardiol 1982/6:1-142. Tratamento intervencionista ou cirúrgico deve





Cono∎y HM, et al. Carcinoid heart disease. Uptodate 2018.

EP082

ENDOCARDITE INFECCIOSA DE VALVA MITRAL NATIVA, COMPLICADA POR ABSCESSO CEREBRAL RELATO DE CASO

REIS. L.J.A.: PINTO.L.M.A

HOSPITAL UNIVERSITÁRIO CIÊNCIAS MÉDICAS-FELUMA

A Endocardite Infecciosa (EI) é uma afecção geralmente bacteriana, da superfície endocárdica do coração, que afeta principalmente as valvas cardíacas protéticas. Doença grave com alta incidência e morbimortalidade, sendo mais comum em homens de meia-idade, idosos, e em pacientes com defeitos cardíacos congênitos ou com cardiopatia reumática. Dentre os vários agentes etiológicos, Streptococcus viridans e Staphylococos aureus estão entre os principais. A doença se caracteriza pela presença de vegetações contendo fibrina, células inflamatórias e microrganismos na superfície endocárdica do coração. Essas vegetações podem gerar varias complicações sistêmicas como embolizações por desprendimento de fragmentos, Insuficiência Cardíaca por falha de mecanismo valvar esquerdo, reacões imunológicas pelo aumento de complexos imunes circulantes e extensão perivalvar da infecção. O diagnóstico da El geralmente depende da associação entre uma síndrome infecciosa e envolvimento endocárdico recente, sendo recomendado desde 2000 o uso dos Critérios de Duke Modificados, que se baseiam em achados clínicos, ecocardiográficos e biológicos. O uso de antibióticos por tempo prolongado guiado por hemoculturas é pedra fundamental para o tratamento dessa enfermidade, sendo a indicação e o momento cirúrgico um importante fator no sucesso terapêutico. O objetivo deste relato de caso é reforçar a gravidade da doença e a urgência na realização do diagnóstico e tratamento dessa entidade, com indicação e momento cirúrgico correto. Descrição do Caso: Homem, 48 anos, admitido com quadro de dor abdominal em fossa ilíaca direita, febre não termometrada, icterícia, náuseas e vômitos. Evolui com febre persistente, dor abdominal importante, calafrios, piora da icterícia e alteração do nível de consciência, com periodos de confusão mental. Propedêutica abdominal sem alterações. Hemoculturas positivas para Staphylococcus aureus. Realizado ecocardiograma transtorácico que evidenciou valva mitral com espessamento leve da porção distal, medindo cerca de 0.8cm, presença de estrutura filamentar de aspecto algodonoso sugestivo de vegetação e regurgitação moderado-importante. Tomografia de crânio revelou múltiplos abscessos cerebrais (figura 1). Hipótese Diagnóstica: Endocardite infecciosa de acordo com os Critérios de Duke Modificados complicada com embolização cerebral. Conduta: Antibioticoterapia prolongada endovenosa guiada por cultura. Paciente apresentou boa evolução clínica, porém com manutenção de febre. Optado por troca valvar mitral biológica e antibicoticotrapia prolongada sem necessidade de drenagem do abscesso cerebral. Conclusão: A Endocardite Infecciosa é uma doença grave com um perfil variável e dinâmico de apresentação clínica. Por essa razão seu pronto reconhecimento permite tratamento precoce com redução da mortalidade e morbidade. Importante ressaltar que muitas vezes a doença se apresenta já na presença de complicações o que torna a mesma de mais difícil manejo. O caso relatado é relevante devido a



que torma a mesma de mais difícil manejo. O caso relatado é relevante devido a forma complicada de apresentação e a necessidade de terapia cirúrgica, que até o momento ainda é um ponto muito discutido em estudos e diretizes, Rederências Bibliográficas : I.GOLDMANL; AUSELIO, D. Cecil: Tratado de Medicina Interna. In: CHAMBERS, H.E., Endocardiei refeciosa, 22º Edicino, Rio de Janeiro : ELESTER, 2005. Capa 10. 2, 3QUELRA F.A. et al. Endocardite Mural de Airio Superdo Complicado por Abscesso Gerebra (Relato de Caso, Universidade Federado de Goisis, Golinia, 2011; 3. GONCALERA, S.A. et al. Endocardite infectosa e abecaso(s) cerebralica elevado de 11 asos, Arquivos Brasilieros de Medicina, v. 455, n.2, 1991 d. 48BALINVALD, E.; Tratado de Doença Cardiovasculares, in BADODUUR, L.M. et al. Inderções Cardiovasculares, 10º Edições, for de lamiero: ELSEVER, 2016. 2016. April. v. 38, n. 32,000 d. COLAPRANCESCHA, S. et al., Dirette Basileiro de Valviopatias, Sociedade Brasileira de Cardiologia, São Paulo, 2011 7; HABISG, MATIZIOL, et al. Guidelines for the management of infective endocarditis, fine Task Fore from Management of Infective endocarditis of the European Society of Cardiology (ESC), ESC Committee for Practice Guidelines, 2015.

RESUMO DE TEMAS LIVRES | 28º CONGRESSO DA SOCIEDADE MINEIRA DE CARDIOLOGIA



EP 083

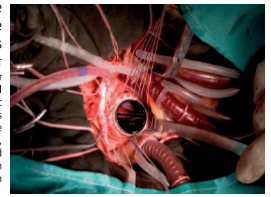
ESTENOSE GRAVE DE PRÓTESE MECÂNICA AÓRTICA POR TROMBOS SIMULANDO DISFUNÇÃO ESTRUTURAL

EDITH MÁRCIA VALADARES SILVA, LAÍS TOLEDO DE VASCONCELOS, RAFAELLA SIMÕES MOREIRA RAFAEL PORTO SILVA, PEDRO HENRIQUE CAVEANHA, EPOTAMENIDES M. GOOD GOD

HUSBITAL SUCUE

As complicações não estruturais das valvas protéticas mecânicas podem ser causadas por formação de trombos, pannus ou combinação de ambas. A diferenciação entre trombo e pannus é desafiadora, uma vez que a apresentação clínica é a mesma, sendo que trombo é mais comum quando a anticoaquilação é inadequada. A reoperação é usualmente requerida para disfunção protética de moderada a grave dependendo da disfunção estrutural, mas poderia ser evitada desde que seja confirmado, no pre operatório, que a disfunção se deve à trombose. Descrição do Caso: L. A. V. P. mulher de 71 anos submetida à troca valvar aórtica por prótese mecânica há 18 anos. AVCh há 3 anos, sob anticoagulação com varfarina. Iniciou, nos últimos 3 meses, episódios freqüentes (2-3 vezes/dia) de pré-sincopes sem pródromos, associados a palpitações, sem relação com posição e/ou movimento corporal. Em propedêutica realizada ambulatorialmente, identificado ao holter presença de períodos de TV e TA não sustentados, frequentes. ECOTE evidenciou FEVE 60%, protese mecânica aórtica bem implantada, ampla abertura sistólica, gradiente max VE-Ao=91 e médio=51, área valvar de 0,6. ECOsTT prévios mostravam prótese normofuncionante, sem mismatch. Paciente foi internada com proposta de retroca valvar. Hipótese Diagnóstica: Trombo. Pannus. Disfunção estrutural. Condutas Adotadas: Durante cirurgia, foram observados trombos aderidos em toda extensão inferior da valva o que dificultava ampla abertura de seus folhetos, dado claramente não identificado ao ECO. Realizado trombectomia, não sendo necessária re-troca. Doppler pós-cirúrgico evidenciou gradiente máx 32 e médio de 16 com boa abertura sistólica. Paciente recebeu alta hospitalar, sem novos relatos de pré-sincope e em uso de varfarina e AAS, com proposta de sequimento ambulatorial. Conclusão: A valorização da apresentação clínica da paciente aliada à expertise médica pode permitir a correta interpretação e correlação com a propedeutica complementar, mesmo que o achado ao exame não seja evidente. O presente caso mostra como o ecocardiograma não foi definitivo quanto à elucidar a causa da disfunção da prótese, embora essa possibilidade não tenha sido desconsiderada. A falta de uma definição diagnóstica e a gravidade

da condição clínica culminaram em reoperação; fato que poderá ser evitado em outras circunstâncias de apresentação clínica menos grave e com ajuda dos métodos complementares, Referências Bibliográficas: 1. HELMUT Baumgarfite, Volkmar Falls, Irones I Bax, Michele De Boris, Christian Hamm, Per Johan Holm, Beratio Canadellat, Emmandel Lanas, Canade Rodriguez Murioz, Raphael Rosenlet, Johan Signero, Mar Tomos Mas, Alec Valhanian, Irones Wilher, Old Werbert, Spicker, Mose Hamana, Per Valhanian, Canade Wilher, Old Werbert, Spicker, Google, Folker, Lander Marioz, Canade Canade



FP084

RELATO DE CASO: SÍNDROME DE HEYDE - A IMPORTÂNCIA DO DIAGNÓSTICO PRECOCE.

VITÓRIA SANTOS DE SOUZA, FRANCISCA RAIMUNDA DE SOUZA BARREIRO, AURELIANO INÁCIO DE SOUZA NETO, NATALIA CRISTINA DE PAULA MICHELIN, MATHEUS REBELO ABATE

A Síndrome de Heyde é conhecida pela associação entre Estenose Aórtica, comprovada pelo ecodopplercardiograma, e Angiodisplasia Intestinal, com diagnóstico endoscópico. Está relacionada com ecodoppiercationigiania, e Angiodispiasa intestinar, confidegiosisto effoscopico, esta relacionada com a deficiência de fatores de coagulação, principalmente o fator de Von Willebrand. 1º O paciente apresenta necessidade de transfusão sanguínea frequente. Desse modo, quanto mais rápido se iniciar a terapêutica, menor serão as complicações advindas da doença. 3º Objetivo: Relatar o caso de uma paciente, cujo tratamento de troca valvar não foi curativo, ocorrendo recidiva da doença. Relato de Caso: Paciente MSA, 66 anos, dona de casa, de Poços de Caldas, deu entrada em pronto atendimento no início deste ano, com hemorragia digestiva ativa, palidez cutânea e emagrecimento. Trazia os exames: Transferrina 332 mg/dl. ferro sérico 14 mcg/dl; DHL 319 U/L; VHS 49mm; Ecodopplercardiograma(18/01/2018): Fração de ejeção de 65%; aumento moderado de VE. Contratilidade biventricular conservada, disfunção diastólica tipo I de VE, prótese biológica em posição aórtica normofuncionante, refluxos valvares mitral e tricúspide leves e hipertrofia concêntrica de VE. Ao exame físico: Eupneica, acianótica, anictérica, afebril, hipocorada e desidratada, sinais estáveis. Ausculta Cardíaca - bulhas normofonéticas com Ritmo Regular 2 tempos com sopro sistólico em foco aórtico; Ausculta Pulmonar: sem alterações; abdome livre; membros inferiores com edema de articulações sem sinais de trombose. Além dos exames apresentados, paciente trouxe laudo médico mostrando a realização de Endoscopia Digestiva Alta em 2016 com evidências de telangectasias em trato digestivo alto 4, mesmo após cirurgia de troca valvar. Novos exames foram realizados na Santa Casa, mostrando queda importante da hemoglobina (5,3). Anemia microcítica e hipocrômica. Durante a internação, a hemoglobina subiu para 8,2. Recebeu suporte clínico, prescrevemos octreotide e solicitamos colonoscopia, não disponível na época. Paciente evoluiu com melhora progressiva. Após estabilização, recebeu alta com solicitação de colonoscopia e pedido de transferência para serviço de referência via secretária de saúde. Em junho de 2018, teve piora e foi readmitida, realizada colonoscopia, porém, atual sem índicos de angiodisplasia em trato digestivo baixo. Sendo a proposta de tratamento o suporte clínico. Resultados: É considerada rara, todavia, como o diagnóstico tem sido feito com maior frequência, uma das maiores questões discutidas seria o tratamento em caso de refratariedade. Conforme os estudos, a primeira escolha de tratamento é a via endoscópica, determinando a localização do sangramento com maior precisão. E se for necessário realizar a colectomia. Outra opção seria o octreotide, inibidor de secreção de hormônio de crescimento e de peptideos do sistema endócrino gástrico pancreático, com finalidade de reduzir o fluxo sanguíneo no território esplâncnico. 4 Condusão: Assim, mostra-se necessário maiores estudos sobre os mecanismos que ocorrem na Síndrome de Heyde. Somente através de pesquisas poderemos definir a melhor opção de tratamento. Além disso, há a necessidade de definição do fluxo de referência para instituição apta a Tradamiento. Alemi disso, na a niecessidade de udeniniga do il nuovo de reterencia para institutição apta a di prestar assistância especializada, Referências Bibliográficas: I Figuinha F.CR et al. Heyde's Syromere. Case Reporta di Iterature Review. Sociedade Bossileira de Cardiologia. Instituto do Coração - HC-MUSP. São Paulo, SP - Bazal. Ang Bras Cardiol 2011;96(3):e42-e45; Z.códinho R.R. Anomis F et al. Estence adrica grave: associações sequedêns. Rev Prot Cardiol. 2013;39(5):561-263-83. Ballo (C. P.Cabar D et al. Heyde's Syndrome and Transcratheter Archic Valve Implantation. Hospital do Coração da Associação Sanatário Siño. Sún Paulo, SP - Bazal. Ang Bras Cardiol. 2017; 108(4):378-380 y. 48 mar e Costa T, et al. Artigo de Revisão: Tratamento Farmacológico das Angiectasias Gastrimestinas, Serviço de Gastroenterológia, Centro Hospitalar de Elisboa Ocidental - Lisboa, Portugal, GE- Drift Gastroenterol 2009; 16: 149-153.

EP 085

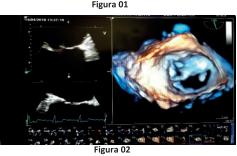
AVALIAÇÃO DE COMPLICAÇÕES EM PRÓTESES VALVARES — VALOR DA ECOCARDIOGRAFIA TRANSESOFÁGICA TRIDIMENSIONAL-SÉRIE DE CASOS

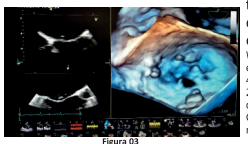
RODOLFO LUIZ AMORIM DE OLIVEIRA; FORTUNATO FRANCO BORGES JUNIOR; RAFAELA ANSELMO SOARES BARBOSA; TÁBATTA LARISSA DE MACEDO; ANTÔNIO CARLOS DE OLIVEIRA FREITAS; JOSÉ LUIZ BARROS PENA.

HOSPITAL FELÍCIO ROCHO

A ecocardiografia transesofágica (ETE) é considerada ferramenta de grande utilidade na cardiologia, fornecendo imagens de melhor qualidade e resolução do que a ecocardiografia transtorácica (ETT). Para o estudo de próteses, o estudo com o ETE torna-se imprescindível¹. Imagens extremamente informativas das próteses biológicas são obtidas através da ETE, particularmente naquelas implantadas em posição mitral. Na imagem da ETE, a insuficiência protética é caracterizada por jatos largos ou excêntricos, marcante variação no mapeamento de fluxo em cores, e jatos que se originama no redor do anel de sutura (para protéticos), entre outras. A imagem tridimensional (3D) permite identificação mais precisa das relações anatômicas entre as diversas estruturas do coração³. Ela é particularmente útil na identificação de defeitos estruturais em próteses. Selecionamos três pacientes portadores de próteses valvares, com possível disfunção de prótese. Os pacientes foram submetidos ao estudo ecocardiográfico transtorácico. Devido a dúvidas diagnósticas, optamos pela realização da ETE 3D. A ETE 3D pôde







identificar estruturas que não foram visibilizadas ou suspeitadas pela ETT. Material L. F. V., 79 anos, masculino, portador de próteses biológicas mitral e aórtica, submetido ao ETE 3D, equipamento Vivid E9, GE, identificamos vários "leaks", muito bem visibilizados e quantificados ao estudo tridimensional (Figura 01). M. L. M., 95 anos, masculino, portador de prótese aórtica biológica, apresentando importante refluxo transprotético, prolapso valvar mitral e cordoalha rota inserida à dxópside anterior da valva mitral (Figura 02). M. A. M., 77 anos, feminino, portadora de prótese mitral biológica, apresentando importante "leak" paraprotético, visibilizado e quantificado ao ETE 3D (Figura 03). Condusão: A ETE 3D é modalidade ecocardiográfica indispensável na avaliação das próteses valvares e disfunções. A riqueza de detalhes anatômicos e a visibilização direta de defeitos estruturais, torna o método fundamental no diagnóstico e planejamento terapêutico, podendo estabelecer a possibilidade de tratamento percutâneo das complicações. Referências Bibliográficas 1, Sugeng I, Sheman S, Salgo IS, Weinert L, Shook D, Raman J, et al. Leo 3b transcophage elococardiography; minal esperience using the fully-ampled matrix array probe. J Am Coll Carácl. 2008; 52 (84). 2014. S. McCulloch MI, Little SH. Imaging methodology and proschetic ritral regulation by transcophage elococardiography, Carlo 35, 355-461; A Marcocol 51 of thread-mestonal echocardiography. Activa 100 prochetic ritral regulation by transcophage alcocardiography carlo 35, 355-461; A Marcocol 51 of thread-mestonal echocardiography. Leo 37, 355-461; A Marcocol 51 of thread-mestonal echocardiography. Leo 37, 355-461; A Marcocol 51 of thread-mestonal echocardiography. Leo 37, 355-461; A Marcocol 51 of thread-mestonal echocardiography. Leo 37, 355-461; A Marcocol 51 of thread-mestonal echocardiography. Leo 37, 355-461; A Marcocol 51 of thread-mestonal echocardiography. Leo 37, 355-461; A Marcocol 51 of thread-mestonal echocardiography. Leo 37, 355-461; A Marcocol 51 o

EP086

DESAFIO TERAPÊUTICO: CIV PÓS INFARTO, COMO ABORDAR?

natália S. Moraes; Alexandre H. Cobucci; Renata V. Araújo; Roberta A. Batista; Paula G. Rabelo; Gustavo P. Almeida; Débora R. Carvalho; Franciele A. Silva

HOSPITAL MADRE TERESA - MINAS GERAIS, BELO HORIZONTE

Umas das principais complicações após infarto agudo do miocárdio (IAM) é a ruptura do septo interventricular com consequente comunicação interventricular (CIV). Sua incidência variade 0,5% a 3%, sendo responsável peloóhitode 1% a 5% dos pacientes infartados, apresentando taxa de mortalidade em torno de 90%. O tratamento cirúrgico é a terapia de escolha, com redução importante de mortalidade após 1 ano quando comparada ao tratamento dinico apenas. No entanto, o fechamento percutâneo da CIV com dispositivos de oclusão, tem sido proposto como alternativa menos invasiva em pacientes de alto risco cirúrgico. Descrição do Caso: O.E.C. 50 anos, portador de dislipidemia, relatou quadro de precordialgia de forte intensidade e dispnéia dia 04/11/2017. Procurou atendimento dia 06/11/2017, sendo diagnosticado com infarto agudo do miocárdio (IAM) com supradesnivelamento do segmento 51 em parede inferior. Realizado cineangiocoronariografía que evidenciou CIV infero-apical e septo muscular e artéria circunflexa oduída. O ecocardiograma mostrou, além da acinesia em porção médio-basal da inferior, foi observado afilamento com descontinuidade de aproximadamente 15 mm ao nível do segmento basal do septo interventricular com moderado shunt E-D compatível com comunicação interventricular pós infarto agudo do miocárdio. Conduta Adotada: Paciente evoluiu com instabilidade hemodinâmica e foi submetido, em caráter de urgência, ao fechamento da comunicação interventricular é uma complicação importante pós-1AM, geralmente apresentando instabilidade hemodinâmica com choque cardiogênico, edema pulmonar refratário e a necessidade de medicamentos vasoativos. Em 90% dos casos, pode-se detectar o aparecimento de sopro cardiaco. Apesar dos avanços da assistência úrrigrica, a mortalidade permanece alta. Os pacientes com cessa complicação devem ser tratados ciurigricas ma incuntalidade permanece alta. Os pacientes com cessa complicação devem ser tratados cirurgicamente. Entretanto, o reparo percutâneo além de viável, torna-se uma opção em pacient

momento mais oportuno para a correção da CIV pós-IAM ainda é disCuttive. Reindenias Bibliográficas. Subilievior. Subilievi





as I e 2 – Ecocardiograma transtorácico evidenciando CIV



RESUMO DE TEMAS LIVRES | 28º CONGRESSO DA SOCIEDADE MINEIRA DE CARDIOLOGIA

FP 087

ENDOCARDITE INFECCIOSA MANIFESTANDO-SE COM SÍNDROME HEMOLÍTICO-LIRÊMICA

LAÍS TOLEDO DE VASCONCELOS/ EPOTAMENIDES M. GOOD GOD. EDITH MARCIA VALADARES SILVA RAFAELLA SIMÕES MOREIRA, RAFAEL PORTO SILVA, PEDRO HENRIQUE CAVEANHA

A endocardite infecciosa (EI) é uma doença grave, associada a elevadas taxas de morbi-mortalidade Acomete mais comumente as valvas cardíacas, especialmente as protéticas. A apresentação clínica varia desde uma evolução rápida, às vezes fatal, até quadros de evolução mais indolente. A disfunção renal aguda é uma complicação comum da El e pode ocorrer em 6-30% dos pacientes. Descrição do Caso: A.T.A.V, mulher de 56 anos, iniciou quadro de sudorese notuma, calafrios, febre intermitente (40°C), dispneia e mal estar, três semanas após ter realizado procedimento dentário. Estava em investigação com reumatologista, devido a um quadro de artrite migratória associada a alterações laboratoriais de provas reumatológicas. Durante este período, fez uso de amoxacilina-clavulanato para tratamento de cistite, reuniaciongicas, putante este periodo, lez uso de antoxacinia-cavulariato para tratamento de estute, sem melhora. Em consulta ambulatorial com reumatologista foi auscultado sopro cardiaco, suspeitado de El e, então solicitado ECO TT, que evidenciou vegetação mitral (20x18mm) e regurgitação mitral importante. Foi internada e submetida a troca valvar mitral com implante de prótese biológica parás avaliação pelo heart team de El. No pós-operatório evoluiu com piora progressiva da função renal (creatinina de 3,4), anasarca, plaquetopenia (21.000) e anemia hemolítica (esquizócitos em sangue periférico, COOMBs direto não reagente, elevação de LDH, hiperbilirrubinemia indireta). Hipótese Diagnóstica: Sindrome hemolítico-urêmica (SHU), glomerulopatia por deposição de imunocomplexos, púrpura trombocitopênica trombótica (PTT). Condutas Adotadas: Acompanhada por equipe de nefrologia. Realizou exames para exclusão de outras causas de plaquetopenia e PTT (ADAMTS 13). Não realizada biópsia renal, pois paciente evoluiu com melhora espontânea e progressiva de função renal, sem necessidade de terapia renal substitutiva ou plasmaférese. Hemoculturas e fragmento de válvula fecharam sem crescimento bacteriano. A paciente recebeu alta em boas condições com função renal recuperada e permanece em acompanhamento ambulatorial. Condusão: 1.0 presente caso evidencia os polimorfimos de apresentação da El, resultando em propedêutica extensa até se chegar ao diagnóstico correto. 2. O diagnóstico precoce e acompanhamento multidisciplinar é capaz de mudar o curso da El e otimizar resultados. 3 As complicações renais estão entre as principais causas de aumento da morbi-

otimizar resultados, 3.As complicações renais estão entre as principais causas de aumento da morbimortalidade da El, sendo a SHU uma complicação grave, que requer envolvimento de equipe multidisclipinar. Referências Bibliográficas: 1.MoAKE, Joel L.

THROMBOTIC MICROANGIORATHES . Neve fragland Journal of Medicine: Mechanisms of disease, Virginia, v. 347, n. 8, p.559-800, 22, Aug., 2002.
Deponivel em: <Moake II. Thrombotic microangiopathies, N. Engl. J Med 2002; 347-359-000, 2. Acus, se moi 1002/2018; 2.POUITO, Maria Gonetti; KINSZTAM, Gianna Mastroiamii. Microangiopathies tromboticas estidencia morbidotas estidencia in Maria formational de la complexión de la co



Fig 1.: Vegetação com dimensões de aproximadamente 20 x 18 mm em valva mitral

FP088

ΜΙΟ CÁRDIO ΝÃΟ COMPACTADO ISOLADO EVOLUINDO PARA INSUEICIÊNCIA CARDÍACA

FLUAN ALBUQUIERQUE DE LIMA: ANDERSON PERFIRA DE QUIVEIRA: RALDNER RORGES E RÉGES: EDUARDO DIAS CHULA; CHRISTIANA CONCEIÇÃO DE OLIVEIRA; NELSON BORGES NETO;

HOSPITAL SÃO JOÃO DE DEUS - DIVINÓPOLIS/MG

Miocárdio Não Compactado (MNC) é uma anomalia cardíaca rara, de etiologia incerta, geralmente associada a outras cardiopatias, mas também pode-se apresentar de forma isolada 1,2. O MNC é caracterizado pela presença de trabéculas proeminentes com recessos intertrabeculares profundos e espessamento do miocárdio distinguindo duas camadas (compactado e não compactado)3,4,5. Sua apresentação dínica é variável, e os sintomas podem surgir em qualquer idade, observa-se desde pacientes assintomáticos, a pacientes com Insuficiência Cardíaca (IC) 2, fenômenos tromboembólicos e arritmias cardíacas, conferindo a essa doenca um mau prognóstico 1. Resultados: MMSF, 42 anos, sexo feminino, natural de Martinho Campos/MG, com histórico de Epilepsia, sem história familiar de cardiopatia e até então sem história pessoal, com vida laboral ativa. Iniciou em Agosto de 2017, quadro de dispneia, inicialmente aos moderados esforços, que evoluiu para os mínimos esforços e em repouso, ortopnéia, dispneia paroxística noturna e edema de membros inferiores discreto. Em outubro de 2017 procurou atendimento médico devido ao agravo dos sintomas, sendo diagnosticada com IC, na ocasião foi iniciada a terapia específica e solicitado exames complementares. No mesmo mês, realizou ecocardiograma que evidenciou uma miocardiopatia dilatada com fração de ejeção reduzida. Após a otimização da terapia com Bisoprolol, Losartana, Espironolactona, Furosemida e Digoxina paciente melhorou dos sintomas. Em Abril de 2018 realizou novo ecocardiograma de seguimento, que evidenciou uma miocardiopatia dilatada, com disfunção sistodiastólica importante do ventrículo esquerdo, fração de ejeção de 28%, com presença de numerosas trabeculações no ventrículo esquerdo características de miocardio não compactado (Figuras 1, 2 e 3). numerosas trabeculações no ventrículo esquerdo características de miocardio não compactado (Figuras 1, 2 e 3). Paciente retornou ao Cardiologista assistente que manteve a terapia para IC e indicou a anticoagulação oral. HIPÓTESE DIAGNÓSTICA: Miocardio não compactado. CONDUTA ADOTADA: Otimização do tratamento clinico para IC, iniciado anticoagulação oral e orientações gerais. Dicusão: O MNC acomete principalmente o sexo masculino, com apresentações familiar e esporádica, já relatadas na literatura 1, 2. O diagnóstico é feito através do ecocardiograma e ressonância magnética (RM) 4,5. No ecocardiograma observa-se numerosas trabeculações miocárdicas, com definição nítida da camada compactada e não compactada. A RM adiciona detalhes anatômicos e informação funcional da cinética dos segmentos, além do grau de fibrose3. O tratamento é feito de forma individualizada, dependendo da apresentação clínica, a anticoagulação oral é recomendada, tendo em vista uma incidência aumentada de fenômenos tromboembólicos nesses pacientes2. Conclusão: Embora seja aro, o MNC vem aumentados vau incidência nos últimos anos devido a melhor acurácia diadandistica dos exembora para con tratagente de compacto de compactado de compactado de compactado. raro, o MNC vem aumentando sua incidência nos últimos anos devido a melhor acurácia diagnóstica dos exame de imagem, principalmente do ecocardiograma bidimensional e ressonância magnética. Devido à possibilidad e complicações graves relacionadas ao MNC, faz-se necessário o seu diagnóstico precoce e instituição de terapia adequada, prevenindo assim desfectos desfavoráveis, Referências Bibliogodificas: 1. Rosa LM, Salemi VMC, Alexandre M. et al. Micardiopatia não compactada - uma visão atual. Arq. Ros. Cardiol. vol.37 no.1 5ão Paula Julho 2011. 2. Meneguz-Moreno RA, Teixeira FRC. Ross Neto MI, et al. Micardion aloc compactado isoda de venitudo para insufficienta cardiaca refatatária, Re Port Cardiol 2016;35: 507-8. 3. Hotta et al. Echocardiographic analysis of LV noncompaction. Arq. Bras. Cardiol. 2017; 109(5): 483-488. 4. Song ZZ.

Williams RG, et al. Isolated noncompaction of lef







EP 088

TROMBO GIGANTE EM VENTRÍCULO DIREITO EM PACIENTE COM TEP

NATÁLIA S. MORAES¹; ALEXANDRE H. COBUCCI¹; RENATA V. ARAÚJO¹; ROBERTA A. BATISTA¹; PAULA G. RABELO1: GUSTAVO P. ALMEIDA1: DÉBORA R. CARVALHO1: FRANCIELE A. SILVA

HOSPITAL MADRE TERESA - MINAS GERAIS, BELO HORIZONTE

A associação entre trombointra cardíaco e tromboembolismo pulmonar (TEP) é pouco frequente e sua incidência é sub estimada. A detecção ecocardiográfica de trombomóvel nas câmaras cardíacas direitas permite identificar um grupo de pacientes de alto risco, com mortalidade muito elevada, em relação aos pacientes com TEPs em trombo em câmaras direitas. Relatamos o caso de um paciente com TEP central maciço e trombointra cardíaco, confirmado pelo ecocardiograma transtorácico. Descrição do Caso: Mulher, 45 anos, previamente hígida, relata quadro de dispneia aos esforços e dor pleurítica há 2 dias. Relatou quadro de lesão de ligamento em pé esquerdo com repouso absoluto por 3 semanas. Ao exame, a paciente estava alerta, taquidispneica, saturação de oxigêniode 96% em cateter nasala 2l/min, FC:107 bpm, ritmo sinusa le PA 150 x 100 mmHg. Angiotomografia computadorizada de tórax demostrou TEF bilateral na bifurcação da artéria pulmonar. Apesar da estabilidade clínica, o ecocardiograma eviden-ciou. hipertensão arterial pulmonar compressão sistólica e martéria pulmonar (PSAP) estimadade 50mmHg. além de presença de trombo extenso em ventrículo direito (VD) e via de saída de ventrículo direito, associada à repercussão importante em câmaras direitas. Hipótese Diagnóstica: Trombo intracardíaco direito associado ao quadro de tromboembolismo pulmonar maciço. Condutas Adotadas: Optado por realização de trombólise, atos em intercorrências. O ecocardiograma 24 horas após a trombólise mostrou desaparecimento do trombo, ausência de disfunção de VD e PSAP de 32 mmHg. Angiotomografia de tórax de controle mostrou significativa recanalização do tromboembolismo pulmonar central maciço na comparação como exame prévio. Clinicamente, paciente se tornou assintomática. Recebeu alta hospitalar com uso de rivaroxabana por, no mínimo, seis meses e acompanhamento ambulatorial. Conclusão: A identificação de trombo intracardíaco em trânsito em câmaras direitas em pacientes portadores de TEP constitui um evento raro, mas sua incidência de 3-23% está provavelmente subestimada em função da falta de realização sistemática de ecocardiograma nesses casos. Não está daro se a presença de trombo nas câmaras direitas contribui em si para a pior evolução ou simplesmente serve como um marcador para apresença de TEP maciço. Mas, praticamente 100% dos casos estão associados à TEP nas formas mais graves, constituindo-se em um provável marcador prognóstico ,devendo-se diferenciá-los da trombose insituintra cardíaca. Amelhor opção terapêutica é ainda controversa. Dados disponíveis referem-se a publicações de séries de casos ou de casos consecutivos, a maioria deles com viés de seleção para uma das formas de tratamento. As opções terapêuticas são anticoagulação com heparina, uso de trombolíticos e embolectomia cirúrgica. Rel

neparina, USO de tromboliticos e treatment plastes with echocardiographically electeder right-sided heart thrombi: ameta-analysis, amhlestall, 1989;118(3): 569-73.
Ferrai EsenhamouM, Berthier F, Baudouy M, Mobilehombi of the right heart in pulmonay embolism: delayed disappearance after homoboly discrement, Chest, 2005; 12(3): 1051-3. Pmid: 15764793. "arbidick A, Galiles S, Cenzziol A, Rossi E, De Ross M, Goldher S, et al., Right heart thrombi in pulmonars. Cooperative Pulmonary Embolism Registry, Jan Coll Cardiol, 2003; 41(12): 2245-51.





Figura1e2-Ecocardiogramarealizadoanteseapósatrombólise

EP090

VALOR DO ULTRASSOM INTRACORONARIANO EM LESÃO DUVIDOSA: RELATO DE CASO

JAMIL SAAD, MANOEL ESTEVES, LAÍS ANDRADE REZENDE, NATÁLIA CHAGAS TEIXEIRA, JEMIMASANT'ANNA, TAMARA TAVARES LEÃO

HOSPITAL VERA CRUZ

O ultrassom intra coronariano (USIC) é um método de imagem intravascular que auxilia a angiografia e consegue identificar com major precisão a presenca e a extensão da placa, sua característica, bem como voisegue identinica (Ultimario) pricisad a presenta e a extensiona du placa, so de claricciensida, pient contro sua área, através de imagens em corte transversal do lúmene da parede arterial. As principais indicações clínicas de USIC incluem aavaliação de Jesões no tronco da coronária esquerda (TCE), a severidade de obstruções coronarianas consideradas moderadas à angiografia (50 a 70%) e Jesões ambiguas. Objetivo e Método: Este trabalho visa relatar a utilidade do USIC eml esões coronarianas duvidosas. Utilizou-se revisão de literatura em meio eletrônico, pesquisa bibliográfica com a utilização de livro texto. Descrição do Caso: Paciente de 59 anos em acompanhamento ambulatorial com cardiologista devido a doença arterial coronariana estável, assintomático. Propedêutica funcional (cintilografiamiocárdica) positiva para isquemia. Angiografiacoronaria na eletiva demonstrou lesão intermediária em TCE, envolvendoa origem da artéria circunflexa (CX), com imagem de menor densidade radiológica (aspectode "hazziness"). Foi necessário extensão da propedeutica paradeterminar etiologia da imagem radiolucente. Resultado: Diante da imagem vista na angiografia houve dúvida quanto a característica da lesão e seu grau de obstrução, aventou-se possibilidade de trombo, ateroma com imprecisa definição angiográfica, ou calcificação. O paciente foi submetido a USIC evidenciando lesão aterosclerótica importante em TCE, bem como na origem da CX. Realizado implante de stent farmacológico em TCE direcionando para CX pela técnica provisional, concluída com insuflação simultânea de balões nos dois ramos (a. descendente anteriore CX). Conclusão: Diante do caso exposto nota-se a importância de exames complementares pouco utilizados na prática clínica. Autilização do USIC tem auxiliado na otimização do diagnóstico e resultado de procedimentos percutâneos terapêuticos. Mas algumas limitações ainda existem para a Incorporação desse exame na rotina dos procedimentos intervencionistas, Referências Bibliogóficas TARDE; I L'ALLER, P. Imagem de Ultrassonogafía Intravascular. In: BONOW, R.O. et al. Braumvald, tatado de deorças cardiovasculares, 9 ed. Río de Janeiro Essevis; 2013. cap.22, p.455–461. MINTZ, G. et al. Intravascular Ultrasound in the Evaluation and Treatment of Left Main Coronary Disease: A consensus statement from the European Bifurcation Club. Euro Intervention 2018; Jaa-363 2018.







RESUMO DE TEMAS LIVRES | 28º CONGRESSO DA SOCIEDADE MINEIRA DE CARDIOLOGIA



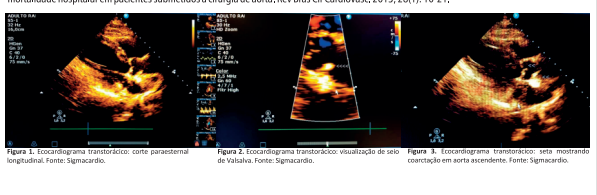
FP091

COARCTAÇÃO DE AORTA ASCENDENTE: RELATO DE CASO

RESENDE, L.O., OLIVEIRA, A.P., PROENÇA, A.D., LIMA, E.A., REGES, R.B., CHULA, E.D.

UNIVERSIDADE FEDERAL DE SÃO JOÃO DEL-REL(UESI)

A coarctação de aorta consiste em uma das mal formações cardiovasculares mais frequentes, com predomínio no sexo masculino. Localiza-se com maior frequência (98%) no istmo aórtico, entre a origem da artéria subdávia esquerda e a inserção do canal arterial, e, muito raramente, antes da origem do tronco arterial braquiocefálico, na aorta torácica descendente ou na aorta abdominal. É uma causa rara de hipertensão arterial (HA) secundária. O diagnóstico é fundamentalmente clínico, geralmente assintomática, frequentemente detectada em exame de rotina, por verificação de HA. Segmento: hipoplásicos da aorta e aorta ascendente apresentam maior quantidade de colágeno quando comparados com espécimes normais. Esses achados demonstram que fatores estruturais podem estar envolvidos na gênese da HA. A ecocardiografia permite a visualização da zona da coarctação, o cálculo do gradiente transcoarctação e a presença de anomalias cardíacas associadas. Descrição do Caso: Paciente com 52 anos, sexo feminino, assintomática, com indicação de ecocardiografia devido à hipertensão arterial sistêmica de longa data. A partir da realização da ecocardiografia, ressaltam-se os seguintes resultados obtidos: ventrículo esquerdo com função sistólica preservada em repouso. Coarctação localizada na aorta ascendente há 1,72cm da valva aórtica sem causar repercussão hemodinâmica. Valva mitral com espessamento leve de aspecto regenerativo. Requirgitação valvar mitral leve. Valva aórtica com leve espessamento do folheto coronariano direito com leve restrição a abertura. O fluxo turbulento e acelerado ao Doppler com gradiente VE-AO máximo de 63mmHg e médio de 33mmHg valores de correntes de estenose supravalvar. Optou-se por tratamento expectante, tendo em vista que não havia repercussão hemodinâmica e estreitamento importante. Conduta: repetir ecocardiografia a cada 6meses e fazer acompanhamento da HA. Condusão: A coarctação de aorta é um achado pouco frequente em paciente com hipertensão arterial, e tem rara ocorrência na aorta ascendente. Destaca-se a importância do exame clínico e de imagem, pois é uma causa susceptível de correção e adequado tratamento e acompanhamento dos pacientes. Ademais, sendo o diagnóstico fundamentalmente clínico, salienta-se a importância de uma observação clínica completa e indicação da realização de exames complementares de maneira precisa para a realização de correto diagnóstico, to Teatra State Control of the Contr



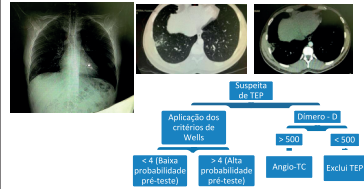
FP092

INFARTO PULMONAR POR TROMROFMROLIA SIMULANDO PNELIMONIA ADQUIRIDA DA COMUNIDADE: RELATO DE CASO

SILVA, M.V./SILVA, M.V.P., SILVA, S.C., RABELO, F.D., VIEIRA, P.D.A., OLIVEIRA, R.A.S

FACULDADE DE MEDICINA DE BARBACENA - FAME/FUNJOBE; HOSPITAL MATERDEI

Trombo embolia pulmonar (TEP) é uma significativa causa de morbimortalidade, particularmente em pacientes hospitalizados. Uma vez que sua apresentação dínica, laboratorial era diológica é inespecífica e frequentemente não diagnosticada, pode ser confundida ou até mesmo coexistir com outras doenças, principalmente pneumonia. Infarto pulmonar ocorre em 10 a15% dos casos, podendo gerar alterações radiológicas sugestivas de pneumonia adquirida na comunidade (PAC). A falta de resposta à antibioticoterapia empírica adequada em pacientes com tal quadro clínico leva à suspeita de doenças que mimetizam PAC, entre elas TEP O objetivo deste relato é descrever um caso de infarto pulmonar poi tromboembolia em que os sinais, sintomas e exames de rotina sugeriram inicialmente pneumonia comunitária e frisar que a hipótese diagnóstica de TEP deve ser sempre considerada. Descrição do Caso Paciente do sexo masculino, 39 anos, sem comorbidades, há 5 semanas submetido a correção de fratura de fíbula, procurou atendimento médico com achado de dor torácica ventilatório-dependente à direita tosse seca e febre, na ocasião inicia do tratamento para pneumonia comunitária com amoxicilina-clavulanato, tendo recebido alta hospitalar. No quinto dia de antibioticoterapia procurou novamente atendimento médico devido a persistência da dor torácica ventilatório dependente em hemitórax direito edispneia aos esforços habituais. Ao exame físico da admissão encontrava-se alerta, hidratado, pressão arterial 100 por 70mmHg nos membros superiores, eupneico, afebril, ritmo cardíaco regular e bulhas normofonéticas, murmúrio vesicular diminuído na base pulmonar direita. Foram calculados o escore de Wells (6-indicando alta probabilidade pré-testepara TEP) e o índice de severidade do TEP-PESI (49). Hipótese Diagnóstica: Tromboembolismo pulmonar (TEP) - Pneumonia adquirida na comunidade (PAC). Condutas Adotadas: (figura) Eletrocardiograma: Ritmo Sinusal, onda Q e inversão de onda Tem DIII. Dímero D: positivo. Angio-tomografiade Tórax: Infarto Pulmonar no segmento basal lateral inferior— Obstrução do ramo do brônguio lobar inferior direito. Leucocitoses em desvio. Iniciado Rivaroxabana 15mg de 12 em 12horas. Optado por alta hospitalar e seguimento ambulatorial, paciente estável clinicamente. Conclusão: A relevância do presente caso consiste na importância do diagnóstico diferencial em paciente com quadro de infarto pulmonar por tromboembolia simulando pneumonia adquirida da comunidade. Referências Bibliográficas: 1.Lopes, AC et al Tratado de Clínica Médica. 3a ed. São Paulo: Roca, 2016. 2.Goldman, L.; Schafer, AL Goldman's Cecil Medicine 25 thed. Philadelphia: Elsevier Saunders, 2016. 3.Longo, DL et al. Harrison's Principles of Internal





EP 093

MORTALIDADE FEMININA COMPARADA ENTRE O CÂNCER CARDÍACO E O CÂNCER DE MAMA NO BRASIL ROLDI, A. F.; ARRUDA, B. C. A. P.; FARIA, C. S. P.; MENDES, D. G.; MACIEL, E. B. P.; ROOUE, E. L., 1; COSTA, J.

H. M.2; FARIA, L. S. P3; TAVARES, L. B. S.1 (1) ACADÊMICAS DO INSTITUTO METROPOLITANO DE ENSINO SUPERIOR (IMES), IPATINGA/MG: (2) MÉDICA

DO HOSPITAL MÁRCIO CUNHA, IPATINGA/MG; (3)ACADÊMICA DO CENTRO UNIVERSITÁRIO DE VOLTA REDONDA, VOLTA REDONDA/RJ

Os tumores primários da área cardíaca são classificados como raro se mantêm uma incidência mínima de 0,001% a 0,030%. O contrário acontece com o câncer de mama em mulheres, que é detentor do posto de neoplasia com maior causa de morte no gênero feminino e que é responsável por 28,1% dos novos casos de câncer no Brasil. Ainda que a incidência entre essas duas neoplasias seja intensamente divergente ,ambas encontram-se interliga-das pelo fator metastático: o câncer cardíaco secundário possui relevância maior que o de etiologia primária, e é detentor de uma taxa de recorrência que varia entre 0,24 e 6,45%. Estes números apresentados são embasados por detecções em autópsias, já que a maioria dos casos é assintomático, e só é suspeitado antes do óbito em momentos onde há correlação entre a dínica e a história pregressa do paciente com câncer. Aos últimos anos, as metástases cardíacas têm apresentado um aumento diagnóstico importante, que pode estar relacionado à melhora dos métodos de imagem e ao melhor prognóstico e manejo terapêutico das neoplasias. Em valores absolutos, o tumor de mama está entre aqueles que mais disseminam para o coração, por envolvimento linífático e consequente acometimento principalmente do pericárdio e do miocárdio. Objetivo: O presente trabalho tem como objetivo comparar a mortalidade feminina entre o câncer cardiaco e o câncer de mama, no Brasil. Método: Estudo transversal, retrospectivo, com base em dados fornecidos por plataformas como DATA-SUS, INCA, UNA-SUS, revisão de literatura disposta online em sítios como Scieloe Pub Med, e materiais didáticos impressos das áreas de cardiología e oncología. Foram analisdas as taxas de mortalidade referentes aos cânceres cardíacos e de mama nos anos de 2010 a 2015, notificados em território brasileiro. Além disso, foi estabelecida a relação de disparidade na incidência desses dois tipos neoplásicos e arelação de causa lida de metastática. Resultados: O câncer (CA) de mama tem sido assustadoramente relatado nos últimos anos e acompanhado de grande variação prognóstica inflanta cell suo associatoriamente relatado i los dintros años e acompaniados de grincia valuação progrisostica. Ao analisarmos os anos de 2010 a 2015, aneoplasia da mama, com CID-10C50, apresentou um total de 83.752 óbitos, em valores crescentes ao longo dos anos. Em contraponto, o câncer cardíaco, CID-10C38, nos 5 anos referentes ao período analisado, apresentou 1.832 mortes, acompanhado também pelos números dos CA de medias tinopeleura. Isso significa que em um total de 85.584 óbitos, menos de 2,14% foram por tumores cardíacos e 97,6% foram por tumores da mama, comum a incidência 45 vezes maior. Ao contrário do CA de mama, que obteve valores cada vez maiores como passar dos anos, o CA cardíaco apresentou valores muito próximos durante as 5 datas analisadas, sem grandes variações e sem padrão de aumento ou diminuição. Essa avallação demonstra daramente a raridade tanto da neoplasia primária do coração, quanto da secundária, e apresenta a pouca relação entre o aumento da incidência do tumor de mama e o aumento da incidência do tumor cardíaco, mesmo o primeiro sendo a principal causa metastática para o segundo. Condusão: O prognóstico do tumor metastático cardíaco ainda é muito pobre apesar das melhoras diagnósticas, terapêuticas e assistenciais. A maioria dos pacientes possui uma expectativa devida de cerca de 6 meses após dado o diagnóstico. O diagnóstico maioría dos pacientes possui uma expectativa devida de cerca de 6 meses após dado o diagnóstico. O diagnóstico da MC é um desafio para o dínico. Retelerica Bibliogidica: = BATISTA, AVS. Programa de Rastroamento Organizado do Cancer De Manura Implantando o Modelo no Municipio de Parasi, Rio Gande do Notre. 2016;231 F.C. (Giraduzgió)—Cuso de Specialização en Amendo Básica em Sude, mama.app. - #CNSECA, V. et al. Metasticação pulmonar na apresentação de angiosszoroma cardiaco: Caso dínico e diocusion. Rev Pot Proumol, 1850a. v. 115. np. 1175-1184, no. 2009. Biopaniviel em http://www.socialis.org.com/positio de dois casos diocusion. Provincia de Companio de Amendo Básica de Gando de Companio de Com

EP094

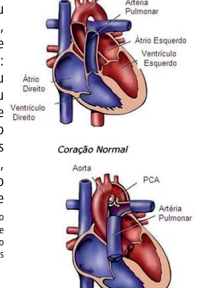
PERSISTÊNCIA DO CANAL ARTERIAL ASSOCIADO À PRESSÃO SISTÓLICA DA ARTÉRIA PULMONAR ELEVADA EM PACIENTE ADULTO - UM RELATO DE CASO

FARIA, L. S. P./ FARIA, C. S. P.; ÁVILA, A. C.; SILVEIRA, A. C. C. A. F.

CENTRO UNIVERSITÁRIO DE VOITA REDONDA - UNIFOA. INSTITUTO METROPOLITANO DE ENSINO SUPERIOR-IMES.

O canal arterial é um vaso que comunica a artéria pulmonar com a aorta no feto e o seu não fechamento funcional resulta na persistência do canal arterial (PCA), sendo a terceira cardiopatia congênita mais frequente. Esse achado é raro em adultos, podendo seu diagnóstico tardio ser atribuído à escassez de sintomas ou a fatores econômicos e sociais nos países em desenvolvimento. Algumas complicações graves, secundárias à detecção tardia, são a hipertensão arterial pulmonar (HAP), síndrome de Eisenmenger, insuficiência cardíaca e morte. Descrição de Caso: Mulher 29 anos, previamente hígida, procurou atendimento médico por precordialgia, astenia e síncope sem pródromos. À ectoscopia, lúcida e orientada, bom estado geral, eupneica em ar ambiente, anictérica, acianótica, PA=100x60 mmHg, FC=86 bpm e T=36,5° C. Ao exame cardiovascular, ritmo regular com sopro contínuo. Solicitado ECG que evidenciou eixo de 90°, sobrecarga direita com alteração secundária em repolarização precordiais direitas. O RX mostrava arco médio abaulado. A ecocardiografia transtorácica revelou aumento de cavidades direitas, dilatação de tronco de artéria pulmonar, presença de canal arterial com fluxo contínuo esquerdadireita, regurgitação tricúspide moderada, PSAP=85 mmHg, regurgicatação pulmonar moderada; Hipótese Diagnóstica: Persistência de canal arterial com shunt contínuo esquerdo direito; Condutas Adotadas: Realizado fechamento percutâneo de canal arterial patente com prótese CERA Muse VSD Occluder, procedimento sem intercorrências. Aortografias de controle mostram prótese bem posicionada

sem shunt residual. Registro de pressões pós oclusão da PCA mostrou queda da pressão pulmonar e aumento da pressão aórtica. Após cirurgia, feito ecocardiograma transesofágico que confirmou septo interatrial íntegro, aumento de cavidades direitas, regurgitação pulmonar moderada, regurgitação tricúspide moderada a grave com PSAP estimada de 40mmHg; Conclusão: Conclui-se que a PCA também acomete adultos devido ao seu diagnóstico tardio, podendo ser atribuído à carência de sintomas ou a fatores econômicos e sociais, por isso, observa-se a necessidade de uma avaliação minuciosa na idade pediátrica. O tratamento percutâneo se apresenta como uma alternativa, com bons resultados mesmo nos casos de HAP importante, porém, no Brasil. as limitações econômicas restringem seu uso, cabendo ao médico escolher a melhor forma de tratamento perante a realidade vivenciada na prática médicia. Referências Bibliográficas: • LOCAIL, Rafael Fagionata et al. Tatamento da persistência de canal arreial em recem-rascidos prematuros: analise cindingia. Am, Bas, a cardial., 530 Paulo, v. 90, n. 5, p. 347-349, May 2008. • JATENE, Marcele Biscegii et al. Tratamento dirugino da pessistência do canal anereial na população adulta. Rev Bras Circardiovase, São abos de Nio Petro. v. 56, n. 1, p. 35-97, Mest. p. 100.





RESUMO DE TEMAS LIVRES | 28º CONGRESSO DA SOCIEDADE MINEIRA DE CARDIOLOGIA

EP 095

RELATO DE CASO: DISSECÇÃO ESPONTÂNEA DE ARTÉRIA CORONÁRIA

VASCONCELOS, JOA/ MOTA, AC; FREITAS, VMF; TEIXEIRA, IL; FILHO, RTF; ARRUDA, CM

UNIVERSIDADE DE ITAUNA; FACULDADE CIÊNCIAS MEDICAS DE MINAS GERAIS

A dissecção espontânea de artéria coronária (DEAC) configura-se como uma causa rara de infarto agudo do miocárdio, sendo uma entidade potencialmente fatal. Acomete, predominantemente, indivíduos jovens e/ou do sexo feminino que, na maior parte dos casos, não apresentam fatores de risco dássicos para a instalação da doença aterosclerótica coronariana. Entretanto, parece estar associada a uma série de fatores predisponentes, tais como: gravidez e puerpério, doenças do colágeno, uso de cocaina, hipertensão grave, tabagismo, anticoncepcional oral, exercício extenuante e vaso espasmo. O primeiro caso de DEAC foi descrito por Prettyem1931 a partir de um achado de necrópsia e ,atualmente, sabe-se que a artéria descendente anterior é o vaso mais comumente acometido. Descrição de Caso: DG, 41 anos masculino, tabagista (5 anos/ maço), hipertenso, dislipidêmico, apresentou quadro de precordialgia típica, de forte intensidade, com irradiação para membro superior esquerdo, sem sintomas associados. Procurou atendimento em UPA, realizando ECG que mostrou infra desnivelamento do segmento S tem DII, DII e AVF; com elevação dos marcadores de necrose. Exames da admissão: hemoglobina 14.4mg/di; hematócrito41,4%; leucometria 10.230céls/mm3; troponina positiva; CPKT426,95U/L;CPKMB23,4U/L; ions, ureia e creatínina normais. Transferido para hospital primário onde foi inicia do protocolo de Sindrome Coronariana Aguda. Hipótese Diagnóstica: IAM ou DEAC. Conduta: Três dias apsão quadro, foi transferido para CTI, estável hemodinamicamente, bom padrão respiratório em repouso, sem precordialgia e disponeia, em Kilipla. Submetido ao cateterismo cardíaco onde foi evidenciado DA longa, tipo III, de contromos irregulares, com imagem de dissecção espontânea estendendo do sótos de to terço médio eleito distal de fino calibre; ventrículo esquerdo com hipocinesia ântero-lateral importante. Ecocardiograma transtorácico comátrio esquerdo com hipocinesia éapice, médio-apical do septo e apical anterior e lateral; regurgitação mitral leve. Suporte cardi

prescrição de Clexane 600mg; Clopidogrel 75mg; Sinvastatina 40mg; Enalapril 20mg e Atenolol 25mg, Condusão: Por se tratar de uma enfermidade pouco estudada, sua etiologia permanece pouco conhecida, assim como o seu prognóstico e a sua abordagem terapêutico, sendo o cateterismo cardíaco crucial neste caso. Pelo fato de haver limitada experiência clínica da DEAC, não existem diretrizes quanto ao manejo. No entanto, frente à instabilidade hemodinâmica, elétrica ou permanência de do torácica, deve-se considerar revascularização miocárdica, devido gravidade dos sintomas a presentados. Referências Bibliográficas: 1. ANDRADE, H.E. FEIJÓ, L.A. LWALL, G.C. TEDESCHI, A.L. Indrad, Agudo do Miocárdio como Apresentados Describados Cononaírana. Cardíol. 2010. 2.MANHÁES, E.B. et al. Disseçção Espontâmes de Andreia Coronáíria. Adordigem Tempediata e Desfethos de luma Señe Cossecutiva de Casos. Costeriol. 2014.3. BAREDOSA, R.R. et al. Initario Agudo do Minicardio por Disseçção Espontâmea de Arterias Coronáíria. Aeritesa Coronáíria. Aerites Coronáíria.



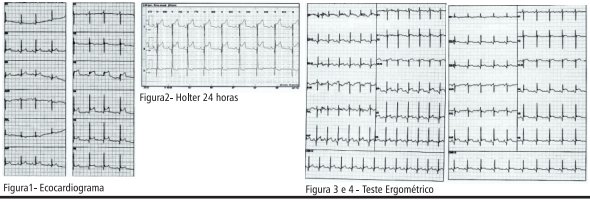
FP096

REPOLARIZAÇÃOPRECOCE COMO APRESENTAÇÃO ELETROCARDIOGRÁFICA DE CARDIOMIOPATIA HIPERTRÓFICA: RELATO DE CASO

CANAZART JA, PAIXÃO GMM, CARDOSO GF, SILVEIRA PR, RIBEIRO ALP

UNIVERSIDADE FEDERAL DE MINAS GERAIS

A cardiomiopatia hipertrófica (CMH) é uma doença genética caracterizada por hipertrofia do miocárdio na ausência de doenças cardíacas ou sistêmicas que tem caráter autossômico dominante. Seu diagnóstico é ecocardiográfico. Os achados eletrocardiográficos são variados, desde normal (6% dos casos) a ondas nvertidas e ondas q patológicas. A repolarização precoce não constitui achado frequente na CMH. Relato do Caso: E.M.L, sexo masculino, 31 anos, previamente hígido, realizou eletrocardiograma (ECG) eletivo (Figura1), devido à dor torácica atípica em 2011. ECG evidenciou corrente dele são subepicárdica na parede antero lateral. Solicitados, então, eccardiograma (ECO), sem alterações e Teste Ergométrico (TE) (figuras3e4) com padrão de repolarização precoce no repouso e pseudo normalização do segmento ST no esforço sendo liberado de acompanhamento regular cardiológico. Após 6 anos, com intuito de iniciar atividade física, procurou novamente atendimento clínico. Realizou novo ECO, que revelou hipertrofia assimétrica do ventrículo esquerdo (VE) e obstrução dinâmica intra ventricular na via de saídadoVE.O TE manteve o mesmo padrão, sem queda da pressão arterial sistólica no esforço. Holter de 24 horas (figura2) confirmou padrão de repolarização precoce, sem arritmias ventriculares complexas. Ressonância Magnética Cardíaca mostrou aumento importante da espessura do septo interventricular (IV) em sua porção basal, realce tardio transmural em faixa no septo IV, com FEVE preservada. Diagnosticado com CMH, orientado a não realizar atividades físicas e rastreamento familiar. Paciente se manteve assintomático, sem eventos cardiovasculares. Discussão: O padrão de repolarização precoce com supra de ST na CMH foi, durante muito tempo, correlacionado com benignidade por ser encontrado comumente em pacientes jovens e assintomáticos. Em oposição a essa crença, estudos recentes têm demonstra do que supra desnivelamento de ST horizontal ou descendente é preditor independente de morte súbita em pacientes assintomáticos portadores de CMH. Emadição, o ECO é um método propedêutico examinador dependente e pode não diagnosticar a doença em estágios preçoces. Assim, a presença dessa alteração eletrocardiográfica em assintomáticos deverá motivar propedêutica adicional. Condusão: A CMH possui uma diversidade de achados eletrocardiográficos, incluindo a repolarização precoce, que merece tima utverstuacia we advatuse servicuraturgamicus, mutumus a epipanização precuce, que merce investigação adicional quando o padrão de supra desnivelamento de ST for horizontal ou descendente. Referencias Bibliográficas: 1. Maron MS. J Point Elevation in Hypertophic Cardiomyopathy: Roling a New Wave in Risk Stratification: JACC, Clinical Electrophicology, 2017; 31(0): 1143-1145. 2. Paidas GMM, Venoneille, Silva HAGG Neto JNM, MadiCe; etal.Correlação das Alherações Electrophicologistas com a Ressonância Magnética Cardiaca em Pacientes com Cardiomiopatia Hipertofica, Arqünstânciol, 2018; 110(1):52-59. 3. Manorals, Maronals, Maronals, Poleprophic cardiomiopatis, Tele Lances (2013, 381)6862; 24-50.



EP 097

AMILOIDOSECARDÍACA COMO CAUSA DE INSUFICIÊNCIA CARDÍACA CONGESTIVA: UM RELATO DE CASO

FARIA, L. S. P./ FARIA, C. S. P.; MOELLER, D. S.; CARVALHO, L. S. M.; AZEVEDO, J. C.; MESQUITA, C. T.
CENTRO UNIVERSITÁRIO DE VOLTA REDONDA - UNIFOA, INSTITUTO METROPOLITANO DE ENSINO
SUPERIOR-IMES.

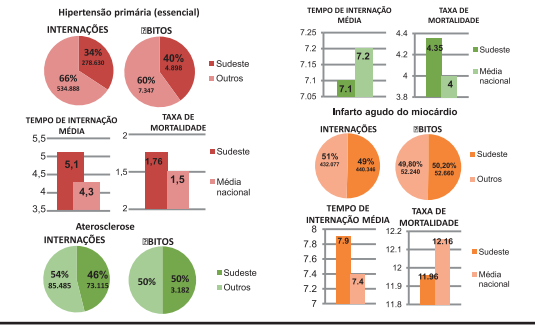
A amiloidose cardíaca (AC) é uma desordem clínica caracterizada pelo depósito extra celular da proteína amiloideno miocárdio e nos vasos. Esse depósito pode levar a distúrbio da condução cardíaca, cardiomiopatia restritiva, baixo débito cardíaco e comprometimentos atriais isolados, sendo o retardo do diagnóstico a principal causa da redução da sobrevida destes pacientes. Descrição do Caso: Paciente do sexo masculino, 82 anos, busca atendimento após descompensação de ICC perfil B de Stevenson. Previamente portadora de HAS, insuficiência venosa crônica e miocardiopatia dilatada, em uso de enoxaparina, furosemida, bisoprolol, AAS, rosuvastatina e enalapril. À ectoscopia, lúcida e orientada, e estável hemodinamicamente. Ao exame físico, PA 100x60mmHg, FC 60bpm, RCR, MVabolidono1/3 inferior do pulmão inferior direito e discreto edema perimaleolar. Família trouxe Angio TC que evidencio. semi obstrução importante de vários sítios arteriais cardíacos. No momento da admissão, solicitado ecocardiograma bidimensional com doppler que mostrou aumento biatrial, HVE importante, disfunção sistólica importante, PSA Pestimada de 41mmHg e aspecto granulomatosodo septo e parede posterior, levantando a hipótese de alguma doença infiltrativa. Hipótese Diagnóstica: Cardiomiopatia infiltrativa ou isquêmica; Condutas Adotadas: Solicitado RM cardíaca com dipirimadol que teve como laudo a ausência de isquemia miocárdica, aspecto granuloso de cardiopatia infiltrativa cursando com hipertrofia concêntrica de VE, aumento biatrial, disfunção biventricular grave determinado por hipocinesia difusa. Ademais, solicitado cintilografia miocárdica com pirofosfato de tecnécio-99m, que mostrou captação difusa e intensa do radio fármaco em todos segmentos do ventrículo esquerdo, assim como em grau moderado das paredes do ventrículo direito, confirmando o diagnóstico de AC. Conclusão: A AC é uma patologia de ocorrência rara e por isso cabe ao médico à suspeição da doença para que possa sei direcionada aos exames conclusivos. A abordagem cintilográfica com pirofosfato marcado com tecnécio 99m permite o diagnóstico diferencial de AC relacionada à transtirretina, revelando uma sensibilidade e especificadare em 97% e 100%, respectivamente. Dessa forma, a medicina nudear uma alternativa não invasiva ao diagnóstico, fomentando uma perspectiva que difere de métodos invasivos. Referência Bibliograficas: «MESOUIR E.T. et al. emiliadose carladas es en Weo Fendipo Clinico: Insulficência cardiaca com Fação de 15geão Pesservada. An Basa, Cardiol., SaPaulo, v. (10, n.1, p.71-80, 2017. MENDES, Rosana G.G. et al. Componentimento cardiaco na amiliadose sistêmica, Diagnóstico invico. Ara, Bras. Cardiol., São Paulo, v.70, n.2, p.119-123, 1988. FERNANDES, A. et al. Amiliadose cardiaca-abordagem diagnóstica, a propósito de una coa clinico. Portugal, Rev Port Cardiol. São Paulo, v.75, n.5, p.305, 2016. 900H4MI, Sca el 29m (E-Vyopilosphale sintingaphy for differentiation injute chain cardiacamyloidosis from the transthyretin-relatied familial and senile cardiac amyloidoses. Circ Cardiovasc imaging, v.6,n.2, p.159-201. especificidade em 97% e 100%, respectivamente. Dessa forma, a medicina nuclear uma alternativa não

EP098

ANÁLISE COMPARATIVA ENTRE AS INTERNAÇÕES POR HAS, ATEROSCLEROSE E IAM NA REGIÃO SUDESTE

FARIA, L.S.P/ MONTEIRO, C. M.; ALMEIDA, A. S.; CAGLIARI, C. S.; PAIVA, J. V. F.; PAULA, I. S. T.; GOMES, V. M. S.; MINUCCI, G. S.; NETO, J. W.

CENTRO UNIVERSITÁRIO DE VOLTA REDONDA - UNIFOA, CENTRO UNIVERSITÁRIO TIRADENTES-UNIT, FACUI DADE DAS AMÉRICAS-FAM.



RESUMO DE TEMAS LIVRES | 28º CONGRESSO DA SOCIEDADE MINEIRA DE CARDIOLOGIA



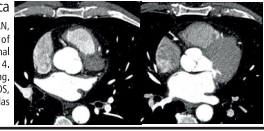
FP099

ANGIOTOMOGRAFIA NO DIAGNÓSTICO DE PONTE MIOCÁRDICA: RELATO DE CASO PERFIRA, F1: PERFIRA, M A2: REIS, A1

CENTRO UNIVERSITÁRIO DE PATOS DE MINAS (UNIPAM) - ²UNIVERSIDADE FEDERAL FLUMINENSE (UFF)

Ponte miocárdica é o nome que se dá ao trajeto anormal de um segmento de uma artéria coronária, que ao invés de cursar epicardicamente, aprofunda-se, tornando intramural³. Representa a anomalia congênita mais comum das artérias coronárias¹. Podem ser superficiais ou profundas, podem acomete qualquer artéria epicárdica, porém, cerca de 80% delas são na artéria descendente anterior.¹ Em média acometem 25% dos adultos², mas por volta de 60% delas são diagnosticadas apenas à necropsia. O pacientes portadores dessa anomalia podem ser assintomáticos ou apresentarem síncope, taquicardia supraventricular, isquemia miocárdica, síndromes coronarianas agudas, espasmo coronariano ou até morte súbita¹. Os mecanismos exatos envolvidos na isquemia ainda não foram totalmente elucidados, mas é sabido que há uma compressão sistólica que leva ao aumento do fluxo retrógrado de sangue, que por sua vez leva a aumento precoce na velocidade do fluxo na diástole e um retardo no relaxamento diastólico no local em que o segmento está inserido no músculo cardíaco³. Além disso, alguns pesquisadores já observaram que o segmento proximal da ponte está mais sujeito à formação de placas ateroscleróticas¹, possivelmente devido a perturbação do fluxo e estresse mural, se comparado a outros vasos ou trajetos da própria artéria³. Descrição do Caso: Paciente APF, masculino, 49 anos, se apresenta à consulta com quadro de angina há 3 semanas. História familiar é positiva para doença cardiovascular. Hipertensão diagnosticada há 9 anos, pré-diabetes há 3 e dislipidemia há 21. Em uso de losartana 50mc MID, hidrodorotiazida 12,5mg MID, ciprofibrato 100mg MID, metformina 850mg BID e oxalato de escitalopram 10mg MID. Ao exame físico: BRNF em 27, s/s; IMC: 27,7; PA: 120x80 mmHg. Hipótese Diagnóstica: Doença arterial coronariana aterosclerótica, com diagnóstico diferencial para anomalias congênitas e transtornos de ansiedade¹. Conduta: Foi solicitado ECG em repouso, teste ergométrico e ecocardiograma. Todos os exames tiveram resultados normais, sendo solicitado angiotomografía da artérias coronárias e escore de cálcio. Neste exame ficou evidenciado ponte miocárdica no terço médio da artéria descendente anterior, mas não foram detectadas lesões ateroscleróticas calcificadas nas artérias coronárias. Com isso, optou-se pelo tratamento conservador com nebivolol 5mg uma vez ao dia para atenuação da sintomatologia e prevenção de eventos, que é o tratamento de escolha. O paciente teve atenuação dos sintomas, não necessitando de antagonistas do canal de cálcio como adjuvante. Caso o paciente figue refratário ao tratamento farmacológico máximo, intervenção coronária percutânea, miotomia ou a cirurgia de revascularização miocárdica, poderão ser consideradas.¹. Conclusão: A ponte miocárdica é uma condição que apresenta bom prognóstico, sendo que maior parte dos pacientes responde bem à terapia farmacológica. Porém, pacientes que não respondem bem aos medicamentos precisam ser analisados com cautela para escolha da melhor intervenção. O diagnóstico, na atualidade foi facilitado pelas inúmeras modalidades de exames, em especial a angiotomografia, que é um exame

não invasivo e que tanto afasta doença aterosclerótica não invasivo e que tanto afasta doença ateroscleroti quanto avalia malformações. Referência sibiográcia: 1.0888 milichel 7. et al. Mycardisi bridging: contemporary undestratading partipolipsidogy with implications for diagnostic and theory are undestratading partipolipsidogy with implications for diagnostic and theory are undestratading partipolipsidogy with implications for diagnostic and theory and the partipolipsidogy 2. 7. FARMITINI. Clargence et al. led 1 denoity Descording after y 1467-6235. 20 Journal of the American College of Cardiology, 68(59):2887-99, 2016. 3. 8.8481 Marrio Vinicius Unie et al. Avaliação da porte miocardica pela angiotomorgafia comordias. Nev bras ecocardiogri magent cardiovasc. v. 26. n. 1, p. 8-15, 2013.



EP 102

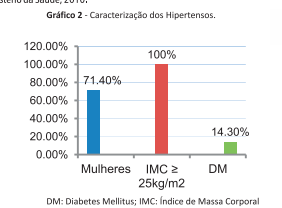
RASTREAMENTO DE RISCO CARDIOVASCULAR E DOENÇAS CRÔNICAS NÃO TRANSMISSÍVEIS EM UM DIA DE UNIVERSIDADE ABERTA À POPULAÇÃO

RESENDE, L.O., PROENCA, A.D., CHULA, F.D.

UNIVERSIDADE FEDERAL DE SÃO JOÃO DEL-REI (UESI)

As doenças crônicas não transmissíveis são as principais causas de morte no mundo. Sendo assim destaca-se a importância da prevenção e rastreio das mesmas com impacto em toda a população. Método: Relatar a experiência de um dia de universidade aberta à população, em Divinópolis, Mina sGerais, em maiode 2018. Foram organizadas estações para abordar as pessoas que transitavam no local. Estudantes de Medicina aplicaram questionários validados de risco cardiovascular (RCV) e questionário sobre a história clínica de base. Além disso, realizaram aferição da pressão arterial (PA), medidas antropométricas e encaminharam para a atenção primária quando constatadas alterações. A demais, foram realizadas orientações sobre cuidados com a saúde e distribuídos materiais educativos. Os dados obtidos foram inseridos e organizados no software EpiData ® 3.1, e a análise realizada nos of tware Epilnfo®7 (Centers for Disease Control and Prevention, Atlanta, USA)*. Resultados: A população era composta por 52,3% de mulheres e por 47,7% de homens, em uma faixa etária variando dos 10 aos 69 anos, sendo que 92,3% já haviam aferido a PA pelo menos uma vez na vida. Em relação à presença de diagnósticos prévios, 3,1% declarou possuir diabetes mellitus (DM), 6,2% relatou possuir algum tipo de udajnosticos piervos, 5,1 % otecalano possani tradetes mejinus cum, 6,2 % relatiou possuni algumi indo ue difsfunção renal e 10,8% referiu hipertensão arterial sistêmica (HAS), sendo que 75,4% declarou cuidar de sua saúde. Dentre os declarados hipertensos, 71,4% eram mulheres; 14,3% diabéticos e 100% possuíam indice de massa corporal (IMC)≥ 25kg/m2. No rastreamento do RCV, 14,3% eram de alto risco. Constatou-se ainda que 41,5% das pessoas apresentavam-se com IMC≥25kg/m2 e 15,4% com obesidade. Entre os que estavam com IMC≥25kg/m 2,37,0% apresentaram baixo risco cardiovascular e 3,7% alto risco cardiovascular. Discussão: Os dados possuem correlação com as prevalências dessas doenças na população brasileira segundo dados do Vigitel. O excesso de peso correspondeu a 48,5%. HAS a 24,1% e DM a 6,9%. As diferenças de valores para menos na pesquisa refletem também a maior parte dos indivíduos serem jovens, sendo 60,0% indivíduos menores de 30 anos de idade. Conclusão: C vevento permittiu uma abordagem dos indivíduos, revelando dados que instigam a busca ativa da HAS, da DM e da obesidade na população em geral, e que fortalecem a importância de campanhas de prevenção e de tratamento dessas doenças crônicas, além do adequado controle do RCV, Referencia Bibliogáficas : MAGACHO, ELC, et al. Tadução, adaptação cultural es valdação do questionário fastreamento da Deonça Rend Ocula (Screeingfor Occult Renal Disease-SCORED) para o portuguist brasileiro. J. Bras. Nefrol., SaPaulo, v.3.4, n.3, p.251-258, 2012.2, IRISTIANI, G.M. et al. Leitura paída do RIGIGO 2012. Divertires para avalidace e manuse da deenar renal cornica na protica dinica. J. Bras. Nefrol., São Paulo, v.3.6, n.1, p.63-73, 2014. 3. Cademo de Atenção Primária-Rastreamento. Ministério da Saúde, 2010.





FP 100

INSUFICIÊNCIA CARDÍCA SECUNDÁRIA Á REATIVAÇÃO DE DOENCA DE CHAGAS EM PACIENTE

AUTORES(AS): FERNANDA ROQUETTE DE ARAUJO, RAFAELA DE ASSIS AMARAL, DAVID C, WANDERLEY, KAMILA S.M. CHAMON, CARLA M. FREITAS, ESTÊVÃO LANNA FIGUEIREDO

FACULDADE DA SAÚDE E ECOLOGIA HUMANA (FASEH): HOSPITAL DAS CLÍNICAS: BELO HORIZONTE MG

A cardiopatia chagásica (CC) é considerada a pior dentre as diferentes etiologias da insuficiência cardíaca. A OMS estima em aproximadamente 6 a 7 milhões o número de pessoas infectadas em todo o mundo, com a maioria residente na América Latina. No Brasil é a terceira causa etiológica mais comum de transplante cardíaco e a única forma de reverter o quadro clínico em fase terminal consiste no transplante cardíaco que, na Doenca de Chagas (DC), representa um desafio devido à possibilidade de reativação da doença diante da manutenção da imunossupressão. Aproximadamente 20% a 30% dos pacientes apresentam ao menos um episódio de reativação da DC ao longo da vida, pois estes pacientes são submetidos à terapia imunossupressora com finalidade de impedir a rejeição do enxerto, estando, portanto, sujeitos a reativarem a infecção chagásica, uma vez que o T.cruzi persiste no sangue e em outros órgãos do receptor. A maior incidência de reativação é verificada no primeiro ano após o transplante. Este estudo visa relatar um caso de necropsia de uma reativação cardíaca de inferção chagásica pós transplante cardíaco, enfatizando seus aspectos dínicos e principalmente histopatológicos. Objetivo: Avaliar as características dinicas e morfológicas de uma necropsia de um paciente com reativação cardíaca da doença de chagas pós transplante cardíaco. Materiais e Método: Coletamos os dados de uma necropsia realizada em um paciente do Hospital das Cinicas (HC) e foi realizado uma revisão de literatura através da pesquisa de artigos científicos efetuada nas bases de dados do Pubmed e MEDLINE utilizando as palayras-chave: chagas disease, heart transplantation and chagas disease, relapse of chagas disease. Descrição palaviras-chave: chagas disease, neart transplantation and chagas disease, relapse of chagas disease, Descrição do Caso: Caddave, 43 anos, sevo masculino, transplantado cardíaco há 2 meses e 15 dias, com quadro insuficiência cardíaca aguida secundária à reativação de doença de chagas. A reativação da infecção chagásica no coração transplantado foi constatada em biópsia endomicárdica realizada 6 dias antes do óbito, pelo encontro de grande número de ninhos de amastigotas de 1 cruzi em miocelulas e em fagóticos do infiltrado miocárdico. A pesquisa imuno-histoquímica para o parasita, confirmou a suspeita morfológica. As manifestações clínicas apresentadas foram febre, sinais de miocardite aguda - caracterizados por insuficiência cardíaca ou bloqueio atrioventricular e também foram encontrada lesões cutâneas eritemato-infiltrativas. O coração transplantado pesou 600g. Havia hemotórax de 3.500 ml após drenagem de derrame pleural. Discussão e Condusão: A reativação da infecção por Trypanosoma cruzi é um desafío que só encontrará solução com a descoberta de uma forma eficaz de garantir a eliminação definitiva do parasita. Por outro lado, o transplante cardíaco na CC tornou-se uma técnica indicada, necessitando de cuidados específicos no período pós-operatório. Embora o transplante nesta etiologia apresente peculiaridades próprias, estas dificuldades hoje são bem conhecidas, propiciando melhores tratamentos e estratégias preventivas tentando evitar recidivas da doenças e complicações para os pacientes no futuro. Referências sibliográficas: 18.04. Fernando; 80.07. Editora Aroba Carda transplantation for Chagasi diseases. Insuf. card. Cuidad Autónoma de Bueros Aires, v. 3, n. 2, p. 85-87, jun. 2008. Disponible en http://www.scid nesta etiologia apresente peculiaridades próprias, estas dificuldades hoje são bem conhecidas, propiciando



<mtp://www.scelo.br/scelo

EP 103

ANEURISMA EXTRACRANIANO DE ARTÉRIA CARÓTIDA - RELATO DO CASO

OLIVEIRA12 DA / ANASTÁCIO12 LB; FREITAS12 ACO; GRANDO12 J; SÁ12 RF; RODRIGUES12 DN

(1) FACULDADE DE MEDICINA, UNIVERSIDADE DE ITAÚNA (2) SANTA CASA DE MISERICÓRDIA DE BELO HORIZONTE

Aneurismas de artérias carótidas extracranianas (AEAC), são dilatações superiores à 150% do diâmetro segmentar não envolvido. A história natural da doença ainda não está bem estabelecida, todavia o alto risco de embolia ou mesmo o risco de ruptura mostra a importância da intervenção. Essas raras apresentações ocorrem devido à uma ampla gama de etiologias, sendo a doença aterosderótica a mais frequente. Descrissão do Caso: Paciente IMP, sexo masculino, 56 anos, portador de hipertensão arterial sistêmica essencial e angina estável. Tabagista ativo (15 anos/maço). Relatou história prévia de correção endovascular de aneurisma da aorta abdominal (2016). Deu entrada no serviço com queixa de tumoração dolorosa, delimitada e de crescimento progressivo, em área cervical, há um ano. O exame físico mostrou massa pulsátil na região cervical esquerda e edema facial. A tomografia computadorizada (TC) revelou formação aneurismática fusiforme com trombo mural de 2,0 centímetros de espessura envolvendo o segmento distal da artéria carótida comum (ACC), bulbo carotídeo e segmento proximal da artéria carótida interna esquerda (ACIE). A radiografia convencional de tórax não apresentou alterações pulmonares. O Ecocardiodoppler transtorácico revelou disfunção diastólica grau I. O eletrocardiograma evidenciou bloqueio de ramo direito associado a hemibloqueio anterior esquerdo e alterações secundárias de repolarização ventricular. Hipótese Diagnóstica: Aneurisma extracraniano de artéria carótida esquerda. Conduta: Após avaliação da equipe Cardiovascular, optou-se por abordagem cirúrgica aberta. Submetido à cirurgia (11/01/2018), realizou-se dissecção das carótidas comum, interna e externa esquerdas, e posteriormente exérese do grande aneurisma carotídeo. Em seguida realizou-se a interposição da prótese de Politetrafluoretileno. Foi encaminhado à terapia intensiva pós-operatória onde evoluiu com afasia, desvio de comissura labial e hemiparesia à direita. Realizado TC que mostrou evento isquêmico agudo/subagudo na região da artéria cerebral média. Evoluiu com melhora, mantendo paresia

em mão direita. Readmitido na enfermaria onde recebeu alta (19/01/2018) e encaminhamento para controle ambulatorial, sem demais intercorrências. Conclusão: Os AEAC são incomuns e se manifestam com variados sintomas. Qualquer segmento da artéria arótida pode ser acometido, embora o interno seja prevalente. A abordagem cirúrgica aberta ou a endovascular são opções terapêuticas disponíveis. Embora não exista consenso sobre a melhor estratégia, todos os portadores carecem de identificação melhor estratégia, todos os portadores carecem de identificação, avaliação e tratamento frente à morbimortalidade associada. Referências Bibliogálicas: 1. U, Z et al. Endovascular Stenting of Extracamial Carotid Artery Aneurysm. A Systematic Review. Eur J Vasc Endovascular 2011 pag. 419–426, Z. D. E. DOST. (A.) POUREY, R.C. (Frenthent of aneurysms of the extracamial carotid artery: current evidence and future perspectives. J Neurol Neuromed. 2016. pág. 11-14. 3. KIRKWOD et al. Extracamial carotidaresynaurysm. 2017. Disponível em www.uptodate.com assesso me 20 de janeito de 2018. 4. ATTIGAH N. et al. Surgical therapy of extracamial carotida artery aneurysms. Eur J Vasc.Endovascular 2009. pág. 127-133. 5. FANKHAUSER, Grant T. Surgical amanagement of extracamialcarotida attery aneurysms. J Vasc. Surg. 2015. Pág. 389-93





RESUMO DE TEMAS LIVRES | 28º CONGRESSO DA SOCIEDADE MINEIRA DE CARDIOLOGIA

FP 104

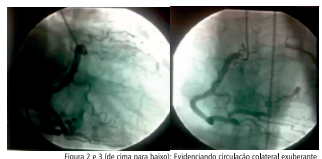
APRESENTAÇÃO RARA DE FÍSTULA DO TRONCO DA ARTÉRIA CORONÁRIA ESQUERDA COM O SEIO VENOSO - RELATO DE CASO

OLIVEIRA^{1,2,} DA/ ANASTÁCIO^{1,2,} LB; BARBOSA^{1,2,} ISP; DELMASCHIO^{1,2,} CR; SANTOS^{1,2,} LE; MARQUIORI², RAS (1) FACULDADE DE MEDICINA, UNIVERSIDADE DE ITAÚNA (2) SANTA CASA DE MISERICÓRDIA DE BELO HORIZONTE

Fístulas em artérias coronárias apresentam uma baixa incidência em meio às cardiopatias congênitas. São comunicações entre a rede coronária e as cavidades cardíacas e/ou tronco da artéria pulmonar. Podem mostrar-se assintomáticas por um longo período de tempo ou ainda manifestar algum sintoma secundá rio à outra patologia. Apresentam uma origem congênita (primária) ou por trauma/inflamação. A literatura médica é pouco ampla na descrição desse tipo de assunto, frente à raridade em apresentação. Descrição do Caso: AMSM, sexo feminino, 53 anos, mestiça, deu entrada no serviço com relato de dispneia paroxística progressiva e dor torácica típica com alívio após repouso. Relatou histórico de dislinidemia, mas sem anormalidades cardiovasculares. Ao exame físico mostrou sopro sistólico (SS) grau Ill, em região paraesternal esquerda, associado a SS grau I, em foco mitral, ambos sem irradiações. O ecocardiodoppler transtorácico mostrou aumento importante de átrio esquerdo (AE) (51 mm), regurgitação mitral avançada e alterações degenerativas leves — compatível com quadro reumático. Fluxo significativo ao nível do tronco da coronária esquerda (TCE) em direção ao seio venoso (SV) — compatível com fístula - e SV levemente dilatado. O eletrocardiograma mostrou sobrecarga de AE e o cateterismo indicou presença de fístula de alto débito em TCE e SV com importante roubo de fluxo e regurgitação mitral avançada. Hipótese Diagnóstica: Insuficiência mitral (IM) associada a fístula de TCE com SV. Conduta: Em reunião clínico-cirúrgica optou-se por correção da fístula através de ligadura e troca valvar. Na cirurgia (23/02/2018) realizou-se troca da valva por implante metálico nº28. Após dissecção observou-se gigantesca fístula coronariana, sendo realizada ligaduras em terço proximal e médio-distal Na saída da circulação extracorpórea, auxiliada por Dobutamina, a paciente apresentou baixo débito cardíaco e sinais de isquemia na parede anterior; optou-se pela exérese da ligadura proximal, sendo restabelecida a função cardíaca. Foi encaminhada ao centro de terapia intensiva pós-operatória onde evoluiu com quadro hipotensivo, revertido com noradrenalina. Iniciado Marevan. Readmitida na enfermaria (27/02/2018), onde permaneceu até meta de RNI 2.5-3.5. Recebeu alta após 10 dias com encaminhamento para controle ambulatorial. Conclusão: Trata-se de um quadro de IM primária, associada a fístula de TCE com SV - um evento raro e de curso benigno. A correção da fístula é indicada a depender do tamanho e da repercussão hemodinâmica, podendo ser cirúrgica ou percutânea. Nesse caso a escolha cirúrgica foi impulsionada pela IM importante e sintomática, a qual também necessitaria de intervenção invasiva. Referências Bibliogr Tratado de doenças cardiovasculares. BONOW, RO et al. 9º Edição. 2. Fistul e literatura.SAVIOLI NETO. Felicio et al. 1985. 3. Fistula coronariana par

ventrículo esquerd diagnóstico por tom grafia computaciona MENDONÇA, Robe Moreno et al. 2011





FP 106

ENDOCARDITE INFECCIOSA: RELATO DE CASO -DESAFIO TERAPÉLITICO: ENDOCARDITE INFECCIOSA COM CULTURAS NEGATIVAS

CARVALHO, LORENA DE SOUZA; SANTOS, THAUANPEDRO DA SILVA; MILHOMEM, PAULO ARTHUR MENDES: FILHO, FERNANDO ANTÔNIO ROOUETE REIS: LIMA, LUIZA CLAUDIO MOREIRA: MARINO BÁRBARA CAMPOS ABREU.

HOSPITAL MADRE TERESA; FACULDADE DE MEDICINA PUC MINAS BETIM-

A endocardite infecciosa (EI) é uma doença peculiar que se apresenta sob ampla variedade de manifestações dínicas iniciais, na dependência de características individuais dos pacientes, do estado cardíaco subjacente, dos microrganismos envolvido se da presença ou ausência de complicações. A El fúngica é uma patologia rara com características e propriedades próprias e específicas, com mortalidade elevada, mesmo com tratamento terapêutico e cirúrgico. Relato do Caso: Paciente, 74 anos, sexo masculino, fibrilação atrial paroxística e AVE cardioembólico, submetido a troca valvar com prótese biológica em julho de 2017 em nosso serviço. Apresentou boa evolução após a alta, ECOTT na alta evidenciou prótese bem implantada com gradiente transvalvar médio 17 e máximo 27mmHg. Em janeiro de 2018, evolui com quadro de febre e prostração, procurando atendimento em nosso serviço. Coletadas hemoculturas, exames laboratoriais e solicitado ECOTT. Exames com leucocitose, PCR elevado e ECOTT: imagem em prótese aórtica sugestiva de vegetação 11mm e gradiente 46/76, feito diagnóstico de Eleiniciado antibioticoterapia(ATB) com vancomicina + rifampicina + gentamicina. Após 48 horas do início ATB, manteve picos febris e evoluiu com petéquias em membros inferiores. ECOTE: aumento da vegetação na prótese aórtica, 1,8x1,6 com e disfunção e gradiente VE-AO 61/93mmHg. Submetido a retroca aórtica de urgência com prótese biológica e enviado material para culturas. Aspecto da vegetação sugestiva de fungos. Iniciado anidulafungina para cobertura fúngica. Hemoculturas e culturas de prótese vieram negativas. Paciente evoluju com piora da função, trocado ATB para daptomicina. Discutido com equipe de CCIH e optado por manter daptomicina + anidulafungina por 6 semanas. Evolui com controle infeccioso e ECOTT de controle estáveis. No entanto, na Quarta semana de ATB recorreu com febre intectoso e ECOTI de Controle estavels. No el mallo, ila qualta senanta de Alta recorreu com rebre eleucocitose, solicitado novo ECO que mostrou deiscência de prótese adrica com leak para valvar importante e abcesso. Encaminhado para nova retroca aórtica, no procedimento evidenciado prótese com rotura da sutura causando endoleak, fragilidade do anel valvar e grande vegetação aderida na face ventricular da prótese. Reimplanta da nova prótese aórtica biológica, 48 horas após a ciurgia evolui choque séptico e óbito. Discussão: As manifestações da endocardite resultam dos efeitos destrutivos locais, da embolização de fragmentos de vegetação, causando infarto e infecção e produção de anticorpos com depósito e injúria tecidual por imunocomplexos ou interação de anticorpos e complemento com antígenos depositados nos tecidos. Dentre as situações mais frequentes há grande associação da patologia com a utilização de material cardíaco protético. Condusão: Apesar do aprimoramento do diagnóstico e da terapia antimicrobiana, a El permanece como uma doença de alta morbimortalidade. A mortalidade difere em relação aos agentes etiológicos, estado cardíaco prévio, sítio de infecção e aumento da idade. Referências Bibliográficas. A. Wang; IsG. Gasz, YH, Chu, Management Considerations in fletive Indocarditis. A Review 2018. Disponíve em. https://www.ncbi.nlm.nih.gov/pubmed/29971402 Acesso em. 15 Jun. 2018. - BRANDÁO, Mariana et al-fungal prosthetic valve endocar ditis with myrotic a eneutysm. Case report-2015. Disponível em. https://www.pubmed/25/24/249915031312 valvid-30 hubble! > . Acesso em. 16 Jun. 2018. - SEXTON, Daniel I et al-Epidemiology, riskdactors, and microbiology of infective endocarditis. 2018. Disponível em. https://www.uptodate.com/contents/epidemiology-risk-factors-and-microbiology-of-infective-endocarditis? endocarditis? https://www.uptodate.com/contents/epidemiology-risk-factors-and-microb



Fotografia 1 -Prótese de valva aórtica com vegetação Fotografia 2 -Prótese de valva aórtica com vegetação

EP 107

INSUFICIÊNCIA VALVAR TRICÚSPIDE SECUNDÁRIA A ENDOCARDITE INFECCIOSA EM PACIENTE EM HEMODIÁLISE - RELATO DE CASO

REZENDE GX1/ VIEIRA JK1/ ANASTÁCIO LB1/ FREITAS JC1/DUCA LG1/ MARQUIORI RAS2/

(1) FACULDADE DE MEDICINA DA UNIVERSIDADE DE ITAÚNA (2) HOSPITAL SANTA CASA DE MISERICÓRDIA DI

A endocardite infecciosa (EI) é uma causa importante de morte em pacientes do sexo masculino em hemodiálise. A valva mitral é a mais infectada, seguida pela valva aórtica. O acometimento da valva tricúspide é raro e ocorre mais comumente em usuário de drogas endovenosas e em persistência de cateter de demora em veia profunda. Na maioria dos casos a infecção ocorre pelo Staphylococcus aureus, apresenta um quadro dínico inespecífico, e se não tratada evolui para óbito. Apesar dos avanços alcançados no tratamento da El, o diagnóstico continua sendo um desafio, com pouca suspeição dínica. Assim, a El possui alta morbimortalidade, sendo o diagnóstico precoce essencial para o tratamento adeguado. Descrição do Caso: EBV 42 anos sendo o diaginostico precoce essencial para o tratamento adequado. Descrição do Caso: EBV 42 anos, hipertenso, suavido de droga, portador de IRC dialitico há a anos. Admitido com prostração, sudorese, dispinéa, evoluindo com insuficiência respiratória aguda, foi submetido a IOT e transferido para UTI com instabilidade hemodinâmica e em uso de aminas vasoativas. Foi identificado asida desecreção purulenta em cateter de hemodiálise (CDL), sendo solicitado hemoculturas, cultura de ponta de cateter e retirada CDL. Iniciado Vancomicina e Cefepime empiricamente. As culturas evidenciaram Staphylococcus aureus multissensível, sendo descalonado antibiótico para Oxacílina. Devido ao crescimento de S.aureus em duas amostras de hemocultura, foi solicitado ecocardiograma transtorácico (ECOTT) para pesquisa de endocardite, que evidenciou: valva tricúspide com estruturas filiformes aderidas às faces atriais dos folhetos-compatíveis com grandes vegetações (sendo a maior delas de 32mm); regurigitação importante e PSAP estimada de 36mmHg; Fe66%. Devido à instabilidade hemodinâmica e a gravidade da doença, o paciente foi encaminhado para bloco cirúrgico, sendo realizada troca de valva tricúspide biológica, com achado de valva totalmente destruída por grandes vegetações. Hipótese Diagnóstica: Insuficiência tricúspide importante secundária à El. Conduta Adotada: No dia 20/03/18 foi submetido à cirurgia de troca valva tricúspide, ond econstataram-se vegetações aderidas nos folhetos tricúspide e na parede do AD, se estendendo até o óstio da veia cava inferior. Foi realizada retirada de valva e remoção de vegetações em AD, sendo implantada prótese valvar biológica. No ECO pós-cirurgia evidenciou: AD levemente aumentado, FE: 80% super estimada por inotrópicos; bioprótese bem posicionada sem regurgitação/feak para valvar. No pós-operatório paciente evoluiu com poeumonia associada à ventilação mecânica, tratada com Cefepime, recebeu alta da UTI para a enfermaria no dia 04/04/18, apresentando boa evolução clínica para completar tratamento de El. Condusão: AEI é uma doença de alta morbimortalidade, sendo o acometimento da valva tricúspide pouco comum. É necessário intervenção cirúrgica precoce devido à gravidade da doença e a falha de tratamento clínico/ medicamentoso. Logo, é essencial acompanhamento minucioso dínico e de exames complementares, para tomada de decisões

essencial acompanhamento minucioso dinico e de exames complementares, para tomada de decis terapibilitas assextivias, Reteriorias Bibliográficas: I. Baseatto S, Menardi AC, Alves Junior L, Rodrigues AJ, Écomo PR. Reflections on the years durability of anisolate tricuspidbovine pericardium IMC/Braile bioprosthesis. Rev Bras Cir Cardiovasc. 2011; 26(4): 653-7. 2. Habib C, hot Tomos P, Thompson D, Gardin AN, Savenolatz D, Epideminologia and chinal out comes of infective endocarditis in hemofalysis patients. Ann Thoras Surg. 2007; 83(6): 2016–145. A Sapado AA, Lanas C, Bola MM, Endocardite infectioss: o que mudou ria difina decada? HIPLE, 2013; 12 (2019): 10-00 193, 83-80. Germano NS, santos A, Bentol. Endocardite adrivate a pulmonar. Rev Bras Terlintensiva. 2015; 27(2): 185-180. 6. Gonglives AM, Correia A, Falcio IM. Endocardité da vivilue in ceptimonar. Rev Bras Terlintensiva. 2015; 27(2): 185-180. 6. Gonglives AM, Correia A, Falcio IM. Endocardité da vivilue intessible em docente com cardiopatia congénita. Rev Port Cardiol. 2013; 32(1): 53-58.





EP 108

SÍNCOPE COMO APRESENTAÇÃO DE MIXOMA ATRIAL: RELATO DE CASO

ERIKA DE ALMEIDA SANTOS QUADROS¹; LARISSA FERREIRA MARQUES¹; GABRIEL MOREIRA VARGAS Capanema¹; fernando antonioroquettereis²; roberto luiz marino²; marino, bárbara CAMPOS ABREU MARINO¹

1-FACULDADE DE MEDICINA PUC MINAS BETIM, 2-HOSPITAL MADRE TERESA

O mixoma cardíaco (MC) é um tumor primário mais comum do coração com uma incidência estimada de 0,5 por milhão de pessoas por ano. Apesar de ser uma neoplasia benigna, pode levar a uma evolução desfavorável. Em aproximadamente 10% dos pacientes, o tumor causa obstrução valvar que evolui com estenose mitral grave. Relato do Caso: Paciente de 55 anos, sexo feminino, ex-tabagista, evoluindo há 2 meses com dispneia classe II NYHA com diversas idas a pronto-socorro. Realizado ECG e Rx-torax sem alteração, sendo liberada. Apresentou quadro desincope e iniciada propedêutica cardiológica, solicitado ECOTT que evidenciou átrio esquerdo com aumento importante (AE=44mm) com grande massa medindo 6,9x3,0cm pedunculada e aderida na região central do septo inter atrial sugestiva de mixoma, que durante a diástole desloca para dentro do VE através da valva mitral, levando a obstrução do fluxo diastólico e gerando gradiente máximo 19 e médio 9mmHg, F EVE 65%, PSAP=35mmHg. Encaminhada ao nosso serviço para cirurgia. Submetida a exérese da massa e anatomo patológico confirmou se tratar de mixoma. Apresentou boa evolução intra-hospitalar e recebeu alta 5 dias após à cirurgia para acompanhamento ambulatorial. Discução: As manifestações dínicas do MC são determinadas pelo tamanho, localização e mobilidade do tumor. Os sintomas podem ser inespecíficos, como dispneia, síncopes com mudanças posturais, simular estenose mitral, embolia cerebral ou coronariana (causada por fragmento de tumor ou trombo) e, em caso de mixomas ventriculares causar arritmias cardíacas. Os sintomas clínicos mais comuns estão associados a obstrução da valva mitral com congestão cardíaca e dispneia. O tratamento em pacientes sintomáticos é tratamento cirúrgico imediato com exérese do tumor, e para evitar recorrência deve-se realizar a ressecção de parte do tecido normal na base de implantação do pedículo. Conclusão: OMC é uma neoplasia benigna que pode ter evolução desfavorável, a precocidade diagnóstica e sua remoção cirúrgica melhoram o prognóstico. Referências Bibliográficas: 1. Braunwa IdE edicina Cardiovasculas Cap.43, vol.2, São Paulo: EBloca, 1991; 1538-50. - Z. European Journal of Cardio-Thoracic Surgery, Volume 22, cembre 2002, Pages 971-977, https://doi.org/10.1016/5010-79400(2000592-4 - 3, Lammer R), Bloor CM-Pathologyofoardiactumors, (edic-Canceroffte-Heart, New Yorks Springe-Vellag, 1986 - 44m Govens W., Sidhy R, Abmer T, Luke D, Wood A.E., Neligan M.C., Mc rialmyxoma: national incidence, diagnosis and surgical management, Izl Med Sci, 1993, vol.162 (pg.223-226)











FP109

COMPLICAÇÕES CARDÍACAS PÓS-CIRÚRGICAS E PÓS-IMPLANTE DE ENXERTOS E DISPOSITIVOS PROTÉTICOS VALVARES: QUAL O RETRATO ESTATÍSTICO DE MINAS GERAIS FACE AO RESTANTE DO

BRUNO BASTOS GODOI, CAROLINA FRAGA PAIVA, CAMYLLA SANTOS DE SOUZA, PATRICIA FRAGA PAIVA, LARA DO NORTE GARCIA, YNGRID SOUZA LUZ, MARCELA ACCARI DE ALMEIDA, EMANOEL GUIMARÃES PAIVA E JOÃO DAVID DE SOUZA NETO

As primeiras horas no pós-operatório imediato (POI) de cirurgia cardíaca são essenciais e extremamente necessárias para o reestabelecimento fisiológico, porém, em alguns casos, podem ocorrer intercorrências decorrentes do procedimento ou de condições clínicas associados a fatores de risco, como a idade história prequessa, medicamentos utilizados e condições intraoperatórias (complexidade da cirurgia tempo de circulação extracorpórea, permanência hospitalar). Objetivos: O Presente trabalho tem como objetivo apresentar um panorama entre MG e o restante do Sudeste sobre as complicações cardíacas póscirúrgicas e pós-implante de enxertos e dispositivos protéticos valvares. Método: Estudo quantitativo populacional descritivo, observacional e transversal. Dados disponíveis na plataforma DATASUS de 2008 a 2017. Resultados: (tabelas) No período analisado, o SE totalizou 1.761 internações para o tratamento de complicações cardíacas póscirurgia e complicações oriundas de dispositivos protéticos, implantes e xertos cardíacos e valvulares. Condusão: Dessa forma, SP é o estado da região SE que mais apresenta internações, gastos e óbitos por complicações cardíacas pós-cirurgia e oriundas de dispositivos protéticos, implantes e enxertos cardíacos e valvulares. No entanto, o RJ destaca-se por superar SP e protections, minimum set experience annaben can be readered. So the control of th

Número de internações por estado no período avaliado (2008-2017)

ESTADO	NÚMERO DE INTERNAÇÕES
MG	420
RJ.	275
SP	692
ES	374

ESTADO	VALOR MÉDIO DA INTERNAÇÃO
MG	R\$1.833,68
RJ	R\$966,58
SP	R\$1.833,68
ES	R\$1.221,59

Número de óbitos decorrentes d complicações por estado no período avaliado (2008-20107)

ESTADO	ÓBITOS
MG	24
RJ	11
SP	54
ES	15

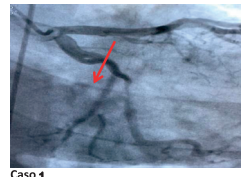
FP 110

DISSECÇÃO ESPONTÂNEA DE ARTÉRIA CORONÁRIA: RELATO DE DOIS CASOS DE ETIDLOGIA

samira sodré picheli, marcellaleite de mattos miranda, diogo nogueira, fernanda OLIVEIRA LOPES, ROBERTO LUIZ MARINO, BÁRBARA CAMPOS ABREU MARINO

HOSPITAL MADRE TERESA JPMMI

A dissecção espontânea de coronária (SCAD) é causa rara não ateros cleróticadas síndromes coronaria nas agudas (SCA). Estima-se seja responsável por 0,1 a 0,4% dos casos de SCA. Relato do Caso: Relato Caso1-Paciente, RCL, 32 anos, sexo masculino, tabagista, evoluiu após atividade física intensa (jiujtsu), com quadro de dor torácica típica, procurou pronto socorro (PS), iniciado protocolo de SCA; ECG com alteração dinâmica em parede ântero-septal, etroponina 16, diagnóstico de infarto (IAM) sem elevação ST. Cateterismo (CATE): ramo Obtuso Marginal calibroso, com dissecção em terço médio com estenose significativa de 70%, imagem sugestiva de trombo em local de dissecção. Optado por tratamento conservador, mantido antiplaquetário e estatina, indicado anticoagulação terapêutica por Sdias. ECOTT de 27/06 VE função sistólica preservada, sem défictis segmentares. Apresentou boa evolução e recebeu alta após 5 dias para controle ambulatorial. Relato de caso 2-Paciente, AMCSM, 37 anos, sexo feminino, tabagista, sedentária, sobre peso, evoluiu com dor retroesternal típica. Procurou Pshipertensa, iniciado protoloco SCA; ECG com retificação de onda T e má progressão de onda R em parede anterior, troponinas: 0,3/0,89/2,85; diagnóstico de IAM sem supra. Medicada com antiplaquetário, anticoagulante etridil. Encaminhada a UCO. ECOTT: VE função sistólica preservada, sem déficits segmentares. CATE: óstio e terço proximal de artéria coronária circunflexa com estenosede 80% com imagem sugestiva de dissecção, demais artérias coronárias isentas de estenose significativa. Optado por tratamento conservador, mantido AAS, ticagrelore e noxaparina. Assintomática durante internação, repetido CATE após uma semana, desaparecimento da imagem de dissecção e martéria circunflexa, sem lesões residuais. Recebeu alta após 10 dias controle ambulatorial. Discussão: Pacientes com SCAD não apresentam fatores clássicos de risco cardiovascular. Acredita-se que fatores desencadeantes são os que aumentam o estresse de cisalhamento na parede da coronária, mediado por níveis elevados de catecolaminas e pressão intra-abdominal, como exercício intenso, estresse emocional, uso drogas simpatomiméticas. O tratamento inicial é semelhante aos pacientes com SCA e manejo conservador é opção preferida com a cura espontânea da disseção na maioria dos casos. Conclusão: A revascularização com ICP e CRVM tem resultados sub-ótimos, muitas vezes levando a complicações graves. Referências: Bibliográficas: 1-Sharone, et al. Spontaneuous Cronary Artery Dissection: Current State of the Science. Ascientific Statement from the American Heart Association. Circulation, April, 2018. 2-SHAHID. Aziz, Spontaneous coronary artery dissection. European Society Cardiologily Jouris E-Found of Cardiology Arciae, vol. 14, 782-272-272-27217





Caso 2: SCAD Tipo 1 Envolvendo Ramo Obtuso Margina Há dissecção proximal com fluxo TIMI I no vaso distal.

EP 111

INTERVENÇÃO COM CATETER BALÃO EM PACIENTE COM DOENÇA RENOVASCULAR FIBRODIS-PLÁSICA: RELATO DE CASO

TAWIL, G.O.1; ROCHA, A.P.1; PERDIGÃO, J.C.V.1; MENDES, L.I.R.1; MITRI, S.C.1; REIS, A2

(1)ACADÊMICO DO CURSO DE MEDICINA - (2)ESPECIALISTA EM CARDIOLOGIA. PROFESSOR - CENTRO UNIVERSITÁRIO DE PATOS DE MINAS (UNIPAM)

Dentre as causas de HAS 2ª, tem-se a estenose da artéria renal, causada principalmente por doence aterosclerótica e displasia fibro muscular. Sendo esta última não-aterosclerótica e não-inflamatória, acometendo artérias de médio calibre, e raramente as de pequeno calibre. Relato do Caso: F.A.C, sexo acomiereno arterias de meior caliore, e faramente as de pequeno caliore, leator do Caso: FAL, sexo (meninio, 36 anos, tabagista, em uso de anticoncepcional injetável há mais de Sanos, Foi orientada a buscar auxilio medico devido a niveis tensionais elevados em triagem para doação de sangue (PA:180/90mmHg). Procurou atendimento em pronto socorro local por este motivo, solicitado exames abaixo e orientada a consultar cardiologista, queixava-se de enjoos, cólicas intestinais e celaleia há meses, além de quadro crônico de ansiedade. Em consulta de 20/04/2017 sua PA era 120/70mmHg, já em uso de candesartana/HCT (16/12,5mg) prescrita no pronto socorro, com spor sistólico 3+/6+ em flancos em esogástrio. MAPA com PAS média 154mmHg/24h e PAD média 102mmHg/24h. Revisão laboratorial de hipertensão, incluído TSH e ECG sem alterações. Foi então realizado US Doppler que mostrou estenose arterial renal, confirma da em angio-TC renal. Submetida a angiografia com angioplastia de artéria renal direita, sem stent, evoluindo com controle razoável dos níveis pressóricos, porém na consulta de out/2017 associamos ao tratamento nitrendipina (Relato de medidas domiciliares acima de 140/90mHg). Nova angio-TC não mostrou reestenose significativa. HD:HAS renovascular por fibrodisplasia, sem melhora importante após angioplastia, necessitando de 3 dasses de anti-hipertensivos, quadro de ansiedade relevante. CD: Ajustado tratamento necessitando de 3 classes de anti-injertensivos, quadro de ansiedade relevante. CD: Ajustado tratamento para ansiedade com bupropiona e encaminhada para psicoterapia e ao neflodigista. Discussão: Os métodos de US Doppler renal, angiografia por RNM ou TC, arteriografia renal estão indicados para o diagnóstico e rastreamento de doença renovascular. (MALACHIAS et al., 2016) HERM ANN et al. (2018) indicam a ICP com catetre halão nas lesões fibrodisplásicas. A escolha cirúrgica é uma opção provável quando há estenose recorrente. (PERSUet al., 2016) Apesar da alta eficácia da angioplastia (BORELI), 2015), a paciente tinha outros fatores de risco com o uso de anticoncepcional, tabagismo e importante ansiedade. Com base na inivitase da que o estado enocional interfero a pressão atential am uma matrafísica mo 2015. Vue an ecols hipótese de que o estado emocional interfere na pressão arterial, em uma metanálise em 2015, Yu Pan e cols, demostraram forte associação entre ansiedade e hipertensão arterial. Suportando anecessidade de detecção precoce e tratamento desta entidade nos hipertensos. Condusão: Assim, a identificação dos fatores de risco foi essencial para o desfecho favorável do caso. Além disso, a partir do diagnóstico precoce da estenose da foi essencial para o desfecho favorável do caso. Além disso, a partir do diagnóstico precoce da estenose da artéria renal, rapidamente pode-se intervir -de modo cirúrgico un ño-, a fim de preservar a função renal. A referências Biblograficas: 1,5M; Chapas, Wil, Avela, M. da el Hipertenalo errovascular por displasia Biomusculas; Posou Javas Br. 2005, vol. A. P1, -MALCHES, M.Y.R.; 5002A, W.K.S.S.; PLAWIKELT, POIDER TERRETEN BRASELEIRA DE HIPERTEN SAO ARTERILA; Sociedade Basileirade Cardiologia. SSN-4066-783. Volume 107, W.S.; 50, play, 5, Seembro 2016; p.G.F-268, 9-SAA, L. SZRRG, G., TMCRIBANA, A. et al. ID Dietrito Perescologia. SSN-4066-782X. Volume 103, W.S.; 50, play, 5, esembro 2014, p.54-4 HERMANN, 5, H.; TEXTOR, S.C. Current Concepts in the Teatment of Renovascular Hypertension. American Journal of Hypertension. Volume 103, W.S.; 50, play, 5, play, 6, play, 6

EP112

O ACESSO AMPLIADO À ANGIOPLASTIA FRENTE AO CRESCENTE NÚMERO DE OCORRÊNCIA DE INFARTO AGUDO DO MIOCÁRDIO NO ESTADO DE MINAS GERAIS.

BRUNO BASTOS GODOI, PATRICIA FRAGA PAIVA, CAMYLLA SANTOS DE SOUZA, ADELMO ISAAC MEDEIROS AVELINO, CAROLINA FRAGA PAIVA, VITÓRIA MIKAELLY DA SILVA GOMES, EMANOEL GUIMARÃES PAIVA E JOÃO DAVID DE SOUZA NETO

As doenças cardiovasculares respondem pela principal causa de morte no mundo, entretanto dispomos de valiosas estratégias terapêuticas, como a intervenção coronária percutânea precoce (ICP). A eficácia desse tratamento é aferida a partir da avaliação da melhora da qualidade de vida dos pacientes coronarianos, como a diminuição das limitações físicas e o restabelecimento da percepção do estado de saúde. Objetivo: O Presente trabalho tem como objetivo apresentar dados colhidos no sistema DATASUS relacionados ao acesso ampliado à angioplastia frente ao crescente número de ocorrência de infarto agudo do miocárdio no estado de Minas Gerais. Método: Estudo quantitativo, populacional, descritivo, observacional e transversal Dados disponíveis na plataforma DATASUS de 2008 a 2017. Resultados: (tabelas) Considerando a última década, observou-se, primeiramente, que o total de procedimentos (angioplastia coronariana, angioplastia coronariana com implante de dois stents, angioplastia coronariana com implante de stent, angioplastia coronariana primária) foi responsável por 148.152 internações em Minas Gerais. Em de sietir, anjigioplastia curofiaria a primitaria di responsaver por 146. 122 internações em minia sucrais. Em relação aos gastos obtidos com tais procedimentos durante o período analisado, o estado gastou o montante de R\$ 685.769.756,28. Conclusão: Os resultados apontam um aumento considerável deste procedimento, ocasionando importante elevação de gastos públicos, não acompanhados pelos registros de óbitos, que apresentarma aproximação aos registros apresentados nesta década. Desta forna, a regionalização, hierarquização, o acesso aos serviços de saúde e mão de obra profissional qualificada egiorianzagon, imeraprianzagon, o decesso dos serviços de sadure e limad de obita profissionia obodem estar diretamente relacionados aos resultados apresentados, Referências Bioliográficias: Barausk amuleaniae, E. Unikaira R. The impact of clinical and angiographic factors on pecutaneous comonary angioplasty outromes in patient levation mycardial infarction. Arch Med Sc Atheroscler Dis. 2016;1(1):e150-e157. Darvishpour A. Javadi-Pashak N. Sabari A. Sador Seigla M. Factors associated with quality of life in patients undergoing comonary angioplasty in I Health Sci Qassimi, 2017;1(1):e153-41.

NÚMERO DE INTERNAÇÕES POR ANO NO ESTADO

DE MIG		
ANO AVALIADO	NÚMERO DE INTERNAÇÕES	
2008	11.734	
2009	12.911	
2010	13.253	
2011	14.587	
2012	15.698	
2013	15.635	
2014	15.384	
2015	15.340	
2016	16.401	
2017	17.209	

ANO AVALIADO	GASTOS ANUAIS
2014	R\$ 76.041.316,08
2015	R\$ 75.039.795,68
2016	R\$ 80.546.860,18
2017	R\$ 87.150.199,50

ANO AVALIADO	ÓBITOS ANUAIS
2008	1.095
2009	1.138
2010	1.114
2011	1.094
2012	1.094
2013	1.181
2014	1.196
2015	1.136
2016	1.243
2017	1.205



RESUMO DE TEMAS LIVRES | 28º CONGRESSO DA SOCIEDADE MINEIRA DE CARDIOLOGIA

FP 113

O LISO DE LIM INIRIDOR DA PCSK9 NA REDUCÃO DA LIPOPROTEÍNA DE BAIXA DENSIDADE EM UMA PACIENTE PÓS-SÍNDROME CORONARIANA AGUDA

ARAUJO, G.M; NEUENSCHWANDER, F.C; LAMOUNIER, I.V.R; LANZA, G.H.S.P; SIMÃO, J.R

HOSPITAL VERA CRUZ

Um a cada quatro óbitos ocorrem como resultado de doenças cardíacas ou da circulação cerebral (AVC), sendo a maioria por doença arterial coronariana. Dado a isso, houve nos últimos anos, um grande avanço nos estudos para prevenção e tratamento dessas entidades. As melhorias obtidas no diagnóstico e controle dos fatores de para prevençar e tantamento dessas entudues. As mentonas outuais no trolagiostico e Cuntine dos naciones ver risco do sistema cardiovascular, levaram a uma redução das taxas de óbito por doença atero trombótica nas últimas décadas. Dos fatores de risco atero trombóticos, o colesterol da lipoproteína de baixa densidade (LDL-C) é o que tem associação causal melhor estabelecida com morte cardiovascular. As diretrizes enfatizam o LDL-C como o principal alvo da terapia hipolipemiante, como objetivo de melhorar o prognóstico cardiovascular em longo prazo. A maior parte do colesterol LDL em circulação é sintetizada no figado, pela HMG-C o A redutase, e o principal meio de removê-lo da circulação é através de receptores hepáticos. Com isso, as terapias atuais têm por objetivo reduzir a taxa de biossíntes e do colesterol (principal efeito das estatinas) ou sua taxa de absorção osjetivo reduzir a taxa de chasante e de contractor principal et en do se statinary ou sua taxa de asovição (ezetimiba, sequestrantes de ácidos biliares ou esteróis de origem vegetal). A terapa com anticorpos monodonais anti-PCSK9 tem liderado o campo de desenvolvimento científico. A inibição da pró-proteína convertase subtilisina/kexina tipo9 (PCSK9) é um novo conceito terapêtutico baseado na redução do nível plasmático do LDL-C por meio do aumento de sua depuração hepática. A redução da atividade ou expressão da PCSK9 aumenta o número dereceptores LDL, o que reduz o colesterol LDL circulante (figura1). Esses agentes são administrados por meio de injeção sub cutânea e têm efeito de longa duração, exigindo aplicações pouco frequentes. Resultados demonstram reduções acentuadas do LDL-C resultantes da inibição da PCSK9, independentemente da natureza oemonstram reduções acentuadas ou DL-L resultantes da inibição da PCSN, indeepenentemente da natureza da terapia hipolipemiante de base. Recentemente publicado, o estudo ODYSSEY, que avalidou os resultados cardiovasculares em 18.924 pacientes após uma síndrome coronariana aguda (SCA), o uso um medicamento inibidor da PCSK9 mostrou benefícios terapêuticos e melhora do prognostico em pacientes de alto risco cardiovascular, com redução do LDL-C (Tabela1). Objetivo: Demonstrar o uso de um inibidor da PCSK9 em uma paciente após um evento de SCA, que não apresentava controle do LDL-C mesmo em uso de altas doses de estatinas. Método: Revisão crítica da literatura médica sobre o uso de inibidor da PCSK9, sobretudo, no estudo ODYSSEY, somado a este relato de caso. Descrição e Resultado: Paciente 54 anos, sexo feminino, leucoderma our sucressidado e de BeloHorizonte, apresentou no día 30/09/2015 quadro de SCA, sendo submetida a revascularização completa percutânea. Recebeu alta hospitalar em doses otimizadas de medicações para controle pós evento de SCA, usando estatina em dose alta e associada a ezetimiba, porém manteve-se com LDI-Centre 150-200mg/dl. Indicado uso de Inibidor da PCSK9 (Alirocumab) na dosel 50mg subcutâneo a cada 15dias, associado a terapia hipolipemiante. Apresentou durante tempo de acompanhamento, redução do LDL-Cexpressiva, chegando a dosagem de 23mg/dl. Conclusão: A associação da elevação dos níveis circulantes de linoproteínas aterogênicas, especialmente o colesterol LDL, leva a um risco maior de eventos cardiovasculares Com isso é necessária a implementação de novas estratégias terapêuticas capazes de avançar sobre esse risco. Recentemente os inibidores da PCSK9 se mostraram efetivos quando adicionados a outro hipolipemiante na Recentemente os inibidores da PCSK9 se mostraram efetivos quando adicionados a outro hipolipemiante na redução de IDI-C e consequentemente do irisco acridivasculos. Interherias Billorgiaficas : SCUMBATC. Geoppo, et al. Education to the consequence of the conse



EP 115

ACOMETIMENTO ISOLADO DA CÂMARA CARDÍACA DIREITA NA MIOCARDIOPATIA CHAGÁSICA: RELATO

DEBORAH CRISTINA DA SILVA CARDOSO¹, VINÍCIUS SARMENTO VALÉRIO¹, MARIA CRISTINA COSTA DI

ACADÊMICO(A) DE MEDICINA - CENTRO UNIVERSITÁRIO DE BELO HORIZONTE - UNIBH. 2MÉDICA CARDIOLOGISTA E ECOCARDIOGRAFISTA PELA SBC , DOCENTE UNIBH

A doença de Chagas constitui um dos principais problemas de saúde pública e importante causa de A oberiça de Chagas Constitui um dos principais protiemas de saude publica e importante causa de insuficiência cardiaca (IC) e mortalidade em nosso país. Cerca de 10 a 40% dos pacientes desenvolvem alguma forma de cardiopatia, sendo incomum o acometimento isolado da câmara direita. Apesar de haver relatos de disfunção ventricular direita, seu envolvimento decorre de disfunção concomitante e secundária ao acometimento do ventrículo esquerdo (VE). O presente relato mostra paciente com possível acometimento isolado do ventrículo direito. (VD). Objetivo: Relatar caso atípico de acometimento isolado de VD em paciente portador de IC descompensada por diagnóstico prévio de miocardiopatia chagásica (MC), com ausência de citais de securidados portantes de la consecución de la compensada por diagnóstico prévio de miocardiopatia chagásica (MC), com ausência de portador de la descompensada por alagnosucio previo de milocarriopata chagasica (ML), com ausencia de sinais de acometimento biventricular. Metodo: A.R.O, sexo masculino, 81 anos, hipertenso, portador de IC chagásica e fibrilação atrial, em uso regular de Carvedilol, Enalapril, Furosemida e Warfarin. Admitido no HIXXIII com sinais de congestão sistêmica. Ao exame, taquipneico, edema em MMII 3+/4+ e turgência jugular. Murmúrio vesicular diminuído em hemitórax direito. Ritmo cardíacto irregular, sopro sistôlico III/VI em foco tricúspide, abdome globoso e hepatomegalia. E.G.: Bloqueio completo de ramo direito e hemibloqueio anterior esquerdo. Doppler venoso em MMII sem sinais de trombose venosa profunda. Ecocardiograma transtorácico: VE com diâmetros normais e boa função contrátil global e segmentar. VD dilatado e hipocinético com redução da função sistólica global, aumento biatrial, regurgitação tricúspide importante. Pressão sistólica em artéria pulmonar (PSAP) 47mmHg; veia cava inferior (VCI) 31mm sem colabamento inspiratório. Ultrassom de abdome: hepatomegalia inespecífica e ectasia das veias hepáticas e VCI. Paciente cursou com descompensação cardíaca direita, com sintomas de franca congestão venosa. Discussão: A MC tem características fisiopatológicas peculiares que a diferem das outras miocardiopatias! A disfunção do VD tem papel fundamental na MC, levando a sinais de insuficiência ventricular direita mais evidentes que a congestão pulmonar em pacientes com manifestações dínicas da doença²,3. Alguns estudos demonstraram o acometimento do VD quando analisada a função biventricular¹. Disfunção grave de VD foi descrita como única anormalidade cardíaca funcional em pacientes assintomáticos com doença de Chagas crônica sem sinais clínicos evidentes de cardiopatia. Estudos em que se avaliou a função ventricular por outros métodos que não o ecocardiograma demostram que a disfunção sistólica do VD é achado comum na MC mesmo nos estágios iniciais da doença, porém raramente é encontrada na ausência de acometimento do VE². Em estudo em que se analisou a função ventricular de 158 pacientes com MC pela ressonância magnética (RM), houve acometimento isolado do VD em 4,4% dos pacientes⁴. Condusão: Apesar do acometimento isolado de VD ser raramente documentado na literatura, sua prevalência possivelmente seja maior se forem usadas técnicas mais sensíveis como RM ou angiografía por radionuclídeo. Isso contribuiria para melhor entendimento do porque a congestão sistêmica é mais predominante que a congestão pulmonar em pacientes com IC por MC. Portanto, deve-se dar particular atenção à investigação do VD em todas as formas da doença Cagásica. Diante de disfunção isolada do VD, o diagnóstico de MC deve ser considerado no diagnóstico diferencial em pacientes de zona endêmica Referências Bibliográficas: 1. Marin-Neto JA, Bromberg-Marin G, Pazin-Filho A, Simões MV, Maciel BC, Cardiac autonomic impairment and earl Retteretika bilanugiansa , malameta , malameta , suomuser , manan , phanameta , malameta na in Chagas' disease. Int J Cardiol 1998;65:261

FP114

ΤΡΑΤΑΜΕΝΤΌ ΝΑ ESTENOSE ΝΑς ΑΡΤΈΡΙΑς SURCIÁVIA ESQUERNA E CARÓTINA INTERNA ESQUERDA UTILIZANDO STENTS EM PACIENTE COM SÍNDROME DO ROUBO DA SUBCLÁVIA. ELAINE DE OLIVEIRA ALVES,HENRIQUE AUGUSTO BECHO DE CAMPOS,LETÍCIA DUTRA DE ARAÚJO BRANDI, LUANA GIRASOLE BRETAS, MARCUS VINICIUS DE PAULA DA SILVA, PATRÍCIO ARAÚJO DA SILVA

FACULDADE DE MEDICINA DE BARBACENA

A Síndrome do Roubo da Subclávia é uma desordem vascular em que há inversão do fluxo sanguíneo da artéria vertebral ipsilateral, distalmente a uma estenose, odusão da artéria subclávia proximal ou, raramente, do tronco braquiocefálico. Devido à redução da pressão na artéria subclávia distalmente à obstrução, o sangue flui anterogradamente pela artéria vertebral contralateral, chega à artéria basilar e reflui pela artéria vertebral ipsilateral. Ele é sequestrado do sistema basilar, o que pode comprometer o fluxo encefálico. É uma doença rara, relatada em 6% dos pacientes assintomáticos com sopro cervical. Os sintomas mais comuns são vertigem, síncope e daudicação intermitente da extremidade superior. O objetivo deste relato é descrever o tratamento percutâneo transluminal com stents da estenose das artérias subclávia esquerda e carótida interna esquerda em paciente com síndrome do roubo da subclávia. Descrição do Caso: Paciente feminino, 64 anos, hipertensa, tabagista, apresentou-se com quadro súbito de cefaleia intensa, seguido de hemiparesia no dimidio esquerdo. Exame físico: alerta, hidratada, corada, pressão a tratrial 100/60 mmHq, eupneica, afebril, ritmo cardíaco regular e ausculta pulmonar com murmúrio vesícular fisiológico. Exames complementares: Tomografía de crânio inalterada. Arteriografía torácica dos vasos da base e cerebral: estenoses do arco aórtico em 30%, subdávia esquerda em 90% na origem, carótida interna esquerda em 80%, carótida externa esquerda em 98%, vertebral esquerda obstruída em 70% e direita 30% e sistema vertebro-basilar sem patologia. Tronco braquiocefálico ocluído na origem. Constatou-se roubo de fluxo do sistema vertebro-basilar para a artéria subclávia direita. Hipótese Diagnóstica: Síndrome do Roubo da Subclávia, Acidente vascular encefálico isquêmico e Ataque isquêmico transitório. Conduta: A conduta proposta foi angioplastia com stents nas artérias carótida interna esquerda e subdávia esquerda com sucesso. Optou-se por abordagem futura da estenose do tronco braquiocefálico pelo risco tromboembólico. A paciente recebeu alta para seguimento ambulatorial. Conclusão: A relevância do caso consiste na identificação da patologia rara e elucida que tratamento percutâneo com stents é eficaz e menos agressivo na abordagem das estenoses arteriais responsáveis pela Síndrome do Roubo da Subc**l**ávia.







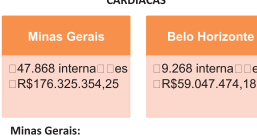
EP116

AS RELAÇÕES ENTRE INTERNAÇÕES POR ARRITMIAS CARDÍACAS E IMPLANTE DE CARDIOVERSOR DESFIBRILADOR: PANORAMA DE MINAS GERAIS NOS ÚLTIMOS 5 ANOS.

BRUNO BASTOS GODOL PATRICIA FRAGA PAIVA CAMYLLA SANTOS DE SOUZA LUCAS SANTOS GIRÃO WILLIAMINA OLIVEIRA DIAS PINTO, CAROLINA FRAGA PAIVA, EMANOEL GUIMARÃES PAIVA E JOÃO DAVID DE SOUZA NETO

A arritmia cardíaca é caracterizada por ritmo irregular do batimento cardíaco, podendo acometer qualquer idade. Além de medicamentos antiarrítmicos, a implantação de dispositivos do tipo marcapasso e desfibriladores tem sido sugerida para o tratamento de alguns desses pacientes. Neste contexto o presente estudo objetiva descrever as relações entre internações por arritmias cardíacas e implante de cardioversor desfibrilador (CVD) em Minas Gerais nos últimos 5 anos. Objetivo: O Presente trabalho tem como objetivo apresentar dados colhidos no sistema DATASUS relacionados ao panorama de MG nos últimos 5 anos sobre internações por arritmias cardíacas e implante de cardioversor desfibrilador. Método: Estudo quantitativo, populacional, descritivo, observacional e transversal. Dados disponíveis na plataforma DATASUS de 2013 a 2018. Resultados: (tabelas e gráfico). Conclusão: MG apresenta alta incidência de distúrbios da condução, o que condiz com a distribuição populacional dessa região. Apesar disso, a necessidade de intervenção cirúrgica é baixa, sendo o implante de CVD de câmara dupla Transvenoso o mais frequente. Referências Bibliográficas: fiu DG. Cardiac Arrhythmias: Diagnosis, Symptoms, and Treatments. Cel Biochem Biophys, 2015; 73(2): 291-296, Iordams I. A clinical approach to arrhythmias revisited in 2018 - From ECG over noninvasive and invasive electrophysiology to advanced imaging, which Heart. 2018; 26(4): 182-189.

DISTÚRBIOS DE CONDUÇÃO E ARRITMIAS CARDÍACAS



Taxa de mortalidade: 7,39

Média de permanência hospitalar: 4,9 dias.

IMPLANTES DE CVD – Ranking nacional



Preferências do implante de CVD em MG		
Câmara dupla transvenoso	456 (50,1%)	
Câmara única transvenoso	318	
Multi-sítio transvenoso	112	
Multi-sítio endocavitário com reversão para epimiocárdico	16	
Multi-sítio transvenoso epimiocardíaco por toracotomia	7	

MG: 2º lugar (28,9% de 3.145 procedimentos)		
Mortalidade SE: 0,89 (38 maior do país)	Mortalidade MG: 0,55 (2ª menor da região)	
Gasto total de MG: R\$40.099.613,40		
Média de permanência por internação: 5,3 dias		





FP117

CARDIOPATIA RELIMÁTICA: ACOMETIMENTO POR FAIXA ETÁRIA E REGIÕES RRASILEIRAS

ROLDI, A. E1; ARRUDA, B. C. A. P1; FARIA, C. S. P1; MENDES, D G.1; MACIEL, E. B. P1; ROQUE, E.L.1; COSTA I. H. M.2: FARIA, I. S. P3: TAVARES, I. B. S.1

ACADÊMICAS DO INSTITUTO METROPOLITANO DE ENSINO SUPERIOR (IMES), IPATINGA/MG: 2 MÉDICA DO HOSPITAL MÁRCIO CUNHA, IPATINGA/MG; 3-ACADÊMICA DO CENTRO UNIVERSITÁRIO DE VOLTA REDONDA VOLTA REDONDA/RI

A fisionatologia da febre reumática (FR) e da cardionatia reumática crônica (CRC) são deflagradas pela infecção Streptococcus 8-hemolítico do grupo A. Prevalece ainda como diagnóstico os Critérios de Jones estabelecidos em 1992 pela American Heart Association (AHA). A cardite deixa sequelas progressiva: estaduectudos em 1992 peda Alientical netari Association (Arria). A Caronic delha sequetas progressivas epermanentes, sendo a maior causa de mortalidade cardiovascular em adultos jovens de países em desenvolvimento. Além disso, gera desdobramentos sociais e econômicos para o paciente e para a nação. (MULLER, 2011; FILHO, 2012; PEREIRA; BELO; SILVA, 2017). Método: Estudo retrospectivo, com base em dados das plataformas DATA-SUS, SIH/ SUS, associado a revisão de literatura em sites como Pub Me de Scielo. Foram analisados dados de morbidade e mortalidade da Cardiopatia Reumática no Brasil por regiões e Unidade da Federação. Resultados: A mortalidade no país por faixa etária segundo Grupo CID-10 no período de 2016, FR atingiul 16 casos totais, com 21 casos nas faixas de 40-49 anos e 50-59anos. Alo óbitos por CRC, foram mil vezes maior em comparação à FR, atingindo 1951 casos. A prevalência de casos por faixa etária foi diferente da FRA. Nos casos de CRC houve maior incidência de casos de 60-69anos. No que tange o acometimento por região brasileira, a mortalidade na faixa etária de 5-74 anos prevaleceu na região Sudeste, em todas as categorias de acometimento cardiaco reumático do CID-10 investigadas, no período de 2016. Com destaque para lesões da valva mitral, totalizando 871 casos. O dado encontrado de maior acometimento na região Sudeste é um dos fatores que corrobora o índice do SIH/SUS(2016), de que a região brasileira que associa-se a maior número de doenças do aparelho circulatório é a Sudeste, com 40.850 do total de 89.651. Vale destacar, que além de alta mortalidade no país, a FR foi responsável por 5,1 milhões de anos potenciais de vida perdidos ajustados para incapacidade (DALYs-"disability-adjuste dlife years") em análise global de 2004. (WHO,2012). Discussão: Na carditereumáticaaslesõesvalvaressãoresponsáveispeloquadroclinicoeoprognóstico. As lesões valvares de fase aguda são insuficiência mitral seguidas de insuficiência aórtica. Quando estabelecido doença crônica há endocardite e maio acometimento por estenoses valvares. O grau de comprometimento valvar associa-se a insuficiência cardíaca e maior morbi/mortalidade podendo resultar em fibrilação atrial, hipertensão arterial pulmonar, ascite e edema. (FILHO, 2012: PERFIRA: BELO: SILVA, 2017). Conclusão: Diferencas entre aspectos socio econômicos e acesso a assistência médica entre as regiões brasileiras, dificultam a fidelidade desses dado: regionais. É reconhecido o fato de ser um problema de saúde pública e apesar de existir medida: comprovadamente eficazes, as estratégias de prevenção seguem falhas e insuficientes. As publicaçõe: científicas reduzidas sobre CRC contrapõe a alta incidência da doença nos serviços cardiológicos e elevada

científicas reduzidas sobre CRC contrapõe a alta incidência da doença nos servi mortalidade cardiovascular evitável. (FILHO, 2012, MULLER, 2011). Ha defenéradas Biblioglifas: Dietreires basilieis para o diagnostica, tratamento e prevendo da febre entre de la compositio entre de la compositio de



EP 119

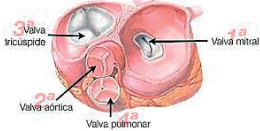
RELAÇÃO DO COMPROMETIMENTO CARDÍACO NA FEBRE REUMÁTICA

CORREIA, M. C. A1; MENDES, D. G1; ROLDI, A. F1; ARRUDA, B. C. A. P1; FARIA, C. S. P1; ROQUE, E. L1; MACIEL, E. B. P1; COSTA, J. H. S. M3; FARIA, L. S. P2; TAVARES, L. B. S1.

1- ACADÊMICOS DO CURSO DE MEDICINA DO INSTITUTO METROPOLITANO DE ENSINO SUPERIOR (IMES); 2- ACADÊMICA DO CURSO DE MEDICINA DO CENTRO UNIVERSITÁRIO DE VOLTA REDONDA (UNIFOA): 3- ESPECIALISTA EM CLÍNICA MÉDICA: MÉDICA ATUANTE NO HOSPITAL MÁRCIO CUNHA:

A febre reumática (FR) é uma complicação não supurativa da faringoamigdalite causada pelo estreptoco A teore reumatica (+ry e uma complicação não supurativa da rainigoamigoanite causada pelo estreproco-co beta-hemolítico do grupo A e, em populações geneticamente predispostas, decorre da resposta imune tardia a essa infecção (PEIXOTO et al., 2011). A cardite reumática é a mais importante das manifestações clínicas e se caracteriza, na maioria das vezes, por valvulite, em especial das valvas aórtica e mitral, podendo assim se cronificar e originar sequelas incapacitantes (PEREIRA, BELO, SILVA, 2017). Segundo o Ministério da Saúde existe uma prevalência de FR ao redor de 3% entre crianças e dedecembre condo acendos de productivas de construires cardificares de Parti (COSTA, POMICANO). adolescentes, sendo responsável por 40% das cirurgias cardíacas no Brasil (COSTA, DOMICIÁNO, PEREIRA, 2009). Objetivo: O presente trabalho tem como objetivo analisar e comparar os dados relativos ás manifestações cardíacas na Febre Reumática, avaliando sua prevalência e demostrando sua relevância na morbimortalidade. Método: Estudo transversal, retrospectivo, com base em dados fornecidos por plataformas como DATA-SUS, INCA, revisão de literatura disposta online em sítios como Scielo e PubMed, e materiais didáticos impressos da área de cardiologia. Resultados: Dados retirados do DATASUS mostram que no Brasil foram registrados 418 óbitos por FR com comprometimento cardíaco em pessoas de 5 a 74 anos, durante o período de 2010 a 2016, enquanto há somente 257 óbitos por FR sem menção de comprometimento do coração. Esses achados evidenciam a relevância das complicações cardíacas, sendo a manifestação mais grave, que pode deixar sequelas e acarretar óbito. Condusão: A FR é uma doença que pode evoluir com complicações graves, mas pode ser facilmente prevenida, contudo o percentual de pacientes acometidos ainda é crescente. No Brasil, ela ainda é um problema relevante de Saúde Pública, sendo uma das doenças que acarreta maiores custos, pois exige repetidas consultas, determina múltiplas internações hospitalares e cirurgias cardíacas para correção das sequelas valvares. Referências Bibliográficas: PEDXTO, L. L. et al. Febre reunática: revisão sistemática. Rev Bras Clin Med., v. g. n. 3, p. 234-238, 2011. • PEREIRA, B. A F. EBLO, A. B.; SIVI, A. A. Febre reunática: raulatição dos cirífeios de Jones à fuzz da revisão da Anterian Heart Association – 2015 Rev Bras c; EELO, A. R.; SILVA, N. A. Febr reumática: atualgazão dos critérios de Jones à luz da revisão do America. Reumatol, v. 57, n. 4, p. 364–368, 2017. «COSTA, L. P.; DOMICIANO, D. S., PERBIRA, R. M. R. Características d adollogicas de febre reumática no Brasil revisão sitemática. Rev. Bras. Reumatol, v. 49, n. 5, p. 617–622, 2009





EP118

PREVENÇÃO PRIMÁRIA DE MORTE SÚRITA NA CARDIOMIOPATIA HIPERTRÓFICA ESCORE DE RISCO DA ESC MODIFICADO POR RESSONÂNCIA CARDÍACA

Gabriela D.C. Oliveira: Bruna S.V.F. Duarte: Hélio L. Brito Jr.: Gabriel L. Passos: Thaiz R.

HOSPITAL LINIVERSITÁRIO DA LIFIE - ILUZ DE FORA - MG

A cardiomiopatia hipertrófica (CMH) é uma doença genética autossômica dominante que atinge cerca de 0,2% da população, principalmente jovens e atletas, com pico incidência entre 24-40 anos¹. Cursa com alterações das proteínas dos sarcômeros cardíacos e hipertrofia ventricular que favorecem o desenvolvimento de arritmias e morte súbita cardíaca (MSC)². Neste contexto, a calculadora proposta pela Sociedade Europeia de Cardiologia (ESC)³ - HCM Risk-SCD Calculator tem-se mostrado como importante ferramenta na estratificação de risco de MSC. Objetivo: Descrever a importância da calculadora de risco da ESC na estratificação de prevenção primária de MSC na CHM, utilizando-se de forma alternativa, dados importados de Ressonância Magnética (RM). Relato de Caso: Paciente, sexo feminino, 50 anos, avaliada no ambulatório de cardiologia do HU-UFJF para risco cirúrgico de colecistectomia. Queixa de palpitações e dispoeia há 01 ano. Havia também, relato de parada cardíaca (sic) aos 30 anos no intraoperatório de apendicectomia, sem documentação. Exames complementares: 1 ECG: ritmo sinusal, bloquejo divisional ântero-superior esquerdo, bloquejo de ramo direito, e padrão qR em parede anterior; 2-Ecodopplercardiograma transtorácico (ETT): diâmetros ventrículo esquerdo (VE) 41/20mm, septo 13mm, parede posterior 12mm, sem gradiente significativo na via de saída VE, FE=69%, átrio esquerdo 42mm; 3-Holter 24 horas: taquicardia ventricular não sustentada (3 batimentos); 4 RM: diâmetros: 51/27mm, aumento importante da espessura ventricular na parede anterior do segmento basal (29mm), presença de áreas de realce tardio sugestivas de fibrose miocárdio em parede anterior e porção basal (massa de fibrose: 15,75 g -17%). Após diagnóstico de CMH assimétrica, foi calculado risco global de morte súbita pela calculadora da ESC utilizando os dados do ETT (13mm): 4,17% risco de MSC em 5 anos, não sendo geralmente indicado implante de cardiodesfibrilador implantável (CDI). Porém, quando utilizado diâmetros encontrados na RM (29mm): risco de 7,27% de MSC, sendo indicado quanco utulizado diametros encontrados na RM (29mm): risco de 7,27% de MSC, sendo indicado implante de CDI. Conclusão: A estratificação de MSC é imperativa nos pacientes com CMH para a definição de profilaxia primária com CDI. A RM vem ganhando espaço não somente no diagnóstico como também na avaliação prognóstica destes pacientes, Retenias Bibliogáficas: 1-BRAUNWAID- Tratado De Deenças Cardiovasculares - 9º edição - Cap 60 - Reg 1620-1632. 2-Bittencourt et al. Morte súbita na cardiomioptaia hipertráfica, Int J Cardiovasc Sci. 2016;29(6):504-113. 3-ESC caideleines on Diagnosis and Management of Hypertrophic Cardiomyopathy (Eur Heart J 2014 – doi: 10,1093/eurheart/ehu284).



EP 120

SÍNDROME DO ROUBO DA SUBCLÁVIA: UM RELATO DE CASO

ARRANTES MARINA GOMES: CARALINE ELIZA MIRANDA COSTA / LINIREDENTOR

O presente relato refere-se a paciente atendida em consultório na cidade de Itaperuna-RI. Objetivo: O objetivo desse relato de caso é suscitar discussões em relação àSíndrome do Roubo da Subclávia. Método: Paciente atendida em consultório e o caso discutido com alunos do curso de medicina. O embasamento teórico foi realizado através de pesquisa de artigos na Biblioteca Virtual em Saúde (BVS). Resultado: M.J.F.S., 67 anos, casada "morada da zona rural. Apresentou-se relatando Síndrome do Pânico e estar extremamente esquecida. Dislipidemia e HAS de longa data, ex-tabagista e não etilista, refired cirurgia de aneurisma de aorta há 18 anos e cateterismo. Em uso de Cilostacol 100mg, Rosuvastatina 20mg, AAS 100mg, Enalapril 20mg, Rivotril 2mg, Escitalopram 20mg. Ao exame físico, PA sentada: 140x80mmHg/ PA deitada: 150x100mmHg, RCR2TBNF e nada mais digno de nota. Solicita dopreventivo, mamografía, RNM de crânio, bioquímica, ecodoppler de carótidas, densitometria óssea. Após 40 dias, retorno com RNM de crânio sem alterações significativas e Ecodoppler de carótidas com doença aterosclerótica difusa bilateralmente com estenose moderada em ambosos bulbos carotídeos e 1/3 proximais de carótidas internas, sem distúrbio de fluxo. Importante distúrbio de fluxo no início da artéria subdávia direita compatível com estenose acima de 70% do diâmetro, com fluxo distal amortecido e inversão do fluxo sistólico da artéria vertebral direita configurando síndrome do roubo da subclávia direita do tipo 2 (SRSc). HD: SRSc tipo 2. CD: Orientações gerais, paciente encaminhada para cirurgia vascular. Conclusão: ASRSc é uma desordem vascular relativamente rara, na qual ocorre inversão de fluxo de sangue da artéria vertebral ipsilateral. Alguns dos sintomas decorrentes da hipoperfusão cerebral vértebro-basilar, consequente do desvio do fluxo sanguíneo característico da síndrome do roubo da subdávia, são hemiparesia, cefaleia, disfagia, vertigem, confusão mental, perda de consciência, além de isquemia do membro superior ipsilateral ao comprometimento. M.J.E.S. não apresentava sintomas clássicos da doença, como a maioria dos pacientes. A presença de sintomas pode estar relacionada com a localização e grau de estenose, concomitância de doença arterial carotídea e lesões na artéria vertebral contra lateral. No caso, a paciente apresentava estenose modera da carotídea, sem distúrbio de fluxo nestas artérias, o qual acontecia no início da artéria subclávia direita e no fluxo sistólico da artéria vertebral direita. O fluxo reverso na fase sistólica a classifica como do tipo 2. M.J.F.S. apresentava os principais fatores de risco da doença, tabagismo, hipertensão e dislipidemia. O tratamento da síndrome é cirúrgico para restauração do fluxo normal da artéria vertebral, portanto, foi a CONDUTA adotada. Referèncias Bibliográficas: NEIVA, Murilo Miglio. Sindrome do roubo da subclávia: relato de caso-Subclavian steal syndrome: case report - Salo Paulor, sn; 2011. list, sla. DEPEUSPASSOS, Mauroetal. Atualização sobre Ultrassom Doppler das Antérias Vertebnais: Sindrome do Roubo da Subdávia. ABC, imagen cardiovasc; 29(2): S5-62, abr-jun. 2016. ilus, graf BERNADES, Carlos Henrique Alvarengaetal. Subclaviansteal syndrome: Case Report. Acad Medica Misericordia: 2(1): 38-41, 1999.



RESUMO DE TEMAS LIVRES | 28º CONGRESSO DA SOCIEDADE MINEIRA DE CARDIOLOGIA

FP 121

ACOMETIMENTO CARDÍACO EM PACIENTES COM FERRE AMAREI A NA EPIDEMIA DE 2018 NO RRASII

GABRIFLA M. M. PAIXÃO¹. MARIA DO CARMO P. NUNES¹. BRUNO D. V. G. BEATO². KACIANE K. B. OLIVEIRA¹ BRENO DE FILIPPO REZENDE¹, JOÃO PEDRO P. RIOS¹, LEONARDO S. PEREIRA³, MARIA RITA D. TEIXEIRA³, NEIM R. OLIVEIRA³, ANTONIO LUIZ P. RIBEIRO¹, BRUNO R. NASCIMENTO¹.

HOSPITAL DAS CLÍNICAS DA UNIVERSIDADE FEDERAL DE MINAS GERAIS, BELO HORIZONTE, BRASIL; 2 HOSPITAL FELÍCIO ROCHO. BELO HORIZONTE. BRASIL 3- HOSPITAL EDUARDO DE MENEZES - FHEMIG. BELO HORIZONTE, BRASIL FINANCIAMENTO: EDWARDS LIFESCIENCES FOUNDATION

As arboviroses são ainda um problema de saúde pública no Brasil, e nos últimos anos o número de casos de Febre Amarela (FA) tem aumentado no país. Já foram descritas bradiarritmias e alterações de condução relacionadas à doença, além da presença do antígeno da FA em tecido miocárdico. Objetivos: Avaliar a ocorrência de alterações cardiovasculares em pacientes com FA admitidos em um centro de referência em infectología durante a epidemia de 2018 no Brasil. Métodos: • O estudo PROVAR+: utiliza profissionais nao-especialistas, telemedicina e ecocardiografia portátil para avaliação cardiovascular, • Amostra: Pacientes internados de Fey/18 a Mar/18 com suspeita dínica de FA. • Procedimentos: os pacientes foram submetidos a avallação dínica, laboratorial, ecocardiograma à beira do leito (GE Vivid IQ) com protocolo simplificado, eletrocardiograma (ECG) e, em caso de alterações, Holter 24h. • Leitura online: Os exames foram interpretados por telemedicina. • Avaliação adicional: Dois pacientes foram submetidos adicionalmente a ressonância magnética (RNM) cardíaca. Resultados: Pacientes avaliados: Foram admitidos consecutivamente 103 pacientes com suspeita dínica de arboviroses. Diagnósticos confirmados: 70 pacientes tiveram diagnóstico sorológico de FA, sendo 31% (N=22) com forma leve/moderada (G1) e 69% (N=48) com a forma grave (G2). Idade média: 178, Seriou 3 78 (14–22) Controllar de everprincierada (17) e 0.59 (11–42) Control folial giave (0.27) dade intetina, 48 ± 1.4 anos, 9.09% (N=63) do sexo mascullino. Evolução da internação: O tempo de internação foi de 13±12 dias e 61% (N=43) tiveram internação em CTI, com permanência de 7±7 dias. A mortalidade foi de 7,4% (N=5) e 1 paciente foi submetido a transplante hepático. Marcadores dínicos: Os valores médios de TGO e (N=5) e 1 paciente foi submetido a transplante nepatico. Marcadores clinicos: Us valores medios de 16U e creatinia foram 33/0±3601 Jule 1,7±2,6 mg/ld. Alterações ao ECG: Anomalidades foram encontradas em 54,5% dos pacientes do G1 e 68,8% do G2, p=0.29. Bradicardia sinusal foi presente em 24,3% (N=17), G1 22,7% x G2 25,0%, p=0.67, sem prolongamento do intervalo Pri. (Figura 1). Holter: dos 32 pacientes submetidos ao Holter, 14 (44%) tinham FC média <60 bpm, sendo 8 pacientes do G2. • Ecocardiograma: disfunção ventricular esquerda leve a moderada foi observada em 4 (5,7%) pacientes, todos do G2. Foi observado um padrão infiltrativo, com textura hiperrefringente do miocárdio, em 17 (24,3%) dos pacientes (G1 18,2% x G2 27,1%, p=0,55). (Figura 2); • RNM: realizada em 2 pacientes e evidenciou áreas de realce tardio sugestivas de processo inflamatório (miocardite). (Figuras 3 e 4). hiperrefringência ventricular ao ecocardiograma. Conclusão: Parece haver envolvimento miocárdico na FA, marcadamente bradicardia e um padrão infiltrativo do miocárdio. A avaliação rotineira através de exames complementares e or acompanhamento cardiovascular podem ser fundamentais no manejo desta arbovirose, Referências Bibliográficas: 1 Monath I, Vasconcelos Piellow feez, Journal of Clinical Virology, 2015;64:166-173; J. Pan American Health Oganatision (World Health Oganization Epidemiological Ubdar: Vellow Feez, Olama del Clinical Virology, 2015;64:166-173; J. Pan American Health Oganatision (World Health Organization Epidemiological Ubdar: Vellow Feez, Olama 2018) Internal, Washington, D. C. PANO/WHO; 2018. Available from http://dxipypropts. 1) Upon The Complex of the 2018 [Internet]. Washington, D.C.: PAHO/WHO; 2018. Available from: http://bit.ly/zbymp/ nt Journal. 1931;6(4):483-503.; 4. De Silva M, Sharma A, Staples E, Arndt B, Shieh W, Sha pic Disease - Oregon, September 2014. Morbidity and Mortality Weekly Report. 2015;64(1









EP 123

CONCORDÂNCIA ENTRE OS CRITÉRIOS DE DUKE EM UMA SÉRIE DE 20 CASOS DE ENDOCARDITE INFECCIOSA EM UM HOSPITAL GERAL, TERCIÁRIO, DE BELO HORIZONTE

FERNANDA R. ARAUJO, KAMILA S.M. CHAMON, CAMILA M. FREITAS, JÉSSICA M.C. SOUSA, GUSTAVO F WERNER, ESTÊVÃO LANNA FIGUEIREDO

HOSPITAL LIFECENTER - BELO HORIZONTE

A Endocardite infeciosa (EI), é uma doença de alta morbidade e letalidade se não tratada a tempo. Tratase de uma infecção bacteriana ou fúngica da parede interna do coração ou de suas valvas. Para o diagnóstico da EI, os critérios de DUKE persistem como fundamentais, segundo diretrizes nacionais o internacionais. Tais critérios baseiam-se em sintomas, sinais dinicos, ecocardiográficos e laboratoriais (Tabela 1). Objetivo: Correlacionar os critérios de Duke com os achados clínicos, laboratoriais e ecocardiográficos dos pacientes internados com El em nosso serviço. Material e Método: Coorte retrospectiva realizada pela análise de prontuários, limitada ao período entre janeiro de 2017 e maio de 2018. Este trabalho descreve e correlaciona os critérios de Duke encontrados nos dados clínicos, laboratoriais e ecocardiográficos dos pacientes diagnosticados com El em nosso serviço no referido período, descrevendo os critérios mais prevalentes e será analisado a eficácia deste teste para a confirmação da doença em todos os pacientes avaliados. Além disso, foram realizadas pesquisas de artigos nas bases de dados Pubmed e Scielo. Resultados: Vinte pacientes foram diagnosticados com El em nosso serviço, no período mencionado. Dentre eles, doze (60%) homens e oito (40%) mulheres com a idade média de 64 ± 18,88 anos. Aplicando-se os critérios maiores de Duke, verificou-se: presença de vegetação ao Ecodopplercardiograma em quinze pacientes (75%) e hemoculturas positivas em dezenove pacientes (95%), o que já confirmaria a doença nos casos suspeitos de El pois são necessários a presença de dois critérios maiores para tal confirmação. Ainda nos critérios maiores, três (15%) pacientes apresentaram sopro cardíaco novo. Dos critérios menores, febre > 38°C estava presente em dezesseis (80%) pacientes e a presença de prótese valvar em quatro (20%) pacientes. Dos demais critérios menores, apenas dois pacientes (10%) apresentaram fenômenos vasculares e nenhum outro paciente apresentou os demais critérios menores apresentados na tabela 1. Discussão de Conclusão: Em nossa série de 20 casos, os principais critérios diagnósticos de endocardite observados foram a presença de vegetações nas valvas, exame de hemocultura positivo e a presença de febre maior que trinta e oito graus. Isto está de acordo com a literatura uma vez que dois critérios maiores já são suficientes para considerar a presença de endocardite infecciosa e também são os critérios mais comumente encontrados na prática médica. Em nossa casuística, os critérios menores, isoladamente, não confirmariam o diagnóstico, uma vez que poucos pacientes apresentaram outras características além da febre. Entretanto, a presença de febre e a suspeita dínica nos fizeram solicitar o Ecodopplercardiograma e as hemoculturas. Portanto, os cardiologistas devem estar atentos e utilizar os critérios de Duke para fazer um diagnóstico correto e

cardiologistas devem estar atentos e utilizar os critérios de Duke para tazer um diagnostico corre assimitaria o paciente o mais rápido possível, evitando as complicações futuras e o óbito. Referências Bibliográficas 1.2015 ESC Guidelines for the management of infective endocarditis of the European Society of Cardiology (Schurtas e o óbito).

Bak force for the Management of Infective Endocarditis of the European Society of Cardiology (Schurtas e o óbito).

Bak force for the Management of Infective Endocarditis of the European Society of Cardiology (Schurtas e o óbito).

Bak force for the Management of Infective Endocarditis of the European Society of Cardiology (Schurtas e o óbito).

Bak force for the Management of Cardiology (Schurtas e o óbito).

Bak force for the Management of Cardiology (Schurtas e o óbito).

Bak force for the Management of Cardiology (Schurtas e o óbito).

Bak force force

ANÁLISE DAS CARACTERÍSTICAS CLÍNICAS E ANGIOGRÁFICAS E EVOLUÇÃO INTRA-HOSPITALAR PACIENTES MUITO IDOSOS SUBMETIDOS A ANGIOPLASTIA NO IAMCEST EM UM SERVIÇO TERCIÁRIO

BÁRBARA CAMPOS ABRELL MARINO 1.2: WALTER RABELO1: MARCOS ANTONIOMARINO1. ROBERTO LUIZ MARINO

FP 122

1HOSPITAL MADRE TERESA - BELO HORIZONTE ; 2 FACULDADE DE MEDICINA-PUC MINAS-BETIM

O envelhecimento populacional e aumento da expectativa de vida é acompanhado da maior prevalência de doenças isquêmicas na população idosa. O prognóstico dos idosos com infarto com elevação segmento ST (IAM CEST) é pior se comparado com os mais jovens. Objetivos: Análise dos dados clínicos e angiográficos e evolução intra-hospitalar dos pacientes com idade ≥ 70 anos que se apresentaram com IAMCEST em nosso serviço no período de 01 janeiro de 2015 a 13 de maio de 2018. Método: 01 janeiro de 2015 a 13 de maio de 2018 foram realizadas 666 angioplastias (ICP) com implante de stent nos pacientes com idade \geq 70 anos. Dessas, 46 (6,9%) foram ICP primária, a média de idade neste subgrupo foi 78 \pm 3,7anos (idade mínima de 74 e máxima de 92), destes 17,4% idade \geq 80 anos e 65% do sexo feminino. Resultado: • Stent farmacológico foi implantado em 82,6% dos casos • 54,3% dos pacientes apresentavam lesão na ARI não realacionada ao IAM. E em 37% ela era passível de revascularização. NestesubgrupoalCPestadiadaocorreuem68,4%doscasos. • Oóbito intra-hospitalar foi de 6,5% e estes pacientes se apresentaram em Killip IV. Discussão: idosos > 75 anos representam 25% dos pacientes com IAMCEST nos países ocidentais, e apresentam mortalidade 4 vezes maior que os mais jovens. Apesar dos idosos serão pouco representados na maioria dos estudos randomizados, existem evidências com benefício e melhora da sobrevida nos pacientes submetidos a reperfusão coronária precoce. E nestes pacientes há befício da angioplastia primária em relação a terapia fibrinolítica. Dessa forma, a angioplastia primária é a estratégia de reperfusão preferida nos idosos com IAMCEST. Conclusão: Nossos dados de mundo real mostraram uma baixa mortalidade intra-hospitalar na população muito idosa o que pode estar relacionado a tempo rápido de procura ao atendimento médico e a reperfusão precoce. Referências Bibliográficas: Fleak-Unifold of a (EIII)po I api)to the procural and attentionmention (included a letter) expension of epidemicology, treatments and out comes of 15 segment elevation involvariabili inflations and expension of epidemicology, treatments and out comes of 15 segment elevation involvariabili inflations. As cleatifies teatment for health care professionates from the American Heart Association Councilion Clinical Cardiology. Incultation and the American Heart Association Councilion Clinical Cardiology. Circulation 2009; 115; 2570-2589, 3-Besen H, et al. Primary angioplasty vs. Phinnipolis in viol of patients with a cute representation. TRIANA (Treatment of left finate Apacido de microcific elevationaxion andomized the and apposed analy with previous studies. Eur Heart 2011; 22: 51-80. 4-Sociar A, et al Long-lem Mortality of Older Patients With Acute Myocardial Infarction Treater US Clinical Pacifice. Unumal of the American Heart Association. 2018; 7.







EP 124

FECHAMENTO PERCUTÂNEO DE CIA OSTIUM SECUNDUM (CIA OS) COM PRÓTESE AMPLATZER EM CRIANCAS MENOR QUE 20 KG

OLIVEIRA, EDMUNDO CLARINDO: MOURA, MAG: BARBOSA, JAA: KATINA, T

FELÍCIO ROCHO, HC-LIFMG, VILA DA SERRA, BELO HORIZONTE MG, BRASIL

O fechamento percutâneo da comunicação interatrial (CIA) ostium secundum (OS) tem sido o método de escolha devido o alto índice de sucesso e por apresentar baixa morbimortalidade. Essa técnica, entretanto, requer mais cuidados em crianças com peso menor que 20 kg por apresentarem maior risco de complicações. Objetivos: Apresentar a experiência do serviço com o fechamento percutâneo da CIA nesse grupo de pacientes. Método: Entre Março de 2010 e Abril de 2018, 69 crianças com diagnostico de CIA OS com peso menor que 20 kg foram submetidas ao fechamento percutâneo. O motivo para a indicação do procedimento foi a presença de repercussão hemodinâmica importante. Todos os pacientes receberam Ácido Acetil Salicílico (AAS) na dose de 3-5 mg/kg/dia, iniciado uma semana antes e mantido, como a recomendação de profilaxia para endocardite, por seis meses após o procedimento. Os procedimentos foram realizados sob anestesia geral, com dose única de cefazolina administrada quando obtido o acesso venoso periférico e guiados por ecocardiograma transesofágico (ETE) utilizando a sonda infantil ou ecocardiograma transforácico (ETT). Resultados: Houve sucesso em 100% dos casos. Peso variou de 4,5 kg a 20kg, com 17 pacientes com menor que 10kg. A menor e a maior prótese implantada foram as com tamanho de 14 e 28 mm respectivamente (m = 18). A relação prótese/peso foi menor que 1 em 10 pacientes (14,5%) e maior que 1 em 59 (85.5%), respectivamente. Foi observado taquicardia supraventricular em três pacientes (4,3%); sendo convertida com adenosina em um e com amiodarona venosa em dois pacientes. Sete pacientes (10%) apresentaram cefaleia com duração de 7 a 25 dias. Ausência de shunt residual em 67 pacientes (97,0%), e shunt residual pequeno em dois (3.0%). As câmaras cardíacas direitas normalizaram em todos pacientes entre 6 a 12 meses após o procedimento. Conclusão: O fechamento percutâneo do CIA OS em crianças pesando menos que 20 kg é indicado quando há repercussão hemodinâmica importante ou quando a comunicação apresenta aumento progressivo de tamanho. Nessas circunstâncias, o tamanho da CIA pode ser desproporcional ao peso da crianca. levando a um maior risco de complicações durante o procedimento. Nessa série de casos, os procedimentos foram realizados com sucesso em todos os pacientes sem maiores complicações. Em nossa opinião, a oclusão percutânea de CIA OS é um método seguro, devendo ser o tratamento de escolha nesse grupo especial de pacientes.









RESUMO DE TEMAS LIVRES | 28º CONGRESSO DA SOCIEDADE MINEIRA DE CARDIOLOGIA



FP125

TAQUICARDIOMIOPATIA: PEREIL CLÍNICO, TRATAMENTO E EVOLUÇÃO DE UMA SÉRIE DE CASOS

ROSE MARY FERREIRA LISBOA DA SILVA, ISABELLA CAPOBIANGO RODRIGUES, MARIANA ALVES GOMES RAÍSSA ALVES PINTO MOURA

FACULDADE DE MEDICINA DA UNIVERSIDADE FEDERAL DE MINAS GERAIS

Taquicardiomiopatia (TMP) é um quadro de disfunção sistólica ventricular esquerda induzida ou mediada por arritmia persistente, com alta frequência cardíaca (FC) e/ou com assincronia ventricular. A primeira descrição foi em 1913 por Gossage. Sua incidência é estimada entre 8% e 28% (parataquicardiassupra-ventriculares) e até 34% (para extras sístoles ventriculares> 24% do total de complexos QRS). Í necessário um alto índice de suspeição para seu diagnóstico e abordagem racional. Objetivo: Descrever o perfil clínico e verificar o tratamento e a evolução de uma série de casos de pacientes (pts) com TMP. Método: Entre pts sem disfunção ventricular prévia, foram identificados 9 pts com TMP, os quais foram submetidos à avaliação clínica e complementar, ao tratamento e ao seguimento clínico. Resultados: (tabela) As arritmias determinantes da disfunção ventricular foram fibrilação atrial com alta resposta ventricularem 6 pts (66,6%); taquicardia atrial incessante em 2 e extras sístoles ventriculares frequente: em um paciente. Todos os pts foram tratados com inibidor da enzima de conversão. Para controle da FC todos foram tratados com betabloqueador, e 6 em associação com digoxina. A miodarona foi usada por 2pts. Foi feita ablação de foco de taquicardia atrial com sucesso em uma paciente e foi necessário implante de marca-passo em modo VVI e ablação do nó atrio ventricular em outra paciente com fibrilação atrial permanente. Houve somente uma recorrência. Após tempo médio de 29,4 meses, a média da FC foide 78bpm (p=0,001, teste t pareado) e houve melhora clínica de todosos pts (p<0,0001 para dasse funcional). Apesar do incremento da função ventricular (aumento médiode 11,9% da FE), 3pts ainda

apresentaram disfunção ventricular (média da FE de 0.46 de toda casuística), os quais apresentaram comorbidades adicionais durante tempo de seguimento de 66,6 meses. Discussão: na literatura, há estudos retrospectivos com casuística pequena ou relatos de casos de TMP, que pode ocorrer em crianças e adultos. Seu diagnóstico e tratamento proporcionam sua reversão em cerca de 6 meses, tempo inferior ao do presente estudo. Pode ocorrer melhora dos sintomas sem recuperação da FE. Conclusão: Nesta casuística, a principal causa de TMP foi a fibrilação atrial com alta resposta ventricular. Similar à a illufiação dutari Curii atra resposa ventriculari. Similari a descrição da literatura, houve remissão dos sintomas como controle da FC ou do ritmo. Referência Bibliográfica: 1.Gopinathamani R. Etheridge SP. Marchlinist FE, et al. Arrhythmis-Induced Cardiomyopathise. Mechanisms, Recognition, and Management. J Am Col Cardiol. 2015; 66(15): 7174-28. 2. Martin CA, Lambiase PD, Pathophysiology, diagnosis and restement of tachy; cardiomyopathy, Heart 2017; 103(19): 1543-1552. 3, Parito JG, Barra S, Mellor G, Heck P, Pagrava IS, Premature Ventricular Complex-induced Gardiomyopathy, Martin Ederophysiol Rev. 2018; 7(2): 123-1

Variáveis	Média ± DP	Variação
Idade (anos)	57,1 ± 21,1	6 - 79
Sexo feminino	5	
IMC (kg/m²)	24,5 ± 5,4	17,3 - 31,2
FC inicial (bpm)	117,4 ± 27,8	88 a 185
PA (mmHg)	114,4/12,4	84-182/50-92
AE (mm)	43,2 ± 10,0	27 - 55
FE inicial	0.35 ± 0.6	0,25 - 0,47
VE (diastólico/sistólico) mm	55,5/43,1	39-65/30-94
PASP (mmHg)	29,2 ± 7,4	15 - 39
FC final	78,1 ± 11,1	64 - 98
FE final	0,46± 0,17	0,23 - 0,73

EP 126

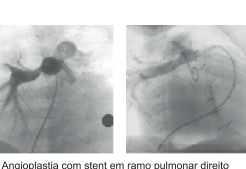
ΤΡΑΤΑΜΕΝΤΟ ΙΝΤΕΡΥΕΝΟΙΟΝΙΚΤΑ ΕΜ ΟΡΙΔΝΟΔΟ ΔΡΑΧΟ DE 4 KG OLIVEIRA EDMUNDO CLARINDO: MOURA MAG: BARROSA JAA: KATINA T

FELÍCIO ROCHO, HC-LIEMG, VILA DA SERRA, BELO HORIZONTE MG, BRASIL

As intervenções percutâneas em crianças menores de 4 kg constituem um desafio devido a maior As intervenços percuraneas em canadas intervenços de 4 ag Constituent um esanto devulo a mano dificuldade dos acessos vasculares, por serem indicadas em casos graves e pelo maior risco de complicações. Objetivo: Descrever a experiência do serviço com o tratamento percutâneo nesse grupo especial de pacientes usando diversas técnicas e materiais. Método: 54 pacientes com peso menor que 4 kg foram submetidos a intervenção entre janeiro de 2010 a abril de 2018: atriosseptostomia em 19 pacientes; valvoplastia pulmonar em estenose pulmonar crítica em 14; perfuração e dilatação de anel valvar pulmonar em 3 pacientes com atresia pulmonar sem CIV, implante de STENT em canal arterial em 7 pacientes, retirada de corpo estranho em 1; fechamento de canal arterial patente (PCA) em 03; implante de stentna VSVD em 02, oclusão de comunicação sistêmico/pulmonar em 03; tratamento da coarctação de aorta em 04; implante de STENT em ramos pulmonares ou VCS em 05 pacientes, fechamento da CIA em 2, STENT em PCA por punção de veia hepática em 01 paciente. Resultados: O peso variou de 960 a 4800 g, sendo 3 pacientes com menos de 1 kg; 21 pacientes entre 1 e 2,5 kg e 27 pacientes com peso entre 2,5 a 4,0 Kg. Os procedimentos foram realizados com sucesso em 88% casos. Dois pacientes com atresia pulmonar sem comunicação interventricular necessitaram intervenção cirurgia e um paciente com hipoplasia de VE, com 960 gramas, com procedimento realizado por punção da veia hepática, faleceu três dias após o procedimento. Condusão: A disponibilidade de novos materiais e experiência crescente dos intervencionista, associados à facilidade de troca de opiniões com especialistas de todo o mundo, tem permitido que diversos tipos de intervenções possam ser realizados mesmo em pacientes de baixo peso e portadores de cardiopatias graves e de alto risco para cirurgia. O sucesso depende do planejamento em conjunto com toda a equipe responsável, incluindo o cardiologista pediátrico, o intensivista, intervencionista e o cirurgião











Stent em VSVD em paciente com Tetralogia de Fallot com ramos pulmonares hipopl⊡sicos

EP 127

ANÁLISE DOS CASOS E EVOLUÇÃO INTRA-HOSPITALAR DOS PACIENTE SUBMETIDOS A ABLAÇÃO ALCOÓLICA NA MIOCARDIOPATIA HIPERTRÓFICA OBSTRUTIVA

MARIA DO CARMO RABELO ALVIM RODRIGUES¹, KÊNNYA GONÇALVES CAPANEMA¹, VINÍCIUS RIBEIRO SILVA¹, HUMBERTO RODRIGUES PARREIRA¹, THALES LOPES GOMES PINTO FERREIRA¹, FERNANDA OLIVEIRA LOPES¹, WALTER RABELO¹, MARCOS ANTÔNIO MARINO¹, ROBERTO LUIZ MARINO¹, BÁRBARA CAMPOS ABREU MARINO1 2

1-HOSPITAL MADRE TERESA -BELO HORIZONTE -MINAS GERAIS 2-FACULDADE DE MEDICINA - PUC-BETIM

A ablação septal alcoólica (ASA) introduzida em 1994 é uma alternativa a miectomia em centros experien tes, para os pacientes com miocardiopatia hipertrófica obstrutiva (MCPHO) com sintomas refratários ao tratamento medicamentoso. Objetivos: Descrever as características dínicas, técnicas do procedimento e evolução intra-hospitalar dos casos de MCPHO refratários ao tratamento dínico, submetidos à ASA. Método: Análise descritiva dos dados dos pacientes submetidos à ASA em nosso serviço no período de 2013 a2 017. Resultados: Realizados oito procedimentos, os pacientes se encontravam em otimização terapêutica e queixavam de sintomas anginosos e dispneia grau III. Todos realizaram cateterismo prévio para avaliar possibilidade de terapia com ablação alcodica e apresentavam 1ºramo septal de grande calibre. O procedimento foi realizado com ECOTE transoperatório, passado um fio-guia no primeiro ramo septal de maior calibre, sobre o qual foi aplicado um cateter-balão e foi passado fio de marca passo temporário que permaneceu por 48 horas no caso de ausência de complicações. Todos os pacientes foram encaminhados para unidade coronariana onde foram realizados ECG seriados e curva de marcadores de necrose. A média de idade 55 anos±18 e 50% sexo feminino. Em relação aos gradientes ao ECO, a mediana do gradiente de obstrução da via de saída pré-procedimento foi de 60 (50-88)mmHg e pós 21 (10-36)mmHg. Ao cateterismo tivemos uma mediana do gradiente pré de 65 (30-108)mmHg e pós de 15 (2-46)mmHg. Ocorreu bloqueio de ramo direito em dois pacientes. Após procedimento, 80% evoluíram em dasse funcional I e 20% dasse funcional II. Dois pacientes previamente portadores de CDI apresentaram episódios de taquicardia ventricular (TV) cerca de 12horas após o procedimento, revertida com sucesso. Não ocorreram óbitos. Discussão: Dados de estudos não randomizados mostram que a redução do gradiente e dos sintomas após ASA é semelhante à da miectomia. As complicações mais comuns descritas estão ligadas ao sistema de condução, como BAV de primeiro grau (53% dos pacientes), BAVT transitóric (5-20%), BRD (50-80%) e indicação de marca-passo definitivo em 5-12%. Mortalidade e infarto da artéria descendente anterior são complicações em geral raras. Quanto aos resultados, espera-se redução do gradiente em mais de 90% dos pacientes, associado à melhora significativa dos sintomas e da capacidade de exercício. Conclusão: A ASA é uma alternativa a miectomia em centros experientes para tratamento dos pacientes que permanecem sintomáticos, apesar do tratamento clínico, tendo bons resultados a curto e pactettiest que permantecem sinconitations, apresal ou tratainemo tamico, terrou ouris resunarios a co médio prazo, Redericas Bibliográficas Authoris/Ris Forcemenhes, Elicit PM, Anastassia A, et al. 2014 ESC discile lies on diagon management of hypertrophic cardiomyopathy: the Task Force for the Diagnosis and Management of Hypertrophic Cardiomyopathy of the Eu Society of Cardiology (ESC, Ler Heart) 2014; 55.2733. 2 Escegarda RC, Diamman, Réal Lrc, et al. Perspectival complications and long-term after alcohol septal alabation versus surgicalny ectomylinhy pertrophic obstructive cardio myopathy-single-center experience. JACC Cardiovas 2014; 2127. 3 Vesselba J., Jensen MR, Liberberg M., et al. Long-term dinical out come after alcohol septal abbation for obstructively pe Cardiomyopathy: results from the Euro-SAS registry. Eart Heart (2016) 73:71117.

EP 128

CAPACITAÇÃO CONTINUADA PARA MÉDICOS E EQUIPE DE ENFERMAGEM PARA O ATENDIMENTO DA PARADA CARDIORRESPIRATÓRIA NO HOSPITAL GOVERNADOR ISRAEL PINHEIRO

MELLO MMS / BRAGANÇA RD; BARBOSA LFP; DE PAULA CR; COLARES RP; MELLO IS

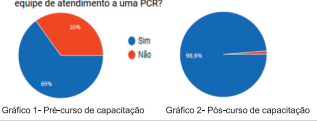
HOSPITAL GOVERNADOR ISRAEL PINHEIRO - HGIP/IPSEMG

Por parada cardiorrespiratória (PCR), entende-se a súbita cessação da atividade cardíaca, com a vítima evoluindo para irresponsividade. Geralmente a equipe multiprofissional é a responsável pelo primeiro atendimento desses casos em um ambienteintra-hospitalar. Entretanto, em muitas das vezes, o atendimento a PCR não segue os protocolos preconizados pela American Heart Association (AHA) e a dinâmica de atendimento em equipe encontra-se pouco estruturada, trazendo tensão e desorganização ao atendimento à PCR. Objetivos: Avaliar se o treinamento teórico-prático integrado de médicos e enfermeiros é capaz de melhorar no atendimento integrado a PCR na salas de enfermaria do HGIP por meio da avaliação de questionário pré-capacitação e pós-capacitação. Método: Trata-se de um estudo prospectivo quase experimental que incluiu médicos e equipe de enfermagem atuantes na salas das enfermarias do HGIP. Foi aplicado um questionário pré-capacitação aos profissionais participantes, composto por questões objetivas e subjetivas relacionadas à PCR. Em seguida, todos foram submetidosa um treinamento realistico dividido em duas fases, em que foram abordados e treinados os principais conceitos da ressuscitação cardiopulmonar, de forma integrada. Finalizado o curso de capacitação, os profissionais foram submetidos ao questionário pós-treinamento, com questões semelhantes ao questionário inicial. Resultados: Ao fim do projeto, 151 profissionais da equipe de enfermagem completaram o curso. Houve baixa adesão dos médicos, com 37 participantes total. Foram realizadas análises descritivas de todas as variáveis do estudo, por meio de distribuição de frequência absoluta e relativadas respostas ao questionário: (gráfico e tabelas). Cobclusão: Ao se comparar os dois questionários , constatou-se que houve mudanças estatisticamente significantes nasrespostas dos participantes após a capacitação: Maior percentual de respostas positivas para as questões subjetivas e maior percentual de acertos para as questões objetivas. Além disso, o treinamento integrado de médicos e enfermeiros trouxe melhorias no atendimento a PCR no HGIP, o que reforça a ideia de que o

projeto se torne um curso de capacitação continuada, permitindo que o domínio de habilidades e procedimentos seja cada vez maior que o atendimento integrado seja realizado de modo dinâmico e e que o detriunimento integrados y sen realizados de modo diminimos o organizados. Referências Bibliográficas: 1. Kleiman et al. Part 3 andul bascil les support and cardiopulmonary resuscitation quality. 2015 American Heart Association Guidelines Update for Cardiopulmonary Resuscitation and Energença Cardiovascular Care, Circulation. 2015; 122- 2. Link et al. Part 7: adult advanced cardiovascular life support: 2015 American Heart Association Guidelines Up date for Cardiopulmonary Resuscitationand Emergença Cardiovascular Care. Circulation. 2015; 132 (suppl2): 5444-5464.



Questões	Acertos pré	Acertos pós	p-valor
1	98,2%	100%	<0,001
2	86,2%	97,4%	<0,001
3	38,3%	81,1%	<0,001
4	70,5%	82%	0,006
5	51,9%	63,5%	< 0,001
6	60,8%	89,2%	<0,001
Total	68,1%	85,6%	<0,001
Tabela 2- An quastionários	álise comparativa e prá-capacitação e	ntre as respostas ol pós-capacitação.	ojetivas dos





RESUMO DE TEMAS LIVRES | 28º CONGRESSO DA SOCIEDADE MINEIRA DE CARDIOLOGIA

FP 129

CUSTO TOTAL E PERFIL EPIDEMIOLÓGICO HOSPITALAR DE INTERNAÇÕES POR INFARTO AGUDO DO MIOCÁRDIO EM MG: COMPORTAMENTO NOS ÚLTIMOS 10 ANOS

MACHADO, L. R. D., VICTORIA, F. R. F., DILVEIRA, F. A., CHAVES, C. V. S., BITTENCOURT, Y. S., MORAES, T. C., CASTRO, C. Z., GUANDALINI, G., ROCHA, M. M.

HOSPITAL VILA DA SERRA - NOVA LIMA - MG

A doença coronariana é a major causa de morte e morbidade nos países desenvolvidos. Em caráter mundial e no Brasil, as doenças cardiovasculares, incluindo o infarto agudo do miocárdio (IAM), representam um importante problema de saúde pública com altas taxas de incidência e mortalidade. Apesar da redução da mortalidade nas últimas décadas ser evidente, ela é menos expressiva em países em desenvolvimento. No Brasil, esse acesso é ultimas decadas ser evidente, ela e menos expressiva em paises em desenvolvimento. No Brasil, esse acesso e difficil e envolve uma rede ampla de cuidado, desde planos de prevenção primária, ao contato final com unidades de pronto atendimento, serviço de transporte de emergência e hospital com serviços de hemodinâmica e de terapia intensiva. Objetivo: Levantar dados acerca das internações devido a IAM e dessa maneira mensurar seu impacto no sistema de saúde público mineiro. Método: Estudo ecológico descritivo, em série temporal, feitoa partir de dados obtidos no Sistema de informações Hospitalares do Sistema Único de Saúde (DATASUS), Foram coletadas variáveis relativas à morbidade hospitalar por IAM compreendendo o código CID-10 I21 de pacientes com idade maior de 20 anos no período de 2008 a 2017 em Minas Gerais. Variáveis analisadas: número de internações, valor total, valor médio por internação, média de permanência e taxa de mortalidade. Resultados: No período analisado foram registrados 108.342 internações, o que gerou um gasto de 418 milhões de reais. O tempo médio de internação foi de 7 dias, tendo um custo médio de R\$ 3.864,01 por internação. No ano de 2008, o valor médio da internação foi de R\$ 2.524,06, enquanto que no 3.864,011 por internação. No ano de 2008, o valor medio da internação foi de R\$ 2.524,06, enquanto que no ano de 2017, o valor aumento para R\$ 4,722,21. O número de internações demonstrou aumento de 66,7% se equiparando ao aumento anual médio de 53,4% no custo das internações. A taxa de mortalidade foi de 10,38%, com diminuição média de mortalidade por grupo etário de 3,31%. O gênero masculino representou 64,7% das internações. A faixa etária dos 50 a 69 anos concentrou 54% de todas as internações. O presente estudo demonstrou um número crescente de internações/ano por IAM de 2008 a 2017 e o consequente aumento dos custos gerados pelas hospitalizações. Predominância da patologia no sexo masculino e da faixa etária entre 50 e 69 anos. Esses resultados mostram a importância de mais debates e planos de ações que podem efetivamente diminuir a carga de doença relativa ao IAM no Brasil. Conclusão: O investimento adequado em medidas preventivas das doenças cardiovasculares e o conhecimento do perfil epidemiológico acceptant of immentates preventivals das duelings cartillored in formation of intermediate formations of period preventivals day to the document of the formation of the formati







FP 130

FATORES DE RISCO CARDIOVASCULARES RELACIONADOS COM A FIBRILAÇÃO ATRIAI FM LIMA COORTE PROSPECTIVA

LAÍS TOLEDO DE VASCONCELOS/ EPOTAMENIDES M. GOOD GOD, EDITH MARCIA VALADARES SILVA RAFAELLA SIMÕES MOREIRA. RAFAEL PORTO SILVA

HOSPITAL SOCOR

A fibrilação atrial (FA) é a arritmia sustentada mais comum na prática dínica. Apesar dos progressos ocorridos no maneio do paciente com FA, essa arritmia permanece como uma das majores causas de acidente vascular cerebral (AVC)e insuficiência cardíaca (IC), com um elevado custo sócio-econonômico Sua prevalência é maior nos idosos e em pacientes com fatores de risco como hipertensão (HAS), sua prevaertua e maior inos músos e em pacientes com raciores de risco unon impetensad (n/As), obesidade, doença arterial coronariana (DAC), diabetes mellitus (DM), entre outros. Métodos: A partir do levantamento de prontuários de pacientes portadores de FA em acompanhamento regular, foram coletadosdados de Janeiro de 2017 a Abril de 2018, por meio do preenchimento de um questionário elaborado que englobava as principais características clínicase comorbidades de pacientes com FA. A análise dos dados nessa coorte, permitiu a análise da prevalência dos fatores de risco FA-relacionados, na população estudada. Resultados: A partir do levantamento de prontuários de pacientes portadores de FA em acompanhamento regular, foram coletadosdados de Janeiro de 2017 a Abril de 2018, por meio do preenchimento de um questionário elaborado que englobava as principais características clínicase . comorbidades de pacientes com FA. A análise dos dados nessa coorte, permitiu a análise da prevalência dos fatores de risco FA-relacionados, na população estudada. Discussão: A FA é uma condição dínica cuja incidência tem aumentado com o envelhecimento populacional. É também uma doença potencialmente prevenível sendo, portanto, necessário atuarnos fatores de risco FA-relacionados. Fatores de risco como idade > 65 anos, HAS, DM, foram observados nesta coorte, estando os indivíduos, previamente ao início do acompanhamento, sem um controle adequado. O presente estudo envolve um número pequeno de pacientes, mas os dados encontrados estão de acordo com a maioria dos estudos epidemiológicos já realizados para avaliação de condições de risco relacionadas a FA. Conclusão: 1)É necessário reconhecer o impacto da abordagem adequada dos fatores de risco cardiovasculares modificáveis, no paciente com FA. 2) O manejo apropriado das doenças cardiovasculares, tem se mostrado elemento central no manejo da FA. 3) Atuar na prevenção de fatores de risco para FA deve fazer parte da estratégia primária de tratamento deSta artiffula. Referencias bibliogálicas: 1. RRCHOP Pauls et al. SCE. Guidelines for the management of atrial fibrillation developed the deSta artiffular. Referencias bibliogálicas: 1. RRCHOP Pauls et al. SCE. Guidelines for the management of atrial fibrillation developed to collaboration with EACTS. European Heart Journal, Oxford, v. 37, n. 38, p. 2893-2962, 27 Aug. 2015. 2. HAM, Moti et al. Prospective National Study of the Pevelence for Aller Medicines (Nanogement and Territoria) and Territoria (Nanogement and Territoria) and Territoria (Nanogement Aller) and Territoria (N

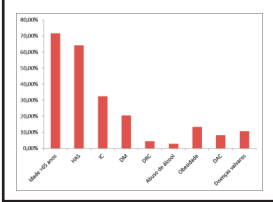


Fig 1, Fatores de risco relacionados a FA na coorte apresentada.

EP 131

SEGURANCA A MÉDIO/LONGO PRAZO DA RESERVA DE FLUXO FRACIONADO (FFR) COM VALOR >

LOPES, LFC1; ARAÚJO, VPRJ1; M. ESTEVES2; FILHO, UL2; MELO, RA2; FILHO, AL2; RABELLO, RR3. 1.MÉDICO RESDIENTE EM CARDIOLOGIA; 2.CARDIOLOGISTA INTERVENCIONISTA; 3. CIRURGIÃO CARDIOVASCULAR HOSPITAL VERA CRUZ

A revascularização miocárdica percutânea ou cirúrgica deve ser indicada para reduzir a obstrução ao fluxo coronário documentada, que gere isquemia miocárdica. Os exames não invasivos e coronariografia falham, no entanto, ao não mostrar a importância funcional da estenose coronariana. O FFR(reserva de fluxo fracionado) é considerado o padrão ouro para isquemia em relação ao vaso alvo. Os dados na literatura mundial têm sido cada vez mais robustos. No nosso meio, este método vem ganhando força, mas ainda é pouco utilizado. FFR é a relação da pressão média distal à estenose presente dividido pela média da pressão da aorta, durante hiperemia máxima. Objetivo: Mostrar a segurança, a médio/longo prazo, dos pacientes submetidos a reserva de fluxo fracionado (FFR) > 0,8. Método: Trata-se de estudo retrospectivo de pacientes submetidos ao FFR, no período de 28/09/2011 a 13/04/2018, englobando 140 pacientes, num total de 176 lesões avaliadas. Foram avaliados quanto aos eventos maiores: acidente vascular cerebral (AVC), infarto agudo do miocárdio (IAM), nova revascularização e morte. O acompanhamento foi realizado por contato telefônico. O período médio de acompanhamento foi de 2,66 anos. Resultados: Foram 04 óbitos nos pacientes do grupo com \leq 0,8, sendo dois óbitos em pacientes com complicações relacionadas a doença oncológica e os outros dois relacionados a complicações de pós-operatório tardio de CRVM. No grupo de pacientes com FFR > 0,8 foram quatro óbitos. Dois óbitos em pacientes com complicações relacionadas a doença oncológica. Um óbito relacionado a pneumopatia e uma paciente que apresentou morte súbita. Um paciente com FFR negativo apresentou episódio de angina instável, com nova coronariografia semelhante à prévia. Mantida a opção por terapia dínica. Conclusão: A reserva de fluxo de fracionada mostrou-se segura a médio prazo para a definição da importância da funcionalidade da obstrução coronariana pela angiografia e a definição da presença ou não de isquemia. Os pacientes com FFR com resultado maior que 0,8 tiveram uma boa evolução clínica, sendo seguro a não revascularização. Referências Bibliográficas: NH et al. Percutaneous coronary intervention of functionally nonsignificant stenosis: 5-year follow-up of the DEFER Study. J Am Coll Cardiol. 2007.

Tonino PA et al. Fractional flow reserve vessus angiography for guiding percutaneous coronary intervention. N Engl. Med. 2009. • De Bruyne B et al Fractional flow Reverve-guided PC (veserve Medical Therapp in Stable Coronary Antro Pubseas, N Engl. Med. 2012.

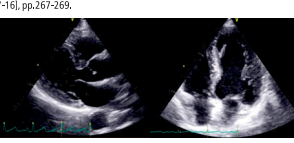
EP 132

SÍNDROME DE ERDHEIM CHESTERRELATO DE CASO

VICTOR MATOS / LORENA FONSECA, CAROLINA GALVÃO, GUSTAVO OLIVEIRA, BRUNO BEATO HOSPITAL FELÍCIO ROCHO

A síndrome de Erdheim-Ches ter é uma disfunção histiocitária que pode acometer diversos tecidos com acúmulo de substância xantomatosa associado a fibrose. É uma doenca rara e de incidênciades conhecida com menos de 500 casos descritos na literatura, ocorre geralmente aos 40 anos comum em homens.O sintoma mais comum é dor óssea, aproximadamente metade dos pacientes tem manifestações extra esqueléticas incluindo exoftalmia, xantelasma, doença pulmonar intersticial, fibrose retroperitoneal com obstrução perirrenal ou ureteral, insuficiência renal, diabetes insípido e envolvimento dos sistema nervoso e cardiovascular. O acometimento cardiovascular é verificado na maioria dos pacientes e pode variar de anormalidades valvares a alterações vasculares como fibrose periaórtica. Os achados mais comuns ao exame de imagem é a infiltração de câmaras direitas, pode ocorrer ainda tumor no átrio esquerdo, insuficiência cardíaca e infarto do miocárdio. A falta de conhecimento dos mecanismos patogênicos, resulta na falta de um tratamento com eficácia comprovada. Descrição de Caso: Pacientede 43 anos , diabética, hipertensa, tabagista, avaliada com quadro de dor em região de quadril direito com irradiação até joelho, com evolução de seis meses, evoluindo com limitação para a deambulaçãoe marcha claudicante. Realizada cintilografia óssea que evidenciou hiperemia em fêmures associada a áreas de aumento da osteogênese, com aparentes áreas de lise associadas, localizadas em úmeros e fêmures. Paciente foi submetida à biópsia de lesão de úmero sendo evidenciado grande número de histiócitos xantomatosos compatível com doença de Erdheim-Chester. Foi submetida a tratamento cirúrgico da lesão, atualmente mantém dor local com uso de analgesia contínua. Não apresentou sintomas cardiovasculares, nega dispneia e dor torácica, mantendo uso regular de anti-hipertensivos propanolol 40mg e hidroclorotiazida 25mg. Ecocardiogram a evidenciou hipertrofia das paredes do ventrículo esquerdo de grau moderado com aspecto infiltrativo, função sistólica preservada, strain longitudinal-22,7% com redução da deformação anterosseptal, inferosseptal e posterior, disfunção diastólica grau I. Sem história familiar da doença. Conclusão: A síndrome de Erdheim-Chester é uma doença pouco prevalente e ainda sem tratamento eficaz. É importante a divulgação e exposição de casos raros para aumento das taxas de diagnóstico e, assim aumentar as pesquisas em terapêutica. Referências Bibliográficas. Jacobsen, Eric, Erdheim-Chester disease, In: Up To Date, Post TWIEĞI, Up To Date, Waltham, MA, 2017, IEKSEL, Fernando Fernandez et al, Doença de Erdheim-Chester: relato de dois casos, Radiol Bras Jonline 2009, vol.42, A. (Edica 2018-27-16), p. 0275-295.

Imagens ecocardiográfica s evidenciando a s evidenciando hipertrofia ventricular esquerda e os valores encontrados par as câmaras cardíacas







RESUMO DE TEMAS LIVRES | 28º CONGRESSO DA SOCIEDADE MINEIRA DE CARDIOLOGIA



EP133

DISSECÇÃO ESPONTÂNEA DE CORONÁRIAS - ABORDAGEM DIAGNÓSTICA E TERAPÊUTICA EM

DÉBORA BERTOLIN DUARTE; YORGHOS MICHALAROS; CLÁUDIA LOURES DE ASSIS; CAMILA ABRAHÃO LISBOA: CLARICE MOURA MATA MACHADO: IUIZ AUGUSTO AUVARENCA ANDRADE

CLÍNICA DE INSUFICIÊNCIA CARDÍACA DOS HOSPITAL GOVERNADOR ISRAEL PINHEIRO(HGIP) E CENTRO DE ESPECIALIDADES MÉDICAS-IPSEMG/ SERVIÇO DE CLÍNICA MÉDICA DO HOSPITAL JOÃOXXIII -FHEMIG.

A dissecção espontânea decoronárias (DEC) é uma causa rara (0.1 a 0.4% dos casos) de síndrome coronariana aguda (SCA), não relacionada à ateroesderose, trauma ou iatrogenia. Seu mecanismo não é totalmente esclarecido, a maioria dos pacientes não apresenta fator de risco para doença coronariana. Mais comum em mulheres, menores que 50 anos, em 43% dos casos relacionada ao puerpério. Em relação à localização, a artéria mais acometida é a descendente anterior (DA). A apresentação dínica usual é a de uma SCA, 95% do casos com dor torácica típica ou atipica e aumento dos marcadores de necrose. O diagnóstico é confirmado durante a angiografia (AG). A.C.P.A., 48 anos, feminina, com história prévia de DCE de coronária direita (CD). À admissão, queixa de dor torácica à direita com irradiação cervical. Eletrocardiograma (ECG) no primeiro atendimento com inversão de onda 1 de 11-V5 e troponina acima dopercentil 99. Cateterismo (CATE) evidenciou stents pérvios e presença de disseçção envolvendo a CD (Fig.1). Adotada conduta conservadora. V.J.A., 79 anos, feminina, admitida com quadro de dispneia há 2 dias. ECG com supra de ST, maior que 1 mm, em parede anterior etroponina acima do percentil 99. CATE monstrando DA com obstrução de 70% e imagem sugestiva de disseçção em seu terço distal (Fig.2), CD com obstrução de 80% em seu terço proximal. Implantado stent em CD e optado por tratamento clínico da disseçção em DA. M.S.M.O, 49 anos, feminina, admitida com dor precordial, com irradiação para região medialdo antebraço esquerdo. ECG sem alterações etroponina acima do percentil 99. CATE evidenciou, no primeiro ramo ventricular posterior da circumflexa, sub odusão no terço inicial e lesão sugestiva de DCE em ramo marginal (Fig.3). Implanta do stent farmacológico. Discussão: O diagnóstico de DCE se dá na maioria das vezes durante AG. O tratamento ideal ainda não foi oficialmente estabelecido, e as principais terapias relatavas ana literatura são: conservadora. CPG circurgia de revascularização miocrádica (CRWM), manejo do sistema f

Referencias Bibliográficas: 1) Sharome N. Etheré S.H et al Soptomaeous Coronary Artery Dissection: Current State of the Science. Circulation. America Heart Association, 2018. 2) Alfonso TS porta neous coronary artery dissection: new in sights from the tip of theicheery? Circulation 2012. 3) Alfonso ES Paulo M. Lemnte, V. et al. Sportaneous Paulo M. Ether W. et al. Sportaneous production 2012. Justice of palements prospectively up of alongs serie of palements prospectively managed within "Conservatite-therapeutic strategy, IACC Cardiovas Interv 2012.







ıra 2 Figu

EP 134

DIVERTÍCULO DE KOMMERELL

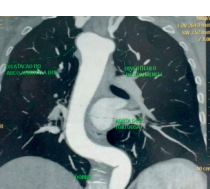
ADRIANA COSTA DIAMANTINO SOARES, HERTZ CARDOSO LACERDA, LUNA SANTOS RABELO, GUSTAVO MONTEIRO SOARES, NOASSESNEIVA DIAMANTINO, TATIANA COSTA DIAMANTINO

SANTA CASA DE MONTES CLAROS - MG

O divertículo de Kommerell é uma anomalia congênita rara, usualmente associada a arco aórtico à direita, artéria subclávia esquerda aberrante e, em geral, diagnosticado de maneira incidental em pacientes assintomáticos. O grande foco do diagnóstico clínico e por imagem está centrado na redução da mortalidade associada à ruptura ou compressão das estruturas mediastinais. Relato do Caso: Mulher, 74 anos, hipertensa, dislipidêmica, procurou atendimento queixando-se de cervicalgia à direita, nâuseas e tontura. Apresentava exames prévios de doppler arterial de MMII e carótidas sem alterações, endoscopia digestiva alta apontando gastrite antral leve e ultrassonografia de abdome evidenciando esteatose hepática leve. Foram solicitados: ECG que apontou ritmo sinusal, eixo+15º e alteração de repolarização ventricular em parede inferior; ecocardiograma com FEVE de 75%, insuficiência mitral e tricúspide discretas e disfunção diastólica grau I; além de radiografia de tórax que evidenciou ectasia de aorta com opacidade ovalóide provocando deslocamento anterior traqueal. Foi solicitada angiotomografia da aorta torácica que demonstrou arco aórtico à direita, estenose ostial grave da artéria subdávia esquerda, que origina-se de divertículo de Kommerelle coronárias isentas de lesões obstrutivas significativas. Dicussão: Em adultos, os sintomas podem advir da dissecção ou dilatação aneurismática, com compressão das estruturas adjacentes, causando disfagia, dispneia, estridor, respiração ruidosa, tosse, pneumonia de repetição, enfisema obstrutivo ou dor torácica. O divertículo de Kommerellé relevante devido ao aumento da mortalidade associada à sua ruptura, à morbidade causada pela compressão das estruturas mediastinais e à complexidade da cirurgia. O tratamento, em geral, é cirúrgico e bastante complexo. No caso dínico exposto não é possível associar com precisão a sintomatologia descrita pelo paciente à presença da anomalia, sendo optado pelo tratamento clínico e acompanhamento ambulatorial.







EP 135

EXCRESCÊNCIA DE LAMBL NA VALVA PULMONAR: ACOMPANHAMENTO ECOCARDIOGRÁFICO DE UM CASO RARÍSSIMO

SANTANA GF¹, ZEFERINO IHR², SIMÃO LC², SOUZA LLR², MOTA MA², PEREIRA PAPª

¹ MÉDICO CARDIOLOGISTA NO HOSPITAL NOSSA SENHORA DE FÁTIMA - HNSF ªACADÊMICOS DE MEDICINA NO CENTRO UNVERSITÁRIO DE PATOS DE MINAS - UNIPAM

Tumores cardíacos primários benignos e malignos representam, respectivamente, 75% e 25% dos casos. Quando são assintomáticos, eventualmente podem ser encontrados ao ecocardiograma (ECO). Embora raras, as excrescências de Lambl (ELI) podem ser achadas nas vábulas a craidicas como estruturas finas e alongadas, com omvimentação independente e próximas à linha de coaptação1, associadas ao desgaste das vábulas. Há apenas um relato na literatura dessas estruturas na valva pulmonar (VPI)2, em um paciente masculino com apresentação de Acidente Vascular Cereal laquêmico. Descrição do Caso: Mulher, 28 anos, encaminhada ao serviço de ecocardiografia devido alteração à ausculta cardiaca em exame de rotina. Negava sintomas cardiovasculares, febre, uso de medicações, cirurgias prévias, uso de drogas lificias ou história familiar de cardiopatta. Ao exame encontrava-se em bom estado geral, acianótica, anticérica, perfusão capilar normal, eupnéica, PA 120x80, FC 80, bulhas nomormitimicas e normocinéticas com click protossistolico em foco pulmonar, sem sopros. ECG sem alterações. O ECO evidenciou imagem de tumor pedunculado com movimento amplo aderido à face arterial da valva pulmonar (Imagem 1). Hipótese Diagnóstica: Alguns diagnósticos diferenciais das excrescências de Lambli incluem o fibroelastoma papilar, os trombos e as vegetações endocárdicas. O fibroelasmo corre com mais frequência em homens por volta da quinta década de vida e seu local mais incomum de acometimento é a VP. Além disso, em contraste com as EL, apresentam-se pedunculados ou sésseis, com projeção em forma de "dedo" a exometem a porção média dos folhetos valvares4. As vegetações, secundárias às endocardites infeciosas, se apresentam aderidas ao endocárdio e, além de cursarem com febre e insuficência cardiaca, acometem a função valvas, podendo gerar de uma EL em VP. Condutas: Tendo em vista a principal hipótese elucidada, foi explicado à paciente a possibilidade de tratare de uma EL em VP. Condutas: Tendo em vista a principal hipótese elucidada, foi explicado

Imagem 1: ECO realizado em 2011. Tumor filiforme aderido à linha de fechamento da VP medindo 10 mmx 2 mm.



Imagem 2: ECO realizado em 2018, após 7 anos deacompanhamento. Aumento do diâmetro da

EP 136

INFARTO AGUDO DO MIOCÁRDIO EM JOVEM USUÁRIO DE ANABOLIZANTE

RARISSA Q. F. FERRAZ; SÁVIA Q. FERREIRA; LUARA G. QUEIROZ

HOSPITAL SÃO FRANCISCO DE RIBEIRÃO PRETO

Desde as Olimpíadas da Grécia Antiga (800 a.C.) há relatos de uso de ervas, plantas e cogumelos objetivando o melhor desempenho dos competidores. Hoje com o advento dos esteróides anabolizantes, o chamado doping, vem sendo usado por atletas e mais investigado. Não apenas entre os que se dedicam a categorias esportivas de velocidade, onde tais substâncias agem melhor, mas também entre jovens que frequentam academias de musculação, a fim de obterem ganho de massa muser apidamente. Apresentamnos caso de adulto jovem com Infarto Agudo do Miocárdio devido, provavelmente, ao uso de um esteróide anabolizante: estanozolol. Caso Clínico: Paciente L.S., 20 anos, natural e procedente de Ribeirão Preto - SP, em uso de Estanozololhá quatro semanas. Negava qualquer outro fator de risco para doença cardiovascular. Deu entrada no serviço de emergência com quadro clínico de Síndrome Coronariana Aguda (SCA). O eletrocardiograma evidenciou supra de ST infero-lateral com Bloqueio de Ramo Direito. Estudo hemodinâmico mostrou odusão aguda em Ramo Descendente Anterior com hipocinesiaântero-apical. Foi realizada Angioplastia para essa artéria além de tratamento convencional para SCA. O ecocardiograma não mostrou comprometimento da função ventricular, com Fração de Ejeção de 66% e mobilidade segmentar preservada. Houve boa evolução do quadro, hoje está em seguimento ambulatorial. Condusão: A incidência de doença coronariana em pacientes jovens é baixa, correspondendo a 3% dos casos. Os fatores de risco principais nesses casos são história familiar de doença cardiovascular e tabagismo. Os esteróidesanabolizantes em doses supra-fisiológicaspodem causar complicações cardiacas, dentre as quais: insuficiência cardíaca, fibrilação atrial, morte súbita, estímulo à anti-agregaçãoplaquetária, rigidez aórtica ou infarto agudo do miocárdio. Devido à não presença de outro fator de risco relevante e a relação temporal dos destas, analisamos que a SCA desse paciente deveu-se a ous od a substância estanozolol. É necessária a divulgação de fatos como







RESUMO DE TEMAS LIVRES | 28º CONGRESSO DA SOCIEDADE MINEIRA DE CARDIOLOGIA

FP 137

RUPTURA DO SEIO DE VALSALVA: UMA CAUSA RARA DE INSUFICIÊNCIA CARDÍACA AGUDA NA GRAVIDEZ - RELATO DE CASO

FREIRE CMV: OLIVEIRA EC: BARBOSA LFP: KATINA T: FALCHETTO E: VILLAMARIN O

HOSPITAL DAS CLÍNICAS DA UFMG

O aneurisma do seio de Valsalva é uma doença cardíaca rara responsável por menos de 1% de todas as anomalias cardíacas congênitas e é decorrente da deficiencia de tecido muscular na parece aórtica. Está muito associada a lesões como comunicação interventricular (CIV), valva aortica bicúspide, coarctação de aorta e estenose pulmonar infundibular. A sua ruptura apresenta alta mortalidade se o tratamento cirúrgico. percutâneo não for realizado em tempo hábil. Existem poucos casos documentados durante a gestação. Descrição do Caso: ecundigesta de 36 anos procurou atendimento de emergência durante a 28º semana de gestação devido a quadro súbito de dispnéia e dor torácica. Tinha como história pregressa um sopro cardíaco previamente investigado, com diagnóstico CIV assintomática do ponto de vista cardiovascular (praticava previamente investigado, com idagnostico EV assintomatica do ponto de vista cardiovascular (praticava corrida 2 a 3 vezes por semana) e parto vaginal há 4 anos sem intercorrências. Na emergência, eletrocardiograma, dímero- D e ultra-som venoso foram realizados para pesquisa de tromboembolismo pulmonar sem atherações significativas. O ecocardiograma transtorácico (ECOTT) evidenciou miocárdio com tamanho e função preservados, valva aórtica bicúspite, não-estenótica ou regurgitante, além de fluxo turbulento com trajeto mal definido, que foi atribuido ao uma pequena CIV. Condutas Adotadas: Tratada na emergência com diurético e encaminhada à cardiologia. Um sopro contínuo alto (grau 4/6), melhoi auscultado sobre a região paraesternal inferior esquerda foi notado ao exame físico e suspeitada, então, de uma ruptura do seio de Valsalva (RSV). O NT-pro-BNP foi anormal e o ECOTT repetido em um centro de referência que confirmou a ruptura do seio de Valsalva para o átrio direito com um grande shunt. Sinais e sintomas leves a moderados de infuficiencia cardíaca estavam presentes até a 37ª semana de gestação. apesar do tratamento clínico. Indicada cesariana, sem intercorrências. Os sintomas de insuficiência cardiaca pioraram no pós-parto, a despeito do tratamento. Solicitada Ressonância Magnética Cardíaca para elucidação de detalhes anatômicos que confirmaram a suspeita de RSV. Após discussão com equipe multi-especialista, optou-se pelo tratamento percutâneo. O defeito foi corrigido com sucesso usando um oclusor de ductos Amplatzer sob anestesia geral e guiado por ecocardiograma transesofágico. A paciente foi reavaliada no segundo mês pós procedimento, encontrava-se assintomática sem uso de medicações, sem sopros e sem no segundo mes pos procedimento, encontrava-se assintomatica sem uso de medicações, sem sopros e sem shunt residual ao ECOTT. Discussão: Etiologia: congênita, doença do tecido conjuntivo (Marfan, Ehlers-Danlos), traumática, iatrogênica, endocardite bacteriana, infecções (sífilis e tuberculose. Diagnóstico: (tabela). Particularidades da gestação: Alteraçõe na parede aórica hormonio-induzidas; Sobrecarga hemodinâmica da gravidez; Impacto durante o trabalho de parto: sobrecarga de volume com aumento do shunt; Tratamento Cirúgico ou Percutâneo: (tabela). Conclusão: Esse caso illustra o valor do exame clínico acurado permitindo o diagnóstico e tratamento apropriados de doenças raras potencialmente ameaçadoras à vida. Referências Bibliográficas: Cripps T et al. Br. Heart 1 1987;57:490-1; Latzman 1 et al. Tex Heart Inst 1 2006;33:66-9; Moustafs S et al AM 1 Cardiol 2007; 99:1195-54; Lis IT. Int. Cline Pude 01014;79(925-2947; Latzman 1 et al. Tex Heart Inst 1 2006;33:66-9; Moustafs S et al AM 1 Cardiol 2007; 99:1195-54; Lis IT. Int. Cline Pude 01014;79(925-52497; Latzman 1 et al. Tex Heart Inst 1 2006;33:66-9; Visam 1 et al The Journal of Obstetrics and Gynecology of India. 2012;62(51):54-55; Cripps T et al. Br. Heart 1 1987;57:490-1 Liu S et al. Journal of Cardiology 2014; 64:139-144; Kuntisoce Met al. Am Cardiology 15:01393-3938





Sinals/ Sintomas	Ecocardiograma	
Assintomico até que ocorra a ruptura	Acurácia de 90%	
Insuficiencia cardiaca aguda (40%): dispneia, dor torácica e morte	Principal dificuldade: identificar o trajeto do fluxo regurgitante	
Sopro continuo alto	QP/QS 2.3 (1.2-4.3)	
Regurgitação aórtica		
Bloqueio atrioventricular		

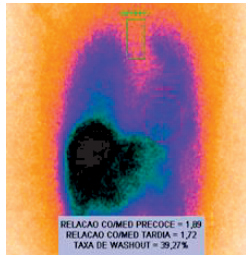
	Indicações	Percutâneo
	Sem rompimento, assintomático	Menos invasivo
fluxo	Aumento progressivo	Efetivo em mais de 90% dos casos
	Sintomático, ruptura	CI: RAo moderada/severa outras anormalidades cardiacas associadas com indicação cirurgia

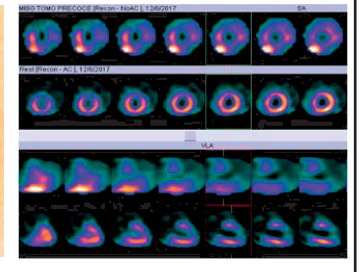
EP 140

DISCORDÂNCIA ENTRE PERFUSÃO E INERVAÇÃO SIMPÁTICA NA PREDIÇÃO DE RISCO ARRITMOGÊNICO

FARIA, L. S. P./ MOELLER, D. S.; SABRA, M. M. M.; COSTA, F. S.; AZEVEDO, J. C.; MESQUITA, C. T. CENTRO UNIVERSITÁRIO DE VOLTA REDONDA -UNIFOA, HOSPITAL PRÓ-CARDÍACO.

Meta-iodo-benzil-quanidina (MIBG) é um análogo da norepinefrina e pode ser marcado tanto com Iodo-131 quanto 123, sendo que o estudo cintilográfico utilizando-o possibilita a avaliação in vivo da neuro transmissão adrenérgica cardíaca. As imagens deste exame refletem parâmetros relacionados à densidade dos receptores e ao tônus simpático. Descrição do Caso: Paciente do sexo feminino, 41 anos submetida há 2 anos à cirurgia para correção da síndrome de ALCAPA (anomalousoriginoftheleftcoronaryartery from the pulmonar yartery) e desde então permanece assintomática. Procurou cardiologista com queixa de palpitação e no exame físico apresentou ectoscopia e exame cardiovascular dentro dos padrões de normalidade. Exames eletro cardiográficos evidenciou taquicardia ventricular não sustentada (TVNS). FoiencaminhadapararealizaçãodecintilografiadeperfusãomiocárdicaeestudodainervaçãocomMIBG lodo-123 que apresentou congruência de defeito de captação do radio traçador observado no estudo com I-123-MIBG cardíaco no segmento anterior (apical e médio)- padrão match. Nota-se ainda incongruência de captação do radio traçador na parede inferior e lateral do ventrículo esquerdo-padrão mismatch. Hipótese Diagnóstica: O padrão mismatch pode corresponder a aumento da probabilidade de foco arritmogênico. Condutas Diagnóstica: Acompanhamento clínico com cardiologista. Conclusão: A dissociação, padrão mismatch, entre a distribuição da captação do MIBG e a perfusão miocárdica guarda relação com arritmias ventriculares, adenervação associada à estimulação simpática altera a eletro fisiologia-normal. Nesses casos, a combinação dos estudos eletro fisiológicos e cintilográficos pode otimizar a predição de risco arritmogênico. Referências Bibliográficas: «ROCHA, E.T., ALVÉS, M.E.F.M.; VERSCHURE, D.O.; VERBERNE, H.J. Theuse Cardiaci 233-ml BGS cirtigraphyin Clinical Practice: The Necessityto Standardizel Jm. J. Cardiovasc, Sci., Rio de Janeiro, v. 30.n.6. p. 533-541, 2017 "VURIMACA, M.; NOMURA, M.; TOS.: NAKAYA; Y. Mismatch between myocardiala cumulation of 123-MB Gand 90 m. Enthal Bandate venticular potential singulents after myocardial infraction: association with the development of ventricular arrhythmias. Am Heart J. v. 136, n. 5., p. 659-867, 1988





FP 139

ANÁLISE DA EVOLUÇÃO DE VALORES DE COLESTEROL TOTAL. COLESTEROL-HDL E GLICEMIA DE JEJUM COMO FATORES DE RISCO CARDIOVASCULAR ENTRE FUNCIONÁRIOS DE UMA EMPRESA NO MUNICÍPIO DE ITAÚNA-MO

Rodrigues CM1, Rabelo BMA1, Arruda CM1, Cunha IM1, Isidoro GSP1, Mesquita GA1, Silva DF1, PEREIRA MTM1, VIEIRA JDM1, FERREIRA GLM

UNIVERSIDADE DE ITAÚNA/MG

De acordo com a Organização Pan-Americana da Saúde (Opas), as Doenças Cardiovasculares (DCV) constituem a principal causa de morte no mundo. Acredita-se que a prevenção primária, com a melhora dos fatores de risco, é uma das principais formas para se evitar a progressão das DCV. Existem algoritmos que podem estimar o risco cardiovascular de cada indivíduo, dentre eles estão Escore de Risco Global (ERG), que estima o risco de infarto do miocárdio (JAM), acidente vascular encefálico (AVE) insuficiência vascular periférica (IVP) ou insuficiência cardíaca (IC) no período de 10 anos. As variáveis utilizadas nesse algoritmosão: sexo; idade; valores de pressão arterial sistólica tratada e não tratada; valores de colesterol total; fração HDL; fumo; diagnóstico de diabetes. Objetivo: O objetivo deste estudo foi verificar a evolução, no período de dois anos, dos valores da Glicemia Jejum (GJ), Colesterol Total (CT) e Colesterol-HDL, e muma amostra de funcionários de uma empresa, no município de Itaúna-MG, a partir da aplicação do ERG. A intenção foi analisar se, nesse período, as orientações educativas realizadas na empresa participante resultaram em redução das variáveis analisadas. Método: Estudo realizado nos anos de 2016 e 2018 para analisar a probabilidade de os indivíduos participantes desenvolverem DCV na próxima década de vida. O algoritmo empregado foi o ERG. A amostra estudada foi composta por 71 participantes (n=71). Os critérios de inclusão foram: adultos, de ambos os sexos e valores de CT, Colestero HDL e de GJ obtidos por meio de revisão laboratorial anual documentada nos registros de cada funcionário da empresa. Resultados Observa-se, na Tabela1, comparando os períodos para as variáveis estudadas, foi encontrada diferença entre os períodos para todas as variáveis, sendo que, em todos os casos, o período de 2018 apresentou medianas superiores a 2016. Foi executado um modelo que permite identificar quais as variáveis do banco de dados realmente influenciaram sobre o valor de ERG. A Tabela 2mostra as estimativas dos coeficientes para as variáveis e também seus p-valores. Todas variáveis estudadas afetaram de forma significativa o valor do ERG. Conclusão: OCT foi a variável que apresentou mediana com maior discrepância entre os anos de 2016 e 2018. Contudo, quando comparado aos valores de Colesterol-HDL, ambas as variáveis afetam igualmente o valor final do ERG. A glicemia de jejum foi um fator de risco que sofreu pouca variação no período estudado. Ainda assim, contribuiu significativamente no valor do ERG. Verificou-se que não houve melhora das variáveis estudadas durante o período analisado. Em ambas ocasiões os participantes da pesquisa foram orientados a reduzir a ingesta de carboidratos, o consumo de gorduras de origem animal e a aumentar o tempo de prática de atividade física, além de outras medidas educativas como cessar o tabagismo. Porém, percebe-se que a abordagem educativa realizada foi insuficiente para instigar mudança nos hábitos de vida capazes de alterar as variáveis modificáveis analisadas pelo estudo, indicando a nos incluntos de vida caplaces use arteria as valiaders incumicavers aidansadas peto escutor, indicartou a mecessiciada de ações mais intervencionistas com movas estratégias de conscientização, a ferencienta sibliográficament.

1. Anularação do Diverte Residera de Dislipidemises Prevenção da Atrosclerose -2017. Any Bras Cardio. 2017 Jul; 190 (Sugil): 1-76. doi:10.1593/blas. Con 2017 12.1 (HORGO et al. Hore love to go with glucose, chelesterol, and blood pressureir primary prevention of CVD. Journal of The America College of Cardiology. 2017. 3.514A/MM³. Sugiliaração de activações de la final de la cardiovascular health During Adult Life de aproprieta parties abilitática de la cardiovascular health During Adult Life de aproprieta parties abilitática de la cardiovascular health During Adult Life de aproprieta parties abilitática de la cardiovascular health During Adult Life de aproprieta parties abilitática de la cardiovascular health During Adult Life de aproprieta parties abilitática de la cardiovascular health During Adult Life de aproprieta parties abilitática de la cardiovascular health During Adult Life de aproprieta parties abilitática de la cardiovascular de la cardiovascular health During Adult Life de aproprieta parties abilitática de la cardiovascular de la c

anu Caronovascular Structure and Function Among | Marie | 2022 | 2022 | 2022 | 2022 | 2022 | 2022 | 2022 | 2022 | 2022 | 2022 | 2022 | 2022 | 2022 | 2022 | 2022 | 2022 | 2022 | 2022 | 2022 | 2022 | 2022 | 2022 | 2022 | 2022 | 2022 | 2022 | 2022 | 2022 | 2022 | 2022 | 2022 | 2022 | 2022 | 2022 | 2022 | 2022 | 2022 | 2022 | 2022 | 2022 | 2022 | 2022 | 2022 | 2022 | 2022 | 2022 | 2022 | 2022 | 2022 | 2022 | 2022 | 2022 | 2022 | 2022 | 2022 | 2022 | 2022 | 2022 | 2022 | 2022 | 2022 | 2022 | 2022 | 2022 | 2022 | 2022 | 2022 | 2022 | 2022 | 2022 | 2022 | 2022 | 2022 | 2022 | 2022 | 2022 | 2022 | 2022 | 2022 | 2022 | 2022 | 2022 | 2022 | 2022 | 2022 | 2022 | 2022 | 2022 | 2022 | 2022 | 2022 | 2022 | 2022 | 2022 | 2022 | 2022 | 2022 | 2022 | 2022 | 2022 | 2022 | 2022 | 2022 | 2022 | 2022 | 2022 | 2022 | 2022 | 2022 | 2022 | 2022 | 2022 | 2022 | 2022 | 2022 | 2022 | 2022 | 2022 | 2022 | 2022 | 2022 | 2022 | 2022 | 2022 | 2022 | 2022 | 2022 | 2022 | 2022 | 2022 | 2022 | 2022 | 2022 | 2022 | 2022 | 2022 | 2022 | 2022 | 2022 | 2022 | 2022 | 2022 | 2022 | 2022 | 2022 | 2022 | 2022 | 2022 | 2022 | 2022 | 2022 | 2022 | 2022 | 2022 | 2022 | 2022 | 2022 | 2022 | 2022 | 2022 | 2022 | 2022 | 2022 | 2022 | 2022 | 2022 | 2022 | 2022 | 2022 | 2022 | 2022 | 2022 | 2022 | 2022 | 2022 | 2022 | 2022 | 2022 | 2022 | 2022 | 2022 | 2022 | 2022 | 2022 | 2022 | 2022 | 2022 | 2022 | 2022 | 2022 | 2022 | 2022 | 2022 | 2022 | 2022 | 2022 | 2022 | 2022 | 2022 | 2022 | 2022 | 2022 | 2022 | 2022 | 2022 | 2022 | 2022 | 2022 | 2022 | 2022 | 2022 | 2022 | 2022 | 2022 | 2022 | 2022 | 2022 | 2022 | 2022 | 2022 | 2022 | 2022 | 2022 | 2022 | 2022 | 2022 | 2022 | 2022 | 2022 | 2022 | 2022 | 2022 | 2022 | 2022 | 2022 | 2022 | 2022 | 2022 | 2022 | 2022 | 2022 | 2022 | 2022 | 2022 | 2022 | 2022 | 2022 | 2022 | 2022 | 2022 | 2022 | 2022 | 2022 | 2022 | 2022 | 2022 | 2022 | 2022 | 2022 | 2022 | 2022 | 2022 | 2022 | 2022 | 2022 | 2022 | 2022 | 2022 | 2022 | 2022 | 2022 | 2022 | 2022 | 2022 | 2022 | 2022 | 2022 | 2022 | 2022 | 2022 | 2022 | 2022 | 2022 | 2022 |

EP 141

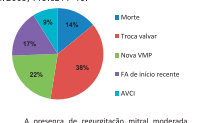
IMPACTO DA REGURGITAÇÃO MITRAL MODERADA NOS DESFECHOS CLÍNICOS ADVERSOS APÓS VALVOPLASTIA MITRAL PERCUTÂNEA

LUCAS CAMPOS BARBOSA E SILVA / FLÁVIO AUGUSTO PAES DE OLIVEIRA, VICTOR TEATINI RIBEIRO, FREDERICO VARGAS BOTINHA MACEDO, FERNANDA MOREIRA E LEITE, TATIANA COSTA DIAMANTINO, LUCAS QUEIROZ FERNANDES CAMPOS, CLÁUDIO ARAÚJO SALGADO RIBEIRO, THIAGO PASCELE DE OLIVEIRA BATISTA, MARIA DO CARMO PEREIRA NUNES

FACULDADE DE MEDICINA - UFMG E HOSPITAL DAS CLÍNICAS - UFMG

A cardiopatia reumática é a principal causa de estenose mitral no Brasil. Nesse contexto, a valvoplastia mitral percutânea configura-se como tratamento de escolha da estenose mitral reumática com anatomia favorável, devido sua capacidade de prevenir complicações inerentes ao tratamento cirúrgico e com manutenção da eficácia. A regurgitação mitral grave após a valvoplastia mitral percutânea constitui uma complicação do procedimento com indicação cirúrgica na maioria dos casos. Entretanto, o aumento do grau de regurgitação mitral é frequente e a história natural da regurgitação mitral moderada não está bem determinada. Objetivo: Determinar o impacto da regurgitação mitral moderada nos desfechos dínicos adversos após valvoplastia mitral percutânea. Método: Dos 273 pacientes com estenose mitral (EM) submetidos à VMP, 38 desenvolveram RM (14%), classificada como moderada em 22 (8%). Os pacientes com RM grave (n=16) foram excluídos. O peptídeo natriurético cerebral (BNP) foi dosado antes e 24 horas após a VMP. O desfecho avaliado foi combinado, definido por morte por todas as causas, necessidade de nova VMP, troca valvar, aparecimento de fibrilação atrial (FA) ou evento embólico. Resultados: A idade média foi de 45 \pm 12 anos, 236 (86%) mulheres, 108 pacientes em classe III/IV (39%). Durante seguimento médio de 26 meses (variou de 1 a 84 meses), 78 eventos adversos ocorreram (11 mortes, 30 cirurgias para troca valvar e 17 novas VMP, 13 FA de inicio recente e 7 acidente vascular cerebral isquêmico). A presença de regurgitação mitral moderada não se associou à evolução desfavorável. Na análise multivariada pelo modelo de Cox, após ajuste pelas variáveis pós-procedimento incluindo gradiente médio, área valvar, pressão arterial pulmonar, as seguintes variáveis

pos-VMP foram preditoras de eventos: BNP (HR 1,003; IC 95% 1,001-1,006; p = 0,004) e a função ventricular direita avaliada pelo Doppler tecidual (HR 0,800; IC 95% 0,659-0,970; p = 0,024). O aumento do grau de requigitação mitral pós-VMP fioa significa, necessariamente, falência do procedimento. A regurgitação mitral moderada é bem tolerada clinicamente, especialmente nos pacientes que apresentam uma abertura valvar adequada. Conclusão: A regurgitação mitral moderada não foi um preditor independente de eventos adversos após valvoplastia mitral percutânea. O BNP e a função ventricular direita após o procedimento foram marcadores de evolução desfavorável. Referê valvuloplasty in a center with shi M, Arita T, Shirai S, Hamasaki iliográgica: Andrade, RB.; et al. In-hospital and late outcomes of patients undergoing percutaneous mitz ermediate volume of structural procedures. Revista Brasileira Cardiologia Invasiva. 2015; 23(3):173–176. Nobuy Yokoi H, Iwabuchi M, et al. Percutaneous balloon mitral vahuloplasty-A review. Circulation. 2009; 119:e211-19



A presença de regurgitação mitral moderada

RESUMO DE TEMAS LIVRES | 28º CONGRESSO DA SOCIEDADE MINEIRA DE CARDIOLOGIA



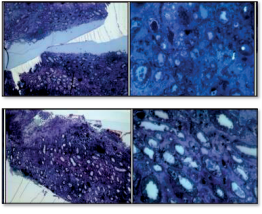
EP142

NEFROPATIA POR IGA: UM DIAGNÓSTICO POR VEZES DIFÍCIL- UM CASO DE HIPERTENSÃO SECIINDÁRIA

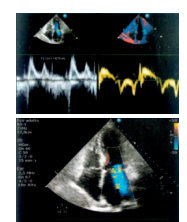
PAULA, L.L./ SILVA, M.V.P.; GOMES, L.L.; SILVA, L.S.; ROCHA, L.R.; SILVA, S.C.

FACUI DADE DE MEDICINA DE BARBACENA -FUNIOBE

Nefropatia por IgA ou doença de Berger é a causa mais frequente de glomerulonefrite primária no mundo. É definida do ponto de vista histológico pela microscopia de imuno fluorescência, que mostra a presença de depósitos da imunoglobulina A no mesángio glomerular. A forma de apresentação dínica mais frequente é de hematúria macroscópica após episódios de infecção, embora possa apresentar-se com hematúria e proteinúria assintomática, e menos frequentemente com hipertensão arterial, síndrome nefrótica e insuficiência renal. Este trabalho tem por objetivo relatar o caso clínico incomum de um paciente idoso com quadro de hipertensão secundária em decorrência de Nefropatia por IgA. Caso Clínico: Paciente do sexo masculino, 77 anos, previamente hipertenso bem controlado, intercorreu com quadro progressivo de hipertensão arterial refratária ao tratamento, associado a edema de membros inferiores. Ao exame físico da admissão encontrava-se alerta, corado, pressão arterial 180 por 110mmlg nos membros superiores, epuneico, afebril, ritmo cardiáca or regular sem sopros, frequência cardica de 94bpm, ausculta pulmonar com murmúrio vesicular diminuído em bases, ascite e edema em membros inferiores. No segundo dia da internação o paciente evoluiu com quadro de anasarca, oligidira e insuficiência renal. Submetido a biopsia renal. Exames complementares realizados: EAS: hematúriae proteinúria. Creatinin a 1,96mg/d. e.2,9mg/dl. (VR.O,7-1,2mg/dl.). Proteinúria nefrótica, hiperlipidemia e hipoalbuminemia. Biópsia renal evidenciou depósito de IgA e ilindros hemáticos característicos de Nefropatia por IgA. Hipótese Diagnóstica: Hipertensão arterial secundária a Nefropatia por IgA. Conduta: a diagnóstico traidico e betabloqueados. Submetido a corticoterapia com predisiona does plena. Ocorreu estabilização da pressão arterial. Alta hospitalar sem queixas para seguimento ambulatorial. Conclusão: O interessante desse e acucioas sua ne feropatia per reposta de algoitemo despedento e deliginator. 1 establectuale desse e acucioas sea ne feropa



Representação medular renal em microscopia eletrônica. Presença de cilindros hemáticos.



ECO demonstrando regurgitação mitral moderada

FP 144

VALOR PROGNÓSTICO DA EFICIÊNCIA VENTILATÓRIA EM PACIENTES COM MIOCARDIOPATIA DILATADA DE ETIOLOGIA CHAGÁSICA E IDIOPÁTICA

ALMEIDA, F.R.; ALENCAR, M.C.N.; MARTINS, S.F.S; CAMARGO, R.S.S.; SANTOS-JUNIOR, O.R.; NASSIF, M.C.L.; SILVA, T.L.; COELHO, R.M.P.; ROCHA, M.O.C.; NUNES, M.C.P.

A doença de Chagas permanece sendo um grave problema de saúde pública, tendo a miocardiopatia como uma complicação mais temível, por ser uma das principais etiologias de insuficiência cardíaca com prognóstico sombrio. A eficiência ventilatória, expressa pela razão entre ventilação (VE) e a liberação pulmonar de dióxido de carbono (VCO₂), prediz mortalidade em pacientes com insuficiência cardíaca, com valor prognóstico superior à capacidade funcional. Contudo, não está bem definido o valor prognóstico da eficiência ventilatória medido no limiar estimado de lactato (VE/VCO₂₀) nos pacientes com insuficiência cardíaca. Objetivo: Verificar o valor prognóstico da eficiência ventilatória avaliada pela equivalência do VE/VCO, no limiar estimado de lactato (VE/VCO, n) en pacientes com miocardiopatia dilatada de etiologia chagásica e idiopática. Identificar os principais determinantes da eficiência ventilatória na IC de etiología chagásica e idiopática. Determinar as variáveis obtidas durante o teste cardiopulmonar que se associam a eventos adversos nos pacientes com miocardiopatia dilatada de etiologia chagásica e idiopática. Avaliar os fatores preditores de eventos adversos na população de pacientes com miocardiopatia dilatada de etiologia chagásica e idiopática, incluindo variáveis clinicas, ecocardiográficas e do teste cardiopulmonar. Método: Os pacientes com miocardiopatia dilatada de etiologia chagásica e idiopática foram submetidos ao exame dínico, avaliação ecocardiográfica e ao teste cardiopulmonar de exercício (TCPE), sintoma limitado. Vários parâmetros do TCPE foram medidos, incluindo Vo, de pico, indinação de ΔVΕ/ΔVCO, e o VE/VCO_m. O desfecho avaliado durante o seguimento foi combinado, definido por morte, internação por IC, acidente vascular cerebral isquêmico ou necessidade de transplante cardíaco. Foram induídos 79 pacientes, com idadede 51 \pm 14a nos. Cinquenta e dois deles com miocardiopatia dilatada chagásica e 27, idiopática. Resultados: Todos os pacientes realizaram o TCPE, sem complicações. A inclinação de $\Delta V E/\Delta V CO$, foi de 34,8 \pm 7,2 e o resultado de $V E/\Delta V CO$, foi de 34,8 \pm 7,2 e o resultado de $V E/\Delta V CO$, foi mora dasse funcional da NYHA, volume atrial esquerdo e a função ventricular direita estimada pelo Doppler tecidual, ajustado por sexo e idade Figura 1. Durante um seguimento de 17,3±8,4 meses, 18 eventos adversos ocorreram. Na análise multivariada, incluindo a fração de ejeção do ventrículo esquerdo, a relação E/e¹, pressão arterial pulmonar, etiologia da miocardiopatia dilatada, o valor de VE/VCO2LL,≥31 foi preditor independente de eventos adversos, após ajuste para o uso de betabloqueadores Figura 2. Conclusão: OVE/VCO_{2LL} associou-se independentemente à classe funcional NYHA, ao volume atrial esquerdo e à função ventricular direita, apresentando valor prognóstico adicional NYHA, ao volume atrial esquerdo e a função ventricular directa, apresentanoo valor progriosuco aurucurar nos pacientes com miocardiopatia dilatada. Referências Bibliográficas: 1, Nunes, M. C., et al., Chapas disease: anover view of clinical and epidemiological aspects. Jam Coli Cardiol, 2013.62(9) p. 767-76; 2- Baga, A. M., et al., Predictive value of ventilatory and metabolic variables for risk of death in patients with cardiac failure). Ang Basc acradio, 2006. 86(9): 451-83; 3- Arena, R., et al., Development of a ventilatory dassification systemia patients with heart failure. Cardiaton, 2007. 115(8): p.2410-7; 4- Preierds nunes Moc., Ce, al., Predictions of panolization, 2007. 101(3): p. 298-91; 5- Nunes. Mod., C., et al., Functional capacity and right ventilosid inchront in patients with Chapas the disease. Lur Je Choicadiago; 2010.11(7): p. 299-5; 6-481t, L.e., et al., Heart failure survivalsorie in patients with Chapas the disease. Cerellation with functional variables. Rev Esp Cardiol (Englist), 2012.65(6): p.538-43.

Funcio ventricular divida

Figure 2

EP 146

EFEITOS DE UM PROGRAMA DE REABILITAÇÃO CARDIOVASCULAR FASE II EM PACIENTES PÓS INTERNAÇÃO

SANTANA GF¹, ZEFERINO IHR², SIMÃO LC², SOUZA LLR², MOTA MA², PEREIRA PAP² PATRIC E. O. GONÇALVES¹, KELYS. REIS¹, RITA C. MALAGOLI², DANIELLE A. G. PEREIRA³

1 FISIOTERAPEUTA RESIDENTE EM SAÚDE CARDIOVASCULAR, HOSPITAL DAS CLÍNICAS DA UNIVERSIDADE FEDERAL DE MINAS GERAIS; 2 FISIOTERAPEUTA, HOSPITAL DAS CLÍNICAS DA UNIVERSIDADE FEDERAL DE MINAS GERAIS; 3 PROFESSORA ADJUNTA, DEPARTAMENTO DE FISIOTERAPIA, UNIVERSIDADE FEDERAL DE MINAS GERAIS

Dentre os benefícios de um programa de reabilitação cardiovascular (RC) destacam-se a maior segurança e melhora no desempenho em atividades de vida diária, redução de sintomas, melhora da qualidade de vida, maior estabilidade emocional. Há também redução de fatores de risco para novos eventos cardiovas-culares fatais¹. Objetivo: Avaliar o efeito da RC na adaptação das variáveis hemodinâmicas e na capacida-de funcional medida e autor relatada em indivíduos com doenças cardiovasculares. Métodos: Foi feito um estudo retrospectivo com pacientes que participaram um programa de RC Fase II no Hospital das Clínicas de Belo Horizonte, referência em procedimentos cardiovasculares, no periodo entre 2017 a 2018. Resulta-dos: Foram incluídos vinte pacientes com média de idade de 57,2 a nos (DP 11,7) e índice de massa corporal médio de 27,3 Kg/m2 (DP 4,9). Conclusão: Após a RC houve melhora significativa da capacidade funcional medida e autor relatada, medidas pelo SWT e VSAQ respectivamente, sem adaptação de parâme-tros hemodinâmicos. Rederências Biologíficas: Lanc. Cal. I, Richard. Villani. Efficas o dardis reblabitadios programs o receitos capacito, comany risk factors. behavioral characteristics, and qualify of life in a large elderly cohort. 1995 American Journal of Cardiology, 76 (3), 177-179.







Análise estatística utilizou ANOVA de medidas repetidas e o teste t pareado. Para significância foi considerado o valor de p< 0,05.





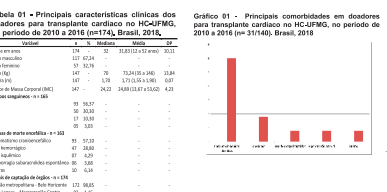
EP 147

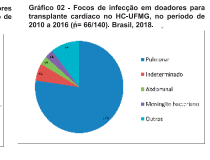
PERFIL DOS DOADORES EFETIVOS DE TRANSPLANTE CARDÍACO EM UM HOSPITAL BRASILEIRO

WÁGNER DO NASCIMENTO CARVALHO, ANNA LETÍCIA MIRANDA, KARLA CORDEIRO GONÇALIVES, GUSTAVO SANTOS ALVES MARIA, SALETE MARIA DE FÁTIMA SILQUEIRA, MARIA DA CONSOLAÇÃO VIEIRA MOREIRA

UNIVERSIDADE FEDERAL DE MINAS GERAIS

Palavras-Chave: Transplante Cardíaco: Insuficiência Cardíaca; Transplante de Órgãos Sólidos; Doação de Órgãos; Doadores de Órgãos. Introdução: Os transplantes de Órgãos no Brasil têm sistema regulador bem estabelecido e legislação específica. Diversos fatores sobre o perfil do doador precisam ser analisados antes do aceite de um órgão para transplante. Objetivo: Analisar o perfil dos doadores de transplante cardíaco em um hospital brasileiro, referência estadual, responsável por cerca de 90% dos procedimentos. Método: Estudo transversal, realizado por meio da análise de prontuários, no período de 2010 a 2016, aprovado pelo COEP/UFMG - parecer nº 2.109.572. Resultados: Foram analisados dados de 174 doadores, 117 sexo masculino (67,24%) e 57 sexo feminino (32,76%). Idade de 12 a 54 anos, média 31,83 anos (\pm 10,11). Raça: 66 pardos (37,94%), 62 brancos (35,63%), 24 negros (13,79 %), e 22 ignorados (12,64). Principais comorbidades (n=31/140), consumo de bebidas alcoólicas 21,42 %, obesidade 6,42%, uso de drogas inalatórias 2,85%, hipertensão arterial sistêmica (HAS) 2,85%, outras 2,85%. Principais causas de morte encefálica foram traumatismo crânio encefálico 57,10%, acidente vascular encefálico hemorrágico 28,80%, e acidente vascular encefálico isquêmico 4,29%. Cerca de 47,14% dos doadores estavam com algum foco infeccioso. As cidades de captação de órgãos localizaram-se em maioria na região metropolitana, só em Belo Horizonte ocorreram 94,25 %.O maior número de captações 102 (58,62%) ocorreu em um único hospital, caracterizado como pronto-socorro de referência estadual. Discussão: Dados da Associação Internacional de Transplante de Coração e Pulmão demonstram que os doadores são entre 68%-69% sexo masculino, média de idade está aumentando desde 1992 passando de 31 para 35 anos, peso em torno de 79,4 Kg, altura 1,75 m, IMC 25,6 Kg/m². Comorbidades são raras: 3% diabetes mellitus e 14% HAS, as principais causas de óbito são TCE (45%), e AVE (24%). Conclusão: Foi possível estabelecer o perfil dos doadores: maioria do sexo masculino, jovem com idade média de 31 anos, vítima de TCE, peso médio de 73 Kg, provenientes da região metropolitana e de um hospital de urgências traumatológicas. Referências bibliográficas: 1. RACAL, Fenando et al. Sociedade Brasileira de Cardiologia. Il Diretri Brasileira de Transplante Cardiaco. Ang. Bras. Cardiol., v. 94, n. 1, sup. 1, p. 16-73, 2009. 2 MRERA, Mandeey E., et al. The 2016 International Society for Heat tung Transplantation listing criteria for heat transplantation. A 10-year update regial in teroportation and a default in inspiral act at al. Sociedade Brasileira de Cardiologia. Il Diretriz Brasileir MEHRA, Mandeep R.; et al. The 2016 International Society for The Journal of Heart Lung Transplantation, v. 35, p. 1-23, 2016







RESUMO DE TEMAS LIVRES | 28º CONGRESSO DA SOCIEDADE MINEIRA DE CARDIOLOGIA

EP 148

QUALIDADE DO SONO EM CARDIOPATAS ASSISTIDOS EM UNIDADES BÁSICAS DE SAÚDE DE DIVINÓPOLIS/MG-ESTUDO OBSERVACIONAL

ELISA FACCION CRUZ FIDELES / CÍNTIA APARECIDA SANTOS, WALQUÍRIA DA MATA SANTOS, LUÍSA TEIXEIRA PASQUALOTTO, MARCOS EUGENIO MATTOS ROCHA FARIA, JACQUELINE ALVES, SARAH CRISTINA VIEIRA, LAYRA FERNANDA MARTINS, MARCO TÚLIO TAVARES SEIXAS, NEWTON SANTOS DE FARIA JÚNTA.

O termo cardiopatia engloba todas as doenças que afetam o coração e é uma das principais causas de morte e incapacidade atualmente. Alterações na qualidade de sono são consideradas fatores agravantes para as doenças cardiovasculares, influenciando inclusive o tratamento e aumentando o risco de internações. Objetivo: Verificar a qualidade de sono em indivíduos cardiopatas assistidos nas Unidades Básicas de Saúde (UBS´s) em Divinópolis. Método: O presente estudo foi do tipo observacional transversal, realizado com amostra consecutiva e de conveniencia de 30 indivíduos, recrutados por acadêmicos da Universidade, a partir de UBS´s do município de Divinópolis-MG. O mesmo foi aprovado pelo Comitê de Ética em Pesquisa com Seres Humanos, sob número de protocolo 1.475.521/2016. Todos estes indivíduos foram avaliados clinicamente e responderam ao Índice de Qualidade do Sono de Pittsburgh. Resultados: A média de idade foi de 66,10 ± 10,60 anos e de índice de massa corporal 28,45 ± 6,44 kg/m2. Além disso, com circunferência abdominiduos eram do sexo feminino. Quanto ao Índice de Qualidade do Sono de Pittsburgh, 13,33% dos indivíduos apresentou presença de distúrbio do sono e 60% má qualidade de Sono, com uma média de pontuação de 1,713 ± 4,25. Discussão: Com a análise dos achados índice de Qualidade do Sono de Pittsburgh, notou-se que a maior parte dos indivíduos possui má qualidade de sono, o que é comprovado inclusive pelo valor médio encontrado. Assim, os resultados sugerem a relação entre presença e má qualidade de sono em boa parte dos indivíduos cardiopatas. Conclusão: Verificou-se a presença de má qualidade de valual ar a qualidade de sono em boa parte dos indivíduos cardiopatas a tendidos nas UBS's. Assim, a equipe multiprofissional deve avalar a qualidade de sono em boa parte dos indivíduos cardiopatas taendidos na que possam propor intervenções e conduzir medidas para restabelecer uma melhora na qualidade destos sono, a resensible españas. 1. Buysse IB, Rependis CF, Mont RH, BermansiR, Kupler D. The Pitsburgh Ste





Α

74	
ADELMO ISAAC MEDEIROS AVELINO	EP112
ADRIANA COSTA DIAMANTINO SOARES	EP070, EP134
ADRIANA FURLETTI MACHADO GUIMARÃES	EP011
ADRIANE PAZ ROCHA	EP111
ALANA CRISTINA BARBOSA SALGADO DE OLIVEIRA	EP021
ALESSANDRO REIS	EP099, EP111
ALEXANDRE HENRIQUE COBUCCI SANTANA	EP086, EP089
ALEXANDRE SOUTELO SOUTO DA SILVA	EP018
ALINE RAMOS AMARAL	EP043
ALINE SANTOS DE ALMEIDA	EP098
AMANDA FEJOLI ROLDI	EP066, EP075, EP093, EP117, EP119
AMANDA POPOLINO DINIZ	EP073, EP078
ANA CLARA CUNHA ÁVILA FEST DA SILVEIRA	EP094
ANA GABRIELA MENEZES DE JESUS TORRES	EP041
ANA LUIZA GUIMARÃES FERREIRA	EP059
ANA LUIZA SOBREIRA SENA	EP022, EP025, EP042, EP080
ANDERSON PEREIRA DE OLIVEIRA	EP001, EP007, EP008, EP016, EP027,
	EP088, EP091
ANDRE ASSIS LOPES DOCARMO	TL08
ANDRÉ CHUSTER DE SOUZA	EP059
ANDRÉ GORLE DE MIRANDA CHAVES	TL11
ANDRÉ RAUSCH CARELLOS SILVA	EP014
ANDRÉIA CUNHA ÁVILA	EP094
ANDREZZA OLIVEIRA MENDES	EP029, EP014, EP024
ANE EMANUELE DUTRA DE ALMEIDA	EP046, EP047
ANNA LETICIA MIRANDA	EP031, EP146, EP147
ANTONIO ALCEU DOS SANTOS	EP044
ANTONIO CARLOS DE OLIVEIRA FREITAS	EP085, EP103
ANTONIO FERNANDINO DE CASTRO BAHIA NETO	EP003
ANTONIO LUIZ PINHO RIBEIRO	EP052, EP096, EP121, TL06, TL07, TL08, TL10, TL13
ARI MANDIL	EP010
ARIANE LAURA MATOS MARTINS	EP013
ARMANDO FAGUNDES MORATO NETO	EP071
ARTHUR COSTA MOTA	EP095
ARYELL DAVID PROENÇA	EP091, EP102
AUGUSTO LIMA FILHO	EP131
AURELIANO DE SOUZA NETO	EP084
AURELINA GOMES E MARTINS	EP039, EP040
AYESKA VIVIAN MICHELINI STAPASOLLA	EP001, EP007, EP008, EP016, EP027, EP028

В

BÁRBARA ASSI RABELO	EP037
BARBARA CAMPOS ABREU MARINO	EP019, EP049, EP067, EP068, EP106,
	EP108, EP110, EP122, EP127
BÁRBARA CÂNDIDA ALVES PEREIRA DE ARRUDA	EP066, EP075, EP093, EP117, EP119,
BÁRBARA ISADORA VALLE MUSSI CRUZ	EP020
BÁRBARA MARIA ASSI RABELO	EP050, EP139
BÁRBARA MARTINS FERNANDES BECHTLUFT	TL06
BARBARA VIDIGAL DOS SANTOS	TL15
BRENO DE FILIPPO REZENDE	EP121, TL06
Breno machado neves	EP042
BRISSA DANIELLE BARBOSA SOUZA	TL12
BRUNA ALVES MELO DE SOUZA	EP002
BRUNA ELISA SANTIAGO REIS	EP046
BRUNA JACOMINI MARTINS	EP003
BRUNA PINTO E SIQUEIRA	EP024
BRUNA STAMPINI VIDIGAL FERREIRA DUARTE	EP118
BRUNA ZANFORLIN JÁCOME	EP074
BRUNNO BARBALHO CARDOSO	EP024
BRUNO ALENCAR FONSECA	EP009, EP072
BRUNO BASTOS GODO	EP065, EP109, EP112, EP116
BRUNO DALA VEDOVA GOMES BEATO	EP132, EP014, EP121
BRUNO FRANCIA MAIA ATHADEU	EP073, EP078
BRUNO RAMOS NASCIMENTO	EP121, TL06, TL07, TL13, TL14
BRUNO SAMUEL JOSÉ LUIZ DE ARAÚJO	TL12

C

CAMILA ABRAHÃO CARAM LISBOA	EP133, TL15
CAMILA CECILIA OLIVEIRA CORBELLI	EP006
CAMILA DAIBERT DIONISIO	EP004, EP006, EP057
CAMILA OTONI NEVES	EP002
CAMILA ROCHA DELMASCHIO	EP104
CAMILA ZANON DE CASTRO	EP129
CAMILLA ALVES MURATORI	EP002
CAMILLA RAYANE DE PAULA	EP128
CAMILLE VILLEFORT SILVA CHAVES	EP129
CAMYLLA SANTOS DE SOUZA	EP065, EP109, EP112, EP116
CARLA MAIOLINI DE FREITAS	EP051, EP079, EP100, EP123
CARLOS A. MORILLO	TL08
CARLOS ALBERTO FERREIRA	EP067
CARLOS AUGUSTO BUENO SILVA	EP026
CARLOS EDUARDO DE SOUZA MIRANDA	EP057, EP068
CARLOS EDUARDO ORNELAS	EP009, EP021, EP072
CARLOS ROBERTO DE BRITO	TL15
CAROLINA FRAGA PAIVA	EP065, EP109, EP112, EP116
CAROLINA NUNES SILVA	EP074, EP077
CAROLINA SOUZA GALVÃO	EP132
CAROLINA TEIXEIRA CUNHA	TL01, TL09
CAROLINE MENDONÇA ARRUDA	EP037, EP050, EP095, EP139
CAROLINE SBARDELLOTTO CAGLIARI	EP098
CASSIANO MÉDICE FERREIRA	EP069
CASSIO MENEZES NOGUEIRA	EP049, EP018
CECÍLIA SILVA DE PAULA FARIA	EP066, EP075, EP093, EP094, EP097,
	EP117, EP119
CHRISTIANA CONCEIÇÃO DE OLIVEIRA	EP088
CÍNTIA APARECIDA SANTOS	EP053, EP148
CLARA LEAL FRAGA	TL06
CLARA MACHADO RODRIGUES	EP037, EP050, EP139
CLARICE MOURA MATA MACHADO	EP133
CLARISSA MENEZES MONTEIRO	EP098
CLAUDIA LOURES DE ASSIS	EP133
CLÁUDIA MADEIRA MIRANDA	EP068
CLAUDIA MARIA VILAS FREIRE	EP137
CLÁUDIA NATÁLIA FERREIRA,	TL04
CLAUDIA SAAD VALADARES JAIME	TL12
CLÁUDIO ARAÚJO SALGADO RIBEIRO	EP141
CLAUDIO AUGUSTO DE OLIVEIRA ANDRADE	EP012, EP015
CLAUDIO PEREIRA DA SILVA JUNIOR	EP019
CLÁUDIO TINOCO MESQUITA	EP097, EP140
CRAIG SABLE	TL13
CRISTIANE ASSIS MOTTA	EP046, EP047
CYBELLE NUNES LEÃO	TL15
CYNTHIA LETICIA FERREIRA	EP004, EP006

D

_	
DAIANE SANTOS FIGUEIREDO	EP046, EP047
DANIEL FILIPE DA SILVA	EP037, EP050, EP139
DANIEL SOARES SOUSA	EP028
DANIELA GONZALEZ MENDES	EP066, EP075, EP093, EP117, EP119
DANIELLE APARECIDA OLIVEIRA	EP064, EP103, EP104
DANILO CASTRO PIRES DE ALMEIDA	EP009, EP072
DANILO NADAL RODRIGUES	EP103
DAVID CAMPOS WANDERLEY	EP100
DÉBORA BALDUINO OLIVEIRA MENDES	EP038
DÉBORA BERTOLIN DUARTE	EP133
DÉBORA CRISTOFORIDIS TEIXEIRA	EP022, EP025, EP080
DÉBORA DE OLIVEIRA ANTUNES ROCHA	EP073, EP078
DÉBORA RIBEIRO DE CARVALHO	EP086, EP089
DEBORAH CRISTINA DA SILVA CARDOSO	EP063, EP115
DERICK MATHEUS OLIVEIRA	TL10
DIEGO DA SILVA NEVES	EP146
DINAMAR AMADOR DOS SANTOS NETO	EP011, EP058
DIOGO VILELA NOGUEIRA	EP049, EP010
DOUGLAS SANTOS MOELLER	EP140, EP097
DOUGLAS SAINTOS MOLLLEIN	LI 140, LI 037



AUTORES - TEMAS LIVRES | 28º CONGRESSO DA SOCIEDADE MINEIRA DE CARDIOLOGIA

E

EDITH MARCIA VALADARES SILVA E EDMUNDO CLARINDO OLIVEIRA E EDSON ELVIRO ALVES E	EP059 EP083, EP087, EP130, TL02, TL03 EP010, EP045, EP124, EP126, TL05 EP081
EDMUNDO CLARINDO OLIVEIRA E EDSON ELVIRO ALVES E	EP010, EP045, EP124, EP126, TL05
EDSON ELVIRO ALVES E	
	EP081
EDSON SIQUEIRA DA ROCHA	
EDJON SIQUEINA DA NOCHA	EP026
EDUARDO BELISÁRIO FALCHETTO E	EP010
EDUARDO DIAS CHULA E	EP001, EP008, EP088, EP091, EP102
EDUARDO KEI MARQUESINI WASHIZU	EP010
EDUARDO RODRIGUES BORATO E	EP041
ELAINE DE OLIVERA ALVES E	EP114
ELEN CRISTINA DA MATA	EP003
ELENA DOMINGUES DE SIMONI SILVEIRA T	TL12
ELISA BENETTI DE PAIVA MACIEL E	EP066, EP075, EP093, EP117, EP119
ELISA FACCION CRUZ FIDELES E	EP053, EP148
ELISA LAGES ROQUE	EP066, EP075, EP093, EP117, EP119
ELIZA MIRANDA COSTA CARALINE E	EP120
	EP001, EP002, EP007, EP008, EP016, EP027, EP062, EP088, EP091
EMANOEL GUIMARÃES PAIVA E	EP065, EP109, EP112, EP116
EPOTAMENIDES MARIA GOOD GOD E	EP020, EP083, EP087, EP130, TL02, TL03
ERIC BOERSMA T	TL08
ÉRICA LEANDRO MARCIANO VIEIRA	TL04
ERIKA DE ALMEIDA SANTOS QUADROS E	EP108
ERNESTO LIPPI NETO E	EP044
ESTÊVÃO LANNA FIGUEIREDO E	EP051, EP054, EP079, EP100, EP123, TL04
ÉVEN ALINE PEREIRA E	EP099

FABRÍCIO COSTA FERREIRA	EP013, EP081
FABRICIO MACHADO GUERRA,	EP005
FÁTIMA DERLENE DA ROCHA ARAÚJO	EP058
FAUSTO ALOÍSIO PEDROSA PIMENTA	EP073, EP078
FELIPE DE OLIVEIRA RAMALHO	EP059
FELIPE GOMES DE OLIVEIRA	EP042
FERNANDA DRUMOND RABELO	EP092
FERNANDA MOREIRA E LEITE	EP141
FERNANDA OLIVEIRA LOPES	EP110, EP127
FERNANDA RODRIGUES DE ALMEIDA	EP144
FERNANDA RODRIGUES FROES VICTORIA	EP129
FERNANDA ROQUETTE DE ARAUJO	EP051, EP079, EP100, EP123
FERNANDA SALOMÃO COSTA	EP140
FERNANDO ANTONIO ROQUETTE REIS FILHO	EP106, EP108
FERNANDO AUGUSTO DE OLIVEIRA	EP129
FERNANDO CARVALHO NEUENSCHWANDER	EP113, TL12
FERNANDO DE MARTINO,	EP038
FERNANDO LUIZ PEREIRA DE OLIVEIRA	EP073
FERNANDO ROTATORI	EP070
FLÁVIO AUGUSTO PAES DE OLIVEIRA	EP141, TL11
FORTUNATO FRANCO BORGES JUNIOR	EP085
FRANCIELE DE ANGELIS SILVA	EP086, EP089
FRANCIELLY HELENARA RODRIGUES ALVES	EP003
FRANCISCA RAIMUNDA DE SOUZA BARREIRO	EP084
FREDERICO VARGAS BOTINHA MACEDO	EP141
FREDWILSON DE SOUZA COSTA	EP041

G

GABRIEL ALBUQUERQUE MESQUITA	EP037, EP050, EP139
GABRIEL FERREIRA	EP003
GABRIEL GUANDALINI	EP129
GABRIEL LOPARDI PASSOS	EP118
GABRIEL MOREIRA VARGAS CAPANEMA	EP108
GABRIEL SILVESTRE MINUCCI	EP098
GABRIELA DRUMMOND COTTA DE OLIVEIRA	EP056, EP069, EP118
GABRIELA LOPES MARTINS	TL04
GABRIELA MIANA DE MATTOS PAIXÃO	EP096, EP121, TL10
GABRIELA RIGAMONTE RIBEIRO	EP068
GABRIELA SANTOS PESSOA ISIDORO	EP037, EP050, EP139
GABRIELA XAVIER REZENDE	EP061, EP064, EP107

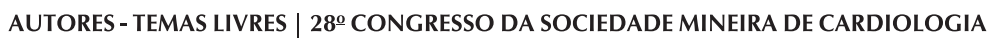
GABRIELA ZAMUNARO LOPES RUIZ	TL06, TL07
GEOVANNI GABRIEL ALMEIDA BRITO	EP019, EP068
GIOVANA ZOBOLI SEMABUKURO	TL01, TL09
GIOVANNA LUIZA MEDINA FERREIRA	EP139, EP037, EP050
GIOVANNA RIBAS PASSAGLI	TL01, TL09
GIOVANNI OLIVEIRA CARVALHO	EP034
GISIA BRAGA TEODORA	TL09, TL10
GLAUBER SOUSA MENDES MOTA	EP022
GLAUCO FRANCO SANTANA	EP135
GLEYSON HENRIQUE DOS SANTOS PENA LANZA	EP113
GUILHERME DUARTE TEIXEIRA	EP033, EP043, EP060
GUILHERME FERRAZ MESSINA DE PADUA ANDRADE	EP004
GUILHERME GOMES DE SOUZA	EP011, EP058
GUSTAVO ALVES DE OLIVEIRA	EP132
GUSTAVO COUTO PEREIRA DA SILVA	TL01, TL09
GUSTAVO DOS SANTOS ALVES MARIA	EP031, EP146, EP147
GUSTAVO FERREIRA CARDOSO	EP096, TL10
GUSTAVO GONTIJO LISBOA	EP028
GUSTAVO LESTTER	EP005
GUSTAVO MICENA DE ARAUJO	EP113, TL12
GUSTAVO MONTEIRO SOARES	EP134
GUSTAVO OLIVEIRA TAWIL	EP111
GUSTAVO PALMIERI ALMEIDA	EP086, EP089

H - I

•••	
HELDER MOURA GOMES	EP059
HÉLIO LIMA DE BRITO JÚNIOR	EP056, EP069, EP118
HELTON JOSÉ DOS REIS	TL04
HENRIQUE AUGUSTO BECHO DE CAMPOS	EP076, EP114
HENRIQUE MIGLIORI DA ROCHA	EP030
HENRIQUE PATRUS MUNDIM PENA	EP009, EP021
HENRIQUE SILVEIRA COSTA	TL11
HERTZ CARDOSO LACERDA	EP070, EP134
HUMBERTO RODRIGUES PARREIRA	EP127
IARA MORAIS CUNHA	EP036, EP134, EP139
IGOR DA SILVA TEIXEIRA PAULA	EP098
IGOR DE MELLO ALVIM	EP041
IGOR HENRIQUE RODRIGUES ZEFERINO	EP135
IGOR MYCHAEL MELO FERREIRA	EP077
ISABELA GONÇALVES RIBEIRO	EP020
ISABELA VERAS RIOS LAMOUNIER	EP113
ISABELE SANTOS PIUZANA BARBOSA	EP104
ISABELLA CAPOBIANGO RODRIGUES	EP034, EP125
ISABELLA GALVÃO ANDRADE	EP033
ISABELLA LOPES TEIXEIRA	EP095
ISABELLA MOURA TEIXEIRA	TL07, TL13
IZABEL CRISTINA LIMA SOUTO	EP012
IZABELLA SOARES MELLO	EP128

J

JADER CUNHA DE AZEVEDO	EP097, EP140
JAMIL ABDALLA SAAD	EP010, EP090
JAMIL NASCIMENTO	TL10
JAMILLE HEMÉTRIO SALLES MARTINS COSTA	EP066, EP090, EP093, EP117, EP119
JAQUELINE ALVES	EP053, EP148
JAQUELINE RODRIGUES SIMÃO	EP017, EP113
JEFFANE MILENE SILVA PACHECO	TL14
JEMIMA SANT'ANNA	EP017, EP090
JENNIFER CARAVELLI VENTURA PERDIGAO	EP111
JÉSSICA AUGUSTA CANAZART	EP096,TL10
JÉSSICA KARINNE VIEIRA	EP061, EP064, EP107
JÉSSICA MARIA COSTA SOUSA	EP051, EP079, EP123
JOÃO BATISTA GUSMÃO	EP024
JOÃO DAVID DE SOUZA NETO	EP065, EP109, EP112, EP116
JOÃO DE SOUZA CUNHA	EP009
JOÃO LUCAS O'CONNELL	EP074, EP077
JOÃO MARCOS DE OLIVEIRA JUNIOR	EP044





J

JOÃO PEDRO PEIXOTO RIOS	EP121, TL13
JOÃO VICTOR FERNANDES DE PAIVA	EP098
JOSÉ ALVIM COTTA CHAVES	EP020
JOSE AUGUSTO DE ALMEIDA BARBOSA	EP045, EP124, EP126, TL05
JOSÉ DONDICI FILHO	EP056
JOSE FRANCISCO BAUMGRATZ,	EP044
JOSE HENRIQUE ANDRADE VILA	EP044
JOSÉ LUIZ BARROS PENA	EP085
JOSÉ OTÁVIO GUEDES JUNQUEIRA	EP041
JOSE PEDRO DA SILVA	EP044
JOSE RESENDE DE CASTRO JÚNIOR	EP041
JOSÉ RICARDO COSTA DE OLIVEIRA	EP035
JOSÉ WANDERLEY NETO	EP098
JOSEANE GRANDO	EP103
JOSEPH FABIANO GUIMARÃES SANTOS	TL15
JUAN F. AGUDELO	TL08
JÚLIA AMÉLIA RICCI	EP061
JÚLIA ASSIS DA MOTTA	EP046, EP047
JÚLIA DINIZ MARRA VIEIRA	EP037, EP050, EP139
JÚLIA OLIVEIRA AGUIAR VASCONCELOS	EP095
JULIANA COSTA	EP012, EP015, EP048
JULIANA CRISTINA DE FREITAS	EP107
JULIANA RODRIGUES SOARES DE OLIVEIRA	EP006
JULIANO MOREIRA REIS FILHO	EP014
JUNIA MATA TAVARES PEREIRA DO NASCIMENTO	EP022, EP025, EP080

K

KACIANE KRAUSS BRUNO OLIVEIRA	EP121, TL07
KACIANE KRAUSS BRUNO OLIVEIRA	TL13
KAMILA SILVA MARINS CHAMON	EP051, EP079, EP100, EP123
KARINE GABRIELE DE JESUS LIMA	EP039, EP040
KARLA CORDEIRO GONCALVES	EP031, EP146, EP147
KARLLA CARDINALI ANTUNES LAURIANO	TL07, TL13
KAROLINE FREIRE KOSAC	EP022, EP025, EP080
KASSIO AKIO TANAKA	EP018
KÊNNYA GONÇALVES CAPANEMA	EP049, EP027

L

L	
LAILA RIBEIRO SANTA BARBARA	EP004, EP057
LAÍS ANDRADE REZENDE	EP017, EP090
LAÍS TOLEDO DE VASCONCELOS	EP083, EP087, EP130, TL02, TL03
LAÍSE OLIVEIRA RESENDE	EP028, EP091, EP102
LARA CASTRO,	TL07
LARA DO NORTE GARCIA	EP109
LARISSA COLARES DO AMARAL FONSECA	EP005
LARISSA D'AMICO SANTOS	EP033, EP043, EP060
LARISSA FERREIRA MARQUES	EP108
LARISSA GUIMARÃES DUCA	EP107
LARISSA MEZERHANE DA SILVA	EP011, EP045, EP058
LAURA DE CASTRO SIMÃO	EP135
LAURA ENEIDA SANTOS	EP104
LAYRA FERNANDA MARTINS	EP053, EP148
LAYSA OLIVEIRA GROSSI	TL15
LEANDRO SOUZA MACHADO DA COSTA	EP041
LEANDRO TEIXEIRA MORAIS	EP029
LÉLIDA PATRICIA VARGAS GONTIJO	EP071
LEONARDO ARRUDA MORAES RASO	EP004, EP057
LEONARDO SOARES PEREIRA	EP121
LETHICIA DE CASTRO SILVA NUNES PIRES	EP041
LETÍCIA DUTRA DE ARAÚJO BRANDI	EP114
LETÍCIA HORTA GUIMARÃES	EP004, EP006
LETÍCIA LEÃO DE PAULA	EP142
LETÍCIA MARIA ALVES PINTO	EP021, EP082
LETÍCIA MARIA MOREIRA RABELO	TL07, TL13
LETÍCIA SANTOS MOELLER DE CARVALHO	EP097
LETYCIA RIBEIRO ROCHA	EP142
LILIANE DINIZ DE ARAÚJO	EP059
LÍSIA SOARES SILVA	EP142

LIVIA BONELA DE OLIVEIRA	EP021, EP009
LÍVIA CRISTINA JARDIM,	EP056
LÍVIA LEÃO GOMES	EP142
LIVIA ROQUETE MARINHO	EP005, EP023
LÍVIA SILVA DE PAULA FARIA	EP066, EP075, EP093, EP094, EP097, EP098, EP117, EP119, EP140
LORENA BRETAS STELZER TAVARES	EP066, EP075, EP093, EP117, EP119
LORENA DE SOUZA CARVALHO	EP106
LORENA IASMIN DA ROCHA MENDES	EP111
LORENA ROCHA DIAS MACHADO	EP129
LORENA SILVA FONSECA	EP132
LORHAYNE KERLEY CAPUCHINHO SCALIONI	EP052
LORRANE LARA RODRIGUES DE SOUZA	EP135
LORRANY DE CÁSSIA TORRES SILVA	EP074, EP077
LUAN RODRIGUES DOS SANTOS	EP046, EP047
LUANA CESARINI LOPES	EP033, EP043, EP060
LUANA GIRASOLE BRETAS	EP114
LUARA GIDRÃO DE QUEIROZ	EP032, EP136
LUCAS CAMPOS BARBOSA E SILVA	EP141, TL11
LUCAS DE BARROS ANASTÁCIO	EP061, EP064, EP103, EP104, EP107
LUCAS NEVES VAZ	EP052
LUCAS NOVAES CARVALHO	EP020
LUCAS QUEIROZ FERNANDES CAMPOS	EP141
LUCAS SANTOS GIRÃO	EP116
LUCIANO ABDALLAH FERREIRA	EP081
LUDIMILA SOBREIRA SENA	EP042
LUIS AUGUSTO ALVARENGA ANDRADE	EP133
LUÍS GUSTAVO SILVA E SILVA	TL10
LUISA CAMPOS CALDEIRA BRANT	EP052, TL01, TL09
LUISA FREIRE PEDERNEIRAS BARBOSA	EP128
LUÍSA TEIXEIRA PASQUALOTTO	EP053, EP148
LUIZ CLÁUDIO MOREIRA LIMA	EP018, EP106
LUIZ FELIPE CARVALHO LOPES	EP131
LUIZ GUILHERME PASSAGLIA	EP052, TL01, TL09
LUIZ OTÁVIO RODRIGUES FERREIRA	TL01, TL09
LUNA SANTOS RABELO	EP070, EP134
LUZICLÉLIA JANICE DE ANDRADE REIS	EP082

M

MANOEL BAPTISTA ESTEVES	EP090, EP131
MANOEL HORTA RIBEIRO	TL10
MANOEL OTÁVIO DA COSTA ROCHA	EP144, TL08, TL14
MARCELA ACCARI DE ALMEIDA	EP109
MARCELI FARAJ	EP013
MARCELLA LEITE DE MATTOS	EP110
MARCELLA MARIA SOARES MELLO	EP128
MARCELLA OLIVEIRA RODRIGUES	EP053
MARCELO GUIMARÃES DA FONSECA	EP029
MARCELO MENDES ROCHA	EP129
MÁRCIA DE MELO BARBOSA	TL06, TL13
MARCO ANTONIO GONCALVES DE MOURA	EP045, EP124, EP126, TL05
MARCO PAULO TOMAZ BARBOSA	EP021
MARCO POLO ASSIS DA MOTTA	EP046, EP047
MARCO TÚLIO TAVARES SEIXAS	EP053, EP148
MARCOS ANDRÉ PEREIRA	EP099
MARCOS ANTONIO MARINO	EP019, EP049, EP122, EP127
MARCOS CHEREM	EP044
MARCOS EUGENIO MATTOS ROCHA FARIA	EP148
MARCOS ROBERTO DE SOUSA	TL08
MARCUS VINÍCIUS DA SILVA	EP062, EP076, EP092
MARCUS VINÍCIUS DE PAULA DA SILVA	EP002, EP076, EP092, EP142, EP062, EP062, EP114
MARIA AUGUSTA DE MENDONÇA LIMA	EP069
MARIA CAROLINA ÁLVARES CORREIA	EP066, EP075, EP093, EP117, EP119
MARIA CECÍLIA LANDIM NASSIF	EP144
MARIA CLARA NOMAN DE ALENCAR	EP144
MARIA CRISTINA COSTA DE ALMEIDA	EP063, EP115
MARIA DA CONSOLAÇÃO VIEIRA MOREIRA	EP031, EP146, EP147



AUTORES - TEMAS LIVRES | 28º CONGRESSO DA SOCIEDADE MINEIRA DE CARDIOLOGIA

M	
MARIA DA GLÓRIA CRUVINEL HORTA	EP012, EP015, EP048, EP061, EP064
MARIA DAS GRAÇAS CARVALHO	TL04
MARIA DO CARMO PEREIRA NUNES	EP121, EP141, EP144, TL06, TL07, TL11, TL13, TL14
MARIA DO CARMO RABELO ALVIM RODRIGUES	EP049, EP127
MARIA MARTA MAGGIOTTO SABRA	EP140
MARIA TERESA MOURA PEREIRA	EP050, EP037, EP139
MARIANA ALVES GOMES	EP034, EP125
MARIANA ALVES MOTA	EP135
MARIANA FIGUEIREDO SIMÕES	EP052, TL09
MARIANA LEMOS PEREIRA ALVES	EP046, EP047
MARIANA MARTINS PIRES	EP052
MARIANA XAVIER DE SOUZA	EP046
MARIANE JAMAL RIBEIRO	EP019
MARINA GOMES ABRANTES	EP120
MARINA RESENDE BARATA	EP022, EP025, EP080
MARINA ROSSI DE OLIVEIRA	EP002
MARLY DE OLIVEIRA	EP012, EP015, EP048
MATEUS DIAS MARTINS	EP013, EP081
MATEUS NEVES ROMERO	EP010, TL02
MATHEUS ABATE	EP084
MILTON PIFANO	TL10
MITERMAYER REIS BRITO	EP068
MOACIR RODRIGUES DE LIMA JÚNIOR	EP121
MONIQUE ROCHA NOGUEIRA	TL01, TL09
MYLENA SOBREIRA SENA	EP042

Ν

NATÁLIA CHAGAS TEIXEIRA	EP017, EP090
NATÁLIA CURZIO RIBEIRO	EP013, EP081
NATÁLIA DE SÁ MORAES	EP086, EP089
NATALIA DOS SANTOS OLIVEIRA	EP049
NATALIA FARIA MESQUITA	EP060
NATALIA MICHELIN	EP084
NATÁLIA PESSOA ROCHA	TL04
NATHALIA MUSSI MONTEZE	EP011, EP045, EP058
NELSON BORGES NETO	EP001, EP007, EP008, EP026, EP027, EP028, EP088
NEWTON SANTOS DE FARIA JÚNIOR	EP053, EP148
NOASSES NEIVA DIAMANTINO	EP134

O - P

OLÍVIA MARIA TRINDADE	EP028
OMAR RIBEIRO SANTOS-JUNIOR	EP144
OSMAR D'ALEXANDRIA PITA BAPTISTA	EP029, EP071
OTAVIANO JOSÉ GRECO RODRIGUES	EP007
PÂMELA D'IELLE ALMEIDA VIEIRA	EP062, EP076, EP092
PATRÍCIA FRAGA PAIVA	EP065, EP109, EP112, EP116
PATRÍCIA RODRIGUES SILVEIRA	EP096
PATRÍCIO ARAÚJO DA SILVA	EP076, EP114
PAULA CARVALHO PINTO GUIMARÃES	EP057
PAULA GOMES RABELO	EP067, EP086, EP089,
PAULO ARTHUR MENDES MILHOMEM	EP106
PAULO HENRIQUE MAIA VILELA	EP038
PAULO HENRIQUE SANTIAGO	TL02
PAULO RODRIGUES GOMES	TL10
PEDRO HENRIQUE RAMOS CAVEANHA	EP083, EP087, TL02
PEDRO HENRIQUE VENDRAMINI	EP005
PEDRO MELGAÇO MARTINS	EP001, EP007, EP008, EP016, EP027
PEDRO NILO MAGALHÃES DUMONT	EP029
PRICILA ROCHA COELHO	EP041
PRISCILA ÁGAPE PACHECO PEREIRA	EP135

R

RADMILA ALESSANDRA DE SOUZA OLIVEIRA	EP062, EP076, EP092
RAFAEL COLARES,	EP128
RAFAEL LUÍS FERREIRA SILVA	EP056
RAFAEL MEIRA COUTINHO	EP014, EP024

R

RAFAEL PORTO RAFAEL PORTO SILVA RAFAEL PORTO SILVA RAFAELA DE ASSIS AMARAL EP100 RAFAELLA SIMÕES MOREIRA RAFAELA SIMÕES DE NASCIMENTO NETO EP078 RAÍSA FURFURO E SÁ EP103 RAÍSA FURFURO E SÁ EP103 RAÍSA ALVES PINTO MOURA EP034, EP125 RALDNER BORGES E RÈGES EP008, EP016, EP027, EP088, EP091 RAFAELA MAIA OLIVEIRA EP067 RALDNER BORGES E RÈGES EP008, EP016, EP027, EP088, EP091 RAPHAEL MAIA OLIVEIRA EP074 RARISSA QUEIROZ FERREIRA FERRAZ EP030, EP032, EP038, EP136 RAVIS SILVA SIMÕES DE CAMARGO EP144 RAYSSA PIAZZI ROCHA EP042 RENANA ATÍLIO SANTOS MARQUIORI EP064, EP104, EP107 RENAN DETOFFOL BRAGANÇA EP128 RENATA CRUZEIRO RIBAS EP054 RENATA VALENTE ARAÚJO EP086, EP089 RENATO ROCHA RABELIO EP131 RICARDO JOSÉ RAZERA EP074, EP077 RICARDO WANG TL12 RITA CAROLINA FIGUEIREDO DUARTE TL04 RITA DE CASSIA SANTANA DO AMARAL TL15 ROBERTA DE ALVARENGA BATISTA EP086, EP089 ROBERTA RODRIGUES MOURA ROBERTO LUIZ MARINO EP049, EP108, EP110, EP122, EP127 ROBERTO DRUMOND FERREIRA DE MELO EP051 ROBERTO MAX LOPES EP015 RODOLFO GUILLERMO VIGIL VERASTEGUI TL15 RODOLFO GUILLERMO VIGIL VERASTEGUI TL15 RODOLFO GUILLERMO VIGIL VERASTEGUI TL15 RODOLFO GUILLERMO VIGIL VERASTEGUI ROBERTO LUIZ MARINO EP049, EP108, EP110, EP122, EP127 ROBERTO MAX LOPES EP015 RODOLFO GUILLERMO VIGIL VERASTEGUI TL15 RODOLFO GUILLERMO VIGIL VERASTEGUI TL15 RODOLFO GUILLERMO VIGIL VERASTEGUI RODOLFO GUILLERMO VIGIL VERASTEGUI TL15 RO		
RAFAELA ANSELMO SOARES BARBOSA RAFAELA DE ASSIS AMARAL RAFAELLA SIMÕES MOREIRA RAFAELLA SIMÕES MOREIRA RAFAELLA SIMÕES MOREIRA RAFAYANE NOGUEIRA MADRUGA RAFAYANE NOGUEIRA MADRUGA RAIMUNDO ANTÔNIO DE MELO RAIMUNDO MARQUES DO NASCIMENTO NETO RAÍSA FUFFURO E SÁ REP103 RAÍSAS ALVES PINTO MOURA RAÍSES A FUEVEIRA RAIDNER BORGES E RÈGES REP008, EP016, EP027, EP088, EP091 RAPHAEL MAIA OLIVEIRA RAISSA QUEIROZ FERREIRA FERRAZ RAUL SILVA SIMÕES DE CAMARGO RENAM ATÍLIO SANTOS MARQUIORI RENAM ATÍLIO SANTOS MARQUIORI RENAM DETOFFOL BRAGANÇA RENATA CRUZEIRO RIBAS RENATA VALENTE ARAÚJO RENATO ROCHA RABELLO RENATO ROCHA RABELLO RENATO ROCHA RABELLO RICARDO JOSÉ RAZERA RENATO ROCHA RABELLO RITA CAROLINA FIGUEIREDO DUARTE RICARDO JOSÉ RAZERA ROBERTA RODRIGUES MOURA ROBERTO ARUNOND FERREIRA DE MELO ROBERTO ARUNOND FERREIRA DE MELO ROBERTO DULIZ MARINO ROBERTO LUIZ MARINO ROBERTO MAX LOPES RODOLFO GUILLERMO VIGIL VERASTEGUI RODOLFO GUILLERMO VIGIL VERASTEGUI RODOLFO GUILLERMO VIGIL VERASTEGUI RODOLFO CUIZ AMORIM DE OLIVEIRA RODOLFO CUIZ AMORIM DE OLIVEIRA RODRIGO MATOS PINTO COELHO ROBERTA RODRIGO PINHEIRO LANNA TL04 RODRIGO PINHEIRO LANNA PL025 RODRIGO MATOS PINTO COELHO ROBERTA ROPRIGO FRETEIRA BILHO RODRIGO PINHEIRO LANNA TL04 RODRIGO PINHEIRO LANNA ROBERTA ROPRIGO PINHEIRO LANNA RODRIGO PINHEIRO L	RAFAEL PORTO	EP083, TL02
RAFAELA DE ASSIS AMARAL RAFAELLA SIMÕES MOREIRA RAFAELLA SIMÕES MOREIRA RAFAYANE NOGUEIRA MADRUGA RAFAYANE NOGUEIRA MADRUGA RAFAYANE NOGUEIRA MADRUGA RAIMUNDO ANTÔNIO DE MELO RAIMUNDO MARQUES DO NASCIMENTO NETO RAÍSA FURFURO E SÁ RAÍSSA ALVES PINTO MOURA RAÍSA TEIXEIRA DE OLIVEIRA RALDNER BORGES E RÈGES RALDNER BORGES E RÈGES RAPHAEL MAIA OLIVEIRA RAISSA QUEIROZ FERREIRA FERRAZ RAVILA SIMÕES DE CAMARGO RAYSSA PIAZZI ROCHA RANA NATÍLIO SANTOS MARQUIORI RENAN DETOFFOL BRAGANÇA RENAN ATÍLIO SANTOS MARQUIORI RENAN DETOFFOL BRAGANÇA RENATA CRUZEIRO RIBAS RENATA CRUZEIRO RIBAS RENATA VALENTE ARAÚJO RENATO ROCHA RABELLO RITA CAROLINA FIGUEIREDO DUARTE ROBERTA DE ALVARENGA BATISTA ROBERTA DE ALVARENGA BATISTA ROBERTA DE ALVARENGA BATISTA ROBERTO DRUMOND FERREIRA DE MELO ROBERTO DRUMOND FERREIRA DE MELO ROBERTO DRUMOND FERREIRA DE MELO ROBERTO LUIZ MARINO ROBERTO MAX LOPES RODOLFO GUILLERMO VIGIL VERASTEGUI RODOLFO GUILLERMO VIGIL VERASTEGUI RODOLFO LUIZ AMORIM DE OLIVEIRA RODRIGO MATOS PINTO COELHO ROSE MARY FERREIRA LISBOA DA SILVA EP103, EP103, EP125	RAFAEL PORTO SILVA	EP087, EP130, TL03
RAFAELLA SIMÕES MOREIRA RAFAYANE NOGUEIRA MADRUGA RAFAYANE NOGUEIRA MADRUGA RAIMUNDO ANTÔNIO DE MELO RAIMUNDO MARQUES DO NASCIMENTO NETO RAÍSA FURFURO E SÁ RAÍSA ALVES PINTO MOURA RAÍZA TEIXEIRA DE OLIVEIRA RAIZA TEIXEIRA DE OLIVEIRA RAIDHER BORGES E RÈGES RAIDHAEL MAIA OLIVEIRA RAISSA QUEIROZ FERREIRA FERRAZ RAUL SILVA SIMÕES DE CAMARGO RAYSSA PIAZZI ROCHA RENAN ATÍLIO SANTOS MARQUIORI RENAN ATÍLIO SANTOS MARQUIORI RENAN ATÍLIO SANTOS MARQUIORI RENAN DETOFFOL BRAGANÇA RENATA CRUZEIRO RIBAS RENATA VALENTE ARAÚJO RENATO ROCHA RABELLO RITA CAROLINA FIGUEIREDO DUARTE ROBERTO DRUMOND FERREIRA DE MELO ROBERTO MAX LOPES ROBERTO MAX LOPES ROBOLIC MARINO ROBERTO MAX LOPES ROBOLIC MARINO ROBERTO MAX LOPES ROBOLIC MARINO ROBOLIC MARINO ROBOLIC MARINO ROBOLIC MARINO ROBOLIC MARINO ROBOLIC MARINO ROBOLIC MAROLI ME CULVEIRA RODOLFO GUILLERMO VIGIL VERASTEGUI RODOLFO GUILLERMO VIGIL VERASTEGUI ROBOLFO GUILLERMO VIGIL VERAS	RAFAELA ANSELMO SOARES BARBOSA	EP085
RAFAYANE NOGUEIRA MADRUGA RAIMUNDO ANTÔNIO DE MELO RAIMUNDO MARQUES DO NASCIMENTO NETO RAÍSA FURFURO E SÁ RAÍSA ALVES PINTO MOURA RAÍSA TEIXEIRA DE OLIVEIRA RAIDNER BORGES E RÈGES RAPHAEL MAIA OLIVEIRA RAISSA QUEIROZ FERREIRA FERRAZ RAUL SILVA SIMÕES DE CAMARGO RAYSSA PIAZZI ROCHA RENAN ATÍLIO SANTOS MARQUIORI RENAN DETOFFOL BRAGANÇA RENATA CRUZEIRO RIBAS RENATA CRUZEIRO RIBAS RENATA VALENTE ARAÚJO RENATO ROCHA RABELLO RITA CAROLINA FIGUEIREDO DUARTE RITA CAROLINA FIGUEIREDO DUARTE RITA CAROLINA FIGUEIREDO DUARTE RITA CAROLINA FIGUEIREDO DUARTE RITA CAROLINA FIGUEIREDO DUARRA ROBERTA DE ALVARENGA BATISTA ROBERTA DE ALVARENGA BATISTA ROBERTO DRUMOND FERREIRA DE MELO ROBERTO DRUMOND FERREIRA DE MELO ROBERTO MAX LOPES RODOLFO GUILLERMO VIGIL VERASTEGUI RODOLFO LUIZ AMORIM DE OLIVEIRA RODRIGO MANCS RODRIGO MATOS PINTO COELHO RODRIGO PINHEIRO LANNA TLO4 RONALDO TORRES FREITAS FILHO RODRIGO PINHEIRO LANNA TLO4 RONALDO TORRES FREITAS FILHO ROSE MARY FERREIRA LISBOA DA SILVA EPO34, EP125	RAFAELA DE ASSIS AMARAL	EP100
RAIMUNDO ANTÔNIO DE MELO RAIMUNDO MARQUES DO NASCIMENTO NETO RAÍSA FURFURO E SÁ RAÍSA ALVES PINTO MOURA RAISA GUEIROS E RÈGES REPO08, EP016, EP027, EP088, EP091 RAPHAEL MAIA OLIVEIRA RARISSA QUEIROZ FERREIRA FERRAZ RAUL SILVA SIMÕES DE CAMARGO EP144 RAYSSA PIAZZI ROCHA RAYSSA PIAZZI ROCHA RENAN ATÍLIO SANTOS MARQUIORI RENAN ATÍLIO SANTOS MARQUIORI RENAN DETOFFOL BRAGANÇA RENATA CRUZEIRO RIBAS RENATA CRUZEIRO RIBAS RENATA VALENTE ARAÚJO PP086, EP089 RENATO ROCHA RABELLO EP131 RICARDO JOSÉ RAZERA EP074, EP077 RICARDO WANG TL12 RITA CAROLINA FIGUEIREDO DUARTE RITA DE CASSIA SANTANA DO AMARAL TL15 ROBERTA DE ALVARENGA BATISTA ROBERTA DRUMOND FERREIRA DE MELO EP051 ROBERTO DRUMOND FERREIRA DE MELO EP049, EP108, EP110, EP122, EP127 ROBERTO MAX LOPES ROBOLIUZ MARINO EP049, EP108, EP110, EP122, EP127 RODOLFO LUIZ AMORIM DE OLIVEIRA RODOLFO GUILLERMO VIGIL VERASTEGUI RODOLFO GUILLERMO VIGIL VERASTEGUI RODOLFO CUILZ AMORIM DE OLIVEIRA RODRIGO PINHEIRO LANNA TL04 RONALDO TORRES FREITAS FILHO EP095 ROSE MARY FERREIRA LISBOA DA SILVA EP034, EP125	RAFAELLA SIMÕES MOREIRA	EP083, EP087, EP130, TL02, TL03
RAIMUNDO MARQUES DO NASCIMENTO NETO RAÍSA FURFURO E SÁ RAÍSA ALVES PINTO MOURA RAÍSA REIXEIRA DE OLIVEIRA RAIDNER BORGES E RÈGES RAPIAGE MAIA OLIVEIRA RAPIAGE MAIA OLIVEIRA RARISSA QUEIROZ FERREIRA FERRAZ RAUL SILVA SIMÕES DE CAMARGO EP144 RAYSSA PIAZZI ROCHA RENAN ATÍLIO SANTOS MARQUIORI RENAN DETOFFOL BRAGANÇA RENATA OLIVEIRO RIBAS RENATA CRUZEIRO RIBAS RENATA VALENTE ARAÚJO RENAN DETOFFOL BRAGANÇA RENATO ROCHA RABELLO RITA CAROLINA FIGUEIREDO DUARTE RITA CAROLINA FIGUEIREDO DUARTE RITA CAROLINA FIGUEIREDO DUARTE RITA DE CASSIA SANTANA DO AMARAL ROBERTA RODRIGUES MOURA ROBERTA RODRIGUES MOURA ROBERTO DRUMOND FERREIRA DE MELO ROBERTO LUIZ MARINO ROBERTO MAX LOPES RODOLFO GUILLERMO VIGIL VERASTEGUI RODOLFO GUILLERMO VIGIL VERASTEGUI RODOLFO GUILLERMO VIGIL VERASTEGUI RODRIGO PINHEIRO LANNA TL04 RONALDO TORRES FREITAS FILHO ROBRAG PO93 ROSE MARY FERREIRA LISBOA DA SILVA EP093 ROSE MARY FERREIRA LISBOA DA SILVA EP034, EP125	RAFAYANE NOGUEIRA MADRUGA	EP016, EP026
RAÍSA FURFURO E SÁ RAÍSSA ALVES PINTO MOURA RAÍSSA ALVES PINTO MOURA RAÍSSA ALVES PINTO MOURA RAÍSSA GUERDOZ FERREIRA RALDNER BORGES E RÈGES RADUBER BORGES E RÈGES RAPHAEL MAIA OLIVEIRA RARISSA QUEIROZ FERREIRA FERRAZ RAUL SILVA SIMÕES DE CAMARGO REP144 RAYSSA PIAZZI ROCHA RENAN ATÍLIO SANTOS MARQUIORI RENAN DETOFFOL BRAGANÇA RENATA CRUZEIRO RIBAS RENATA CRUZEIRO RIBAS RENATA CRUZEIRO RIBAS RENATA VALENTE ARRÁJO RENATO ROCHA RABELLO RITA CAROLINA FIGUEIREDO DUARTE RITA CAROLINA FIGUEIREDO DUARTE RITA DE CASSIA SANTANA DO AMARAL ROBERTA RODRIGUES MOURA ROBERTA RODRIGUES MOURA ROBERTO DRUMOND FERREIRA DE MELO ROBERTO DRUMOND FERREIRA DE MELO ROBERTO MAX LOPES RODOLFO GUILLERMO VIGIL VERASTEGUI RODOLFO GUILLERMO VIGIL VERASTEGUI RODOLFO GUILLERMO VIGIL VERASTEGUI RODRIGO MATOS PINTO COELHO RONALDO TORRES FREITAS FILHO RODRICO HANNA TL04 RONALDO TORRES FREITAS FILHO RODRICO HANNA TL04 RONALDO TORRES FREITAS FILHO ROSE MARY FERREIRA LISBOA DA SILVA EP034, EP125	RAIMUNDO ANTÔNIO DE MELO	EP131
RAÍSSA ALVES PINTO MOURA RAÍSSA ALVES PINTO MOURA RAÍZA TEIXEIRA DE OLIVEIRA RAÍZA TEIXEIRA DE OLIVEIRA RALDNER BORGES E RÈGES REP008, EP016, EP027, EP088, EP091 RAPHAEL MAIA OLIVEIRA REP074 RARISSA QUEIROZ FERREIRA FERRAZ RAUL SILVA SIMÕES DE CAMARGO REP144 RAYSSA PIAZZI ROCHA RENAN ATÍLIO SANTOS MARQUIORI RENAN ATÍLIO SANTOS MARQUIORI RENAN DETOFFOL BRAGANÇA RENATA CRUZEIRO RIBAS RENATA CRUZEIRO RIBAS RENATA VALENTE ARAÚJO RENATO ROCHA RABELLO RICARDO JOSÉ RAZERA RENATA VALENTE ARAÚJO RICARDO WANG TL12 RITA CAROLINA FIGUEIREDO DUARTE RITA DE CASSIA SANTANA DO AMARAL RITA DE CASSIA SANTANA DO AMARAL ROBERTA DE ALVARENGA BATETA ROBERTA RODRIGUES MOURA ROBERTO DRUMOND FERREIRA DE MELO ROBERTO LUIZ MARINO ROBERTO MAX LOPES RODOLFO GUILLERMO VIGIL VERASTEGUI RODOLFO GUILLERMO VIGIL VERASTEGUI RODOLFO GUILLERMO VIGIL VERASTEGUI RODRIGO MATOS PINTO COELHO ROBRAG PO95 RODRIGO MATOS PINTO COELHO ROSE MARY FERREIRA LISBOA DA SILVA EP034, EP125	RAIMUNDO MARQUES DO NASCIMENTO NETO	EP078
RAÍZA TEIXEIRA DE OLIVEIRA RALDNER BORGES E RÈGES RAPHAEL MAIA OLIVEIRA RAPHAEL MAIA OLIVEIRA RARISSA QUEIROZ FERREIRA FERRAZ RAUL SILVA SIMÕES DE CAMARGO RAYSSA PIAZZI ROCHA RENAN ATÍLIO SANTOS MARQUIORI RENAN ATÍLIO SANTOS MARQUIORI RENAN ATÍLIO SANTOS MARQUIORI RENATA CRUZEIRO RIBAS RENATA CRUZEIRO RIBAS RENATA VALENTE ARAÚJO RENATO ROCHA RABELLO RICARDO JOSÉ RAZERA RICARDO JOSÉ RAZERA RENATO ROCHA RABELLO RITA CAROLINA FIGUEIREDO DUARTE RITA CAROLINA FIGUEIREDO DUARTE RITA DE CASSIA SANTANA DO AMARAL RITA DE CASSIA SANTANA DO AMARAL ROBERTA RODRIGUES MOURA ROBERTO RUMOND FERREIRA DE MELO ROBERTO LUIZ MARINO ROBERTO MAX LOPES RODOLFO GUILLERMO VIGIL VERASTEGUI RODOLFO GUILLERMO VIGIL VERASTEGUI RODRIGO MATOS PINTO COELHO ROBRIA RODRIGO LUIZ AMORIM DE OLIVEIRA RODRIGO PINHEIRO LANNA TL04 RONALDO TORRES FREITAS FILHO ROSE MARY FERREIRA LISBOA DA SILVA EP034, EP034, EP125	RAÍSA FURFURO E SÁ	EP103
RALDNER BORGES E RÈGES RAPHAEL MAIA OLIVEIRA RAPHAEL MAIA OLIVEIRA RARISSA QUEIROZ FERREIRA FERRAZ RAUL SILVA SIMÕES DE CAMARGO RAYSSA PIAZZI ROCHA RENAN ATÍLIO SANTOS MARQUIORI RENAN DETOFFOL BRAGANÇA RENATA CRUZEIRO RIBAS RENATA CRUZEIRO RIBAS RENATA VALENTE ARAÚJO RENATO ROCHA RABELLO RINATO ROCHA RABELLO RICARDO JOSÉ RAZERA RICARDO WANG TL12 RITA CAROLINA FIGUEIREDO DUARTE RITA DE CASSIA SANTANA DO AMARAL RITA DE CASSIA SANTANA DO AMARAL ROBERTA RODRIGUES MOURA ROBERTO RUMOND FERREIRA DE MELO ROBERTO LUIZ MARINO ROBERTO MAX LOPES RODOLFO GUILLERMO VIGIL VERASTEGUI RODRIGO MATOS PINTO COELHO RODRIGO MANOS PINTO COELHO ROBRICO BRONA EP015 RODRIGO MANOS PINTO COELHO ROBRICO LUIZ AMORIM DE OLIVEIRA RODRIGO MATOS PINTO COELHO ROBRAGO PINHEIRO LANNA TL04 RONALDO TORRES FREITAS FILHO ROSE MARY FERREIRA LISBOA DA SILVA EP034, EP034, EP125	RAÍSSA ALVES PINTO MOURA	EP034, EP125
RAPHAEL MAIA OLIVEIRA RARISSA QUEIROZ FERREIRA FERRAZ RAUL SILVA SIMŌES DE CAMARGO EP144 RAYSSA PIAZZI ROCHA EP042 RENAN ATÍLIO SANTOS MARQUIORI RENAN DETOFFOL BRAGANÇA EP128 RENATA CRUZEIRO RIBAS EP054 RENATA VALENTE ARAÚJO EP086, EP089 RENATO ROCHA RABELLO EP131 RICARDO JOSÉ RAZERA EP074, EP077 RICARDO WANG TL12 RITA CAROLINA FIGUEIREDO DUARTE RITA CAROLINA FIGUEIREDO DUARTE RITA DE ALSVARENGA BATISTA ROBERTA DE ALVARENGA BATISTA ROBERTA ODRIGUES MOURA ROBERTO DUIZ MARINO EP031, EP081 ROBERTO DUIZ MARINO EP049, EP108, EP110, EP122, EP127 ROBERTO MAX LOPES RODOLFO GUILLERMO VIGIL VERASTEGUI RODOLFO GUILLERMO VIGIL VERASTEGUI RODOLFO GUILLERMO VIGIL VERASTEGUI RODRIGO MATOS PINTO COELHO ROBERO LUIZ AMORIM DE OLIVEIRA RODRIGO PINHEIRO LANNA TL04 RONALDO TORRES FREITAS FILHO ROSE MARY FERREIRA LISBOA DA SILVA EP034, EP035, EP035 ROSE MARY FERREIRA LISBOA DA SILVA EP034, EP125	RAÍZA TEIXEIRA DE OLIVEIRA	EP067
RARISSA QUEIROZ FERREIRA FERRAZ RAUL SILVA SIMÕES DE CAMARGO RAYSSA PIAZZI ROCHA RENAN ATÍLIO SANTOS MARQUIORI RENAN DETOFFOL BRAGANÇA RENAN DETOFFOL BRAGANÇA RENATA CRUZEIRO RIBAS RENATA CRUZEIRO RIBAS RENATA VALENTE ARAÚJO RENATO ROCHA RABELLO RICARDO JOSÉ RAZERA RENATO ROCHA RABELLO RITA CAROLINA FIGUEIREDO DUARTE RITA CAROLINA FIGUEIREDO DUARTE RITA CAROLINA FIGUEIREDO DUARTE RITA CAROLINA DE ALVARENGA BATISTA ROBERTA DE ALVARENGA BATISTA ROBERTA DE ALVARENGA BATISTA ROBERTO DRUMOND FERREIRA DE MELO ROBERTO DUIZ MARINO ROBERTO LUIZ MARINO ROBERTO LUIZ MARINO ROBERTO MAX LOPES RODOLFO GUILLERMO VIGIL VERASTEGUI RODOLFO GUILLERMO VIGIL VERASTEGUI RODOLFO GUILLERMO VIGIL VERASTEGUI RODRIGO MATOS PINTO COELHO ROBRIO DANNA TLO4 RONALDO TORRES FREITAS FILHO ROSE MARY FERREIRA LISBOA DA SILVA EP034, EP125	RALDNER BORGES E RÈGES	EP008, EP016, EP027, EP088, EP091
RAUL SILVA SIMÕES DE CAMARGO EP144 RAYSSA PIAZZI ROCHA EP042 RENAN ATÍLIO SANTOS MARQUIORI EP064, EP104, EP107 RENAN DETOFFOL BRAGANÇA EP128 RENATA CRUZEIRO RIBAS EP054 RENATA VALENTE ARAÚJO EP086, EP089 RENATO ROCHA RABELLO EP131 RICARDO JOSÉ RAZERA EP074, EP077 RICARDO WANG TL12 RITA CAROLINA FIGUEIREDO DUARTE TL04 RITA CAROLINA FIGUEIREDO DUARTE TL04 RITA DE CASSIA SANTANA DO AMARAL TL15 ROBERTA DE ALVARENGA BATISTA EP086, EP089 ROBERTA RODRIGUES MOURA EP013, EP081 ROBERTO DRUMOND FERREIRA DE MELO EP051 ROBERTO LUIZ MARINO EP049, EP108, EP110, EP122, EP127 ROBERTO MAX LOPES EP015 RODOLFO GUILLERMO VIGIL VERASTEGUI TL15 RODOLFO GUILLERMO VIGIL VERASTEGUI TL15 RODOLFO GUILLERMO VIGIL VERASTEGUI TL15 RODRIGO MATOS PINTO COELHO EP049 ROSE MARY FERREIRA LISBOA DA SILVA EP095 EP095 ROSE MARY FERREIRA LISBOA DA SILVA EP0934, EP125	RAPHAEL MAIA OLIVEIRA	EP074
RAYSSA PIAZZI ROCHA RENAN ATÍLIO SANTOS MARQUIORI RENAN DETOFFOL BRAGANÇA RENATA CRUZEIRO RIBAS RENATA CRUZEIRO RIBAS RENATA VALENTE ARAÚJO RENATO ROCHA RABELLO RITACAROLINA FIGUEIREDO DUARTE RITA CAROLINA FIGUEIREDO DUARTE RITA CAROLINA FIGUEIREDO DUARTE RITA DE CASSIA SANTANA DO AMARAL ROBERTA DE ALVARENGA BATISTA ROBERTA RODRIGUES MOURA ROBERTO DRUMOND FERREIRA DE MELO ROBERTO ULIZ MARINO ROBERTO ULIZ MARINO ROBERTO ULIZ MARINO ROBERTO GUILLERMO VIGIL VERASTEGUI RODOLFO GUILLERMO VIGIL VERASTEGUI RODOLFO GUILLERMO VIGIL VERASTEGUI RODRIGO MATOS PINTO COELHO RODRIGO PINHEIRO LANNA TLO4 RONALDO TORRES FREITAS FILHO ROSE MARY FERREIRA LISBOA DA SILVA EP034, EP125	RARISSA QUEIROZ FERREIRA FERRAZ	EP030, EP032, EP038, EP136
RENAN ATÍLIO SANTOS MARQUIORI RENAN DETOFFOL BRAGANÇA RENATA CRUZEIRO RIBAS RENATA CRUZEIRO RIBAS RENATA VALENTE ARAÚJO RENATO ROCHA RABELLO RITA CAROLINA FIGUEIREDO DUARTE RITA CAROLINA FIGUEIREDO DUARTE RITA CAROLINA FIGUEIREDO DUARTE RITA CAROLINA FIGUEIREDO DUARTE RITA DE CASSIA SANTANA DO AMARAL RITA DE CASSIA SANTANA DO AMARAL ROBERTA DE ALVARENGA BATISTA ROBERTA RODRIGUES MOURA ROBERTO DRUMOND FERREIRA DE MELO ROBERTO LUIZ MARINO ROBERTO MAX LOPES RODOLFO GUILLERMO VIGIL VERASTEGUI RODOLFO GUILLERMO VIGIL VERASTEGUI RODOLFO GUILLERMO VIGIL VERASTEGUI RODOLFO GUILLERMO VIGIL VERASTEGUI RODRIGO MATOS PINTO COELHO ROBRIO DANNA TLO4 RONALDO TORRES FREITAS FILHO ROSE MARY FERREIRA LISBOA DA SILVA EP034, EP125	RAUL SILVA SIMÕES DE CAMARGO	EP144
RENAN DETOFFOL BRAGANÇA EP128 RENATA CRUZEIRO RIBAS EP054 RENATA VALENTE ARAÚJO EP086, EP089 RENATO ROCHA RABELLO EP131 RICARDO JOSÉ RAZERA EP074, EP077 RICARDO WANG TL12 RITA CAROLINA FIGUEIREDO DUARTE TL04 RITA DE CASSIA SANTANA DO AMARAL TL15 ROBERTA DE ALVARENGA BATISTA EP086, EP089 ROBERTA RODRIGUES MOURA EP013, EP081 ROBERTO DRUMOND FERREIRA DE MELO EP051 ROBERTO LUIZ MARINO EP049, EP108, EP110, EP122, EP127 ROBERTO MAX LOPES EP015 RODOLFO GUILLERMO VIGIL VERASTEGUI TL15 RODOLFO GUILLERMO VIGIL VERASTEGUI TL15 RODOLFO GUILLERMO VIGIL VERASTEGUI TL15 RODOLFO GNATOS PINTO COELHO EP144 RODRIGO PINHEIRO LANNA TL04 RONALDO TORRES FREITAS FILHO EP095 ROSE MARY FERREIRA LISBOA DA SILVA EP034, EP125	RAYSSA PIAZZI ROCHA	EP042
RENATA CRUZEIRO RIBAS RENATA VALENTE ARAÚJO RENATO ROCHA RABELLO RENATO ROCHA RABELLO RITACAROU JOSÉ RAZERA REPO74, EP077 RICARDO WANG RITA CAROLINA FIGUEIREDO DUARTE RITA DE CASSIA SANTANA DO AMARAL RITA DE CASSIA SANTANA DO AMARAL ROBERTA RODRIGUES MOURA ROBERTA RODRIGUES MOURA ROBERTO DRUMOND FERREIRA DE MELO ROBERTO LUIZ MARINO ROBERTO MAX LOPES RODOLFO GUILLERMO VIGIL VERASTEGUI RODOLFO GUILLERMO VIGIL VERASTEGUI RODOLFO GUILLERMO VIGIL VERASTEGUI RODOLFO LUIZ AMORIM DE OLIVEIRA RODRIGO MATOS PINTO COELHO RODRIGO PINHEIRO LANNA TL04 RONALDO TORRES FREITAS FILHO ROSE MARY FERREIRA LISBOA DA SILVA EP034, EP125	RENAN ATÍLIO SANTOS MARQUIORI	EP064, EP104, EP107
RENATA VALENTE ARAÚJO EP086, EP089 RENATO ROCHA RABELLO EP131 RICARDO JOSÉ RAZERA EP074, EP077 RICARDO WANG TL12 RITA CAROLINA FIGUEIREDO DUARTE TL04 RITA DE CASSIA SANTANA DO AMARAL TL15 ROBERTA RO RIGUES MOURA EP013, EP081 ROBERTO RUMOND FERREIRA DE MELO EP051 ROBERTO LUIZ MARINO EP049, EP108, EP110, EP122, EP127 ROBERTO MAX LOPES EP015 RODOLFO GUILLERMO VIGIL VERASTEGUI TL15 RODOLFO GUILLERMO VIGIL VERASTEGUI TL15 RODOLFO LUIZ AMORIM DE OLIVEIRA EP085 RODRIGO MATOS PINTO COELHO EP144 RODRIGO PINHEIRO LANNA TL04 RONALDO TORRES FREITAS FILHO EP095 ROSE MARY FERREIRA LISBOA DA SILVA EP034, EP125	RENAN DETOFFOL BRAGANÇA	EP128
RENATO ROCHA RABELLO EP131 RICARDO JOSÉ RAZERA EP074, EP077 RICARDO WANG TL12 RITA CAROLINA FIGUEIREDO DUARTE TL04 RITA DE CASSIA SANTANA DO AMARAL TL15 ROBERTA DE ALVARENGA BATETA EP086, EP089 ROBERTA RODRIGUES MOURA EP013, EP081 ROBERTO DUIZ MARINO EP051 ROBERTO LUIZ MARINO EP049, EP108, EP110, EP122, EP127 RODOLFO GUILLERMO VIGIL VERASTEGUI TL15 RODOLFO GUILLERMO VIGIL VERASTEGUI TL15 RODOLFO LUIZ AMORIM DE OLIVEIRA EP085 RODRIGO MATOS PINTO COELHO EP144 RODRIGO PINHEIRO LANNA TL04 RONALDO TORRES FREITAS FILHO EP095 ROSE MARY FERREIRA LISBOA DA SILVA EP034, EP125	RENATA CRUZEIRO RIBAS	EP054
RICARDO JOSÉ RAZERA RICARDO WANG RICARDO WANG RITA CAROLINA FIGUEIREDO DUARTE RITA DE CASSIA SANTANA DO AMARAL RITA DE CASSIA SANTANA DO AMARAL ROBERTA DE ALVARENGA BATISTA ROBERTO ROURGUES MOURA ROBERTO DRUMOND FERREIRA DE MELO ROBERTO LUIZ MARINO ROBERTO MAX LOPES RODOLFO GUILLERMO VIGIL VERASTEGUI RODOLFO GUILLERMO VIGIL VERASTEGUI RODOLFO LUIZ AMORIM DE OLIVEIRA RODRIGO MATOS PINTO COELHO RODRIGO PINHEIRO LANNA TL04 RONALDO TORRES FREITAS FILHO ROSE MARY FERREIRA LISBOA DA SILVA EP034, EP125	RENATA VALENTE ARAÚJO	EP086, EP089
RICARDO WANG RICAROU WANG RITA CAROLINA FIGUEIREDO DUARTE RITA DE CASSIA SANTANA DO AMARAL RITA DE CASSIA SANTANA DO AMARAL ROBERTA DE ALVARENGA BATISTA ROBERTA RODRIGUES MOURA ROBERTO DRUMOND FERREIRA DE MELO ROBERTO LUIZ MARINO EP049, EP108, EP110, EP122, EP127 ROBERTO MAX LOPES RODOLFO GUILLERMO VIGIL VERASTEGUI RODOLFO GUILLERMO VIGIL VERASTEGUI RODOLFO LUIZ AMORIM DE OLIVEIRA EP085 RODRIGO MATOS PINTO COELHO EP144 RODRIGO PINHEIRO LANNA TL04 RONALDO TORRES FREITAS FILHO ROSE MARY FERREIRA LISBOA DA SILVA EP034, EP125	RENATO ROCHA RABELLO	EP131
RITA CAROLINA FIGUEIREDO DUARTE RITA DE CASSIA SANTANA DO AMARAL ROBERTA DE ALVARENGA BATISTA ROBERTA RODRIGUES MOURA ROBERTO DRUMOND FERREIRA DE MELO ROBERTO LUIZ MARINO ROBERTO LUIZ MARINO ROBERTO MAX LOPES RODOLFO GUILLERMO VIGIL VERASTEGUI RODOLFO GUILLERMO VIGIL VERASTEGUI RODOLFO HUIZ AMORIM DE OLIVEIRA RODRIGO MATOS PINTO COELHO RONALDO TORRES FREITAS FILHO RONALDO TORRES FREITAS FILHO ROSE MARY FERREIRA LISBOA DA SILVA EP034, EP125	RICARDO JOSÉ RAZERA	EP074, EP077
RITA DE CASSIA SANTANA DO AMARAL ROBERTA DE ALVARENGA BATISTA ROBERTA RODRIGUES MOURA ROBERTO DRUMOND FERREIRA DE MELO ROBERTO LUIZ MARINO ROBERTO LUIZ MARINO EP049, EP108, EP110, EP122, EP127 ROBERTO MAX LOPES RODOLFO GUILLERMO VIGIL VERASTEGUI RODOLFO LUIZ AMORIM DE OLIVEIRA RODRIGO MATOS PINTO COELHO RODRIGO PINHEIRO LANNA TL04 RONALDO TORRES FREITAS FILHO ROSE MARY FERREIRA LISBOA DA SILVA TUSOBERO PROBE TUSOBERO PROBOS ROSE MARY FERREIRA LISBOA DA SILVA TUSOBERO PROBOS ROSE MARY FERREIRA LISBOA DA SILVA TENORO PROBOS ROSE MARY FERREIRA LISBOA DA SILVA FORMANDO TORRES FREITAS FILHO ROSE MARY FERREIRA LISBOA DA SILVA	RICARDO WANG	TL12
ROBERTA DE ALVARENGA BATISTA EP086, EP089 ROBERTA RODRIGUES MOURA EP013, EP081 ROBERTO DRUMOND FERREIRA DE MELO EP051 ROBERTO LUIZ MARINO EP049, EP108, EP110, EP122, EP127 ROBERTO MAX LOPES EP015 RODOLFO GUILLERMO VIGIL VERASTEGUI TL15 RODOLFO LUIZ AMORIM DE OLIVEIRA EP085 RODRIGO MATOS PINTO COELHO EP144 RODRIGO PINHEIRO LANNA TL04 RONALDO TORRES FREITAS FILHO EP095 ROSE MARY FERREIRA LISBOA DA SILVA EP034, EP125	RITA CAROLINA FIGUEIREDO DUARTE	TL04
ROBERTA RODRIGUES MOURA ROBERTO DRUMOND FERREIRA DE MELO ROBERTO LUIZ MARINO ROBERTO LUIZ MARINO ROBERTO MAX LOPES RODOLFO GUILLERMO VIGIL VERASTEGUI RODOLFO GUILLERMO VIGIL VERASTEGUI RODOLFO LUIZ AMORIM DE OLIVEIRA RODRIGO MATOS PINTO COELHO RODRIGO PINHEIRO LANNA TLO4 RONALDO TORRES FREITAS FILHO ROSE MARY FERREIRA LISBOA DA SILVA EP034, EP125	RITA DE CASSIA SANTANA DO AMARAL	TL15
ROBERTO DRUMOND FERREIRA DE MELO EP051 ROBERTO LUIZ MARINO EP049, EP108, EP110, EP122, EP127 ROBERTO MAX LOPES EP015 RODOLFO GUILLERMO VIGIL VERASTEGUI TL15 RODOLFO LUIZ AMORIM DE OLIVEIRA EP085 RODRIGO MATOS PINTO COELHO EP144 RODRIGO PINHEIRO LANNA TL04 RONALDO TORRES FREITAS FILHO EP095 ROSE MARY FERREIRA LISBOA DA SILVA EP034, EP125	ROBERTA DE ALVARENGA BATISTA	EP086, EP089
ROBERTO LUIZ MARINO EP049, EP108, EP110, EP122, EP127 ROBERTO MAX LOPES EP015 RODOLFO GUILLERMO VIGIL VERASTEGUI TL15 RODOLFO LUIZ AMORIM DE OLIVEIRA EP085 RODRIGO MATOS PINTO COELHO EP144 RODRIGO PINHEIRO LANNA TL04 RONALDO TORRES FREITAS FILHO EP095 ROSE MARY FERREIRA LISBOA DA SILVA EP034, EP125	ROBERTA RODRIGUES MOURA	EP013, EP081
ROBERTO MAX LOPES EP015 RODOLFO GUILLERMO VIGIL VERASTEGUI TL15 RODOLFO LUIZ AMORIM DE OLIVEIRA EP085 RODRIGO MATOS PINTO COELHO EP144 RODRIGO PINHEIRO LANNA TL04 RONALDO TORRES FREITAS FILHO EP095 ROSE MARY FERREIRA LISBOA DA SILVA EP034, EP125	ROBERTO DRUMOND FERREIRA DE MELO	EP051
RODOLFO GUILLERMO VIGIL VERASTEGUI RODOLFO LUIZ AMORIM DE OLIVEIRA RODRIGO MATOS PINTO COELHO RODRIGO PINHEIRO LANNA TL04 RONALDO TORRES FREITAS FILHO ROSE MARY FERREIRA LISBOA DA SILVA TL15 TL15 TL15 EP085 ROSE MARY FERREIRA LISBOA DA SILVA TL15 TL15 EP085 ROSE MARY FERREIRA LISBOA DA SILVA	ROBERTO LUIZ MARINO	EP049, EP108, EP110, EP122, EP127
RODOLFO LUIZ AMORIM DE OLIVEIRA EP085 RODRIGO MATOS PINTO COELHO EP144 RODRIGO PINHEIRO LANNA TL04 RONALDO TORRES FREITAS FILHO EP095 ROSE MARY FERREIRA LISBOA DA SILVA EP034, EP125	ROBERTO MAX LOPES	EP015
RODRIGO MATOS PINTO COELHO EP144 RODRIGO PINHEIRO LANNA TL04 RONALDO TORRES FREITAS FILHO EP095 ROSE MARY FERREIRA LISBOA DA SILVA EP034, EP125	RODOLFO GUILLERMO VIGIL VERASTEGUI	TL15
RODRIGO PINHEIRO LANNA TL04 RONALDO TORRES FREITAS FILHO EP095 ROSE MARY FERREIRA LISBOA DA SILVA EP034, EP125	RODOLFO LUIZ AMORIM DE OLIVEIRA	EP085
RONALDO TORRES FREITAS FILHO EP095 ROSE MARY FERREIRA LISBOA DA SILVA EP034, EP125	RODRIGO MATOS PINTO COELHO	EP144
ROSE MARY FERREIRA LISBOA DA SILVA EP034, EP125	RODRIGO PINHEIRO LANNA	TL04
,	RONALDO TORRES FREITAS FILHO	EP095
ROSSANA DALL'ORTO ELIAS EP005	ROSE MARY FERREIRA LISBOA DA SILVA	EP034, EP125
	ROSSANA DALL'ORTO ELIAS	EP005

S

SABRINA COSTA LIMA	EP054
SABRINA DE JESUS OLIVEIRA NEVES	EP039, EP040
SALETE MARIA DE FÁTIMA SILQUEIRA	EP146, EP147
SALETE MARIA DE FÁTIMA SILQUEIRA	EP147
SAMARA PEREIRA DE ALMEIDA	EP065
SAMIR IDALO JUNIOR	EP033, EP043, EP060
SAMIRA SODRÉ PICHELI	EP067, EP110
SANDER LUIS GOMES PIMENTEL	TL12
SANDRA MONETTI DUMONT	TL14
SANDRA REGINA TOLENTINO CASTILHO	EP011
SANNY CRISTINA DE CASTRO FARIA	TL11
SARA HELENA RESENDE CARVALHO	EP043
SARAH CRISTINA VIEIRA	EP053, EP148
SARCHA MIRANDA WARD DE PAIVA	EP057
SAULO AUGUSTO SILVA MANTOVANI	EP018, EP019
SÁVIA QUEIROZ FERREIRA	EP032, EP038
SÁVIA QUEIROZ FERREIRA,	EP136
SERGIO CASTRO PONTES	EP041
SERGIO SANTOS CABRAL	EP033, EP060
SIMONE DONNARD SANTOS	EP072
STEFANIA BRUNA COSTA VALENTE	EP006, EP057
STEPHANIE CHATER MITRI	EP111
STEPHANIE SALIBA DE FREITAS	TL14
SUELEN DA COSTA SILVA	EP062, EP092, EP142
SUEMARA FERNANDES DA SILVA MARTINS	EP144, TL11
SUSAN MARTINS LAGE	EP054
SUSANA DRUMOND PERES DOS REIS	TL06



AUTORES - TEMAS LIVRES | 28º CONGRESSO DA SOCIEDADE MINEIRA DE CARDIOLOGIA

T

EP085
TL07
EP029
TL15
EP124, EP126, TL05
EP017, EP090
EP134, EP141
EP129
EP072
EP046, EP047
EP012, EP015
EP118
EP048
EP127
EP106
EP144
EP141
EP003

U - V

EP131
EP095
EP131
EP069
EP072
EP071, EP132
EP141
EP071
EP049, EP127
EP063, EP115
EP073, EP078
EP098, EP112
EP084
TL14

W - Y - Z

–	
WAGNER DO NASCIMENTO CARVALHO	EP031, EP146, EP147
WALQUÍRIA DA MATA SANTOS	EP053, EP148
WALTER RABELO	EP049, EP122, EP127
WILLIAM ANTÔNIO DE MAGALHÃES ESTEVES	TL11
WILLIAMINA OLIVEIRA DIAS PINTO	EP116
WILLIAN MOREIRA SENA	EP070
YASMIN DOS SANTOS BITTENCOURT	EP129
YNGRID SOUZA LUZ	EP065, EP109
YORGHOS LAGE MICHALAROS	EP133, TL15
ZILDA MARIA ALVES MEIRA	FP058, TL06